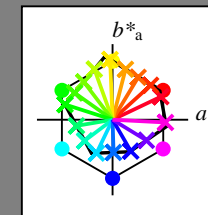


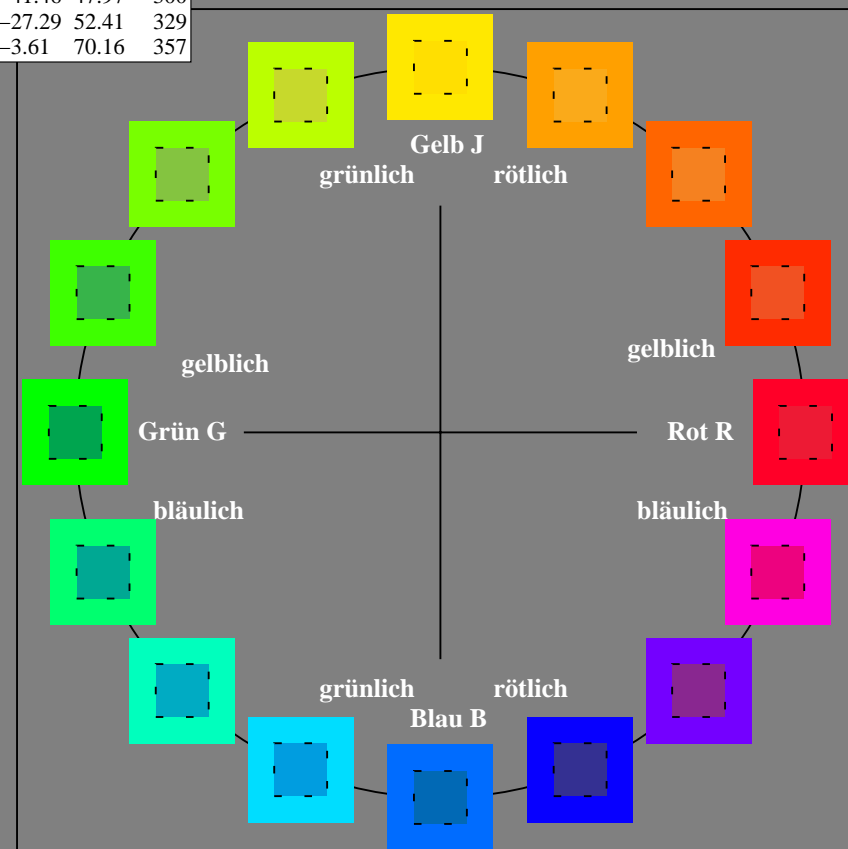
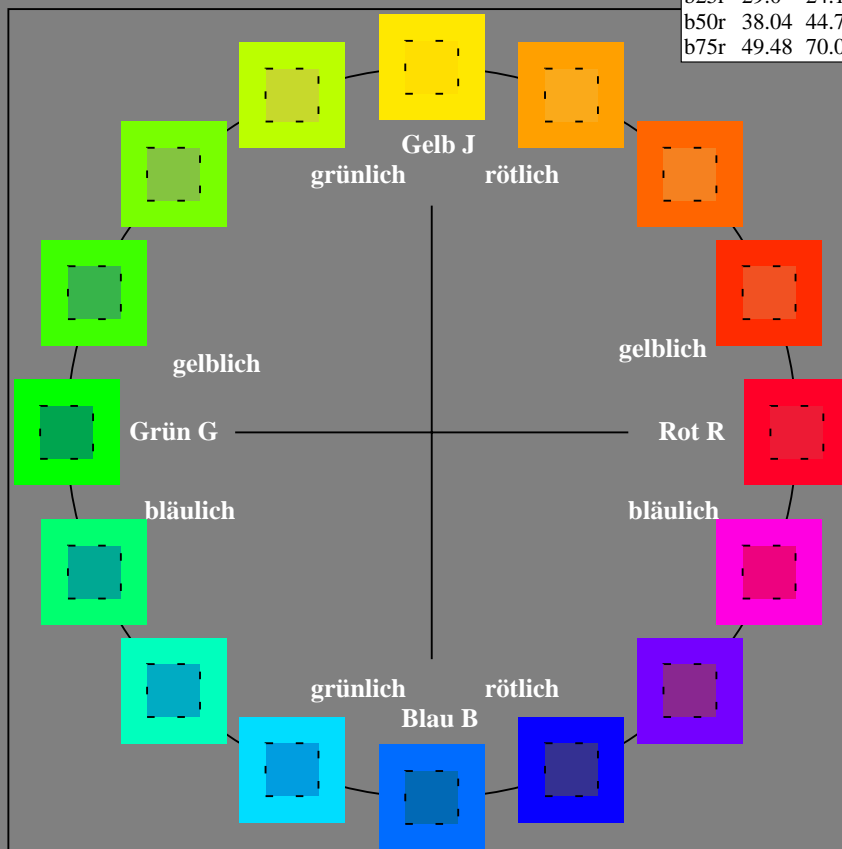
Ein und Ausgabe:  
Farbmetrisches Drucker-Reflektiv-System ORS20\_95a  
Daten für jede Farbe:  
 $lab^{*}ch^{*}$  und  $lab^{*}icu^{*}$   
Elementar-Bunntontext:  
 $u^{*} = 16$  Bunttöne  $r00j$ ,  $r25j$ , ...,  $b75r$   
Kontrastreduzierungsfaktor:  
 $c_R = 0.96$

ORS20_95a; adaptierte CIELAB-Daten					
	$L^{*}=L^{*}_a$	$a^{*}_a$	$b^{*}_a$	$C^{*}_{ab,a}$	$h^{*}_{ab,a}$
r00j	48.88	63.91	30.45	70.79	25
r25j	55.85	50.36	45.65	67.97	42
r50j	65.45	33.86	56.12	65.54	59
r75j	75.19	17.13	66.73	68.89	76
j00g	87.03	-3.21	79.64	79.7	92
j25g	80.72	-24.03	66.82	71.01	110
j50g	70.64	-38.01	49.96	62.78	127
j75g	61.93	-50.08	35.41	61.34	145
g00b	52.8	-62.76	20.12	65.91	162
g25b	55.7	-47.65	-8.05	48.34	190
g50b	57.82	-36.91	-27.79	46.22	217
g75b	55.5	-21.19	-44.16	49.0	244
b00r	41.6	1.31	-43.27	43.3	272
b25r	29.0	24.11	-41.46	47.97	300
b50r	38.04	44.73	-27.29	52.41	329
b75r	49.48	70.07	-3.61	70.16	357



%Umfang  
 $u^{*}_{rel} = 83$   
%Regularität  
 $g^{*}_{H,rel} = 72$   
 $g^{*}_{C,rel} = 57$

ORS20_95a; adaptierte CIELAB-Daten					
	$L^{*}=L^{*}_a$	$a^{*}_a$	$b^{*}_a$	$C^{*}_{ab,a}$	$h^{*}_{ab,a}$
OMa	48.75	62.56	37.91	73.15	31
YMa	90.92	-9.88	83.88	84.46	97
LMa	52.69	-62.9	19.95	66.0	162
CMa	59.61	-27.85	-44.43	52.45	238
VMa	28.39	22.72	-42.42	48.13	298
MMa	49.58	71.08	-9.19	71.67	353
NMa	20.0	0.0	0.0	0.0	0
WMa	95.0	0.0	0.0	0.0	0
RCIE	39.92	58.74	27.99	65.07	25
JCIE	81.26	-2.88	71.56	71.62	92
GCIE	52.23	-42.41	13.6	44.55	162
BCIE	30.57	1.41	-46.46	46.49	272



Ein und Ausgabe: Farbmetrisches Drucker-Reflektiv-System ORS20\_95a für relativen CIELAB-Buntton  $h^* = lab^*h^* = h_{ab}/360 = 25/360 = 0.071$

Daten für jede Farbe:

$lab^*ch^*$  und  $lab^*icu^*$

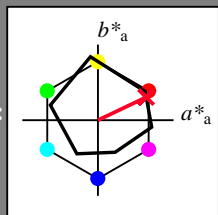
Elementar-Bunttontext:

$u^* = r00j$

Kontrastreduzierungsfaktor:

$c_R = 0.96$

Dreiecks-Helligkeit  $t^*$



ORS20\_95a; adaptierte CIELAB-Daten

	$L^*=L^*_a$	$a^*_a$	$b^*_a$	$C^*_{ab,a}$	$h^*_{ab,a}$
O <sub>Ma</sub>	48.75	62.56	37.91	73.15	31
Y <sub>Ma</sub>	90.92	-9.88	83.88	84.46	97
L <sub>Ma</sub>	52.69	-62.9	19.95	66.0	162
C <sub>Ma</sub>	59.61	-27.85	-44.43	52.45	238
V <sub>Ma</sub>	28.39	22.72	-42.42	48.13	298
M <sub>Ma</sub>	49.58	71.08	-9.19	71.67	353
N <sub>Ma</sub>	20.0	0.0	0.0	0.0	0
W <sub>Ma</sub>	95.0	0.0	0.0	0.0	0
R <sub>CIE</sub>	39.92	58.74	27.99	65.07	25
J <sub>CIE</sub>	81.26	-2.88	71.56	71.62	92
G <sub>CIE</sub>	52.23	-42.41	13.6	44.55	162
B <sub>CIE</sub>	30.57	1.41	-46.46	46.49	272

Daten für Maximalfarbe (Ma):

$LAB^*LAB^*_{Ma}$ : 49 64 30

$LAB^*LCH^*_{Ma}$ : 49 71 25

$lab^*rgb^*_{Ma}$ : 1.0 0.0 0.0

$lab^*olv^*_{Ma}$ : 1.0 0.0 0.16

Dreiecks-Helligkeit  $t^*$

%Umfang

$u^*_{rel} = 83$

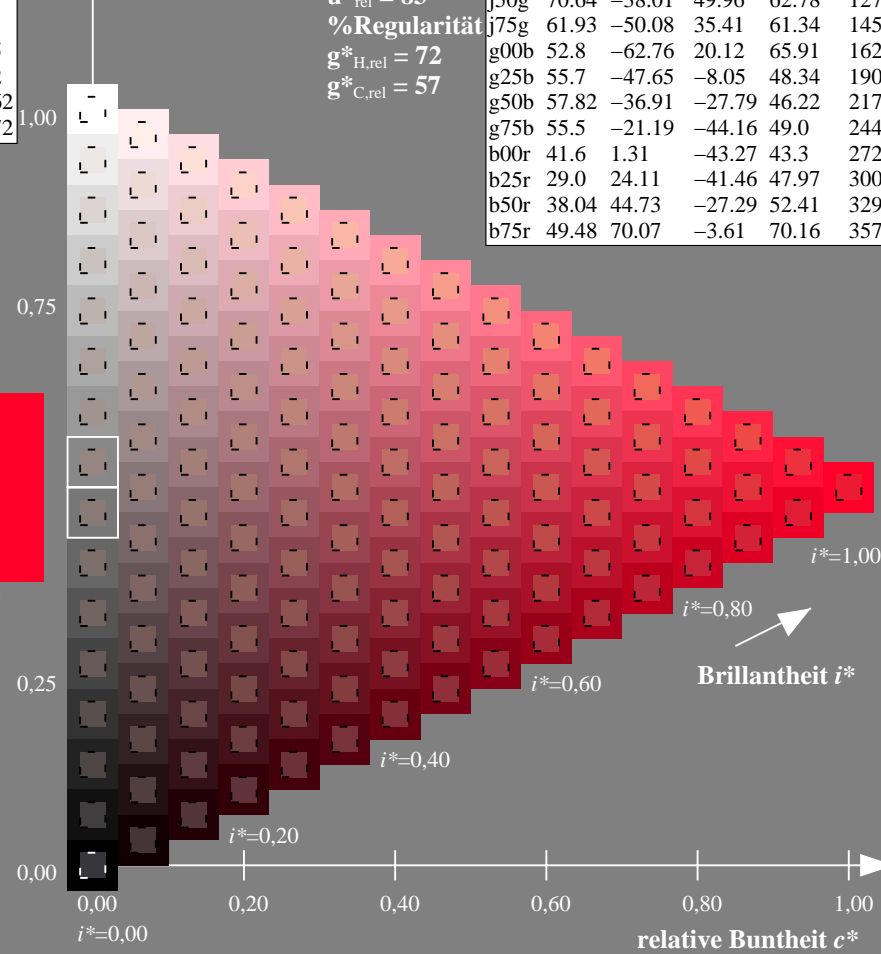
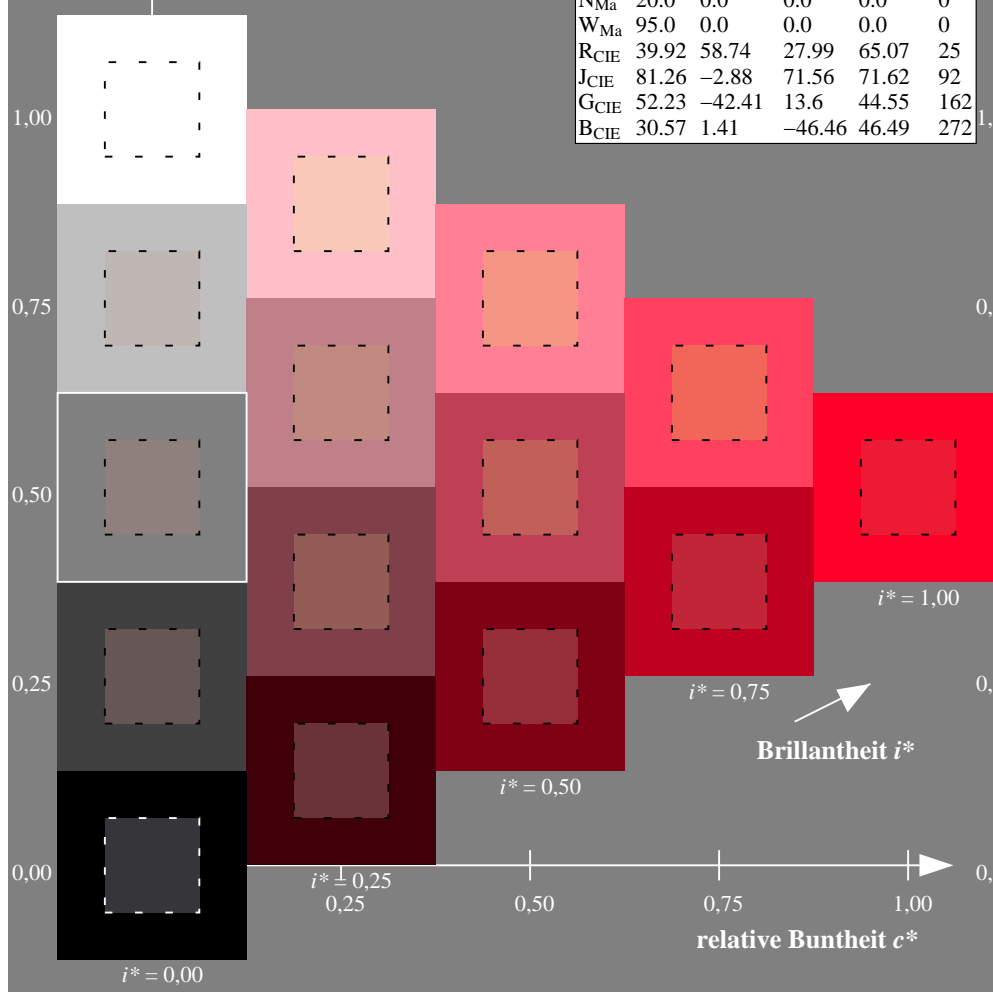
%Regularität

$g^*_{H,rel} = 72$

$g^*_{C,rel} = 57$

ORS20\_95a; adaptierte CIELAB-Daten

	$L^*=L^*_a$	$a^*_a$	$b^*_a$	$C^*_{ab,a}$	$h^*_{ab,a}$
r00j	48.88	63.91	30.45	70.79	25
r25j	55.85	50.36	45.65	67.97	42
r50j	65.45	33.86	56.12	65.54	59
r75j	75.19	17.13	66.73	68.89	76
j00g	87.03	-3.21	79.64	79.7	92
j25g	80.72	-24.03	66.82	71.01	110
j50g	70.64	-38.01	49.96	62.78	127
j75g	61.93	-50.08	35.41	61.34	145
g00b	52.8	-62.76	20.12	65.91	162
g25b	55.7	-47.65	-8.05	48.34	190
g50b	57.82	-36.91	-27.79	46.22	217
g75b	55.5	-21.19	-44.16	49.0	244
b00r	41.6	1.31	-43.27	43.3	272
b25r	29.0	24.11	-41.46	47.97	300
b50r	38.04	44.73	-27.29	52.41	329
b75r	49.48	70.07	-3.61	70.16	357



Ein und Ausgabe: Farbmetrisches Drucker-Reflektiv-System ORS20\_95a für relativen CIELAB-Buntton  $h^* = lab^*h^* = h_{ab}/360 = 42/360 = 0.117$

Daten für jede Farbe:

$lab^*ch^*$  und  $lab^*icu^*$

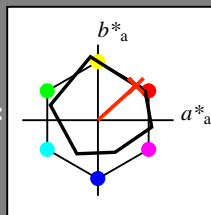
Elementar-Bunttontext:

$u^* = r25j$

Kontrastreduzierungsfaktor:

$c_R = 0.96$

Dreiecks-Helligkeit  $t^*$



ORS20\_95a; adaptierte CIELAB-Daten

	$L^*=L^*_a$	$a^*_a$	$b^*_a$	$C^*_{ab,a}$	$h^*_{ab,a}$
O <sub>Ma</sub>	48.75	62.56	37.91	73.15	31
Y <sub>Ma</sub>	90.92	-9.88	83.88	84.46	97
L <sub>Ma</sub>	52.69	-62.9	19.95	66.0	162
C <sub>Ma</sub>	59.61	-27.85	-44.43	52.45	238
V <sub>Ma</sub>	28.39	22.72	-42.42	48.13	298
M <sub>Ma</sub>	49.58	71.08	-9.19	71.67	353
N <sub>Ma</sub>	20.0	0.0	0.0	0.0	0
W <sub>Ma</sub>	95.0	0.0	0.0	0.0	0
R <sub>CIE</sub>	39.92	58.74	27.99	65.07	25
J <sub>CIE</sub>	81.26	-2.88	71.56	71.62	92
G <sub>CIE</sub>	52.23	-42.41	13.6	44.55	162
B <sub>CIE</sub>	30.57	1.41	-46.46	46.49	272

Daten für Maximalfarbe (Ma):

$LAB^*LAB^*_{Ma}$ : 56 50 46

$LAB^*LCH^*_{Ma}$ : 56 68 42

$lab^*rgb^*_{Ma}$ : 1.0 0.25 0.0

$lab^*olv^*_{Ma}$ : 1.0 0.17 0.0

Dreiecks-Helligkeit  $t^*$

%Umfang

$u^*_{rel} = 83$

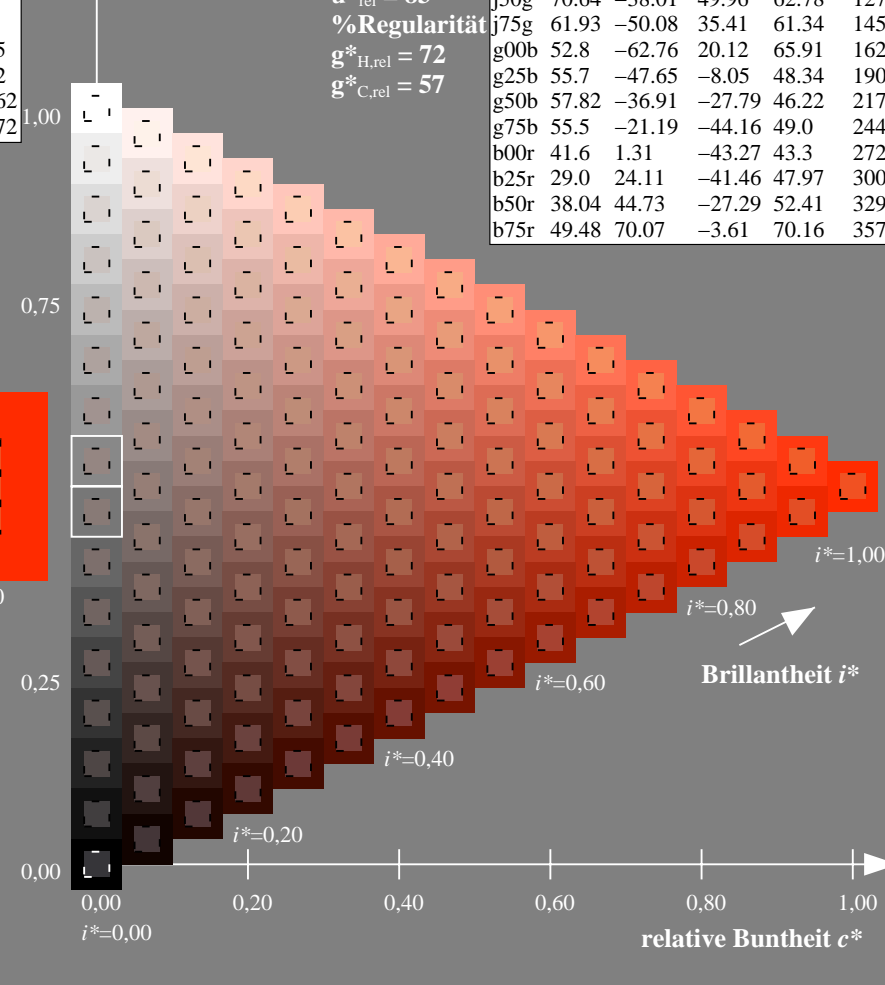
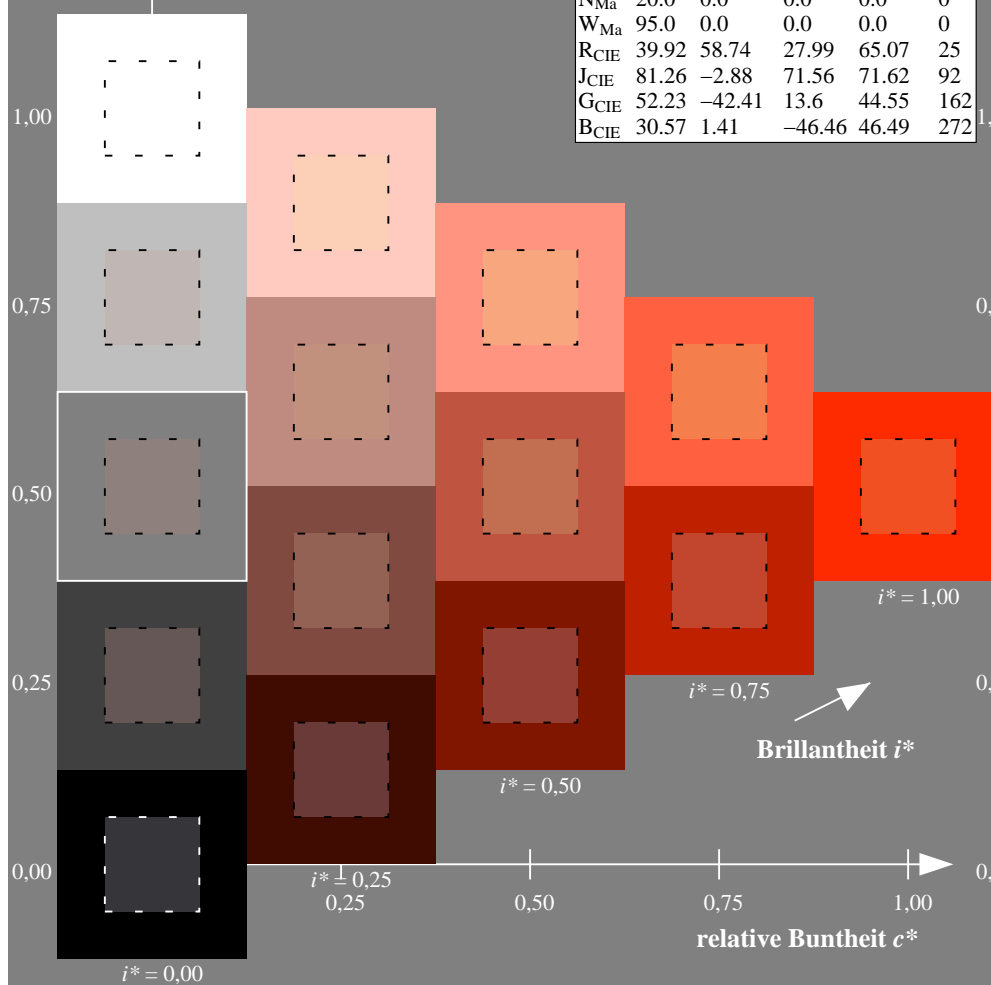
%Regularität

$g^*_{H,rel} = 72$

$g^*_{C,rel} = 57$

ORS20\_95a; adaptierte CIELAB-Daten

	$L^*=L^*_a$	$a^*_a$	$b^*_a$	$C^*_{ab,a}$	$h^*_{ab,a}$
r00j	48.88	63.91	30.45	70.79	25
r25j	55.85	50.36	45.65	67.97	42
r50j	65.45	33.86	56.12	65.54	59
r75j	75.19	17.13	66.73	68.89	76
j00g	87.03	-3.21	79.64	79.7	92
j25g	80.72	-24.03	66.82	71.01	110
j50g	70.64	-38.01	49.96	62.78	127
j75g	61.93	-50.08	35.41	61.34	145
g00b	52.8	-62.76	20.12	65.91	162
g25b	55.7	-47.65	-8.05	48.34	190
g50b	57.82	-36.91	-27.79	46.22	217
g75b	55.5	-21.19	-44.16	49.0	244
b00r	41.6	1.31	-43.27	43.3	272
b25r	29.0	24.11	-41.46	47.97	300
b50r	38.04	44.73	-27.29	52.41	329
b75r	49.48	70.07	-3.61	70.16	357



Ein und Ausgabe: Farbmetrisches Drucker-Reflektiv-System ORS20\_95a für relativen CIELAB-Buntton  $h^* = lab^*h^* = h_{ab}/360 = 59/360 = 0.164$

Daten für jede Farbe:

$lab^*ch^*$  und  $lab^*icu^*$

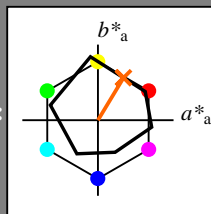
Elementar-Bunttontext:

$u^* = r50j$

Kontrastreduzierungsfaktor:

$c_R = 0.96$

Dreiecks-Helligkeit  $i^*$



ORS20\_95a; adaptierte CIELAB-Daten

	$L^*=L_a^*$	$a_a^*$	$b_a^*$	$C^*_{ab,a}$	$h^*_{ab,a}$
O <sub>Ma</sub>	48.75	62.56	37.91	73.15	31
Y <sub>Ma</sub>	90.92	-9.88	83.88	84.46	97
L <sub>Ma</sub>	52.69	-62.9	19.95	66.0	162
C <sub>Ma</sub>	59.61	-27.85	-44.43	52.45	238
V <sub>Ma</sub>	28.39	22.72	-42.42	48.13	298
M <sub>Ma</sub>	49.58	71.08	-9.19	71.67	353
N <sub>Ma</sub>	20.0	0.0	0.0	0.0	0
W <sub>Ma</sub>	95.0	0.0	0.0	0.0	0
R <sub>CIE</sub>	39.92	58.74	27.99	65.07	25
J <sub>CIE</sub>	81.26	-2.88	71.56	71.62	92
G <sub>CIE</sub>	52.23	-42.41	13.6	44.55	162
B <sub>CIE</sub>	30.57	1.41	-46.46	46.49	272

Daten für Maximalfarbe (Ma):

$LAB^*LAB^*_{Ma}$ : 65 34 56

$LAB^*LCH^*_{Ma}$ : 65 66 59

$lab^*rgb^*_{Ma}$ : 1.0 0.5 0.0

$lab^*olv^*_{Ma}$ : 1.0 0.4 0.0

Dreiecks-Helligkeit  $i^*$

%Umfang

$u^*_{rel} = 83$

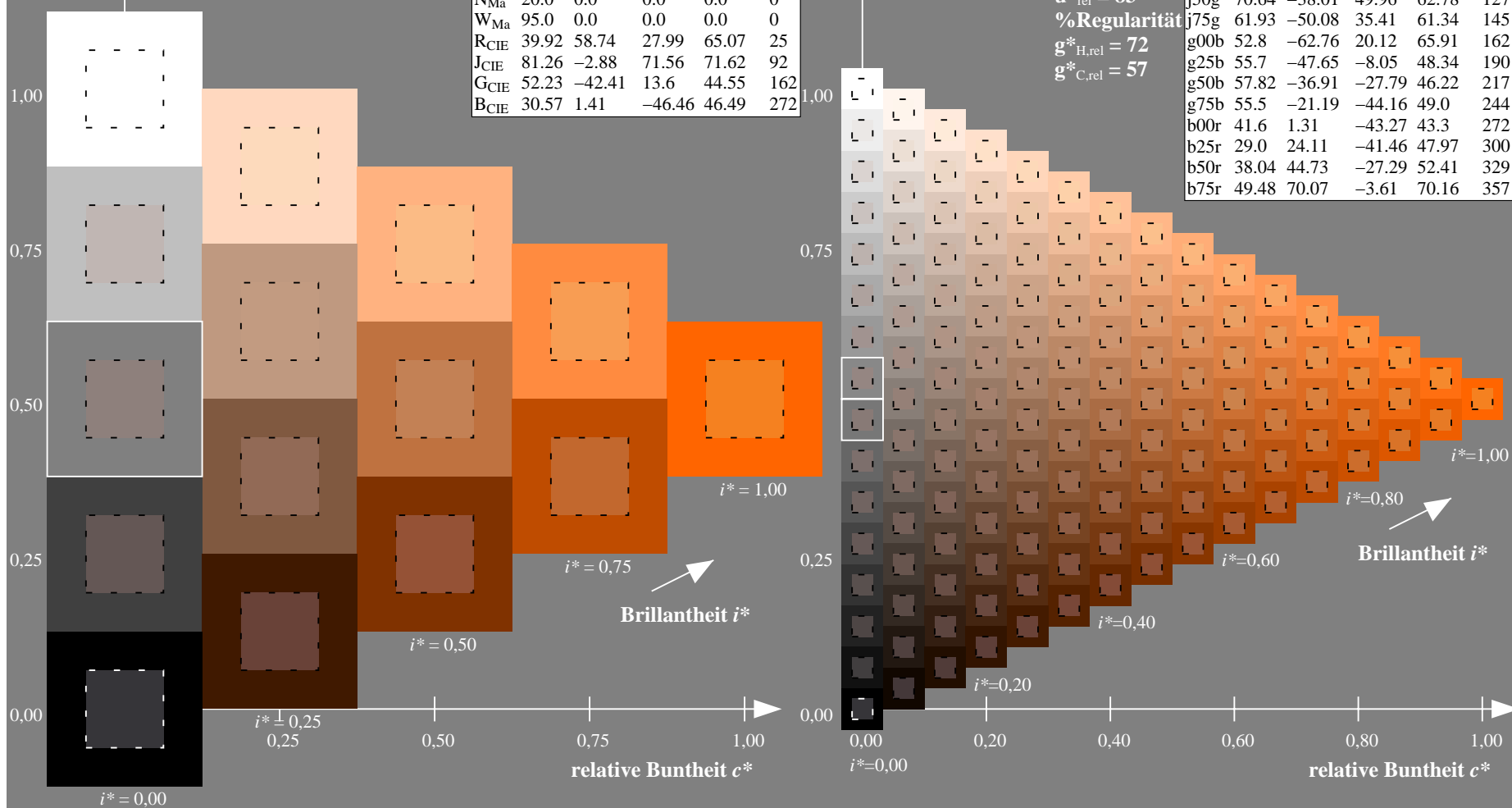
%Regularität

$g^*_{H,rel} = 72$

$g^*_{C,rel} = 57$

ORS20\_95a; adaptierte CIELAB-Daten

	$L^*=L_a^*$	$a_a^*$	$b_a^*$	$C^*_{ab,a}$	$h^*_{ab,a}$
r00j	48.88	63.91	30.45	70.79	25
r25j	55.85	50.36	45.65	67.97	42
r50j	65.45	33.86	56.12	65.54	59
r75j	75.19	17.13	66.73	68.89	76
j00g	87.03	-3.21	79.64	79.7	92
j25g	80.72	-24.03	66.82	71.01	110
j50g	70.64	-38.01	49.96	62.78	127
j75g	61.93	-50.08	35.41	61.34	145
g00b	52.8	-62.76	20.12	65.91	162
g25b	55.7	-47.65	-8.05	48.34	190
g50b	57.82	-36.91	-27.79	46.22	217
g75b	55.5	-21.19	-44.16	49.0	244
b00r	41.6	1.31	-43.27	43.3	272
b25r	29.0	24.11	-41.46	47.97	300
b50r	38.04	44.73	-27.29	52.41	329
b75r	49.48	70.07	-3.61	70.16	357



Ein und Ausgabe: Farbmetrisches Drucker-Reflektiv-System ORS20\_95a für relativen CIELAB-Buntton  $h^* = lab^*h^* = h_{ab}/360 = 76/360 = 0.21$

Daten für jede Farbe:

$lab^*ch^*$  und  $lab^*icu^*$

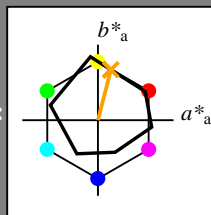
Elementar-Bunttontext:

$u^* = r75j$

Kontrastreduzierungsfaktor:

$c_R = 0.96$

Dreiecks-Helligkeit  $i^*$



ORS20\_95a; adaptierte CIELAB-Daten

	$L^*=L_a^*$	$a_a^*$	$b_a^*$	$C_{ab,a}^*$	$h_{ab,a}^*$
O <sub>Ma</sub>	48.75	62.56	37.91	73.15	31
Y <sub>Ma</sub>	90.92	-9.88	83.88	84.46	97
L <sub>Ma</sub>	52.69	-62.9	19.95	66.0	162
C <sub>Ma</sub>	59.61	-27.85	-44.43	52.45	238
V <sub>Ma</sub>	28.39	22.72	-42.42	48.13	298
M <sub>Ma</sub>	49.58	71.08	-9.19	71.67	353
N <sub>Ma</sub>	20.0	0.0	0.0	0.0	0
W <sub>Ma</sub>	95.0	0.0	0.0	0.0	0
R <sub>CIE</sub>	39.92	58.74	27.99	65.07	25
J <sub>CIE</sub>	81.26	-2.88	71.56	71.62	92
G <sub>CIE</sub>	52.23	-42.41	13.6	44.55	162
B <sub>CIE</sub>	30.57	1.41	-46.46	46.49	272

Daten für Maximalfarbe (Ma):

$LAB^*LAB^*Ma$ : 75 17 67

$LAB^*LCH^*Ma$ : 75 69 76

$lab^*rgb^*Ma$ : 1.0 0.75 0.0

$lab^*olv^*Ma$ : 1.0 0.63 0.0

Dreiecks-Helligkeit  $i^*$

%Umfang

$u^*_{rel} = 83$

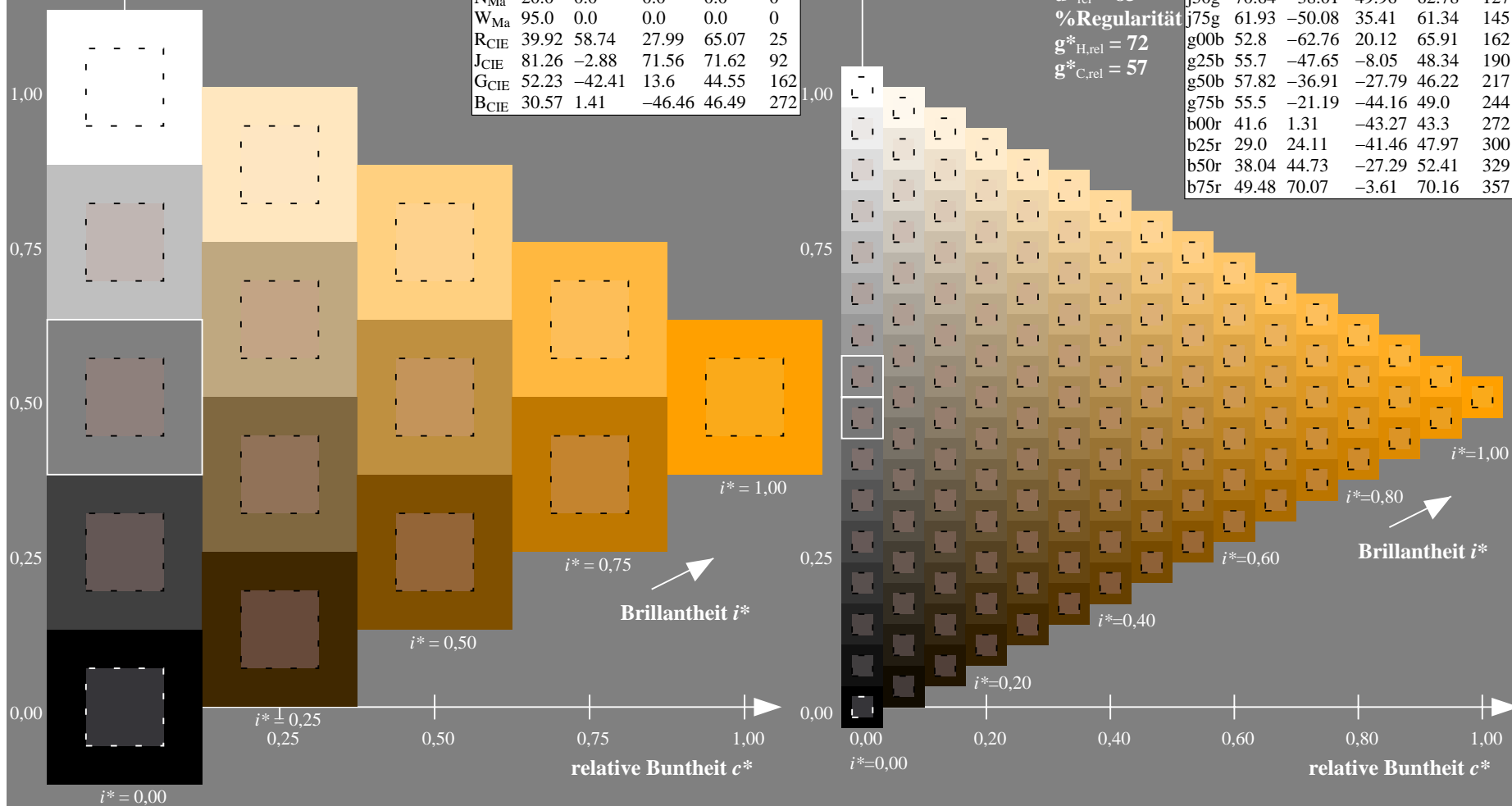
%Regularität

$g^*_{H,rel} = 72$

$g^*_{C,rel} = 57$

ORS20\_95a; adaptierte CIELAB-Daten

	$L^*=L_a^*$	$a_a^*$	$b_a^*$	$C_{ab,a}^*$	$h_{ab,a}^*$
r00j	48.88	63.91	30.45	70.79	25
r25j	55.85	50.36	45.65	67.97	42
r50j	65.45	33.86	56.12	65.54	59
r75j	75.19	17.13	66.73	68.89	76
j00g	87.03	-3.21	79.64	79.7	92
j25g	80.72	-24.03	66.82	71.01	110
j50g	70.64	-38.01	49.96	62.78	127
j75g	61.93	-50.08	35.41	61.34	145
g00b	52.8	-62.76	20.12	65.91	162
g25b	55.7	-47.65	-8.05	48.34	190
g50b	57.82	-36.91	-27.79	46.22	217
g75b	55.5	-21.19	-44.16	49.0	244
b00r	41.6	1.31	-43.27	43.3	272
b25r	29.0	24.11	-41.46	47.97	300
b50r	38.04	44.73	-27.29	52.41	329
b75r	49.48	70.07	-3.61	70.16	357



Ein und Ausgabe: Farbmetrisches Drucker-Reflektiv-System ORS20\_95a für relativen CIELAB-Buntton  $h^* = lab^*h^* = h_{ab}/360 = 92/360 = 0.256$

Daten für jede Farbe:

$lab^*ch^*$  und  $lab^*icu^*$

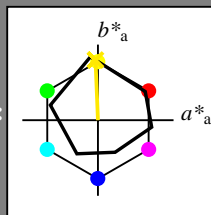
Elementar-Bunttontext:

$u^* = j00g$

Kontrastreduzierungsfaktor:

$c_R = 0.96$

Dreiecks-Helligkeit  $i^*$



ORS20\_95a; adaptierte CIELAB-Daten

	$L^*=L^*_a$	$a^*_a$	$b^*_a$	$C^*_{ab,a}$	$h^*_{ab,a}$
O <sub>Ma</sub>	48.75	62.56	37.91	73.15	31
Y <sub>Ma</sub>	90.92	-9.88	83.88	84.46	97
L <sub>Ma</sub>	52.69	-62.9	19.95	66.0	162
C <sub>Ma</sub>	59.61	-27.85	-44.43	52.45	238
V <sub>Ma</sub>	28.39	22.72	-42.42	48.13	298
M <sub>Ma</sub>	49.58	71.08	-9.19	71.67	353
N <sub>Ma</sub>	20.0	0.0	0.0	0.0	0
W <sub>Ma</sub>	95.0	0.0	0.0	0.0	0
R <sub>CIE</sub>	39.92	58.74	27.99	65.07	25
J <sub>CIE</sub>	81.26	-2.88	71.56	71.62	92
G <sub>CIE</sub>	52.23	-42.41	13.6	44.55	162
B <sub>CIE</sub>	30.57	1.41	-46.46	46.49	272

Daten für Maximalfarbe (Ma):

$LAB^*LAB^*_{Ma}$ : 87 -2 80

$LAB^*LCH^*_{Ma}$ : 87 80 92

$lab^*rgb^*_{Ma}$ : 1.0 1.0 0.0

$lab^*olv^*_{Ma}$ : 1.0 0.91 0.0

Dreiecks-Helligkeit  $i^*$

%Umfang

$u^*_{rel} = 83$

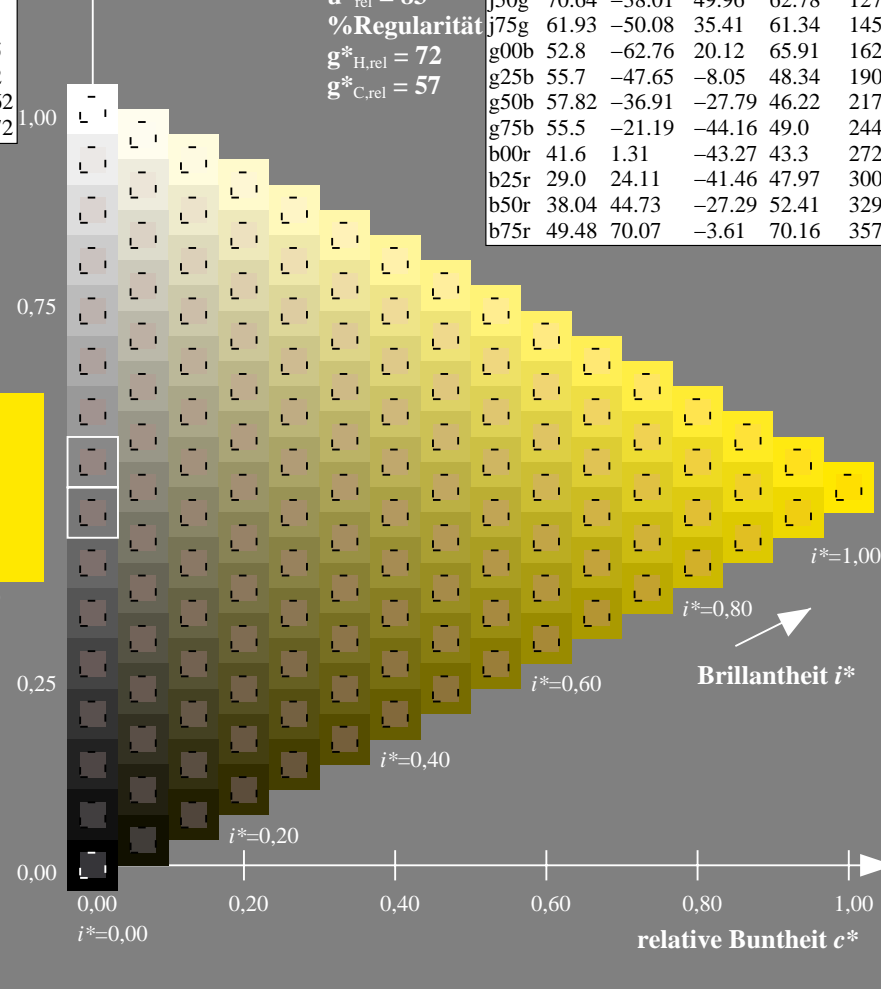
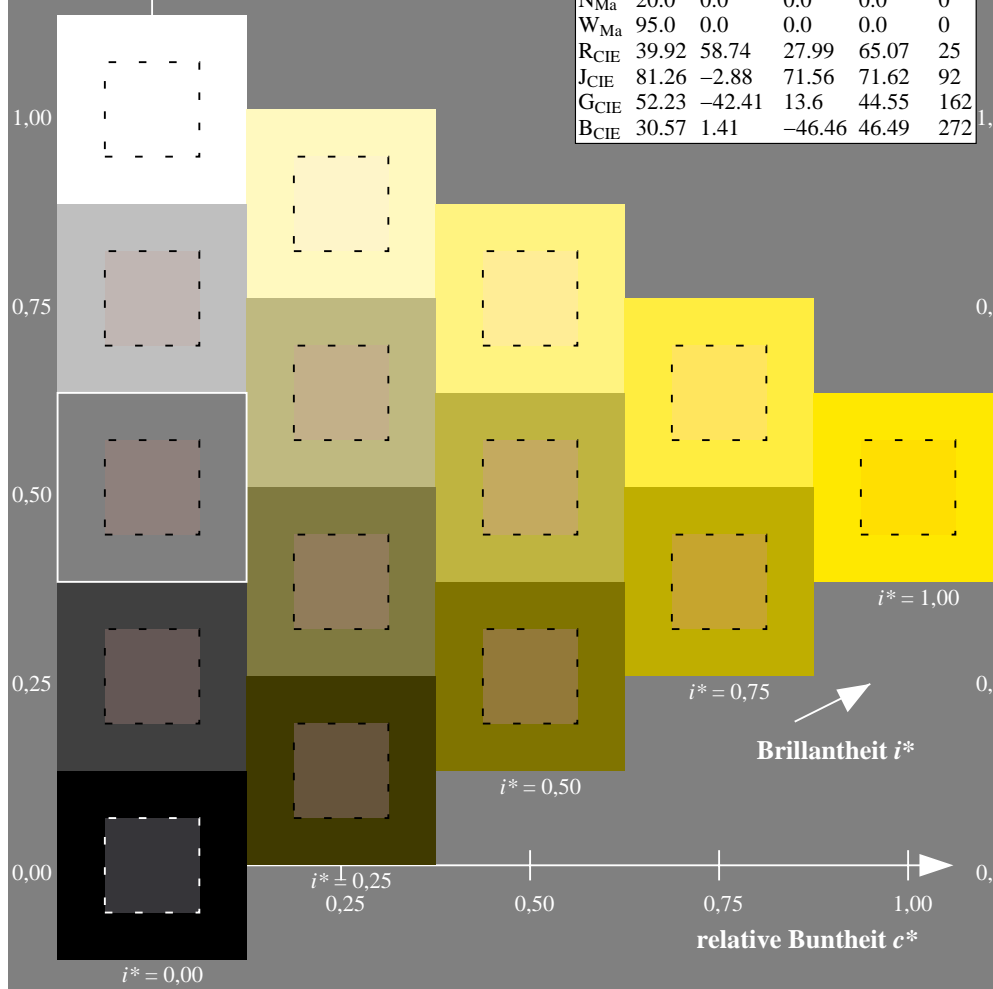
%Regularität

$g^*_{H,rel} = 72$

$g^*_{C,rel} = 57$

ORS20\_95a; adaptierte CIELAB-Daten

	$L^*=L^*_a$	$a^*_a$	$b^*_a$	$C^*_{ab,a}$	$h^*_{ab,a}$
r00j	48.88	63.91	30.45	70.79	25
r25j	55.85	50.36	45.65	67.97	42
r50j	65.45	33.86	56.12	65.54	59
r75j	75.19	17.13	66.73	68.89	76
j00g	87.03	-3.21	79.64	79.7	92
j25g	80.72	-24.03	66.82	71.01	110
j50g	70.64	-38.01	49.96	62.78	127
j75g	61.93	-50.08	35.41	61.34	145
g00b	52.8	-62.76	20.12	65.91	162
g25b	55.7	-47.65	-8.05	48.34	190
g50b	57.82	-36.91	-27.79	46.22	217
g75b	55.5	-21.19	-44.16	49.0	244
b00r	41.6	1.31	-43.27	43.3	272
b25r	29.0	24.11	-41.46	47.97	300
b50r	38.04	44.73	-27.29	52.41	329
b75r	49.48	70.07	-3.61	70.16	357





Ein und Ausgabe: Farbmétrisches Drucker-Reflektiv-System ORS20\_95a für relativen CIELAB-Buntton  $h^* = lab^*h^* = h_{ab}/360 = 110/360 = 0.305$

### Daten für jede Farbe:

*lab\*tch\** und *lab\*icu\**

### Elementar-Bunttontext:

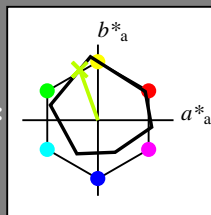
$$u^* = j25g$$

**Kontrastreduzierungsfaktor:**

 $c_R = 0.96$ 

### Dreiecks-Helligkeit $t^*$

**Directs membership:**



ORS20_95a; adaptierte CIELAB-Daten					
	$L^*_a$	$a^*_a$	$b^*_a$	$C^*_{ab,a}$	$h^*_{ab,a}$
O <sub>Ma</sub>	48.75	62.56	37.91	73.15	31
Y <sub>Ma</sub>	90.92	-9.88	83.88	84.6	97
L <sub>Ma</sub>	52.69	-62.9	19.95	66.0	162
C <sub>Ma</sub>	59.61	-27.85	-44.43	52.45	238
V <sub>Ma</sub>	28.39	22.72	-42.42	48.13	298
M <sub>Ma</sub>	49.58	71.08	-9.19	71.67	353
N <sub>Ma</sub>	20.0	0.0	0.0	0.0	0
W <sub>Ma</sub>	95.0	0.0	0.0	0.0	0
R <sub>CIE</sub>	39.92	58.74	27.99	65.07	25
J <sub>CIE</sub>	81.26	-2.88	71.56	71.62	92
G <sub>CIE</sub>	52.23	-42.41	13.6	44.55	162
B <sub>CIE</sub>	30.57	1.41	-46.46	46.49	272

### Daten für Maximalfarbe (Ma):

***LAB\*LAB\**<sub>Ma</sub>: 81 -23 67**

**LAB\*LCH\*Ma: 81 71 110**

*lab\*rgb\*\_Ma: 0.75 1.0 0.0*

*lab\*rgb\**<sub>Ma</sub>: 0.75 1.0 0.0  
*lab\*oly\**<sub>Ma</sub>: 0.73 1.0 0.0

**lab\*olv\*<sub>Ma</sub>: 0.73 1.0 0.0**

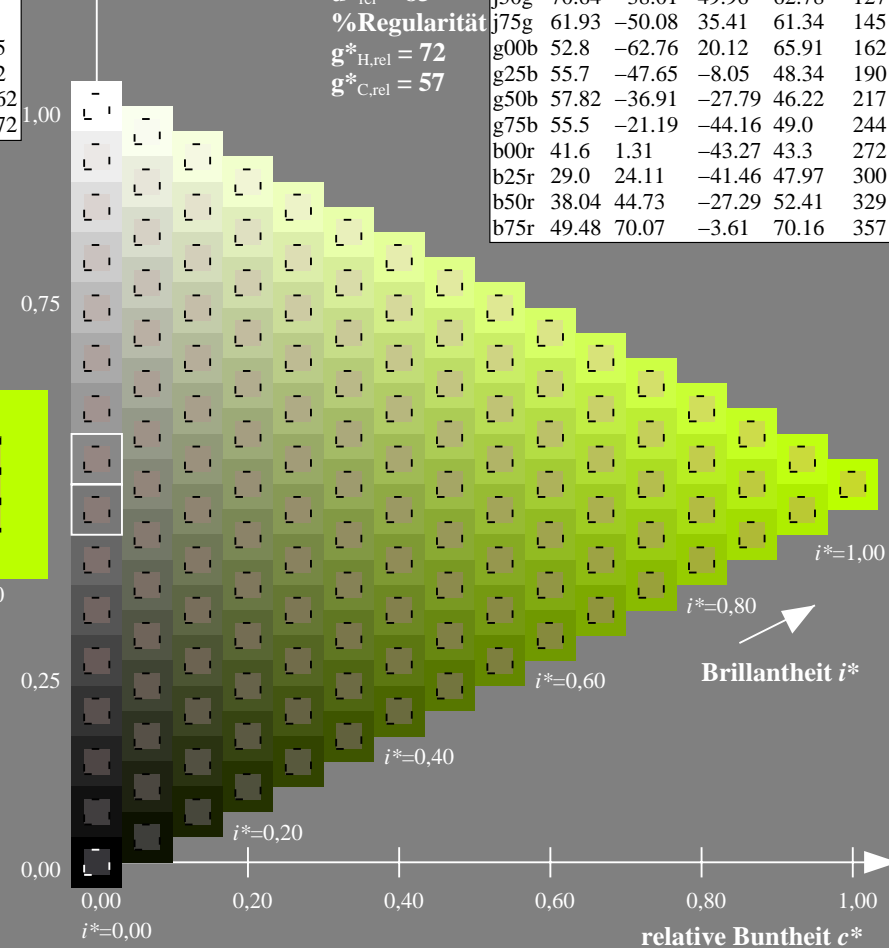
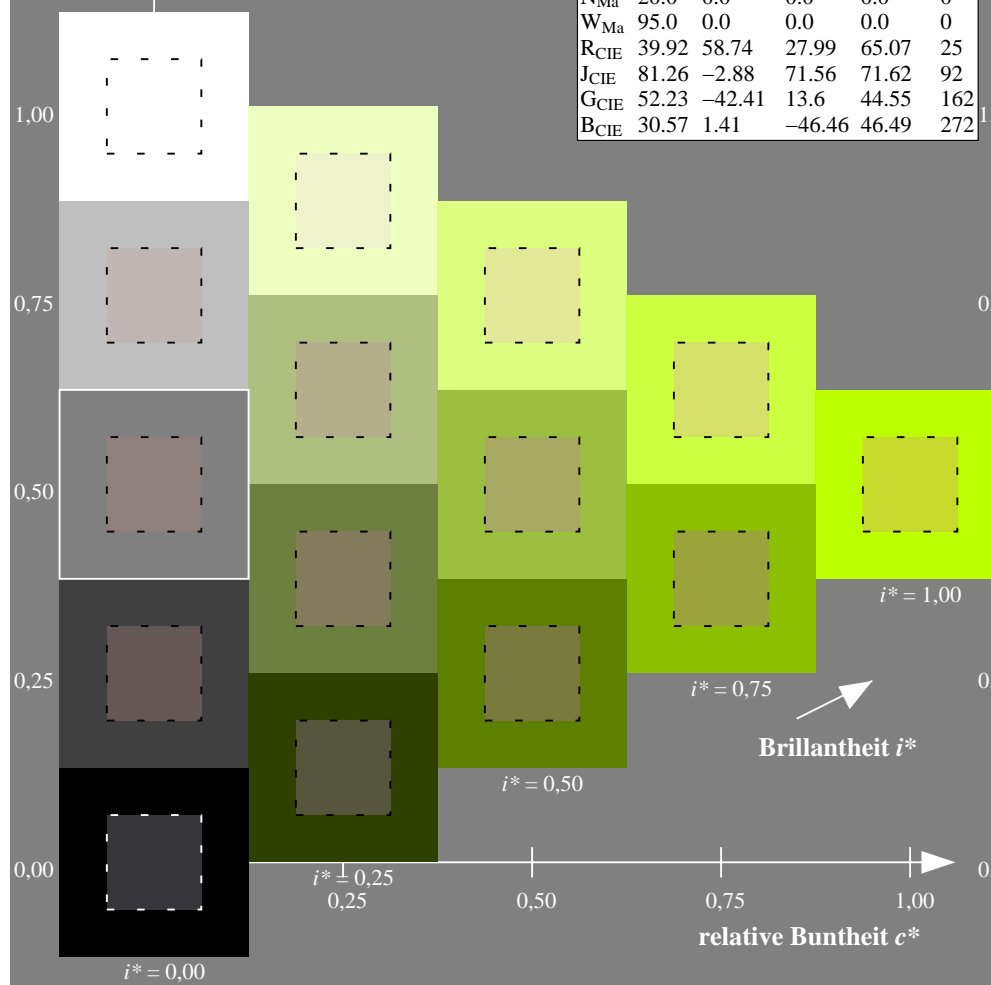
### Dreiecks-Helligkeit $t^*$

ORS20 95a; adaptierte CIELAB-Daten					
	$L^*_a$	$a^*_a$	$b^*_a$	$C^*_{ab,a}$	$h^*_{ab,a}$
r00j	48.88	63.91	30.45	70.79	25
r25j	55.85	50.36	45.65	67.97	42
r50j	65.45	33.86	56.12	65.54	59
r75j	75.19	17.13	66.73	68.89	76
j00g	87.03	-3.21	79.64	79.7	92
j25g	80.72	-24.03	66.82	71.01	110
j50g	70.64	-38.01	49.96	62.78	127
j75g	61.93	-50.08	35.41	61.34	145
g00b	52.8	-62.76	20.12	65.91	162
g25b	55.7	-47.65	-8.05	48.34	190
g50b	57.82	-36.91	-27.79	46.22	217
g75b	55.5	-21.19	-44.16	49.0	244
b00r	41.6	1.31	-43.27	43.3	272
b25r	29.0	24.11	-41.46	47.97	300
b50r	38.04	44.73	-27.29	52.41	329
b75r	49.48	70.07	-3.61	70.16	357

## %Umfang

$$\mathbf{u}_{\text{rel}}^* = 83$$

%Regular

$$g^*_{H,rel} = 72$$
$$g^*_{C,rel} = 57$$


Ein und Ausgabe: Farbmetrisches Drucker-Reflektiv-System ORS20\_95a für relativen CIELAB-Buntton  $h^* = lab^*h^* = h_{ab}/360 = 127/360 = 0.354$

Daten für jede Farbe:

$lab^*ch^*$  und  $lab^*icu^*$

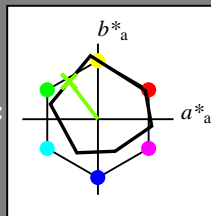
Elementar-Bunttontext:

$u^* = j50g$

Kontrastreduzierungsfaktor:

$c_R = 0.96$

Dreiecks-Helligkeit  $i^*$



ORS20\_95a; adaptierte CIELAB-Daten

	$L^*=L^*_a$	$a^*_a$	$b^*_a$	$C^*_{ab,a}$	$h^*_{ab,a}$
O <sub>Ma</sub>	48.75	62.56	37.91	73.15	31
Y <sub>Ma</sub>	90.92	-9.88	83.88	84.46	97
L <sub>Ma</sub>	52.69	-62.9	19.95	66.0	162
C <sub>Ma</sub>	59.61	-27.85	-44.43	52.45	238
V <sub>Ma</sub>	28.39	22.72	-42.42	48.13	298
M <sub>Ma</sub>	49.58	71.08	-9.19	71.67	353
N <sub>Ma</sub>	20.0	0.0	0.0	0.0	0
W <sub>Ma</sub>	95.0	0.0	0.0	0.0	0
R <sub>CIE</sub>	39.92	58.74	27.99	65.07	25
J <sub>CIE</sub>	81.26	-2.88	71.56	71.62	92
G <sub>CIE</sub>	52.23	-42.41	13.6	44.55	162
B <sub>CIE</sub>	30.57	1.41	-46.46	46.49	272

Daten für Maximalfarbe (Ma):

$LAB^*LAB^*_{Ma}$ : 71 -37 50

$LAB^*LCH^*_{Ma}$ : 71 63 127

$lab^*rgb^*_{Ma}$ : 0.5 1.0 0.0

$lab^*olv^*_{Ma}$ : 0.47 1.0 0.0

Dreiecks-Helligkeit  $i^*$

%Umfang

$u^*_{rel} = 83$

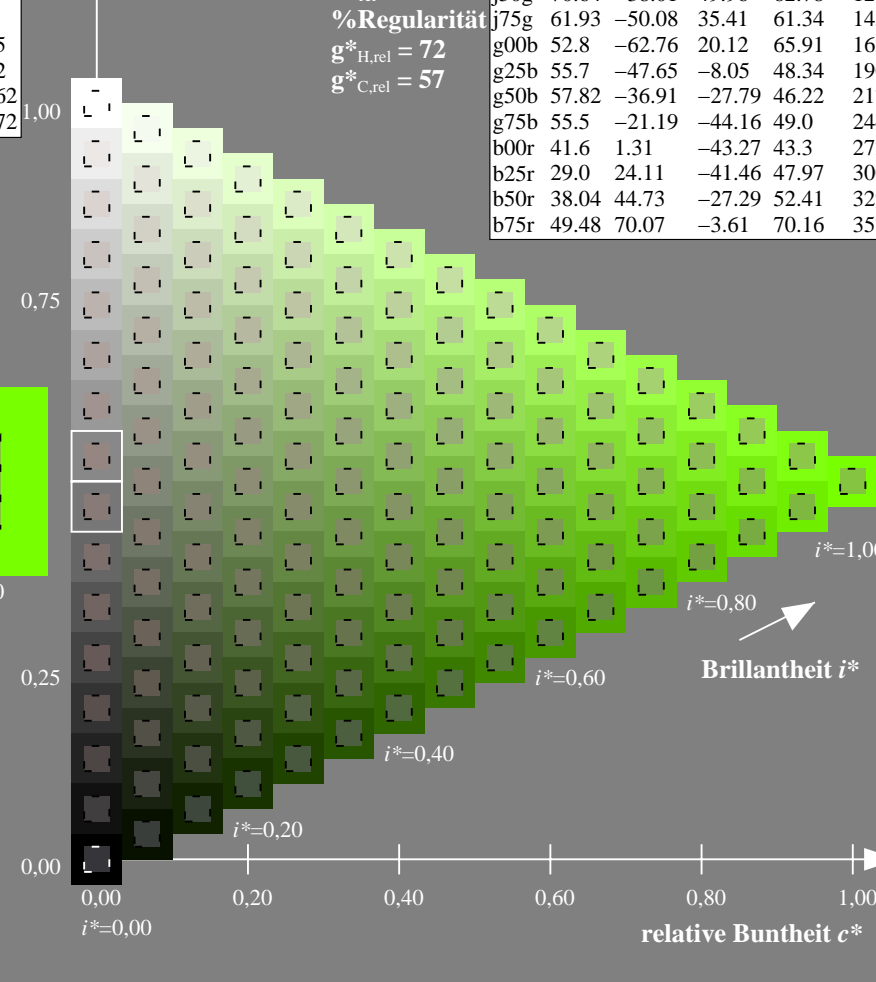
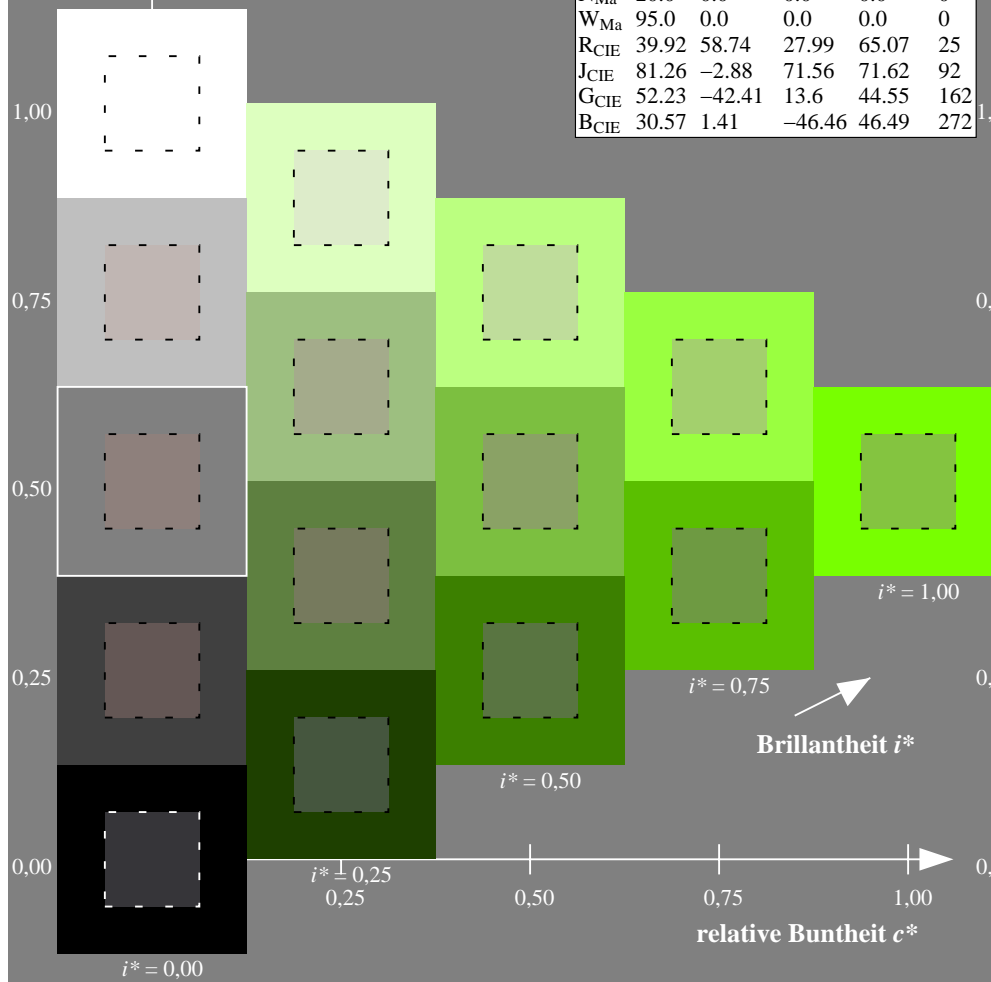
%Regularität

$g^*_{H,rel} = 72$

$g^*_{C,rel} = 57$

ORS20\_95a; adaptierte CIELAB-Daten

	$L^*=L^*_a$	$a^*_a$	$b^*_a$	$C^*_{ab,a}$	$h^*_{ab,a}$
r00j	48.88	63.91	30.45	70.79	25
r25j	55.85	50.36	45.65	67.97	42
r50j	65.45	33.86	56.12	65.54	59
r75j	75.19	17.13	66.73	68.89	76
j00g	87.03	-3.21	79.64	79.7	92
j25g	80.72	-24.03	66.82	71.01	110
j50g	70.64	-38.01	49.96	62.78	127
j75g	61.93	-50.08	35.41	61.34	145
g00b	52.8	-62.76	20.12	65.91	162
g25b	55.7	-47.65	-8.05	48.34	190
g50b	57.82	-36.91	-27.79	46.22	217
g75b	55.5	-21.19	-44.16	49.0	244
b00r	41.6	1.31	-43.27	43.3	272
b25r	29.0	24.11	-41.46	47.97	300
b50r	38.04	44.73	-27.29	52.41	329
b75r	49.48	70.07	-3.61	70.16	357





Ein und Ausgabe: Farbmetrisches Drucker-Reflektiv-System ORS20\_95a für relativen CIELAB-Buntton  $h^* = lab^*h^* = h_{ab}/360 = 145/360 = 0.402$

Daten für jede Farbe:

$lab^*ch^*$  und  $lab^*icu^*$

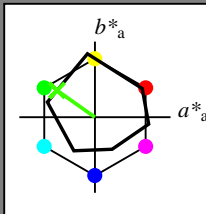
Elementar-Bunttontext:

$u^* = j75g$

Kontrastreduzierungsfaktor:

$c_R = 0.96$

Dreiecks-Helligkeit  $i^*$



ORS20\_95a; adaptierte CIELAB-Daten

	$L^*=L_a^*$	$a_a^*$	$b_a^*$	$C_{ab,a}^*$	$h_{ab,a}^*$
O <sub>Ma</sub>	48.75	62.56	37.91	73.15	31
Y <sub>Ma</sub>	90.92	-9.88	83.88	84.46	97
L <sub>Ma</sub>	52.69	-62.9	19.95	66.0	162
C <sub>Ma</sub>	59.61	-27.85	-44.43	52.45	238
V <sub>Ma</sub>	28.39	22.72	-42.42	48.13	298
M <sub>Ma</sub>	49.58	71.08	-9.19	71.67	353
N <sub>Ma</sub>	20.0	0.0	0.0	0.0	0
W <sub>Ma</sub>	95.0	0.0	0.0	0.0	0
R <sub>CIE</sub>	39.92	58.74	27.99	65.07	25
J <sub>CIE</sub>	81.26	-2.88	71.56	71.62	92
G <sub>CIE</sub>	52.23	-42.41	13.6	44.55	162
B <sub>CIE</sub>	30.57	1.41	-46.46	46.49	272

Daten für Maximalfarbe (Ma):

$LAB^*LAB^*_{Ma}$ : 62 -49 35

$LAB^*LCH^*_{Ma}$ : 62 61 145

$lab^*rgb^*_{Ma}$ : 0.25 1.0 0.0

$lab^*olv^*_{Ma}$ : 0.24 1.0 0.0

Dreiecks-Helligkeit  $i^*$

%Umfang

$u^*_{rel} = 83$

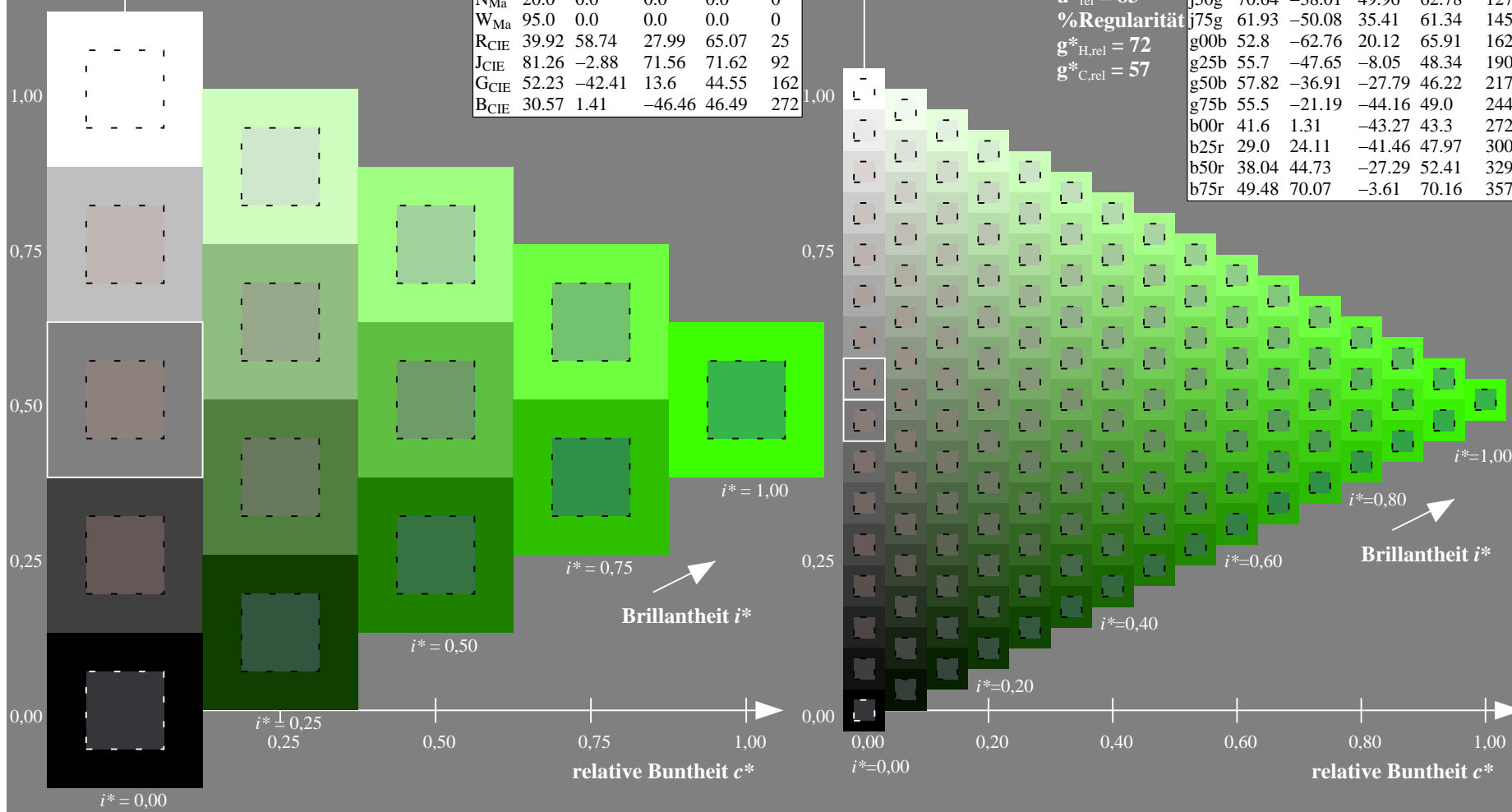
%Regularität

$g^*_{H,rel} = 72$

$g^*_{C,rel} = 57$

ORS20\_95a; adaptierte CIELAB-Daten

	$L^*=L_a^*$	$a_a^*$	$b_a^*$	$C_{ab,a}^*$	$h_{ab,a}^*$
r00j	48.88	63.91	30.45	70.79	25
r25j	55.85	50.36	45.65	67.97	42
r50j	65.45	33.86	56.12	65.54	59
r75j	75.19	17.13	66.73	68.89	76
j00g	87.03	-3.21	79.64	79.7	92
j25g	80.72	-24.03	66.82	71.01	110
j50g	70.64	-38.01	49.96	62.78	127
j75g	61.93	-50.08	35.41	61.34	145
g00b	52.8	-62.76	20.12	65.91	162
g25b	55.7	-47.65	-8.05	48.34	190
g50b	57.82	-36.91	-27.79	46.22	217
g75b	55.5	-21.19	-44.16	49.0	244
b00r	41.6	1.31	-43.27	43.3	272
b25r	29.0	24.11	-41.46	47.97	300
b50r	38.04	44.73	-27.29	52.41	329
b75r	49.48	70.07	-3.61	70.16	357



Ein und Ausgabe: Farbmetrisches Drucker-Reflektiv-System ORS20\_95a für relativen CIELAB-Buntton  $h^* = lab^*h^* = h_{ab}/360 = 162/360 = 0.451$

Daten für jede Farbe:

$lab^*ch^*$  und  $lab^*icu^*$

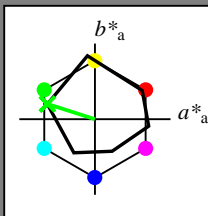
Elementar-Bunttontext:

$u^* = g00b$

Kontrastreduzierungsfaktor:

$c_R = 0.96$

Dreiecks-Helligkeit  $i^*$



ORS20\_95a; adaptierte CIELAB-Daten

	$L^*=L^*_a$	$a^*_a$	$b^*_a$	$C^*_{ab,a}$	$h^*_{ab,a}$
O <sub>Ma</sub>	48.75	62.56	37.91	73.15	31
Y <sub>Ma</sub>	90.92	-9.88	83.88	84.46	97
L <sub>Ma</sub>	52.69	-62.9	19.95	66.0	162
C <sub>Ma</sub>	59.61	-27.85	-44.43	52.45	238
V <sub>Ma</sub>	28.39	22.72	-42.42	48.13	298
M <sub>Ma</sub>	49.58	71.08	-9.19	71.67	353
N <sub>Ma</sub>	20.0	0.0	0.0	0.0	0
W <sub>Ma</sub>	95.0	0.0	0.0	0.0	0
R <sub>CIE</sub>	39.92	58.74	27.99	65.07	25
J <sub>CIE</sub>	81.26	-2.88	71.56	71.62	92
G <sub>CIE</sub>	52.23	-42.41	13.6	44.55	162
B <sub>CIE</sub>	30.57	1.41	-46.46	46.49	272

Daten für Maximalfarbe (Ma):

$LAB^*LAB^*_{Ma}$ : 53 -62 20

$LAB^*LCH^*_{Ma}$ : 53 66 162

$lab^*rgb^*_{Ma}$ : 0.0 1.0 0.0

$lab^*olv^*_{Ma}$ : 0.0 1.0 0.0

Dreiecks-Helligkeit  $i^*$

%Umfang

$u^*_{rel} = 83$

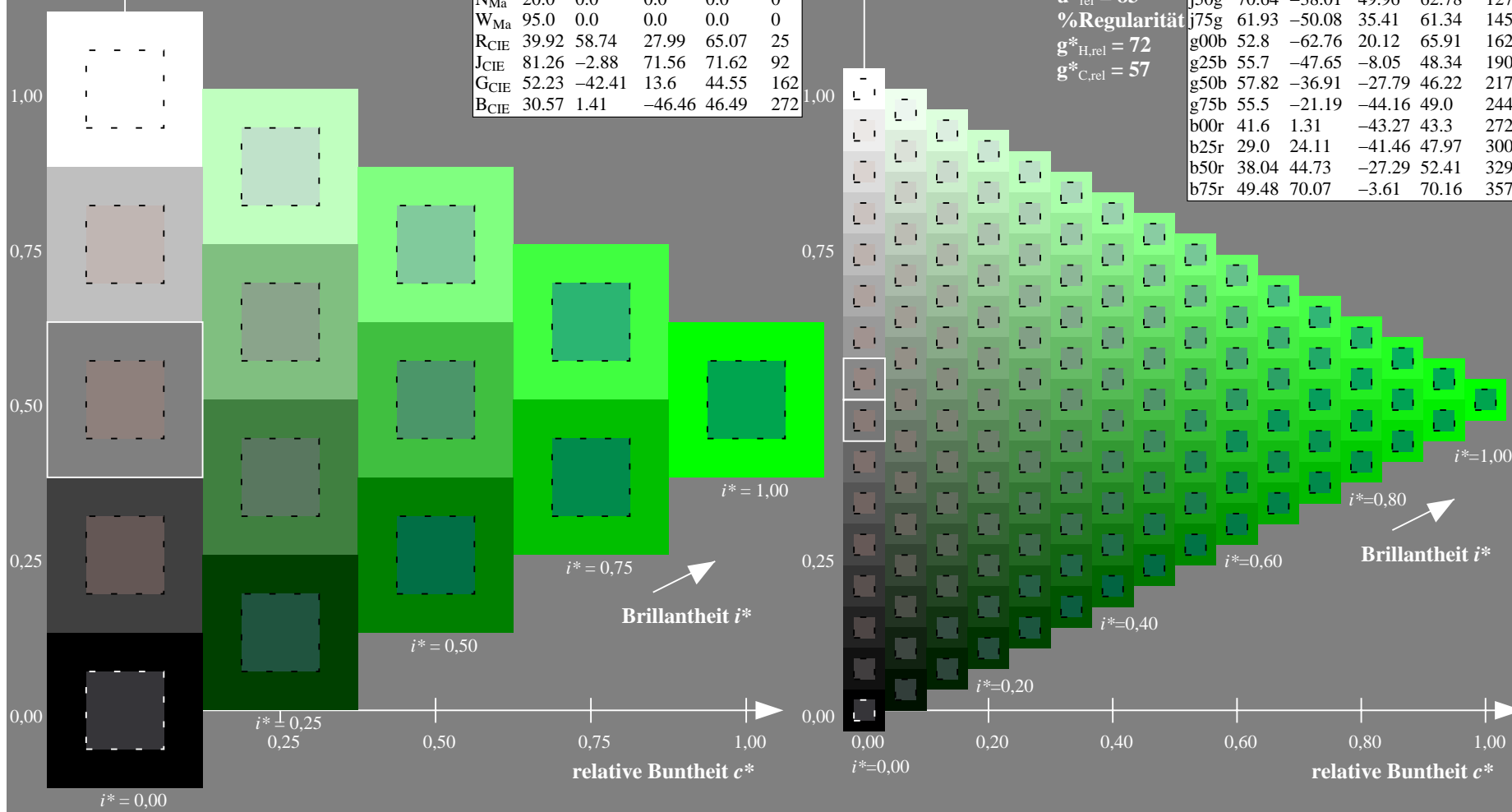
%Regularität

$g^*_{H,rel} = 72$

$g^*_{C,rel} = 57$

ORS20\_95a; adaptierte CIELAB-Daten

	$L^*=L^*_a$	$a^*_a$	$b^*_a$	$C^*_{ab,a}$	$h^*_{ab,a}$
r00j	48.88	63.91	30.45	70.79	25
r25j	55.85	50.36	45.65	67.97	42
r50j	65.45	33.86	56.12	65.54	59
r75j	75.19	17.13	66.73	68.89	76
j00g	87.03	-3.21	79.64	79.7	92
j25g	80.72	-24.03	66.82	71.01	110
j50g	70.64	-38.01	49.96	62.78	127
j75g	61.93	-50.08	35.41	61.34	145
g00b	52.8	-62.76	20.12	65.91	162
g25b	55.7	-47.65	-8.05	48.34	190
g50b	57.82	-36.91	-27.79	46.22	217
g75b	55.5	-21.19	-44.16	49.0	244
b00r	41.6	1.31	-43.27	43.3	272
b25r	29.0	24.11	-41.46	47.97	300
b50r	38.04	44.73	-27.29	52.41	329
b75r	49.48	70.07	-3.61	70.16	357



Ein und Ausgabe: Farbmimetrisches Drucker-Reflektiv-System ORS20\_95a für relativen CIELAB-Buntton  $h^* = lab^*h^* = h_{ab}/360 = 190/360 = 0.527$

Daten für jede Farbe:

$lab^*ch^*$  und  $lab^*icu^*$

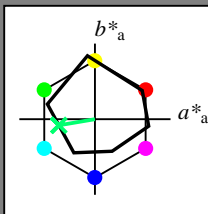
Elementar-Bunttontext:

$u^* = g25b$

Kontrastreduzierungsfaktor:

$c_R = 0.96$

Dreiecks-Helligkeit  $i^*$



ORS20\_95a; adaptierte CIELAB-Daten

	$L^*=L_a^*$	$a_a^*$	$b_a^*$	$C_{ab,a}^*$	$h_{ab,a}^*$
O <sub>Ma</sub>	48.75	62.56	37.91	73.15	31
Y <sub>Ma</sub>	90.92	-9.88	83.88	84.46	97
L <sub>Ma</sub>	52.69	-62.9	19.95	66.0	162
C <sub>Ma</sub>	59.61	-27.85	-44.43	52.45	238
V <sub>Ma</sub>	28.39	22.72	-42.42	48.13	298
M <sub>Ma</sub>	49.58	71.08	-9.19	71.67	353
N <sub>Ma</sub>	20.0	0.0	0.0	0.0	0
W <sub>Ma</sub>	95.0	0.0	0.0	0.0	0
R <sub>CIE</sub>	39.92	58.74	27.99	65.07	25
J <sub>CIE</sub>	81.26	-2.88	71.56	71.62	92
G <sub>CIE</sub>	52.23	-42.41	13.6	44.55	162
B <sub>CIE</sub>	30.57	1.41	-46.46	46.49	272

Daten für Maximalfarbe (Ma):

$LAB^*LAB^*Ma$ : 56 -47 -7

$LAB^*LCH^*Ma$ : 56 48 190

$lab^*rgb^*Ma$ : 0.0 1.0 0.5

$lab^*olv^*Ma$ : 0.0 1.0 0.44

Dreiecks-Helligkeit  $i^*$

%Umfang

$u^*_{rel} = 83$

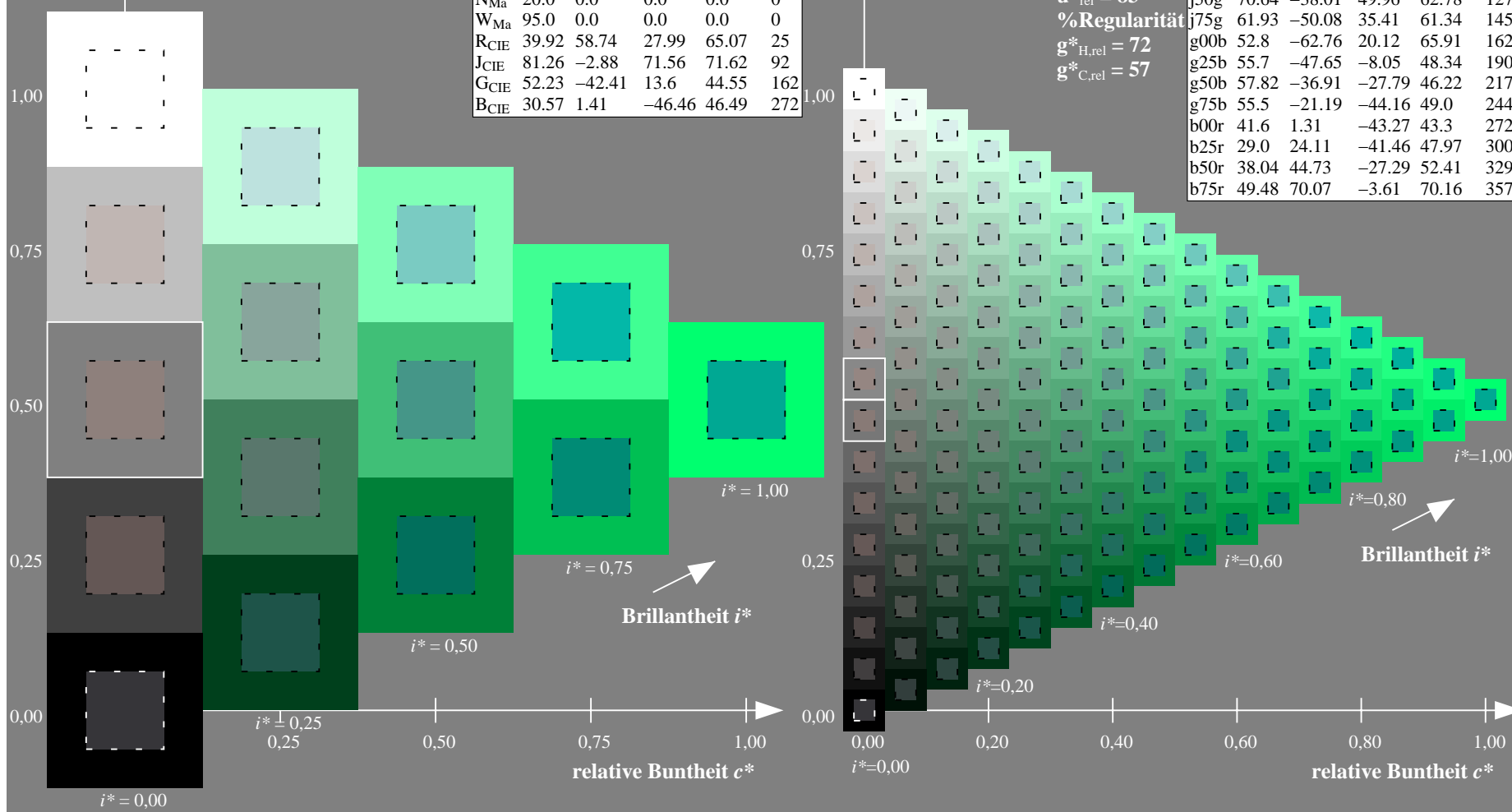
%Regularität

$g^*_{H,rel} = 72$

$g^*_{C,rel} = 57$

ORS20\_95a; adaptierte CIELAB-Daten

	$L^*=L_a^*$	$a_a^*$	$b_a^*$	$C_{ab,a}^*$	$h_{ab,a}^*$
r00j	48.88	63.91	30.45	70.79	25
r25j	55.85	50.36	45.65	67.97	42
r50j	65.45	33.86	56.12	65.54	59
r75j	75.19	17.13	66.73	68.89	76
j00g	87.03	-3.21	79.64	79.7	92
j25g	80.72	-24.03	66.82	71.01	110
j50g	70.64	-38.01	49.96	62.78	127
j75g	61.93	-50.08	35.41	61.34	145
g00b	52.8	-62.76	20.12	65.91	162
g25b	55.7	-47.65	-8.05	48.34	190
g50b	57.82	-36.91	-27.79	46.22	217
g75b	55.5	-21.19	-44.16	49.0	244
b00r	41.6	1.31	-43.27	43.3	272
b25r	29.0	24.11	-41.46	47.97	300
b50r	38.04	44.73	-27.29	52.41	329
b75r	49.48	70.07	-3.61	70.16	357



Ein und Ausgabe: Farbmetrisches Drucker-Reflektiv-System ORS20\_95a für relativen CIELAB-Buntton  $h^* = lab^*h^* = h_{ab}/360 = 217/360 = 0.603$

Daten für jede Farbe:

$lab^*ch^*$  und  $lab^*icu^*$

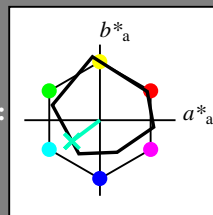
Elementar-Bunttontext:

$u^* = g50b$

Kontrastreduzierungsfaktor:

$c_R = 0.96$

Dreiecks-Helligkeit  $i^*$



ORS20\_95a; adaptierte CIELAB-Daten

	$L^*=L^*_a$	$a^*_a$	$b^*_a$	$C^*_{ab,a}$	$h^*_{ab,a}$
O <sub>Ma</sub>	48.75	62.56	37.91	73.15	31
Y <sub>Ma</sub>	90.92	-9.88	83.88	84.46	97
L <sub>Ma</sub>	52.69	-62.9	19.95	66.0	162
C <sub>Ma</sub>	59.61	-27.85	-44.43	52.45	238
V <sub>Ma</sub>	28.39	22.72	-42.42	48.13	298
M <sub>Ma</sub>	49.58	71.08	-9.19	71.67	353
N <sub>Ma</sub>	20.0	0.0	0.0	0.0	0
W <sub>Ma</sub>	95.0	0.0	0.0	0.0	0
R <sub>CIE</sub>	39.92	58.74	27.99	65.07	25
J <sub>CIE</sub>	81.26	-2.88	71.56	71.62	92
G <sub>CIE</sub>	52.23	-42.41	13.6	44.55	162
B <sub>CIE</sub>	30.57	1.41	-46.46	46.49	272

Daten für Maximalfarbe (Ma):

$LAB^*LAB^*_{Ma}$ : 58 -36 -27

$LAB^*LCH^*_{Ma}$ : 58 46 217

$lab^*rgb^*_{Ma}$ : 0.0 1.0 1.0

$lab^*olv^*_{Ma}$ : 0.0 1.0 0.74

Dreiecks-Helligkeit  $i^*$

%Umfang

$u^*_{rel} = 83$

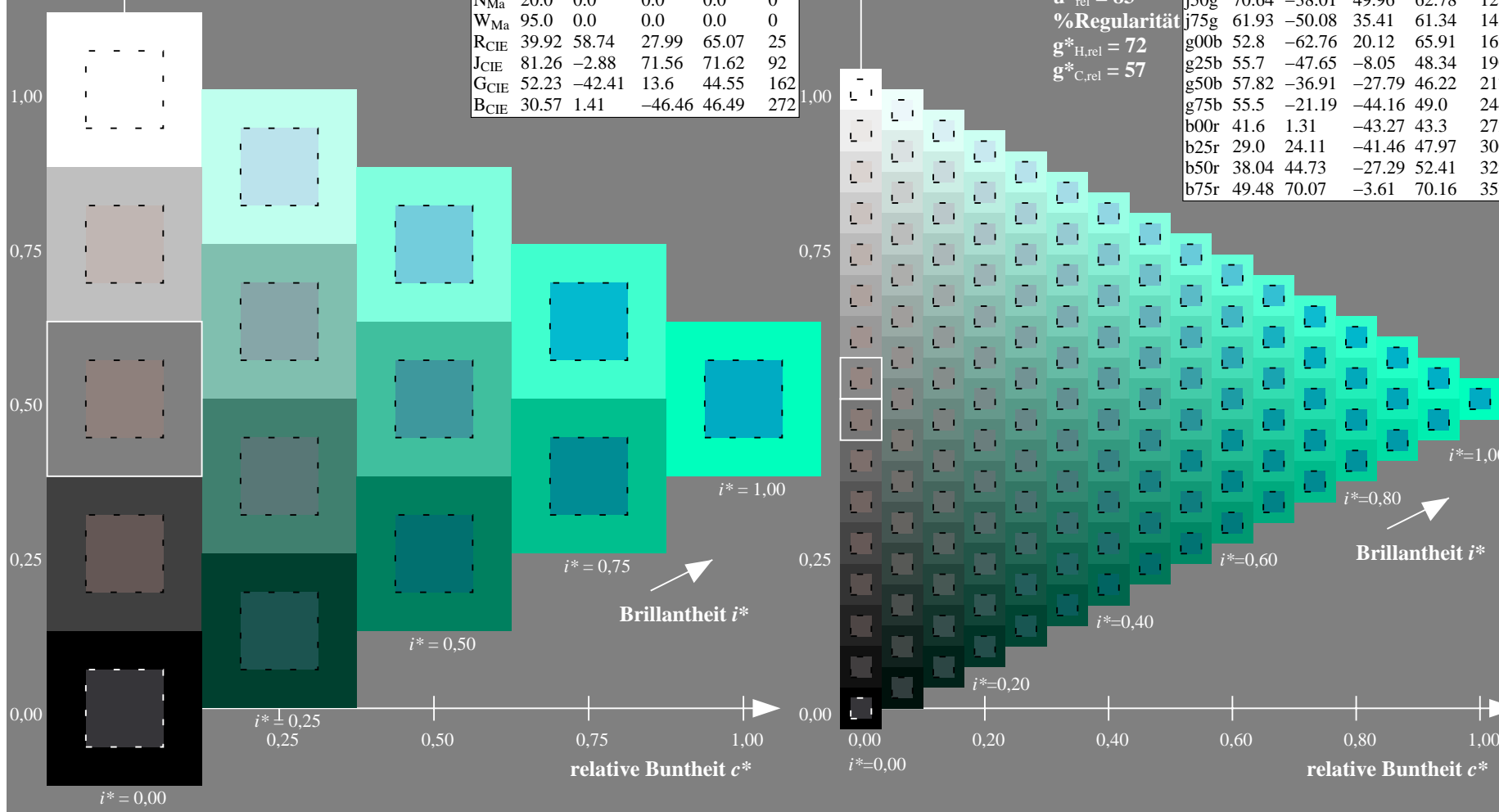
%Regularität

$g^*_{H,rel} = 72$

$g^*_{C,rel} = 57$

ORS20\_95a; adaptierte CIELAB-Daten

	$L^*=L^*_a$	$a^*_a$	$b^*_a$	$C^*_{ab,a}$	$h^*_{ab,a}$
r00j	48.88	63.91	30.45	70.79	25
r25j	55.85	50.36	45.65	67.97	42
r50j	65.45	33.86	56.12	65.54	59
r75j	75.19	17.13	66.73	68.89	76
j00g	87.03	-3.21	79.64	79.7	92
j25g	80.72	-24.03	66.82	71.01	110
j50g	70.64	-38.01	49.96	62.78	127
j75g	61.93	-50.08	35.41	61.34	145
g00b	52.8	-62.76	20.12	65.91	162
g25b	55.7	-47.65	-8.05	48.34	190
g50b	57.82	-36.91	-27.79	46.22	217
g75b	55.5	-21.19	-44.16	49.0	244
b00r	41.6	1.31	-43.27	43.3	272
b25r	29.0	24.11	-41.46	47.97	300
b50r	38.04	44.73	-27.29	52.41	329
b75r	49.48	70.07	-3.61	70.16	357



Ein und Ausgabe: Farbmatisches Drucker-Reflektiv-System ORS20\_95a für relativen CIELAB-Buntton  $h^* = lab^*h^* = h_{ab}/360 = 244/360 = 0.679$

Daten für jede Farbe:

$lab^*ch^*$  und  $lab^*icu^*$

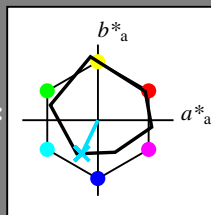
Elementar-Bunttontext:

$u^* = g75b$

Kontrastreduzierungsfaktor:

$c_R = 0.96$

Dreiecks-Helligkeit  $i^*$



ORS20\_95a; adaptierte CIELAB-Daten

	$L^*=L^*_a$	$a^*_a$	$b^*_a$	$C^*_{ab,a}$	$h^*_{ab,a}$
O <sub>Ma</sub>	48.75	62.56	37.91	73.15	31
Y <sub>Ma</sub>	90.92	-9.88	83.88	84.46	97
L <sub>Ma</sub>	52.69	-62.9	19.95	66.0	162
C <sub>Ma</sub>	59.61	-27.85	-44.43	52.45	238
V <sub>Ma</sub>	28.39	22.72	-42.42	48.13	298
M <sub>Ma</sub>	49.58	71.08	-9.19	71.67	353
N <sub>Ma</sub>	20.0	0.0	0.0	0.0	0
W <sub>Ma</sub>	95.0	0.0	0.0	0.0	0
R <sub>CIE</sub>	39.92	58.74	27.99	65.07	25
J <sub>CIE</sub>	81.26	-2.88	71.56	71.62	92
G <sub>CIE</sub>	52.23	-42.41	13.6	44.55	162
B <sub>CIE</sub>	30.57	1.41	-46.46	46.49	272

Daten für Maximalfarbe (Ma):

$LAB^*LAB^*_{Ma}$ : 55 -20 -43

$LAB^*LCH^*_{Ma}$ : 55 49 244

$lab^*rgb^*_{Ma}$ : 0.0 0.5 1.0

$lab^*olv^*_{Ma}$ : 0.0 0.87 1.0

Dreiecks-Helligkeit  $i^*$

%Umfang

$u^*_{rel} = 83$

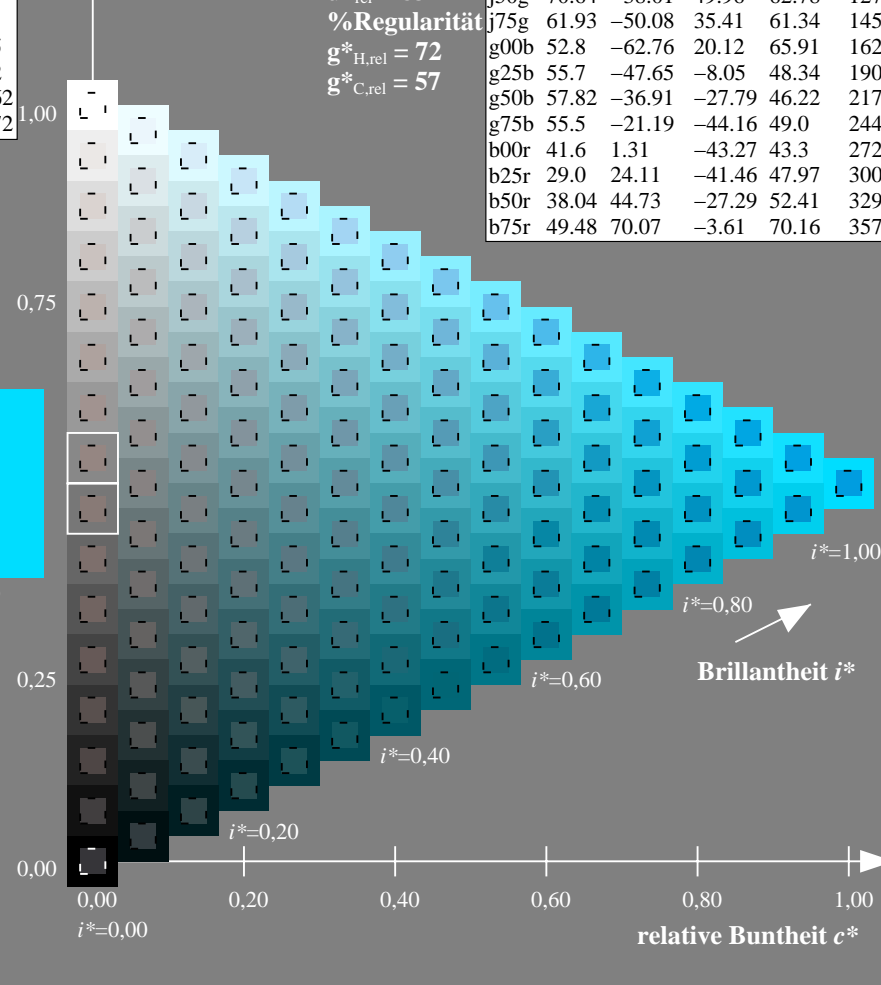
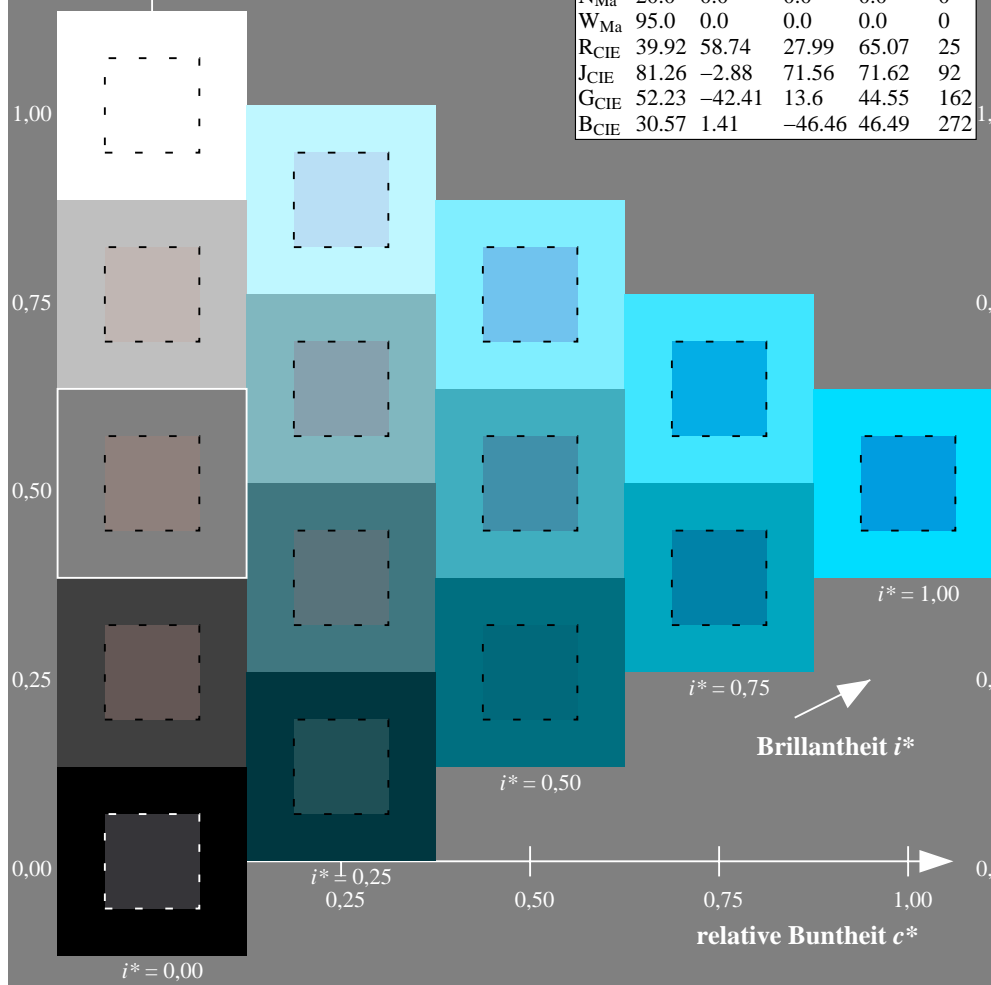
%Regularität

$g^*_{H,rel} = 72$

$g^*_{C,rel} = 57$

ORS20\_95a; adaptierte CIELAB-Daten

	$L^*=L^*_a$	$a^*_a$	$b^*_a$	$C^*_{ab,a}$	$h^*_{ab,a}$
r00j	48.88	63.91	30.45	70.79	25
r25j	55.85	50.36	45.65	67.97	42
r50j	65.45	33.86	56.12	65.54	59
r75j	75.19	17.13	66.73	68.89	76
j00g	87.03	-3.21	79.64	79.7	92
j25g	80.72	-24.03	66.82	71.01	110
j50g	70.64	-38.01	49.96	62.78	127
j75g	61.93	-50.08	35.41	61.34	145
g00b	52.8	-62.76	20.12	65.91	162
g25b	55.7	-47.65	-8.05	48.34	190
g50b	57.82	-36.91	-27.79	46.22	217
g75b	55.5	-21.19	-44.16	49.0	244
b00r	41.6	1.31	-43.27	43.3	272
b25r	29.0	24.11	-41.46	47.97	300
b50r	38.04	44.73	-27.29	52.41	329
b75r	49.48	70.07	-3.61	70.16	357







Ein und Ausgabe: Farbmimetrisches Drucker-Reflektiv-System ORS20\_95a für relativen CIELAB-Buntton  $h^* = lab^*h^* = h_{ab}/360 = 300/360 = 0.834$

Daten für jede Farbe:

$lab^*ch^*$  und  $lab^*icu^*$

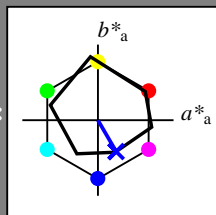
Elementar-Bunttonext:

$u^* = b25r$

Kontrastreduzierungsfaktor:

$c_R = 0.96$

Dreiecks-Helligkeit  $i^*$



ORS20_95a; adaptierte CIELAB-Daten					
	$L^*=L^*_a$	$a^*_a$	$b^*_a$	$C^*_{ab,a}$	$h^*_{ab,a}$
O <sub>Ma</sub>	48.75	62.56	37.91	73.15	31
Y <sub>Ma</sub>	90.92	-9.88	83.88	84.46	97
L <sub>Ma</sub>	52.69	-62.9	19.95	66.0	162
C <sub>Ma</sub>	59.61	-27.85	-44.43	52.45	238
V <sub>Ma</sub>	28.39	22.72	-42.42	48.13	298
M <sub>Ma</sub>	49.58	71.08	-9.19	71.67	353
N <sub>Ma</sub>	20.0	0.0	0.0	0.0	0
W <sub>Ma</sub>	95.0	0.0	0.0	0.0	0
R <sub>CIE</sub>	39.92	58.74	27.99	65.07	25
J <sub>CIE</sub>	81.26	-2.88	71.56	71.62	92
G <sub>CIE</sub>	52.23	-42.41	13.6	44.55	162
B <sub>CIE</sub>	30.57	1.41	-46.46	46.49	272

Daten für Maximalfarbe (Ma):

$LAB^*LAB^*_{Ma}$ : 29 24 -40

$LAB^*LCH^*_{Ma}$ : 29 48 300

$lab^*rgb^*_{Ma}$ : 0.5 0.0 1.0

$lab^*olv^*_{Ma}$ : 0.03 0.0 1.0

Dreiecks-Helligkeit  $i^*$

%Umfang

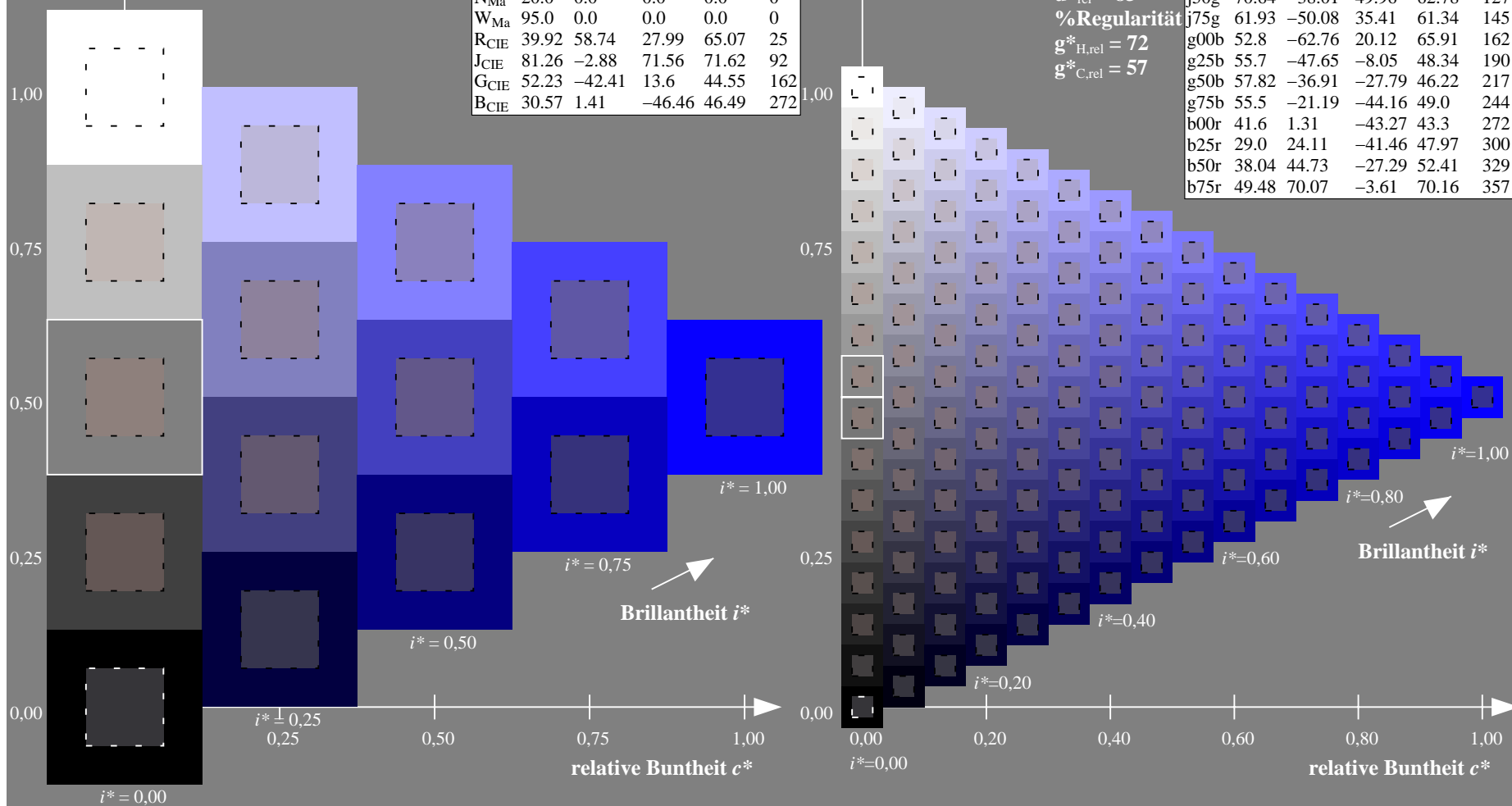
$u^*_{rel} = 83$

%Regularität

$g^*_{H,rel} = 72$

$g^*_{C,rel} = 57$

ORS20_95a; adaptierte CIELAB-Daten					
	$L^*=L^*_a$	$a^*_a$	$b^*_a$	$C^*_{ab,a}$	$h^*_{ab,a}$
r00j	48.88	63.91	30.45	70.79	25
r25j	55.85	50.36	45.65	67.97	42
r50j	65.45	33.86	56.12	65.54	59
r75j	75.19	17.13	66.73	68.89	76
j00g	87.03	-3.21	79.64	79.7	92
j25g	80.72	-24.03	66.82	71.01	110
j50g	70.64	-38.01	49.96	62.78	127
j75g	61.93	-50.08	35.41	61.34	145
g00b	52.8	-62.76	20.12	65.91	162
g25b	55.7	-47.65	-8.05	48.34	190
g50b	57.82	-36.91	-27.79	46.22	217
g75b	55.5	-21.19	-44.16	49.0	244
b00r	41.6	1.31	-43.27	43.3	272
b25r	29.0	24.11	-41.46	47.97	300
b50r	38.04	44.73	-27.29	52.41	329
b75r	49.48	70.07	-3.61	70.16	357



Ein und Ausgabe: Farbmimetrisches Drucker-Reflektiv-System ORS20\_95a für relativen CIELAB-Buntton  $h^* = lab^*h^* = h_{ab}/360 = 329/360 = 0.913$

Daten für jede Farbe:

$lab^*tch^*$  und  $lab^*icu^*$

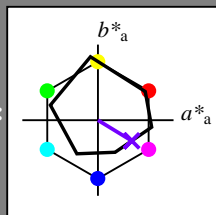
Elementar-Bunttontext:

$u^* = b50r$

Kontrastreduzierungsfaktor:

$c_R = 0.96$

Dreiecks-Helligkeit  $t^*$



ORS20_95a; adaptierte CIELAB-Daten					
	$L^*=L^*_a$	$a^*_a$	$b^*_a$	$C^*_{ab,a}$	$h^*_{ab,a}$
O <sub>Ma</sub>	48.75	62.56	37.91	73.15	31
Y <sub>Ma</sub>	90.92	-9.88	83.88	84.46	97
L <sub>Ma</sub>	52.69	-62.9	19.95	66.0	162
C <sub>Ma</sub>	59.61	-27.85	-44.43	52.45	238
V <sub>Ma</sub>	28.39	22.72	-42.42	48.13	298
M <sub>Ma</sub>	49.58	71.08	-9.19	71.67	353
N <sub>Ma</sub>	20.0	0.0	0.0	0.0	0
W <sub>Ma</sub>	95.0	0.0	0.0	0.0	0
R <sub>CIE</sub>	39.92	58.74	27.99	65.07	25
J <sub>CIE</sub>	81.26	-2.88	71.56	71.62	92
G <sub>CIE</sub>	52.23	-42.41	13.6	44.55	162
B <sub>CIE</sub>	30.57	1.41	-46.46	46.49	272

Daten für Maximalfarbe (Ma):

$LAB^*LAB^*_{Ma}$ : 38 45 -26

$LAB^*LCH^*_{Ma}$ : 38 52 329

$lab^*rgb^*_{Ma}$ : 1.0 0.0 1.0

$lab^*olv^*_{Ma}$ : 0.46 0.0 1.0

Dreiecks-Helligkeit  $t^*$

%Umfang

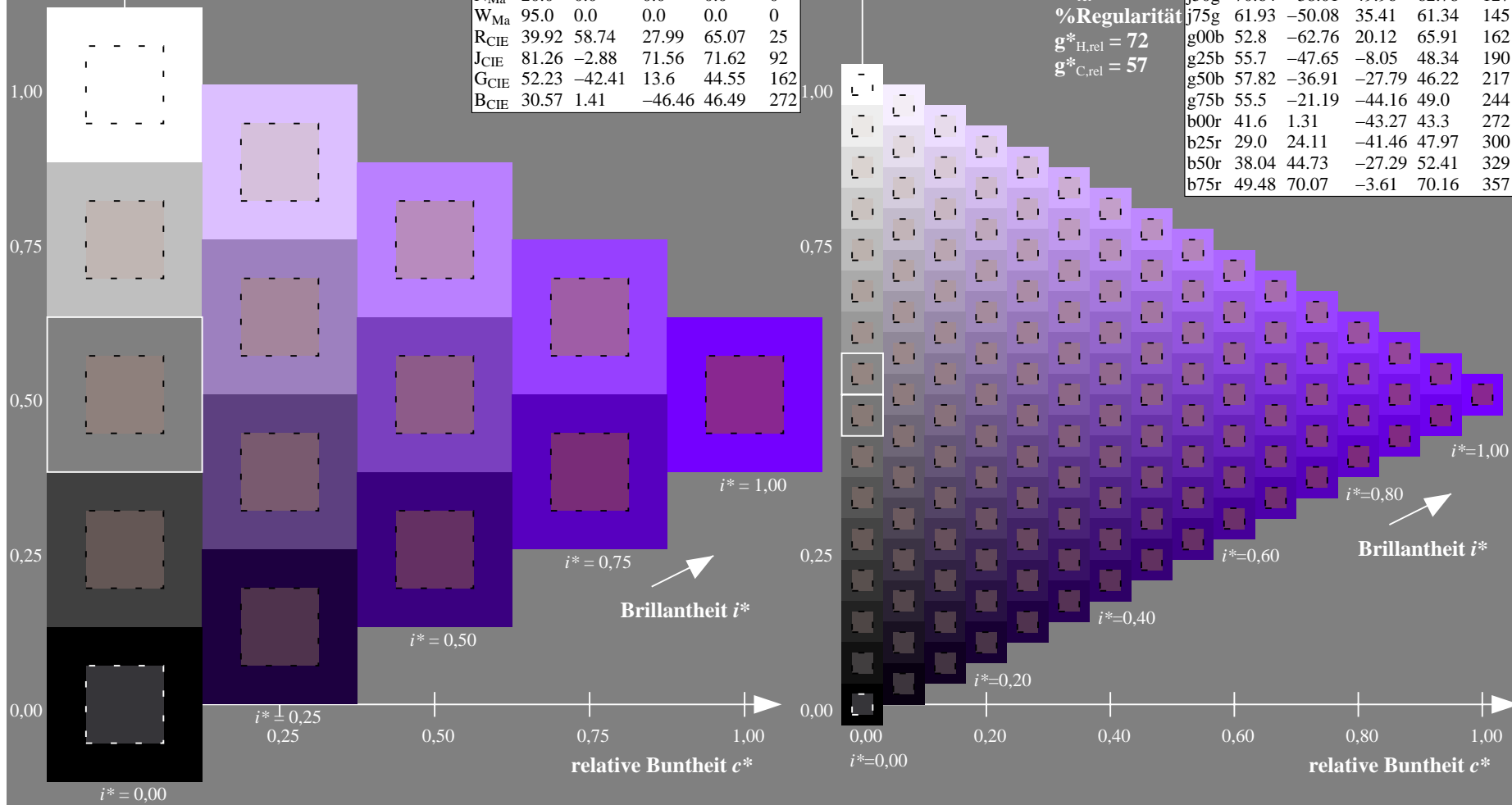
$u^*_{rel} = 83$

%Regularität

$g^*_{H,rel} = 72$

$g^*_{C,rel} = 57$

ORS20_95a; adaptierte CIELAB-Daten					
	$L^*=L^*_a$	$a^*_a$	$b^*_a$	$C^*_{ab,a}$	$h^*_{ab,a}$
r00j	48.88	63.91	30.45	70.79	25
r25j	55.85	50.36	45.65	67.97	42
r50j	65.45	33.86	56.12	65.54	59
r75j	75.19	17.13	66.73	68.89	76
j00g	87.03	-3.21	79.64	79.7	92
j25g	80.72	-24.03	66.82	71.01	110
j50g	70.64	-38.01	49.96	62.78	127
j75g	61.93	-50.08	35.41	61.34	145
g00b	52.8	-62.76	20.12	65.91	162
g25b	55.7	-47.65	-8.05	48.34	190
g50b	57.82	-36.91	-27.79	46.22	217
g75b	55.5	-21.19	-44.16	49.0	244
b00r	41.6	1.31	-43.27	43.3	272
b25r	29.0	24.11	-41.46	47.97	300
b50r	38.04	44.73	-27.29	52.41	329
b75r	49.48	70.07	-3.61	70.16	357



Ein und Ausgabe: Farbmétrisches Drucker-Reflektiv-System ORS20\_95a für relativen CIELAB-Buntton  $h^* = lab^*h^* = h_{ab}/360 = 357/360 = 0.992$

### Daten für jede Farbe:

*lab\*tch\** und *lab\*icu\**

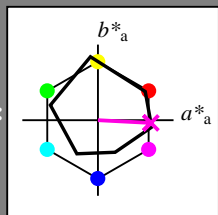
### Elementar-Bunttontext:

$$u^* = b75r$$

### Kontrastreduzierungsfaktor:

 $c_R = 0.96$ 

### Dreiecks-Helligkeit $t^*$



ORS20_95a; adaptierte CIELAB-Daten					
	$L^* = L^*_a$	$a^*_a$	$b^*_a$	$C^*_{ab,a}$	$h^*_{ab,a}$
O <sub>Ma</sub>	48.75	62.56	37.91	73.15	31
Y <sub>Ma</sub>	90.92	-9.88	83.88	84.46	97
L <sub>Ma</sub>	52.69	-62.9	19.95	66.0	162
C <sub>Ma</sub>	59.61	-27.85	-44.43	52.45	238
V <sub>Ma</sub>	28.39	22.72	-42.42	48.13	298
M <sub>Ma</sub>	49.58	71.08	-9.19	71.67	353
N <sub>Ma</sub>	20.0	0.0	0.0	0.0	0
W <sub>Ma</sub>	95.0	0.0	0.0	0.0	0
R <sub>CIE</sub>	39.92	58.74	27.99	65.07	25
J <sub>CIE</sub>	81.26	-2.88	71.56	71.62	92
G <sub>CIE</sub>	52.23	-42.41	13.6	44.55	162
B <sub>CHF</sub>	30.57	1.41	-46.46	46.49	272

### Daten für Maximalfarbe (Ma):

LAB\*LAB\*Mo: 49 70 -3

LAB\*LCU\* = 40 70 357

**LAB\*LCH\*Ma: 49 70 35**

*lab\*rgb*<sub>Ma</sub>: 1.0 0.0 0.5

***lab\*olv\**<sub>Ma</sub>: 1.0 0.0 0.88**

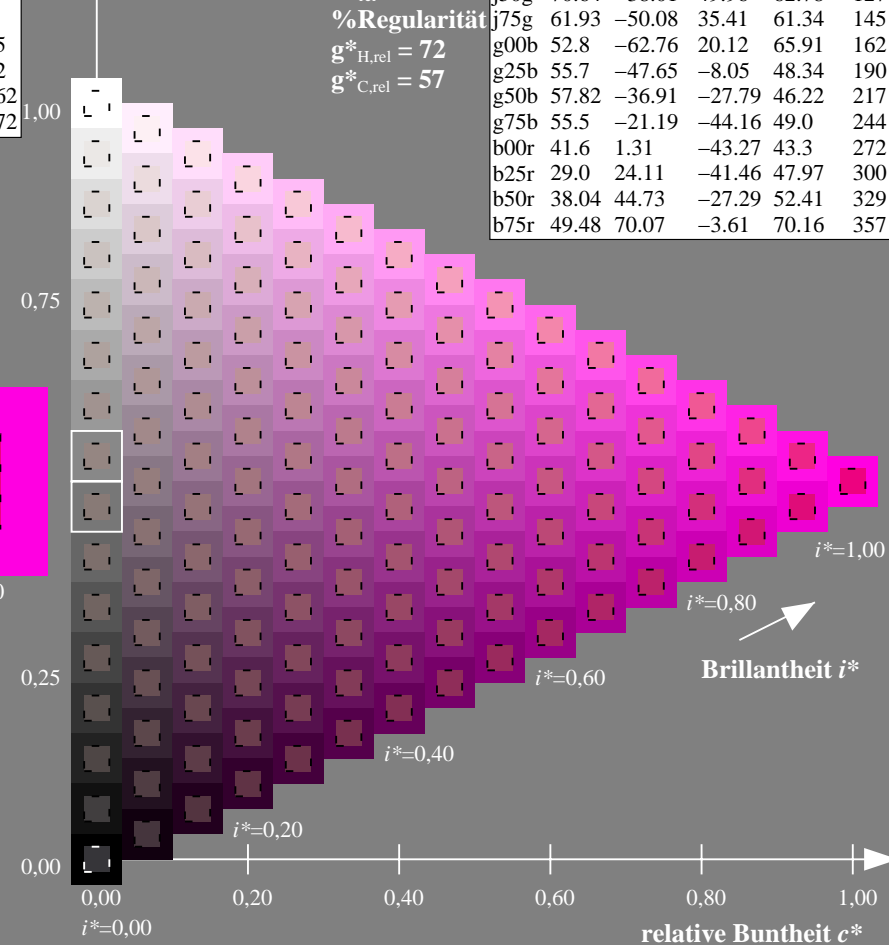
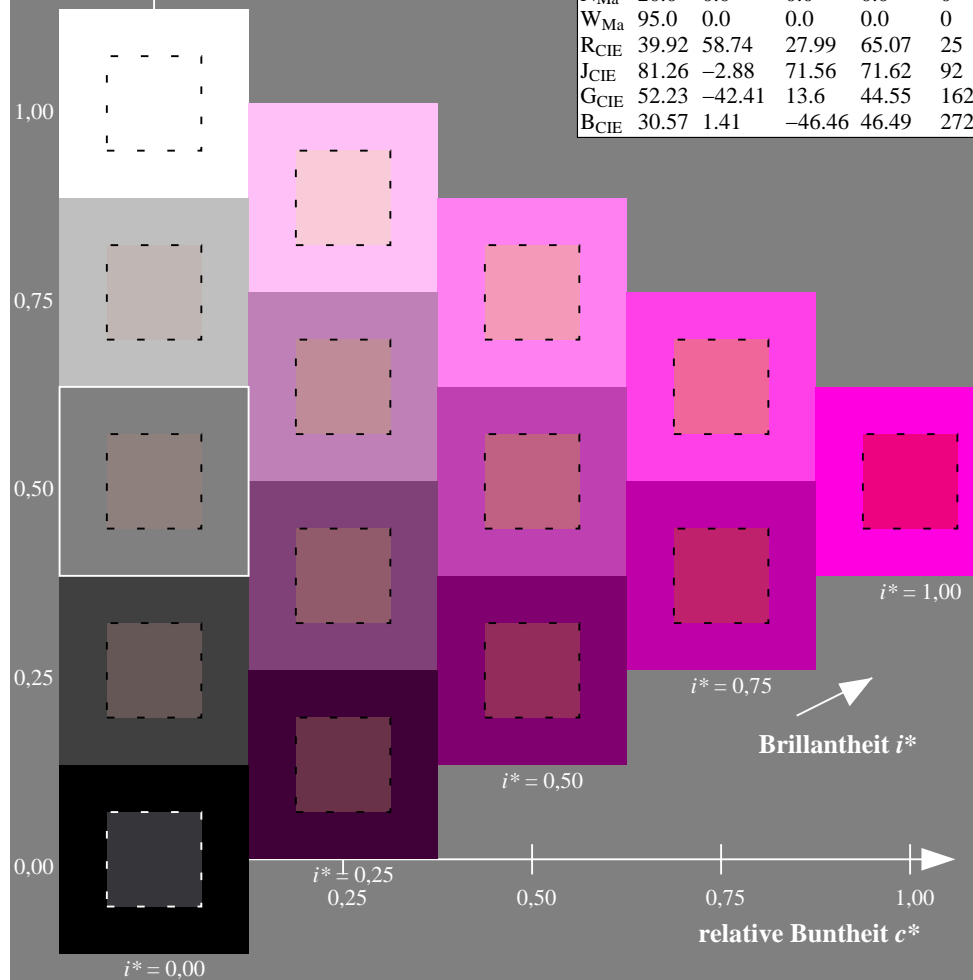
### Dreiecks-Helligkeit $t^*$

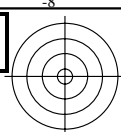
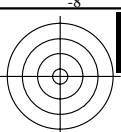
ORS20_95a; adaptierte CIELAB-Daten						
	$L^* = L^*_a$	$a^*_a$	$b^*_a$	$C^*_{ab,a}$	$h^*_{ab,a}$	
r00j	48.88	63.91	30.45	70.79	25.00	100
r25j	55.85	50.36	45.65	67.97	42.00	92
r50j	65.45	33.86	56.12	65.54	59.00	86
r75j	75.19	17.13	66.73	68.89	76.00	79
j00g	87.03	-3.21	79.64	79.7	92.00	72
j25g	80.72	-24.03	66.82	71.01	110.00	64
j50g	70.64	-38.01	49.96	62.78	127.00	56
j75g	61.93	-50.08	35.41	61.34	145.00	48
g00b	52.8	-62.76	20.12	65.91	162.00	40
g25b	55.7	-47.65	-8.05	48.34	190.00	32
g50b	57.82	-36.91	-27.79	46.22	217.00	24
g75b	55.5	-21.19	-44.16	49.0	244.00	16
b00r	41.6	1.31	-43.27	43.3	272.00	8
b25r	29.0	24.11	-41.46	47.97	300.00	0
b50r	38.04	44.73	-27.29	52.41	329.00	-8
b75r	49.48	70.07	-3.61	70.16	357.00	-16

## %Umfang

$$\mathbf{u}_{\text{rel}}^* = 83$$

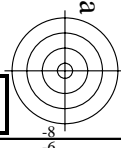
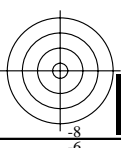
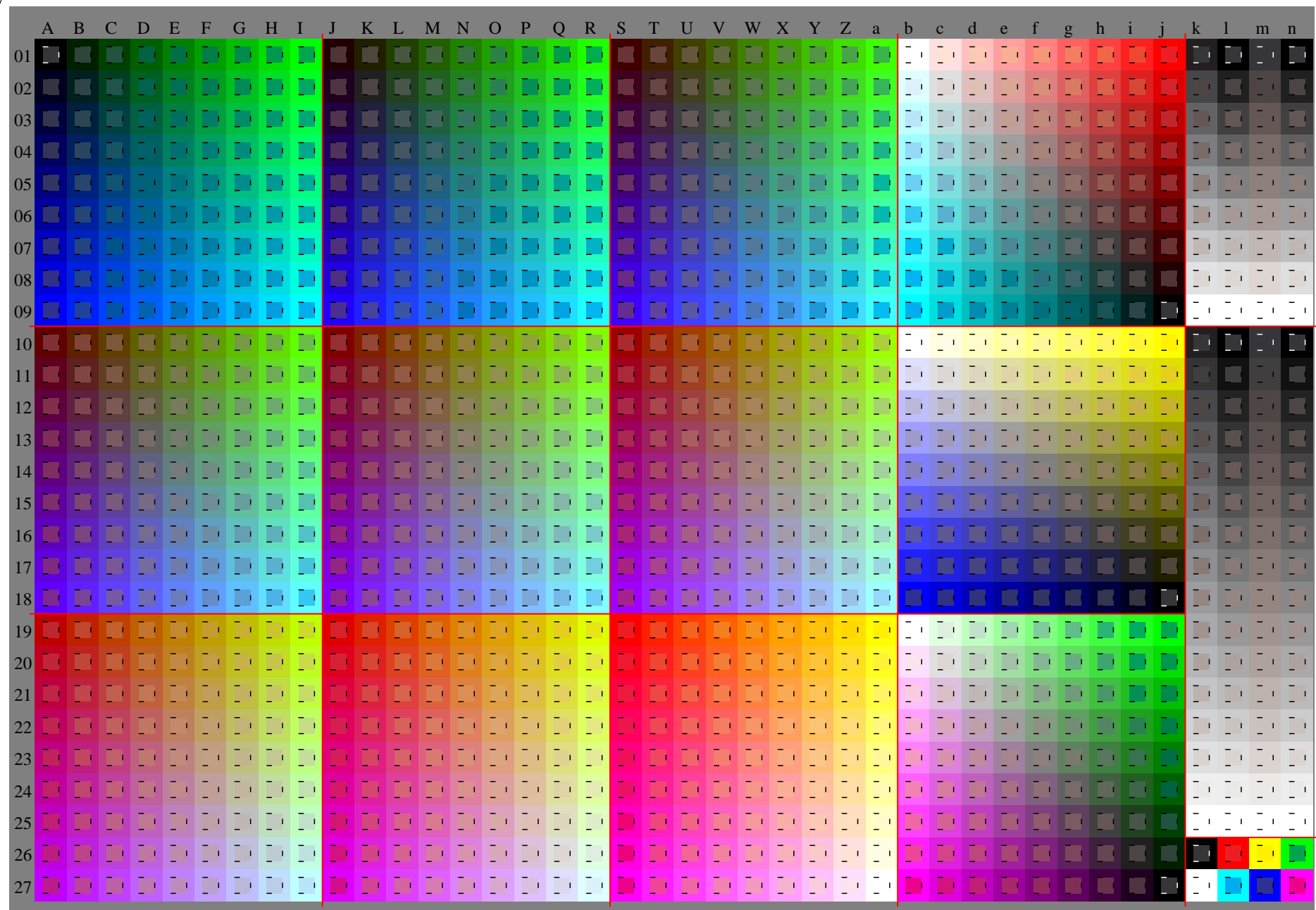
%Regular

$$g^*_{H,rel} = 72$$
$$g^*_{C,rel} = 57$$




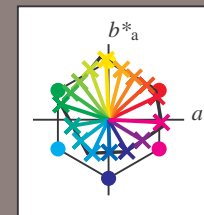
Siehe ähnliche Dateien: <http://www.ps.bam.de/Dg75/>; [www.ps.bam.de/Dg75/HTM](http://www.ps.bam.de/Dg75/HTM)  
Technische Information: <http://www.ps.bam.de> Version 2.1, io=1,1, ColSpx=0

BAM-Registrierung: 20080701-Dg75/10L/L75G00NA.PS/.TXTBAM-Material: Code=rh4ta  
Anwendung für Beurteilung und Messung von Drucker- oder Monitorsystemen



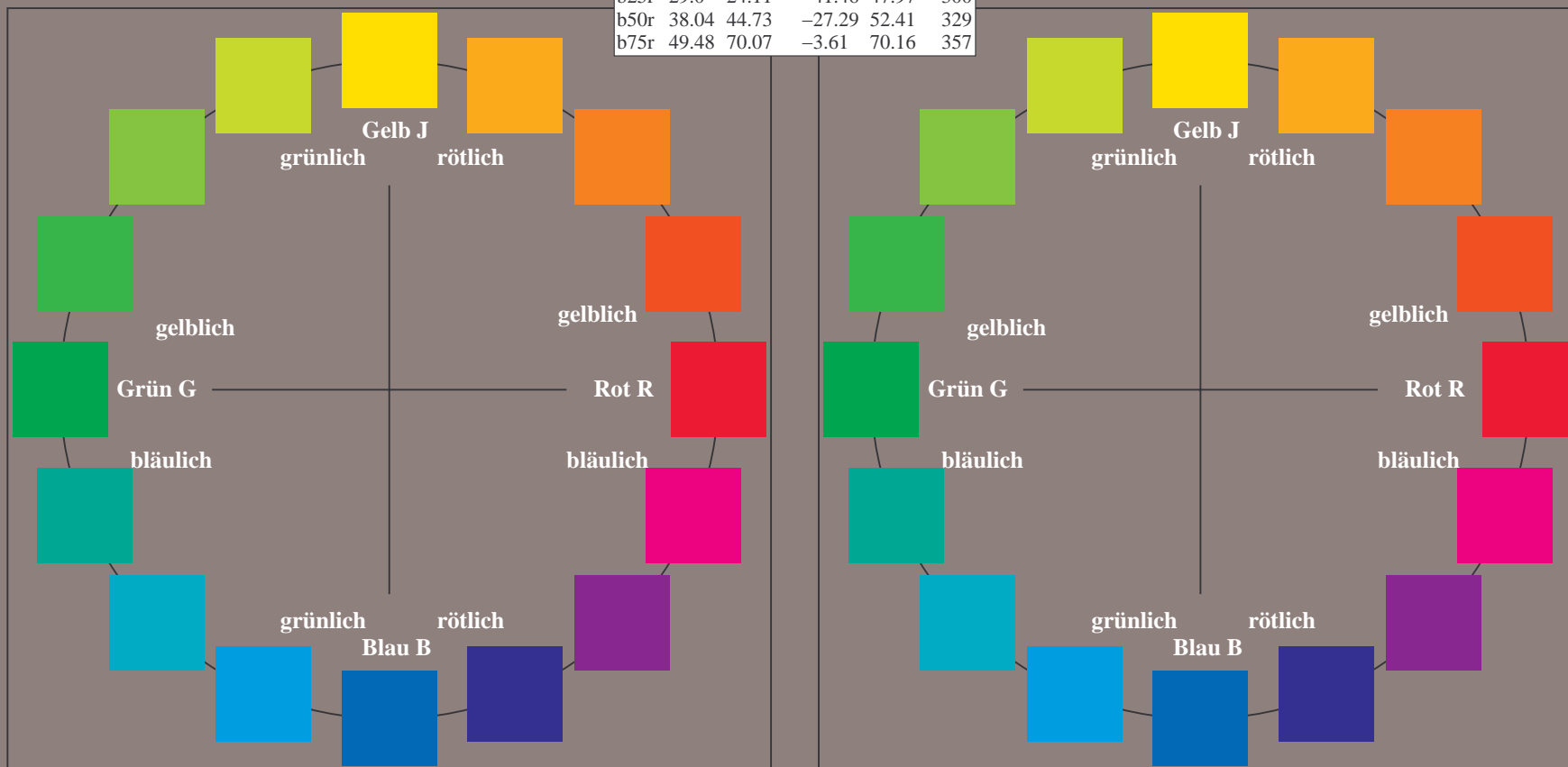
Ein und Ausgabe:  
Farbmetrisches Drucker-Reflektiv-System ORS20\_95a  
Daten für jede Farbe:  
 $lab^{*}ch^{*}$  und  $lab^{*}icu^{*}$   
Elementar-Bunttontext:  
 $u^{*} = 16$  Bunttöne  $r00j$ ,  $r25j$ , ...,  $b75r$   
Kontrastreduzierungsfaktor:  
 $c_R = 0.96$

ORS20_95a; adaptierte CIELAB-Daten					
	$L^{*}=L^{*}_a$	$a^{*}_a$	$b^{*}_a$	$C^{*}_{ab,a}$	$h^{*}_{ab,a}$
r00j	48.88	63.91	30.45	70.79	25
r25j	55.85	50.36	45.65	67.97	42
r50j	65.45	33.86	56.12	65.54	59
r75j	75.19	17.13	66.73	68.89	76
j00g	87.03	-3.21	79.64	79.7	92
j25g	80.72	-24.03	66.82	71.01	110
j50g	70.64	-38.01	49.96	62.78	127
j75g	61.93	-50.08	35.41	61.34	145
g00b	52.8	-62.76	20.12	65.91	162
g25b	55.7	-47.65	-8.05	48.34	190
g50b	57.82	-36.91	-27.79	46.22	217
g75b	55.5	-21.19	-44.16	49.0	244
b00r	41.6	1.31	-43.27	43.3	272
b25r	29.0	24.11	-41.46	47.97	300
b50r	38.04	44.73	-27.29	52.41	329
b75r	49.48	70.07	-3.61	70.16	357



%Umfang  
 $u^{*}_{rel} = 83$   
%Regularität  
 $g^{*}_{H,rel} = 72$   
 $g^{*}_{C,rel} = 57$

ORS20_95a; adaptierte CIELAB-Daten					
	$L^{*}=L^{*}_a$	$a^{*}_a$	$b^{*}_a$	$C^{*}_{ab,a}$	$h^{*}_{ab,a}$
O <sub>Ma</sub>	48.75	62.56	37.91	73.15	31
Y <sub>Ma</sub>	90.92	-9.88	83.88	84.46	97
L <sub>Ma</sub>	52.69	-62.9	19.95	66.0	162
C <sub>Ma</sub>	59.61	-27.85	-44.43	52.45	238
V <sub>Ma</sub>	28.39	22.72	-42.42	48.13	298
M <sub>Ma</sub>	49.58	71.08	-9.19	71.67	353
N <sub>Ma</sub>	20.0	0.0	0.0	0.0	0
W <sub>Ma</sub>	95.0	0.0	0.0	0.0	0
R <sub>CIE</sub>	39.92	58.74	27.99	65.07	25
J <sub>CIE</sub>	81.26	-2.88	71.56	71.62	92
G <sub>CIE</sub>	52.23	-42.41	13.6	44.55	162
B <sub>CIE</sub>	30.57	1.41	-46.46	46.49	272



Ein und Ausgabe: Farbmétrisches Drucker-Reflektiv-System ORS20\_95a für relativen CIELAB-Buntton  $h^* = lab^*h^* = h_{ab}/360 = 25/360 = 0.071$

### Daten für jede Farbe:

*lab\*tch\** und *lab\*icu\**

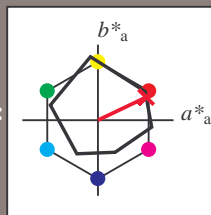
### Elementar-Bunttontext:

$$u^* = r00j$$

### Kontrastreduzierungsfaktor:

$$c_{\mathbf{P}} = 0.96$$

### K Dreiecks-Helligkeit $t^*$



ORS20 95a; adaptierte CIELAB-Daten					
	$L^*_{\text{a}}$	$a^*_{\text{a}}$	$b^*_{\text{a}}$	$C^*_{\text{ab,a}}$	$h^*_{\text{ab,a}}$
O <sub>Ma</sub>	48.75	62.56	37.91	73.15	31
Y <sub>Ma</sub>	90.92	-9.88	83.88	84.6	97
L <sub>Ma</sub>	52.69	-62.9	19.95	66.0	162
C <sub>Ma</sub>	59.61	-27.85	-44.43	52.45	238
V <sub>Ma</sub>	28.39	22.72	-42.42	48.13	298
M <sub>Ma</sub>	49.58	71.08	-9.19	71.67	353
N <sub>Ma</sub>	20.0	0.0	0.0	0.0	0
W <sub>Ma</sub>	95.0	0.0	0.0	0.0	0
R <sub>CIE</sub>	39.92	58.74	27.99	65.07	25
J <sub>CIE</sub>	81.26	-2.88	71.56	71.62	92
G <sub>CIE</sub>	52.23	-42.41	13.6	44.55	162
B <sub>CIE</sub>	30.57	1.41	-46.46	46.49	272

### Daten für Maximalfarbe (Ma):

LAB\*LAB\*Me: 49 64 30

LAD\*LCII\* 49 51 25

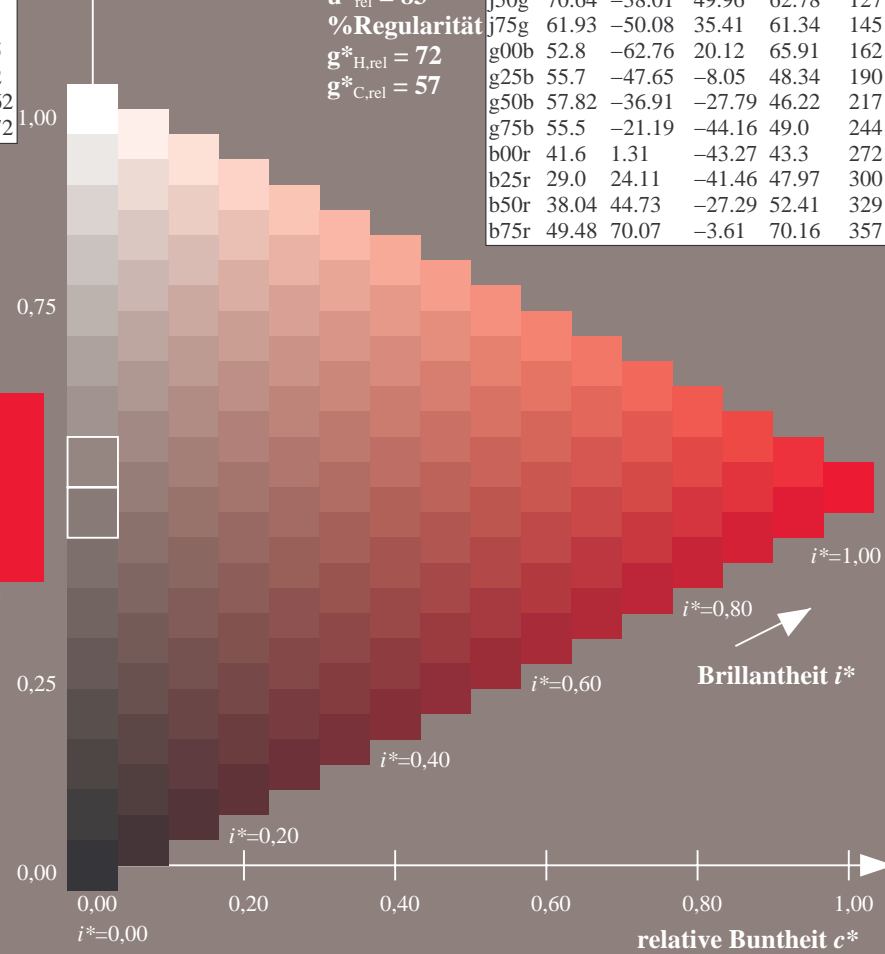
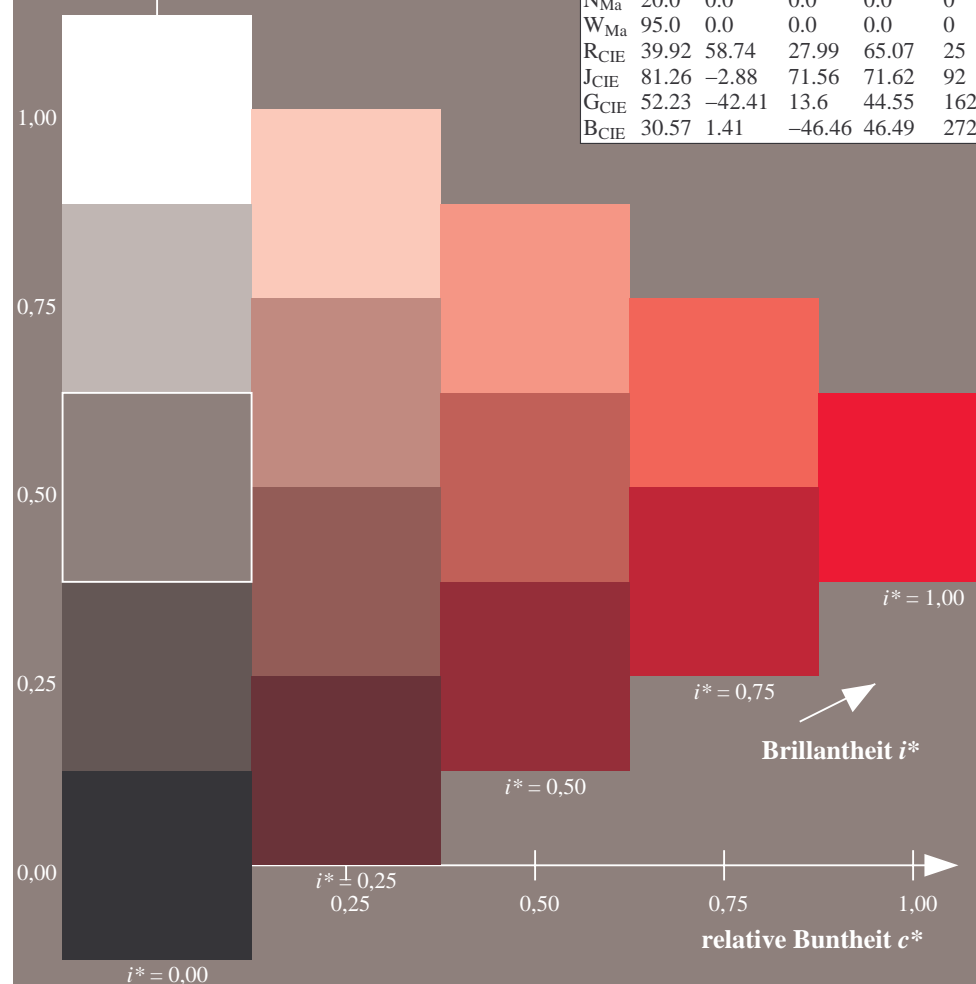
**LAB\*LCH\*Ma: 49 71 2**

*lab\*rgb\*\_Ma: 1.0 0.0 0.0*

***lab\*olv\**Ma: 1.0 0.0 0.16**

### Dreiecks-Helligkeit $t^*$

ORS20_95a; adaptierte CIELAB-Daten						
	$L^*_a$	$a^*_a$	$b^*_a$	$C^*_{ab,a}$	$h^*_{ab,a}$	
r00j	48.88	63.91	30.45	70.79	25.24	100
r25j	55.85	50.36	45.65	67.97	42.12	92
r50j	65.45	33.86	56.12	65.54	59.04	86
r75j	75.19	17.13	66.73	68.89	76.04	80
j00g	87.03	-3.21	79.64	79.7	92.02	74
j25g	80.72	-24.03	66.82	71.01	110.12	68
j50g	70.64	-38.01	49.96	62.78	127.04	62
j75g	61.93	-50.08	35.41	61.34	145.04	56
g00b	52.8	-62.76	20.12	65.91	162.04	50
g25b	55.7	-47.65	-8.05	48.34	190.04	44
g50b	57.82	-36.91	-27.79	46.22	217.04	38
g75b	55.5	-21.19	-44.16	49.0	244.04	32
b00r	41.6	1.31	-43.27	43.3	272.04	26
b25r	29.0	24.11	-41.46	47.97	300.04	20
b50r	38.04	44.73	-27.29	52.41	329.04	14
b75r	49.48	70.07	-3.61	70.16	357.04	8





Ein und Ausgabe: Farbmétrisches Drucker-Reflektiv-System ORS20\_95a für relativen CIELAB-Buntton  $h^* = lab^*h^* = h_{ab}/360 = 42/360 = 0.117$

Daten für jede Farbe:

$lab^*tch^*$  und  $lab^*icu^*$

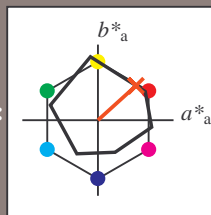
Elementar-Bunttonext:

$u^* = r25j$

Kontrastreduzierungsfaktor:

$c_R = 0.96$

Dreiecks-Helligkeit  $i^*$



ORS20\_95a; adaptierte CIELAB-Daten

	$L^*=L_a^*$	$a_a^*$	$b_a^*$	$C^*_{ab,a}$	$h^*_{ab,a}$
O <sub>Ma</sub>	48.75	62.56	37.91	73.15	31
Y <sub>Ma</sub>	90.92	-9.88	83.88	84.46	97
L <sub>Ma</sub>	52.69	-62.9	19.95	66.0	162
C <sub>Ma</sub>	59.61	-27.85	-44.43	52.45	238
V <sub>Ma</sub>	28.39	22.72	-42.42	48.13	298
M <sub>Ma</sub>	49.58	71.08	-9.19	71.67	353
N <sub>Ma</sub>	20.0	0.0	0.0	0.0	0
W <sub>Ma</sub>	95.0	0.0	0.0	0.0	0
R <sub>CIE</sub>	39.92	58.74	27.99	65.07	25
J <sub>CIE</sub>	81.26	-2.88	71.56	71.62	92
G <sub>CIE</sub>	52.23	-42.41	13.6	44.55	162
B <sub>CIE</sub>	30.57	1.41	-46.46	46.49	272

Daten für Maximalfarbe (Ma):

$LAB^*LAB^*_{Ma}$ : 56 50 46

$LAB^*LCH^*_{Ma}$ : 56 68 42

$lab^*rgb^*_{Ma}$ : 1.0 0.25 0.0

$lab^*olv^*_{Ma}$ : 1.0 0.17 0.0

Dreiecks-Helligkeit  $i^*$

ORS20\_95a; adaptierte CIELAB-Daten

	$L^*=L_a^*$	$a_a^*$	$b_a^*$	$C^*_{ab,a}$	$h^*_{ab,a}$
r00j	48.88	63.91	30.45	70.79	25
r25j	55.85	50.36	45.65	67.97	42
r50j	65.45	33.86	56.12	65.54	59
r75j	75.19	17.13	66.73	68.89	76
j00g	87.03	-3.21	79.64	79.7	92
j25g	80.72	-24.03	66.82	71.01	110
j50g	70.64	-38.01	49.96	62.78	127
j75g	61.93	-50.08	35.41	61.34	145
g00b	52.8	-62.76	20.12	65.91	162
g25b	55.7	-47.65	-8.05	48.34	190
g50b	57.82	-36.91	-27.79	46.22	217
g75b	55.5	-21.19	-44.16	49.0	244
b00r	41.6	1.31	-43.27	43.3	272
b25r	29.0	24.11	-41.46	47.97	300
b50r	38.04	44.73	-27.29	52.41	329
b75r	49.48	70.07	-3.61	70.16	357

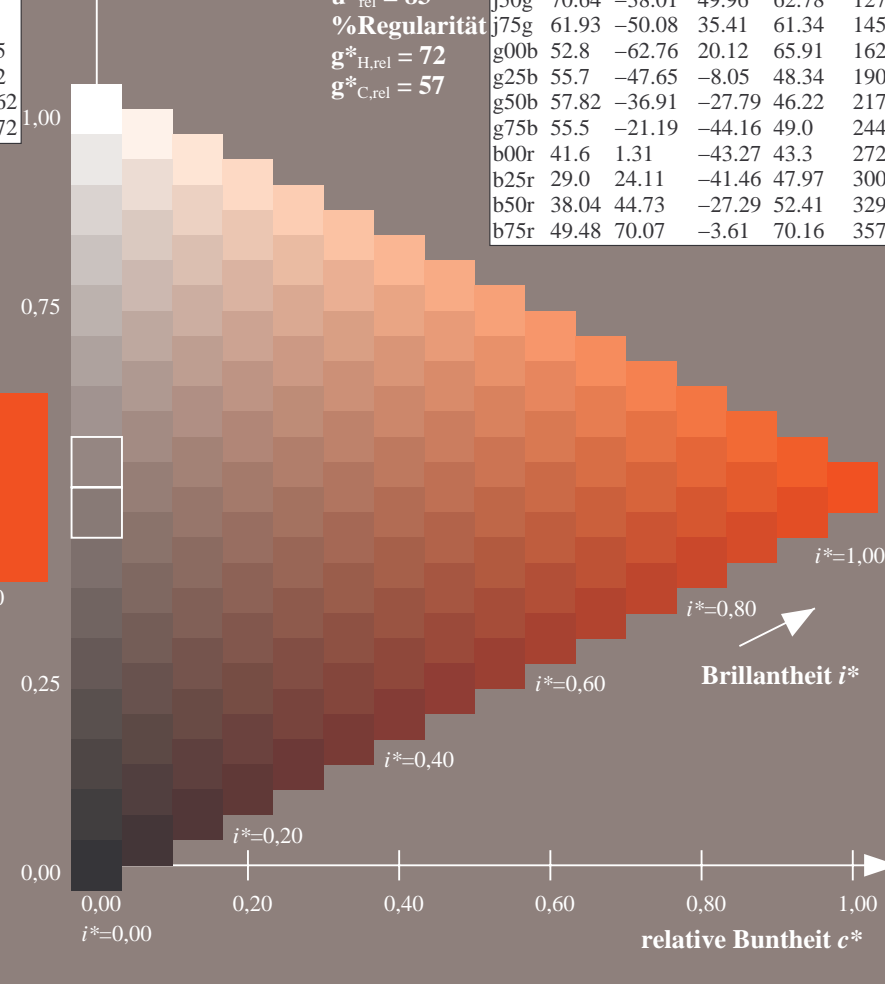
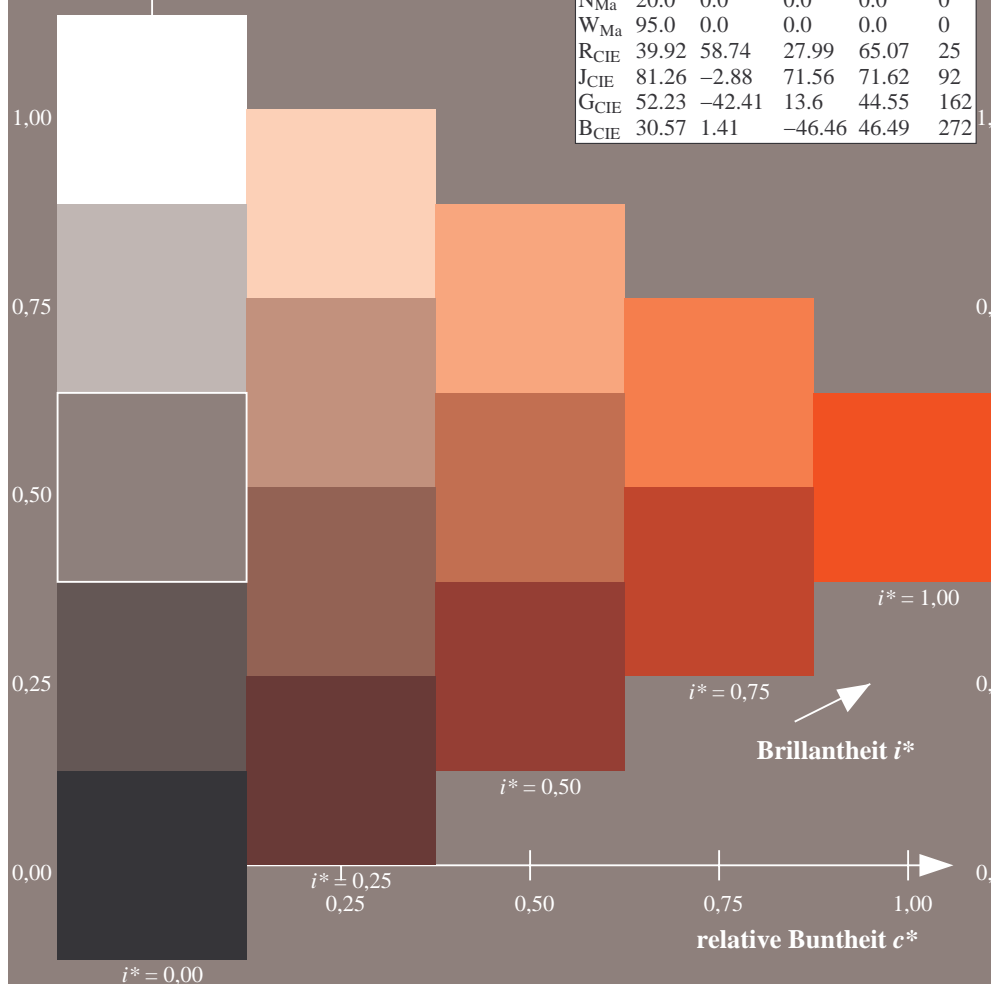
%Umfang

$u^*_{rel} = 83$

%Regularität

$g^*_{H,rel} = 72$

$g^*_{C,rel} = 57$



Ein und Ausgabe: Farbmetrisches Drucker-Reflektiv-System ORS20\_95a für relativen CIELAB-Buntton  $h^* = lab^*h^* = h_{ab}/360 = 59/360 = 0.164$

Daten für jede Farbe:

$lab^*tch^*$  und  $lab^*icu^*$

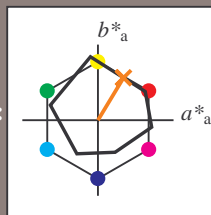
Elementar-Bunttontext:

$u^* = r50j$

Kontrastreduzierungsfaktor:

$c_R = 0.96$

Dreiecks-Helligkeit  $t^*$



ORS20\_95a; adaptierte CIELAB-Daten

	$L^*=L_a^*$	$a_a^*$	$b_a^*$	$C^*_{ab,a}$	$h^*_{ab,a}$
O <sub>Ma</sub>	48.75	62.56	37.91	73.15	31
Y <sub>Ma</sub>	90.92	-9.88	83.88	84.46	97
L <sub>Ma</sub>	52.69	-62.9	19.95	66.0	162
C <sub>Ma</sub>	59.61	-27.85	-44.43	52.45	238
V <sub>Ma</sub>	28.39	22.72	-42.42	48.13	298
M <sub>Ma</sub>	49.58	71.08	-9.19	71.67	353
N <sub>Ma</sub>	20.0	0.0	0.0	0.0	0
W <sub>Ma</sub>	95.0	0.0	0.0	0.0	0
R <sub>CIE</sub>	39.92	58.74	27.99	65.07	25
J <sub>CIE</sub>	81.26	-2.88	71.56	71.62	92
G <sub>CIE</sub>	52.23	-42.41	13.6	44.55	162
B <sub>CIE</sub>	30.57	1.41	-46.46	46.49	272

Daten für Maximalfarbe (Ma):

$LAB^*LAB^*_{Ma}$ : 65 34 56

$LAB^*LCH^*_{Ma}$ : 65 66 59

$lab^*rgb^*_{Ma}$ : 1.0 0.5 0.0

$lab^*olv^*_{Ma}$ : 1.0 0.4 0.0

Dreiecks-Helligkeit  $t^*$

ORS20\_95a; adaptierte CIELAB-Daten

	$L^*=L_a^*$	$a_a^*$	$b_a^*$	$C^*_{ab,a}$	$h^*_{ab,a}$
r00j	48.88	63.91	30.45	70.79	25
r25j	55.85	50.36	45.65	67.97	42
r50j	65.45	33.86	56.12	65.54	59
r75j	75.19	17.13	66.73	68.89	76
j00g	87.03	-3.21	79.64	79.7	92
j25g	80.72	-24.03	66.82	71.01	110
j50g	70.64	-38.01	49.96	62.78	127
j75g	61.93	-50.08	35.41	61.34	145
g00b	52.8	-62.76	20.12	65.91	162
g25b	55.7	-47.65	-8.05	48.34	190
g50b	57.82	-36.91	-27.79	46.22	217
g75b	55.5	-21.19	-44.16	49.0	244
b00r	41.6	1.31	-43.27	43.3	272
b25r	29.0	24.11	-41.46	47.97	300
b50r	38.04	44.73	-27.29	52.41	329
b75r	49.48	70.07	-3.61	70.16	357

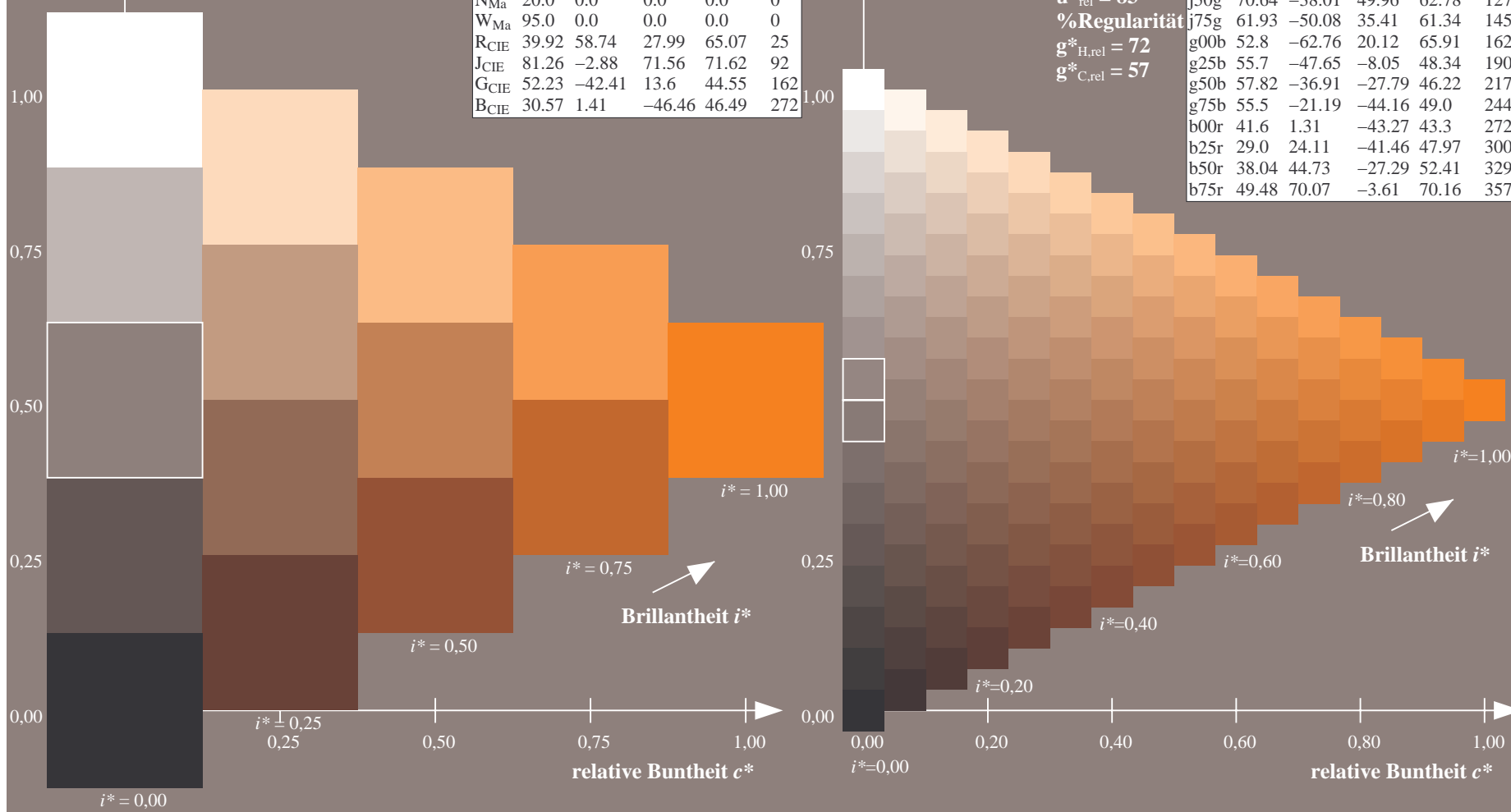
%Umfang

$u^*_{rel} = 83$

%Regularität

$g^*_{H,rel} = 72$

$g^*_{C,rel} = 57$



Ein und Ausgabe: Farbmétrisches Drucker-Reflektiv-System ORS20\_95a für relativen CIELAB-Buntton  $h^* = lab^*h^* = h_{ab}/360 = 76/360 = 0.21$

### Daten für jede Farbe:

*lab\*tch\** und *lab\*icu\**

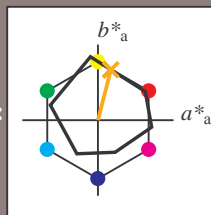
### Elementar-Bunttontext:

$$u^* = r75j$$

### Kontrastreduzierungsfaktor:

$$c_{\mathbf{P}} = 0.96$$

### K Dreiecks-Helligkeit $t^*$



ORS20 95a; adaptierte CIELAB-Daten					
	$L^*_{\text{a}}$	$a^*_{\text{a}}$	$b^*_{\text{a}}$	$C^*_{\text{ab,a}}$	$h^*_{\text{ab,a}}$
O <sub>Ma</sub>	48.75	62.56	37.91	73.15	31
Y <sub>Ma</sub>	90.92	-9.88	83.88	84.6	97
L <sub>Ma</sub>	52.69	-62.9	19.95	66.0	162
C <sub>Ma</sub>	59.61	-27.85	-44.43	52.45	238
V <sub>Ma</sub>	28.39	22.72	-42.42	48.13	298
M <sub>Ma</sub>	49.58	71.08	-9.19	71.67	353
N <sub>Ma</sub>	20.0	0.0	0.0	0.0	0
W <sub>Ma</sub>	95.0	0.0	0.0	0.0	0
R <sub>CIE</sub>	39.92	58.74	27.99	65.07	25
J <sub>CIE</sub>	81.26	-2.88	71.56	71.62	92
G <sub>CIE</sub>	52.23	-42.41	13.6	44.55	162
B <sub>CIE</sub>	30.57	1.41	-46.46	46.49	272

**Daten für Maximalfarbe (Ma):**

*LAB\*LAB\*Mo: 75 17 67*

LAD\*LGH\* 75 60 50

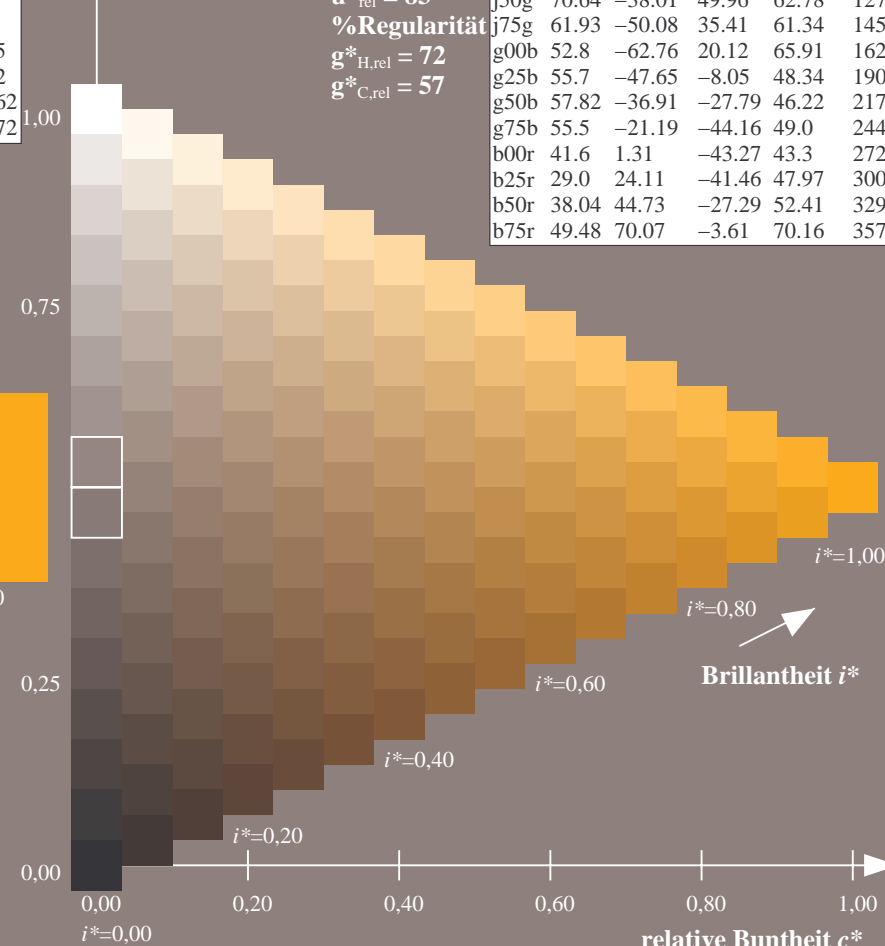
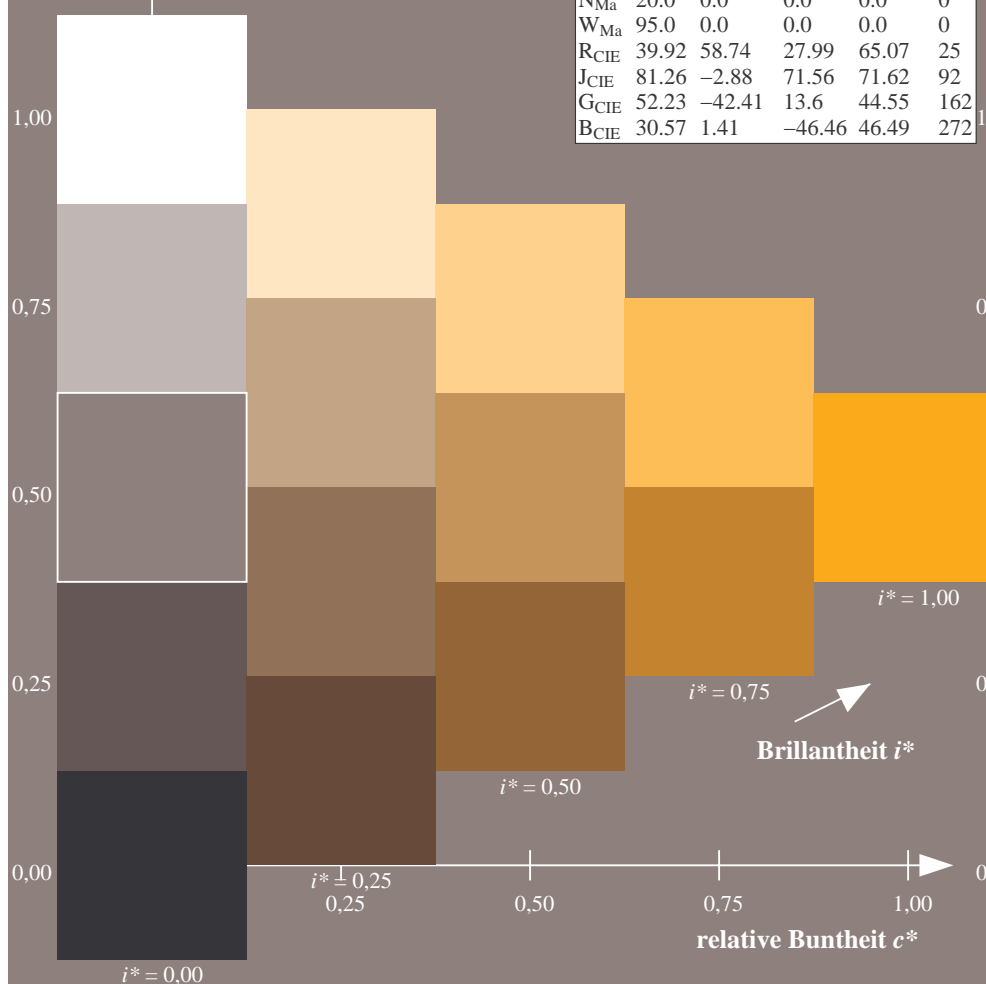
*LAB*\**LCH*\**Ma*: 75 69 76

*lab\*rgb*<sub>Ma</sub>: 1.0 0.75 0.0

*lab\*olv\**Ma: 1.0 0.63 0.0

### Dreiecks-Helligkeit $t^*$

ORS20_95a; adaptierte CIELAB-Daten						
	$L^*_a$	$a^*_a$	$b^*_a$	$C^*_{ab,a}$	$h^*_{ab,a}$	
r00j	48.88	63.91	30.45	70.79	25	
r25j	55.85	50.36	45.65	67.97	42	
r50j	65.45	33.86	56.12	65.54	59	
r75j	75.19	17.13	66.73	68.89	76	
j00g	87.03	-3.21	79.64	79.7	92	
j25g	80.72	-24.03	66.82	71.01	110	
j50g	70.64	-38.01	49.96	62.78	127	
j75g	61.93	-50.08	35.41	61.34	145	
g00b	52.8	-62.76	20.12	65.91	162	
g25b	55.7	-47.65	-8.05	48.34	190	
g50b	57.82	-36.91	-27.79	46.22	217	
g75b	55.5	-21.19	-44.16	49.0	244	
b00r	41.6	1.31	-43.27	43.3	272	
b25r	29.0	24.11	-41.46	47.97	300	
b50r	38.04	44.73	-27.29	52.41	329	
b75r	49.48	70.07	-3.61	70.16	357	



Ein und Ausgabe: Farbmetrisches Drucker-Reflektiv-System ORS20\_95a für relativen CIELAB-Buntton  $h^* = lab^*h^* = h_{ab}/360 = 92/360 = 0.256$

Daten für jede Farbe:

$lab^*ch^*$  und  $lab^*icu^*$

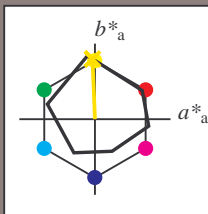
Elementar-Bunttonext:

$u^* = j00g$

Kontrastreduzierungsfaktor:

$c_R = 0.96$

Dreiecks-Helligkeit  $i^*$



ORS20_95a; adaptierte CIELAB-Daten					
	$L^*=L^*_a$	$a^*_a$	$b^*_a$	$C^*_{ab,a}$	$h^*_{ab,a}$
O <sub>Ma</sub>	48.75	62.56	37.91	73.15	31
Y <sub>Ma</sub>	90.92	-9.88	83.88	84.46	97
L <sub>Ma</sub>	52.69	-62.9	19.95	66.0	162
C <sub>Ma</sub>	59.61	-27.85	-44.43	52.45	238
V <sub>Ma</sub>	28.39	22.72	-42.42	48.13	298
M <sub>Ma</sub>	49.58	71.08	-9.19	71.67	353
N <sub>Ma</sub>	20.0	0.0	0.0	0.0	0
W <sub>Ma</sub>	95.0	0.0	0.0	0.0	0
R <sub>CIE</sub>	39.92	58.74	27.99	65.07	25
J <sub>CIE</sub>	81.26	-2.88	71.56	71.62	92
G <sub>CIE</sub>	52.23	-42.41	13.6	44.55	162
B <sub>CIE</sub>	30.57	1.41	-46.46	46.49	272

Daten für Maximalfarbe (Ma):

$LAB^*LAB^*_{Ma}$ : 87 -2 80

$LAB^*LCH^*_{Ma}$ : 87 80 92

$lab^*rgb^*_{Ma}$ : 1.0 1.0 0.0

$lab^*olv^*_{Ma}$ : 1.0 0.91 0.0

Dreiecks-Helligkeit  $i^*$

%Umfang

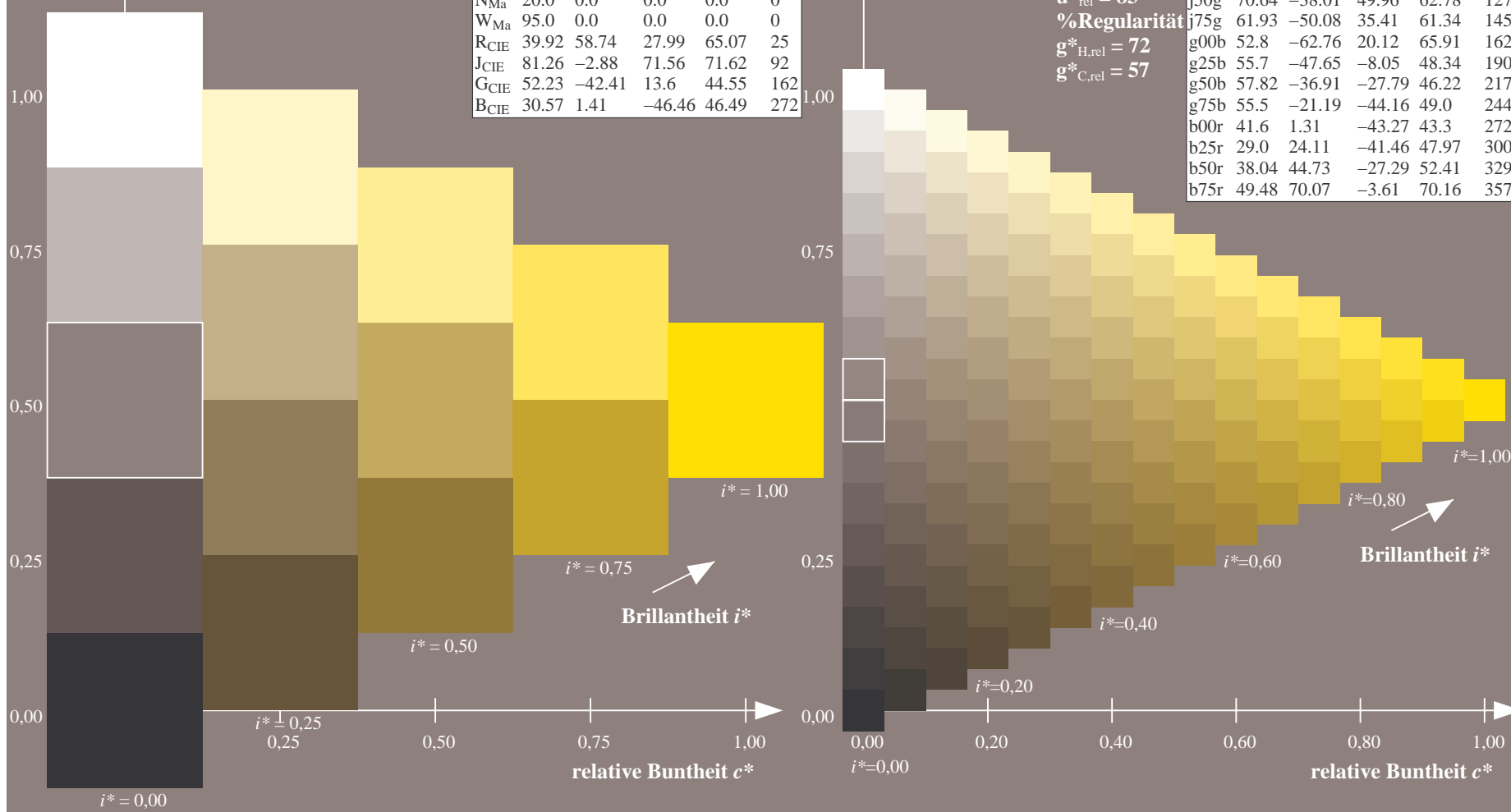
$u^*_{rel} = 83$

%Regularität

$g^*_{H,rel} = 72$

$g^*_{C,rel} = 57$

ORS20_95a; adaptierte CIELAB-Daten					
	$L^*=L^*_a$	$a^*_a$	$b^*_a$	$C^*_{ab,a}$	$h^*_{ab,a}$
r00j	48.88	63.91	30.45	70.79	25
r25j	55.85	50.36	45.65	67.97	42
r50j	65.45	33.86	56.12	65.54	59
r75j	75.19	17.13	66.73	68.89	76
j00g	87.03	-3.21	79.64	79.7	92
j25g	80.72	-24.03	66.82	71.01	110
j50g	70.64	-38.01	49.96	62.78	127
j75g	61.93	-50.08	35.41	61.34	145
g00b	52.8	-62.76	20.12	65.91	162
g25b	55.7	-47.65	-8.05	48.34	190
g50b	57.82	-36.91	-27.79	46.22	217
g75b	55.5	-21.19	-44.16	49.0	244
b00r	41.6	1.31	-43.27	43.3	272
b25r	29.0	24.11	-41.46	47.97	300
b50r	38.04	44.73	-27.29	52.41	329
b75r	49.48	70.07	-3.61	70.16	357



Ein und Ausgabe: Farbmetrisches Drucker-Reflektiv-System ORS20\_95a für relativen CIELAB-Buntton  $h^* = lab^*h^* = h_{ab}/360 = 110/360 = 0.305$

Daten für jede Farbe:

$lab^*ch^*$  und  $lab^*icu^*$

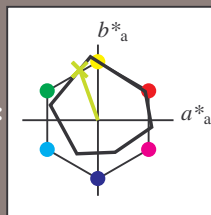
Elementar-Bunttonext:

$u^* = j25g$

Kontrastreduzierungsfaktor:

$c_R = 0.96$

Dreiecks-Helligkeit  $i^*$



ORS20\_95a; adaptierte CIELAB-Daten

	$L^*=L_a^*$	$a_a^*$	$b_a^*$	$C_{ab,a}^*$	$h_{ab,a}^*$
O <sub>Ma</sub>	48.75	62.56	37.91	73.15	31
Y <sub>Ma</sub>	90.92	-9.88	83.88	84.46	97
L <sub>Ma</sub>	52.69	-62.9	19.95	66.0	162
C <sub>Ma</sub>	59.61	-27.85	-44.43	52.45	238
V <sub>Ma</sub>	28.39	22.72	-42.42	48.13	298
M <sub>Ma</sub>	49.58	71.08	-9.19	71.67	353
N <sub>Ma</sub>	20.0	0.0	0.0	0.0	0
W <sub>Ma</sub>	95.0	0.0	0.0	0.0	0
R <sub>CIE</sub>	39.92	58.74	27.99	65.07	25
J <sub>CIE</sub>	81.26	-2.88	71.56	71.62	92
G <sub>CIE</sub>	52.23	-42.41	13.6	44.55	162
B <sub>CIE</sub>	30.57	1.41	-46.46	46.49	272

Daten für Maximalfarbe (Ma):

$LAB^*LAB^*_{Ma}$ : 81 -23 67

$LAB^*LCH^*_{Ma}$ : 81 71 110

$lab^*rgb^*_{Ma}$ : 0.75 1.0 0.0

$lab^*olv^*_{Ma}$ : 0.73 1.0 0.0

Dreiecks-Helligkeit  $i^*$

%Umfang

$u^*_{rel} = 83$

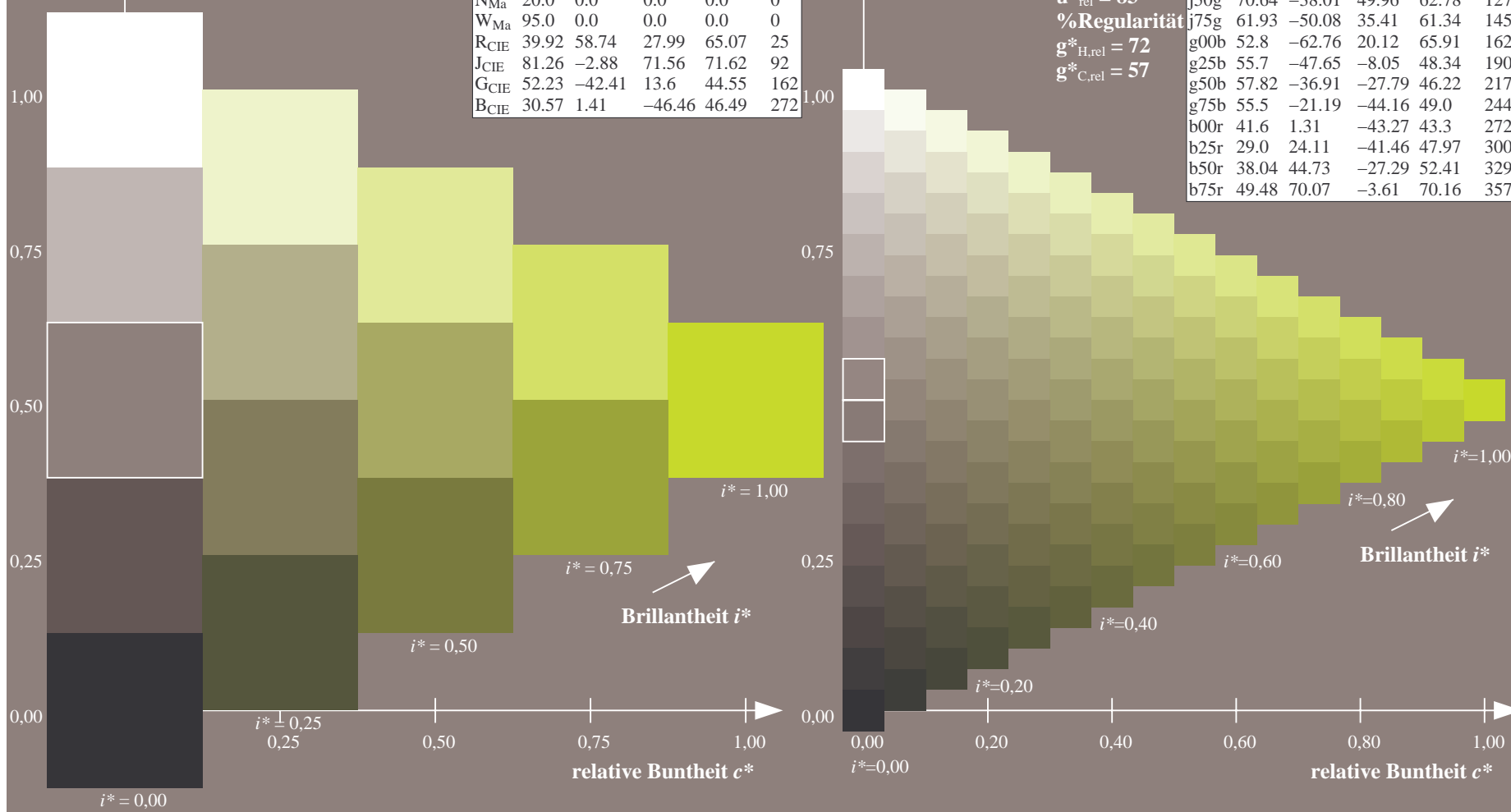
%Regularität

$g^*_{H,rel} = 72$

$g^*_{C,rel} = 57$

ORS20\_95a; adaptierte CIELAB-Daten

	$L^*=L_a^*$	$a_a^*$	$b_a^*$	$C_{ab,a}^*$	$h_{ab,a}^*$
r00j	48.88	63.91	30.45	70.79	25
r25j	55.85	50.36	45.65	67.97	42
r50j	65.45	33.86	56.12	65.54	59
r75j	75.19	17.13	66.73	68.89	76
j00g	87.03	-3.21	79.64	79.7	92
j25g	80.72	-24.03	66.82	71.01	110
j50g	70.64	-38.01	49.96	62.78	127
j75g	61.93	-50.08	35.41	61.34	145
g00b	52.8	-62.76	20.12	65.91	162
g25b	55.7	-47.65	-8.05	48.34	190
g50b	57.82	-36.91	-27.79	46.22	217
g75b	55.5	-21.19	-44.16	49.0	244
b00r	41.6	1.31	-43.27	43.3	272
b25r	29.0	24.11	-41.46	47.97	300
b50r	38.04	44.73	-27.29	52.41	329
b75r	49.48	70.07	-3.61	70.16	357



Ein und Ausgabe: Farbmetrisches Drucker-Reflektiv-System ORS20\_95a für relativen CIELAB-Buntton  $h^* = lab^*h^* = h_{ab}/360 = 127/360 = 0.354$

Daten für jede Farbe:

$lab^*ch^*$  und  $lab^*icu^*$

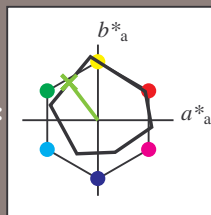
Elementar-Bunttontext:

$u^* = j50g$

Kontrastreduzierungsfaktor:

$c_R = 0.96$

Dreiecks-Helligkeit  $i^*$



ORS20\_95a; adaptierte CIELAB-Daten

	$L^*=L^*_a$	$a^*_a$	$b^*_a$	$C^*_{ab,a}$	$h^*_{ab,a}$
O <sub>Ma</sub>	48.75	62.56	37.91	73.15	31
Y <sub>Ma</sub>	90.92	-9.88	83.88	84.46	97
L <sub>Ma</sub>	52.69	-62.9	19.95	66.0	162
C <sub>Ma</sub>	59.61	-27.85	-44.43	52.45	238
V <sub>Ma</sub>	28.39	22.72	-42.42	48.13	298
M <sub>Ma</sub>	49.58	71.08	-9.19	71.67	353
N <sub>Ma</sub>	20.0	0.0	0.0	0.0	0
W <sub>Ma</sub>	95.0	0.0	0.0	0.0	0
R <sub>CIE</sub>	39.92	58.74	27.99	65.07	25
J <sub>CIE</sub>	81.26	-2.88	71.56	71.62	92
G <sub>CIE</sub>	52.23	-42.41	13.6	44.55	162
B <sub>CIE</sub>	30.57	1.41	-46.46	46.49	272

Daten für Maximalfarbe (Ma):

$LAB^*LAB^*_{Ma}$ : 71 -37 50

$LAB^*LCH^*_{Ma}$ : 71 63 127

$lab^*rgb^*_{Ma}$ : 0.5 1.0 0.0

$lab^*olv^*_{Ma}$ : 0.47 1.0 0.0

Dreiecks-Helligkeit  $i^*$

%Umfang

$u^*_{rel} = 83$

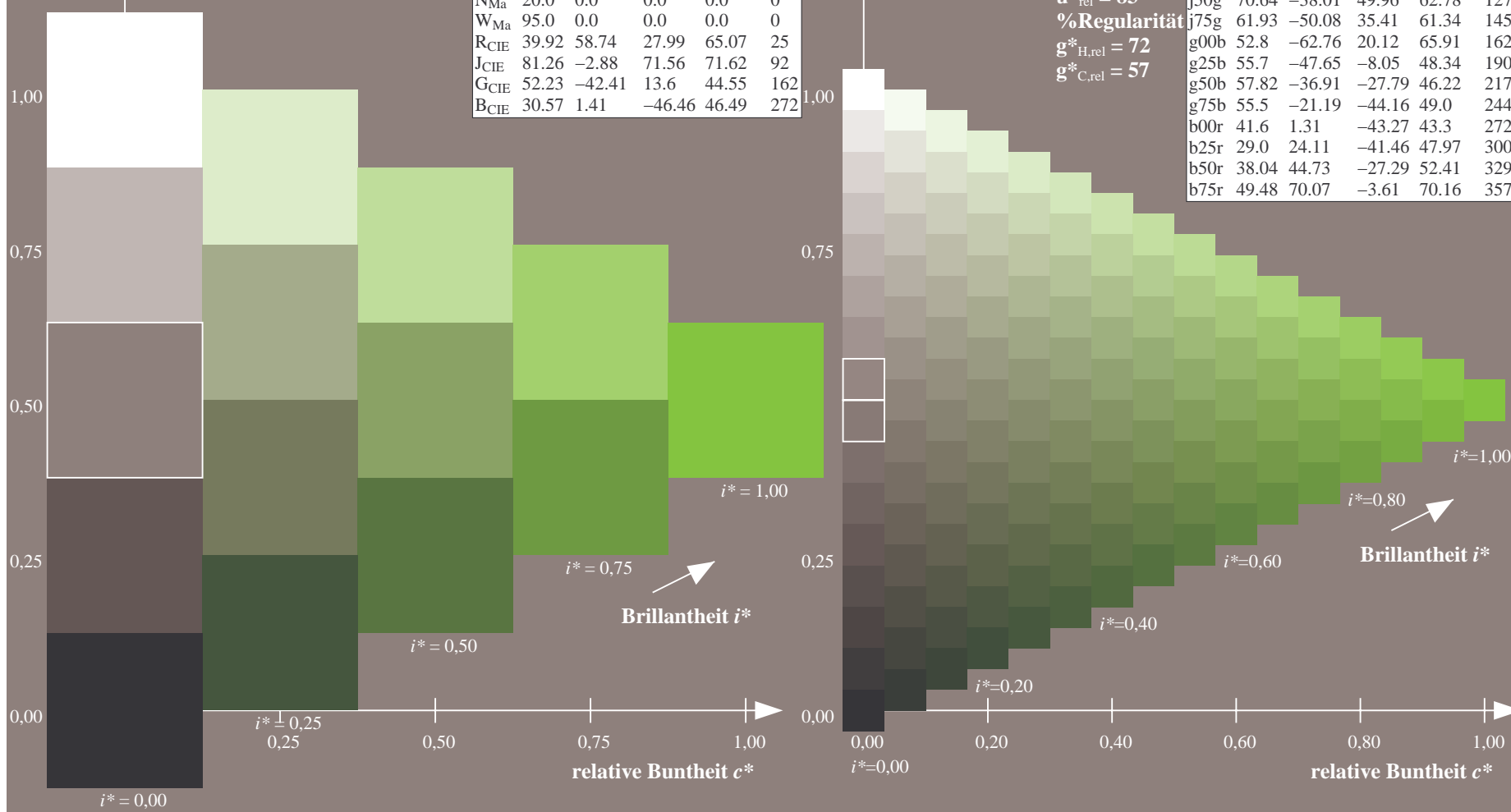
%Regularität

$g^*_{H,rel} = 72$

$g^*_{C,rel} = 57$

ORS20\_95a; adaptierte CIELAB-Daten

	$L^*=L^*_a$	$a^*_a$	$b^*_a$	$C^*_{ab,a}$	$h^*_{ab,a}$
r00j	48.88	63.91	30.45	70.79	25
r25j	55.85	50.36	45.65	67.97	42
r50j	65.45	33.86	56.12	65.54	59
r75j	75.19	17.13	66.73	68.89	76
j00g	87.03	-3.21	79.64	79.7	92
j25g	80.72	-24.03	66.82	71.01	110
j50g	70.64	-38.01	49.96	62.78	127
j75g	61.93	-50.08	35.41	61.34	145
g00b	52.8	-62.76	20.12	65.91	162
g25b	55.7	-47.65	-8.05	48.34	190
g50b	57.82	-36.91	-27.79	46.22	217
g75b	55.5	-21.19	-44.16	49.0	244
b00r	41.6	1.31	-43.27	43.3	272
b25r	29.0	24.11	-41.46	47.97	300
b50r	38.04	44.73	-27.29	52.41	329
b75r	49.48	70.07	-3.61	70.16	357





Ein und Ausgabe: Farbmetrisches Drucker-Reflektiv-System ORS20\_95a für relativen CIELAB-Buntton  $h^* = lab^*h^* = h_{ab}/360 = 145/360 = 0.402$

Daten für jede Farbe:

$lab^*ch^*$  und  $lab^*icu^*$

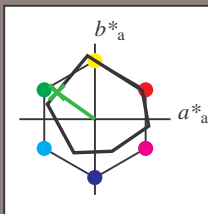
Elementar-Bunttontext:

$u^* = j75g$

Kontrastreduzierungsfaktor:

$c_R = 0.96$

Dreiecks-Helligkeit  $i^*$



ORS20\_95a; adaptierte CIELAB-Daten

	$L^*=L^*_a$	$a^*_a$	$b^*_a$	$C^*_{ab,a}$	$h^*_{ab,a}$
O <sub>Ma</sub>	48.75	62.56	37.91	73.15	31
Y <sub>Ma</sub>	90.92	-9.88	83.88	84.46	97
L <sub>Ma</sub>	52.69	-62.9	19.95	66.0	162
C <sub>Ma</sub>	59.61	-27.85	-44.43	52.45	238
V <sub>Ma</sub>	28.39	22.72	-42.42	48.13	298
M <sub>Ma</sub>	49.58	71.08	-9.19	71.67	353
N <sub>Ma</sub>	20.0	0.0	0.0	0.0	0
W <sub>Ma</sub>	95.0	0.0	0.0	0.0	0
R <sub>CIE</sub>	39.92	58.74	27.99	65.07	25
J <sub>CIE</sub>	81.26	-2.88	71.56	71.62	92
G <sub>CIE</sub>	52.23	-42.41	13.6	44.55	162
B <sub>CIE</sub>	30.57	1.41	-46.46	46.49	272

Daten für Maximalfarbe (Ma):

$LAB^*LAB^*_{Ma}$ : 62 -49 35

$LAB^*LCH^*_{Ma}$ : 62 61 145

$lab^*rgb^*_{Ma}$ : 0.25 1.0 0.0

$lab^*olv^*_{Ma}$ : 0.24 1.0 0.0

Dreiecks-Helligkeit  $i^*$

%Umfang

$u^*_{rel} = 83$

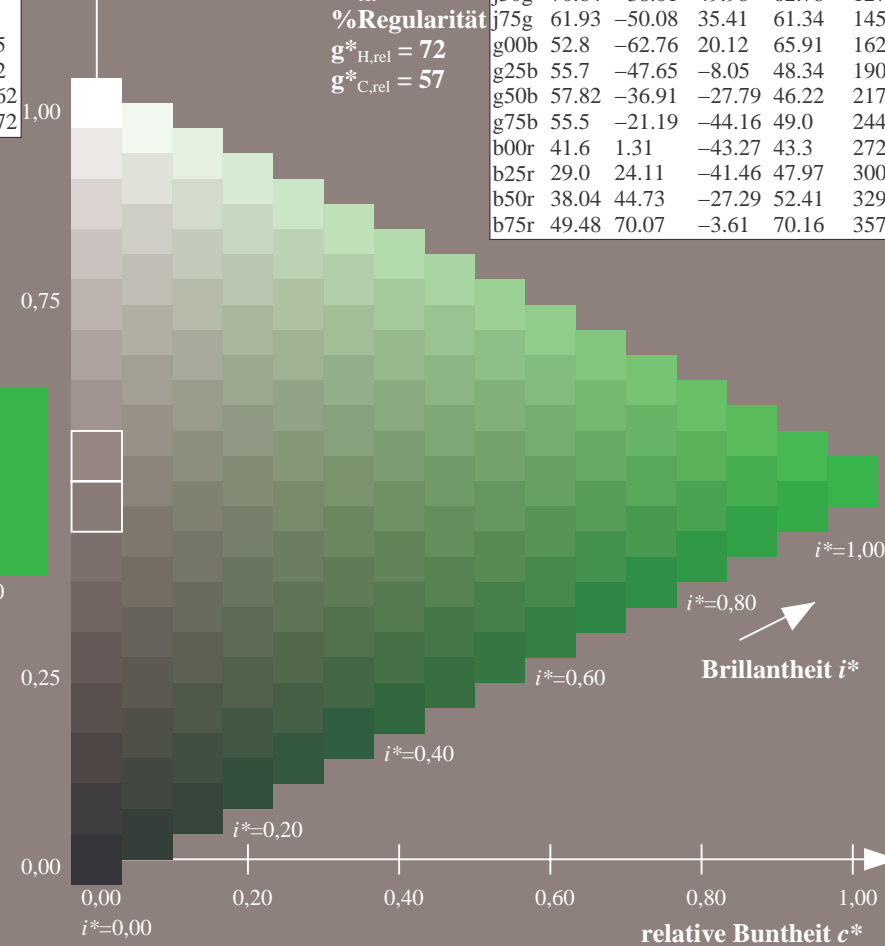
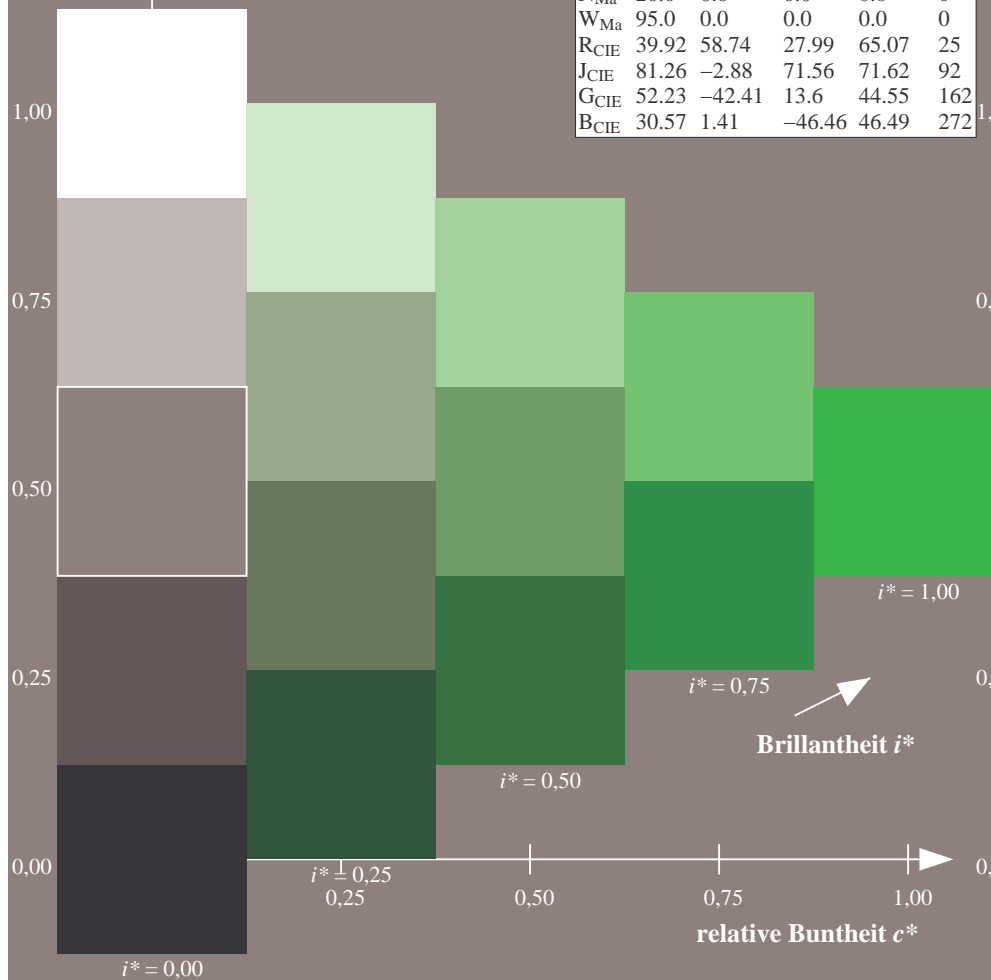
%Regularität

$g^*_{H,rel} = 72$

$g^*_{C,rel} = 57$

ORS20\_95a; adaptierte CIELAB-Daten

	$L^*=L^*_a$	$a^*_a$	$b^*_a$	$C^*_{ab,a}$	$h^*_{ab,a}$
r00j	48.88	63.91	30.45	70.79	25
r25j	55.85	50.36	45.65	67.97	42
r50j	65.45	33.86	56.12	65.54	59
r75j	75.19	17.13	66.73	68.89	76
j00g	87.03	-3.21	79.64	79.7	92
j25g	80.72	-24.03	66.82	71.01	110
j50g	70.64	-38.01	49.96	62.78	127
j75g	61.93	-50.08	35.41	61.34	145
g00b	52.8	-62.76	20.12	65.91	162
g25b	55.7	-47.65	-8.05	48.34	190
g50b	57.82	-36.91	-27.79	46.22	217
g75b	55.5	-21.19	-44.16	49.0	244
b00r	41.6	1.31	-43.27	43.3	272
b25r	29.0	24.11	-41.46	47.97	300
b50r	38.04	44.73	-27.29	52.41	329
b75r	49.48	70.07	-3.61	70.16	357



Ein und Ausgabe: Farbmetrisches Drucker-Reflektiv-System ORS20\_95a für relativen CIELAB-Buntton  $h^* = lab^*h^* = h_{ab}/360 = 162/360 = 0.451$

Daten für jede Farbe:

$lab^*ch^*$  und  $lab^*icu^*$

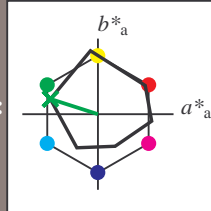
Elementar-Bunttontext:

$u^* = g00b$

Kontrastreduzierungsfaktor:

$c_R = 0.96$

Dreiecks-Helligkeit  $i^*$



ORS20_95a; adaptierte CIELAB-Daten					
	$L^*=L^*_a$	$a^*_a$	$b^*_a$	$C^*_{ab,a}$	$h^*_{ab,a}$
O <sub>Ma</sub>	48.75	62.56	37.91	73.15	31
Y <sub>Ma</sub>	90.92	-9.88	83.88	84.46	97
L <sub>Ma</sub>	52.69	-62.9	19.95	66.0	162
C <sub>Ma</sub>	59.61	-27.85	-44.43	52.45	238
V <sub>Ma</sub>	28.39	22.72	-42.42	48.13	298
M <sub>Ma</sub>	49.58	71.08	-9.19	71.67	353
N <sub>Ma</sub>	20.0	0.0	0.0	0.0	0
W <sub>Ma</sub>	95.0	0.0	0.0	0.0	0
R <sub>CIE</sub>	39.92	58.74	27.99	65.07	25
J <sub>CIE</sub>	81.26	-2.88	71.56	71.62	92
G <sub>CIE</sub>	52.23	-42.41	13.6	44.55	162
B <sub>CIE</sub>	30.57	1.41	-46.46	46.49	272

Daten für Maximalfarbe (Ma):

$LAB^*LAB^*_{Ma}$ : 53 -62 20

$LAB^*LCH^*_{Ma}$ : 53 66 162

$lab^*rgb^*_{Ma}$ : 0.0 1.0 0.0

$lab^*olv^*_{Ma}$ : 0.0 1.0 0.0

Dreiecks-Helligkeit  $i^*$

%Umfang

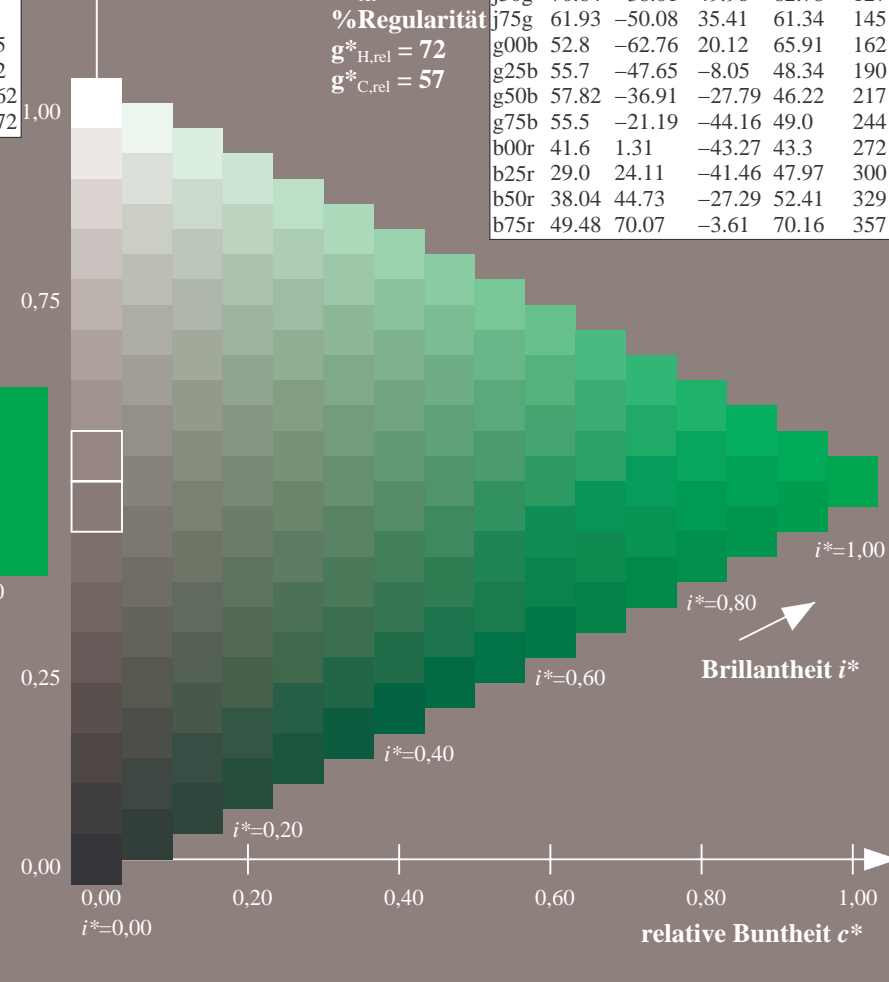
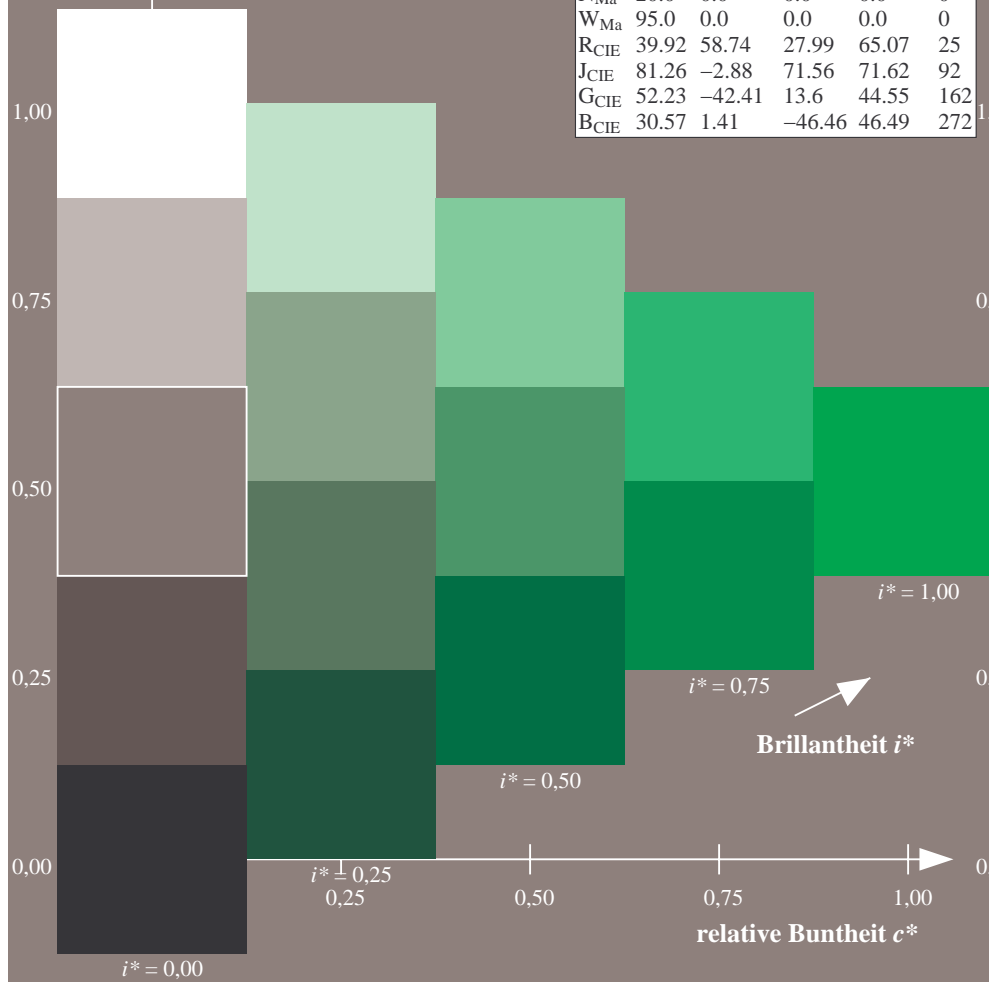
$u^*_{rel} = 83$

%Regularität

$g^*_{H,rel} = 72$

$g^*_{C,rel} = 57$

ORS20_95a; adaptierte CIELAB-Daten					
	$L^*=L^*_a$	$a^*_a$	$b^*_a$	$C^*_{ab,a}$	$h^*_{ab,a}$
r00j	48.88	63.91	30.45	70.79	25
r25j	55.85	50.36	45.65	67.97	42
r50j	65.45	33.86	56.12	65.54	59
r75j	75.19	17.13	66.73	68.89	76
j00g	87.03	-3.21	79.64	79.7	92
j25g	80.72	-24.03	66.82	71.01	110
j50g	70.64	-38.01	49.96	62.78	127
j75g	61.93	-50.08	35.41	61.34	145
g00b	52.8	-62.76	20.12	65.91	162
g25b	55.7	-47.65	-8.05	48.34	190
g50b	57.82	-36.91	-27.79	46.22	217
g75b	55.5	-21.19	-44.16	49.0	244
b00r	41.6	1.31	-43.27	43.3	272
b25r	29.0	24.11	-41.46	47.97	300
b50r	38.04	44.73	-27.29	52.41	329
b75r	49.48	70.07	-3.61	70.16	357



Ein und Ausgabe: Farbmetrisches Drucker-Reflektiv-System ORS20\_95a für relativen CIELAB-Buntton  $h^* = lab^*h^* = h_{ab}/360 = 190/360 = 0.527$

Daten für jede Farbe:

$lab^*ch^*$  und  $lab^*icu^*$

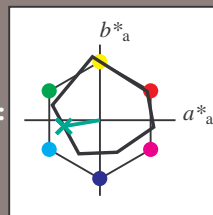
Elementar-Bunttontext:

$u^* = g25b$

Kontrastreduzierungsfaktor:

$c_R = 0.96$

Dreiecks-Helligkeit  $i^*$



ORS20\_95a; adaptierte CIELAB-Daten

	$L^*=L_a^*$	$a_a^*$	$b_a^*$	$C_{ab,a}^*$	$h_{ab,a}^*$
O <sub>Ma</sub>	48.75	62.56	37.91	73.15	31
Y <sub>Ma</sub>	90.92	-9.88	83.88	84.46	97
L <sub>Ma</sub>	52.69	-62.9	19.95	66.0	162
C <sub>Ma</sub>	59.61	-27.85	-44.43	52.45	238
V <sub>Ma</sub>	28.39	22.72	-42.42	48.13	298
M <sub>Ma</sub>	49.58	71.08	-9.19	71.67	353
N <sub>Ma</sub>	20.0	0.0	0.0	0.0	0
W <sub>Ma</sub>	95.0	0.0	0.0	0.0	0
R <sub>CIE</sub>	39.92	58.74	27.99	65.07	25
J <sub>CIE</sub>	81.26	-2.88	71.56	71.62	92
G <sub>CIE</sub>	52.23	-42.41	13.6	44.55	162
B <sub>CIE</sub>	30.57	1.41	-46.46	46.49	272

Daten für Maximalfarbe (Ma):

$LAB^*LAB^*_{Ma}$ : 56 -47 -7

$LAB^*LCH^*_{Ma}$ : 56 48 190

$lab^*rgb^*_{Ma}$ : 0.0 1.0 0.5

$lab^*olv^*_{Ma}$ : 0.0 1.0 0.44

Dreiecks-Helligkeit  $i^*$

%Umfang

$u^*_{rel} = 83$

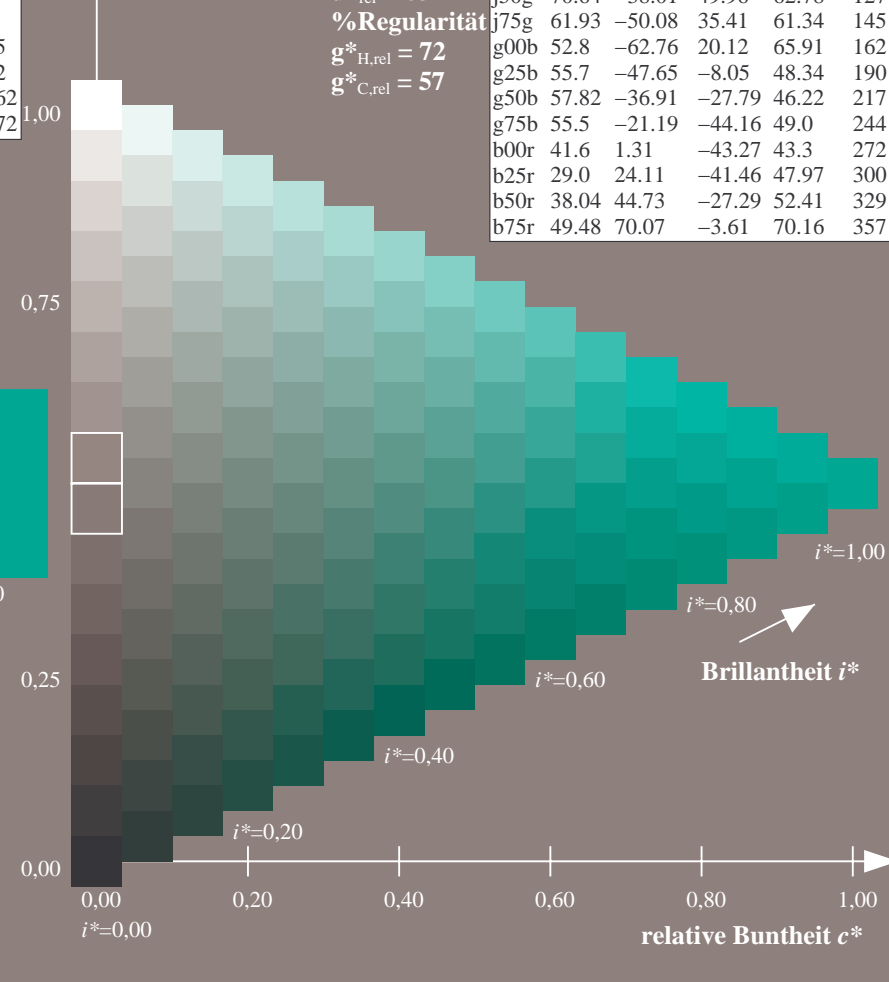
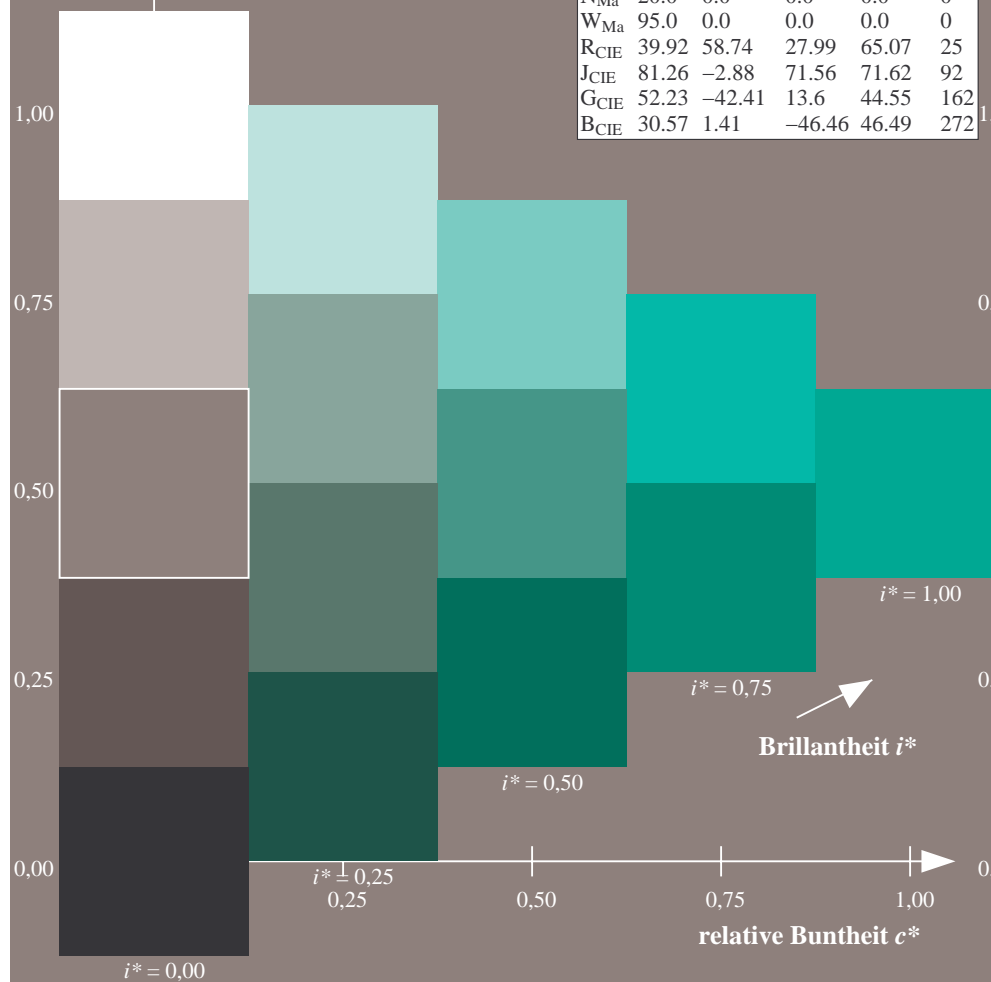
%Regularität

$g^*_{H,rel} = 72$

$g^*_{C,rel} = 57$

ORS20\_95a; adaptierte CIELAB-Daten

	$L^*=L_a^*$	$a_a^*$	$b_a^*$	$C_{ab,a}^*$	$h_{ab,a}^*$
r00j	48.88	63.91	30.45	70.79	25
r25j	55.85	50.36	45.65	67.97	42
r50j	65.45	33.86	56.12	65.54	59
r75j	75.19	17.13	66.73	68.89	76
j00g	87.03	-3.21	79.64	79.7	92
j25g	80.72	-24.03	66.82	71.01	110
j50g	70.64	-38.01	49.96	62.78	127
j75g	61.93	-50.08	35.41	61.34	145
g00b	52.8	-62.76	20.12	65.91	162
g25b	55.7	-47.65	-8.05	48.34	190
g50b	57.82	-36.91	-27.79	46.22	217
g75b	55.5	-21.19	-44.16	49.0	244
b00r	41.6	1.31	-43.27	43.3	272
b25r	29.0	24.11	-41.46	47.97	300
b50r	38.04	44.73	-27.29	52.41	329
b75r	49.48	70.07	-3.61	70.16	357



Ein und Ausgabe: Farbmetrisches Drucker-Reflektiv-System ORS20\_95a für relativen CIELAB-Buntton  $h^* = lab^*h^* = h_{ab}/360 = 217/360 = 0.603$

Daten für jede Farbe:

$lab^*ch^*$  und  $lab^*icu^*$

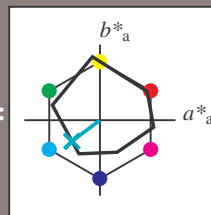
Elementar-Bunttontext:

$u^* = g50b$

Kontrastreduzierungsfaktor:

$c_R = 0.96$

Dreiecks-Helligkeit  $t^*$



ORS20\_95a; adaptierte CIELAB-Daten

	$L^*=L_a^*$	$a_a^*$	$b_a^*$	$C_{ab,a}^*$	$h_{ab,a}^*$
O <sub>Ma</sub>	48.75	62.56	37.91	73.15	31
Y <sub>Ma</sub>	90.92	-9.88	83.88	84.46	97
L <sub>Ma</sub>	52.69	-62.9	19.95	66.0	162
C <sub>Ma</sub>	59.61	-27.85	-44.43	52.45	238
V <sub>Ma</sub>	28.39	22.72	-42.42	48.13	298
M <sub>Ma</sub>	49.58	71.08	-9.19	71.67	353
N <sub>Ma</sub>	20.0	0.0	0.0	0.0	0
W <sub>Ma</sub>	95.0	0.0	0.0	0.0	0
R <sub>CIE</sub>	39.92	58.74	27.99	65.07	25
J <sub>CIE</sub>	81.26	-2.88	71.56	71.62	92
G <sub>CIE</sub>	52.23	-42.41	13.6	44.55	162
B <sub>CIE</sub>	30.57	1.41	-46.46	46.49	272

Daten für Maximalfarbe (Ma):

$LAB^*LAB^*_{Ma}$ : 58 -36 -27

$LAB^*LCH^*_{Ma}$ : 58 46 217

$lab^*rgb^*_{Ma}$ : 0.0 1.0 1.0

$lab^*olv^*_{Ma}$ : 0.0 1.0 0.74

Dreiecks-Helligkeit  $t^*$

ORS20\_95a; adaptierte CIELAB-Daten

	$L^*=L_a^*$	$a_a^*$	$b_a^*$	$C_{ab,a}^*$	$h_{ab,a}^*$
r00j	48.88	63.91	30.45	70.79	25
r25j	55.85	50.36	45.65	67.97	42
r50j	65.45	33.86	56.12	65.54	59
r75j	75.19	17.13	66.73	68.89	76
j00g	87.03	-3.21	79.64	79.7	92
j25g	80.72	-24.03	66.82	71.01	110
j50g	70.64	-38.01	49.96	62.78	127
j75g	61.93	-50.08	35.41	61.34	145
g00b	52.8	-62.76	20.12	65.91	162
g25b	55.7	-47.65	-8.05	48.34	190
g50b	57.82	-36.91	-27.79	46.22	217
g75b	55.5	-21.19	-44.16	49.0	244
b00r	41.6	1.31	-43.27	43.3	272
b25r	29.0	24.11	-41.46	47.97	300
b50r	38.04	44.73	-27.29	52.41	329
b75r	49.48	70.07	-3.61	70.16	357

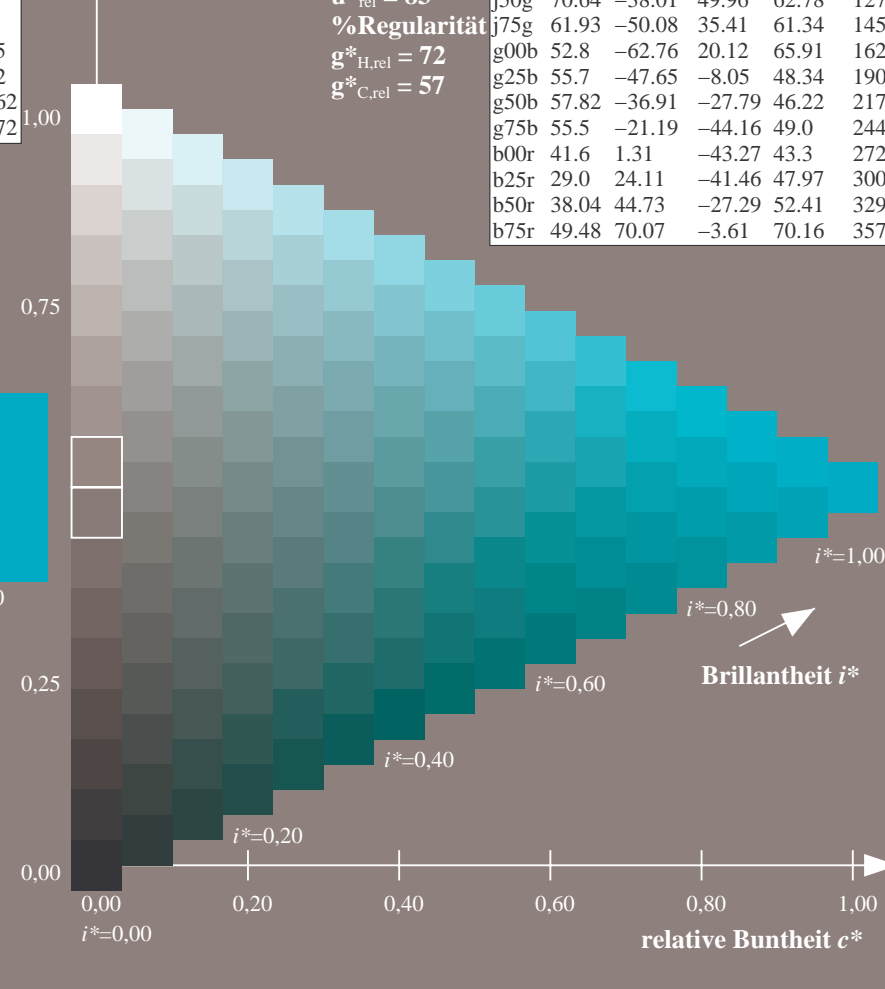
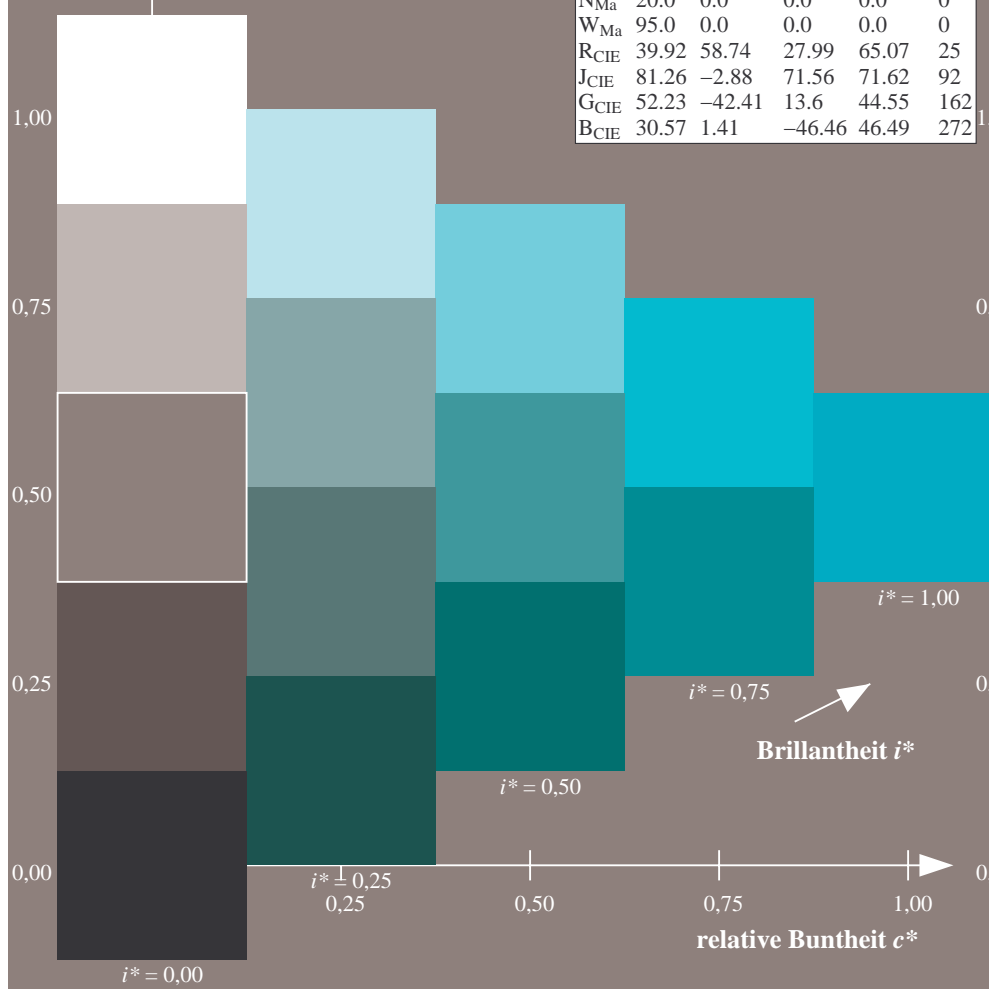
%Umfang

$u^*_{rel} = 83$

%Regularität

$g^*_{H,rel} = 72$

$g^*_{C,rel} = 57$



Ein und Ausgabe: Farbmétrisches Drucker-Reflektiv-System ORS20\_95a für relativen CIELAB-Buntton  $h^* = lab^*h^* = h_{ab}/360 = 244/360 = 0.679$

### Daten für jede Farbe:

*lab\*tch\** und *lab\*icu\**

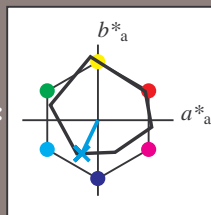
### Elementar-Bunttontext:

$$u^* = g75b$$

### Kontrastreduzierungsfaktor:

$$c_P = 0.96$$

### K Dreiecks-Helligkeit $t^*$



ORS20 95a; adaptierte CIELAB-Daten					
	$L^*_{\text{a}}$	$a^*_{\text{a}}$	$b^*_{\text{a}}$	$C^*_{\text{ab,a}}$	$h^*_{\text{ab,a}}$
O <sub>Ma</sub>	48.75	62.56	37.91	73.15	31
Y <sub>Ma</sub>	90.92	-9.88	83.88	84.6	97
L <sub>Ma</sub>	52.69	-62.9	19.95	66.0	162
C <sub>Ma</sub>	59.61	-27.85	-44.43	52.45	238
V <sub>Ma</sub>	28.39	22.72	-42.42	48.13	298
M <sub>Ma</sub>	49.58	71.08	-9.19	71.67	353
N <sub>Ma</sub>	20.0	0.0	0.0	0.0	0
W <sub>Ma</sub>	95.0	0.0	0.0	0.0	0
R <sub>CIE</sub>	39.92	58.74	27.99	65.07	25
J <sub>CIE</sub>	81.26	-2.88	71.56	71.62	92
G <sub>CIE</sub>	52.23	-42.41	13.6	44.55	162
B <sub>CIE</sub>	30.57	1.41	-46.46	46.49	272

**Daten für Maximalfarbe (Ma):**

*LAB\*LAB\*Mo: 55 -20 -43*

LAD\*LGH\* 55 49 244

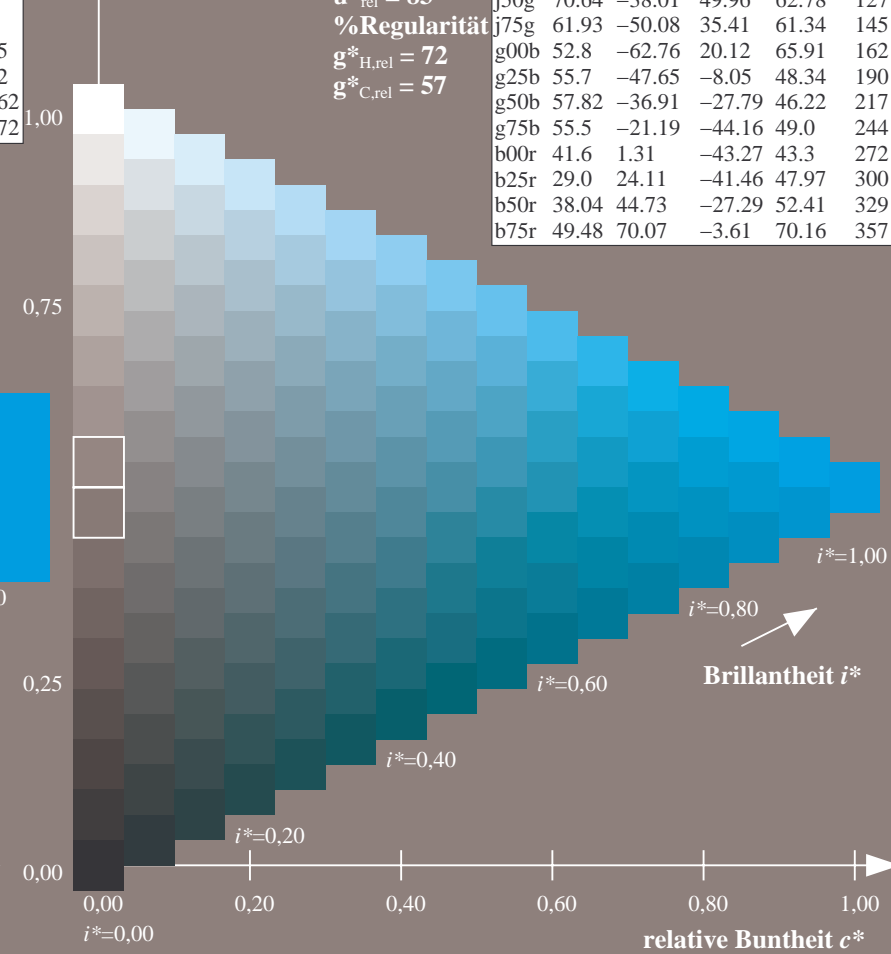
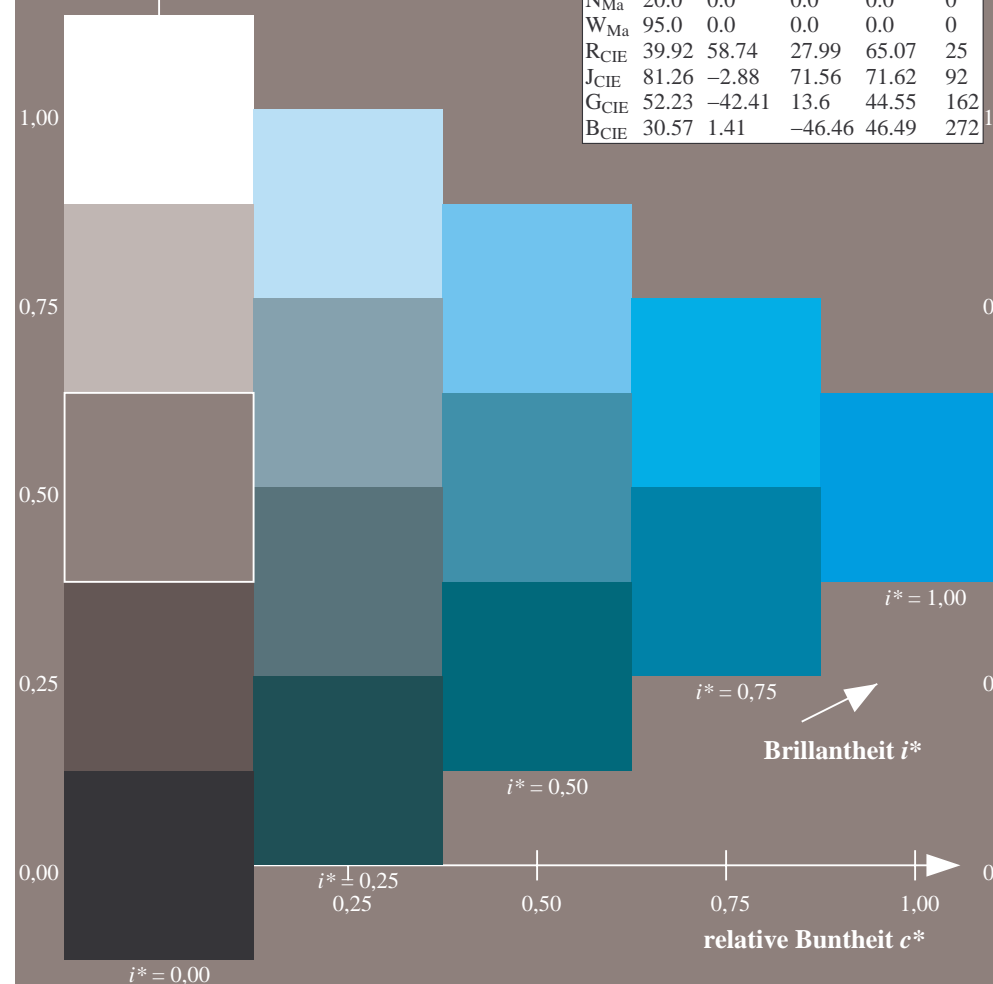
**LAB\*LCH\*Ma: 55 49 2**

*lab\*rgb*\*Ma: 0.0 0.5 1.0

*lab\*olv\**Ma: 0.0 0.87 1.0

### Dreiecks-Helligkeit $t^*$

ORS20_95a; adaptierte CIELAB-Daten					
	$L^*_a$	$a^*_a$	$b^*_a$	$C^*_{ab,a}$	$h^*_{ab,a}$
r00j	48.88	63.91	30.45	70.79	25
r25j	55.85	50.36	45.65	67.97	42
r50j	65.45	33.86	56.12	65.54	59
r75j	75.19	17.13	66.73	68.89	76
j00g	87.03	-3.21	79.64	79.7	92
j25g	80.72	-24.03	66.82	71.01	110
j50g	70.64	-38.01	49.96	62.78	127
j75g	61.93	-50.08	35.41	61.34	145
g00b	52.8	-62.76	20.12	65.91	162
g25b	55.7	-47.65	-8.05	48.34	190
g50b	57.82	-36.91	-27.79	46.22	217
g75b	55.5	-21.19	-44.16	49.0	244
b00r	41.6	1.31	-43.27	43.3	272
b25r	29.0	24.11	-41.46	47.97	300
b50r	38.04	44.73	-27.29	52.41	329
b75r	49.48	70.07	-3.61	70.16	357



BAM-Prüfvorlage Dg75; Farbmimetrik-Systeme, Seite 31/90  
Farbreihen und 3 Separationen für 16 Bunttöne *r00j* bis *b75r*

Eingabe: 000n / w / nnn0 / www set...  
Ausgabe: ->cmyn5\* setcmykcolor

BAM-Registrierung: 20080701-Dg75/10L/L75G00NA.PS/.TXTBAM-Material: Code=rhata  
Anwendung für Beurteilung und Messung von Drucker- oder Monitorsystemen

Ein und Ausgabe: Farbmetrisches Drucker-Reflektiv-System ORS20\_95a für relativen CIELAB-Buntton  $h^* = lab^*h^* = h_{ab}/360 = 272/360 = 0.755$

Daten für jede Farbe:

$lab^*ch^*$  und  $lab^*icu^*$

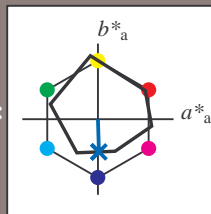
Elementar-Bunttontext:

$u^* = b00r$

Kontrastreduzierungsfaktor:

$c_R = 0.96$

Dreiecks-Helligkeit  $i^*$



ORS20\_95a; adaptierte CIELAB-Daten

	$L^* = L^*_a$	$a^*_a$	$b^*_a$	$C^*_{ab,a}$	$h^*_{ab,a}$
O <sub>Ma</sub>	48.75	62.56	37.91	73.15	31
Y <sub>Ma</sub>	90.92	-9.88	83.88	84.46	97
L <sub>Ma</sub>	52.69	-62.9	19.95	66.0	162
C <sub>Ma</sub>	59.61	-27.85	-44.43	52.45	238
V <sub>Ma</sub>	28.39	22.72	-42.42	48.13	298
M <sub>Ma</sub>	49.58	71.08	-9.19	71.67	353
N <sub>Ma</sub>	20.0	0.0	0.0	0.0	0
W <sub>Ma</sub>	95.0	0.0	0.0	0.0	0
R <sub>CIE</sub>	39.92	58.74	27.99	65.07	25
J <sub>CIE</sub>	81.26	-2.88	71.56	71.62	92
G <sub>CIE</sub>	52.23	-42.41	13.6	44.55	162
B <sub>CIE</sub>	30.57	1.41	-46.46	46.49	272

Daten für Maximalfarbe (Ma):

$LAB^*LAB^*_{Ma}$ : 42 1 -42

$LAB^*LCH^*_{Ma}$ : 42 43 272

$lab^*rgb^*_{Ma}$ : 0.0 0.0 1.0

$lab^*olv^*_{Ma}$ : 0.0 0.42 1.0

Dreiecks-Helligkeit  $i^*$

%Umfang

$u^*_{rel} = 83$

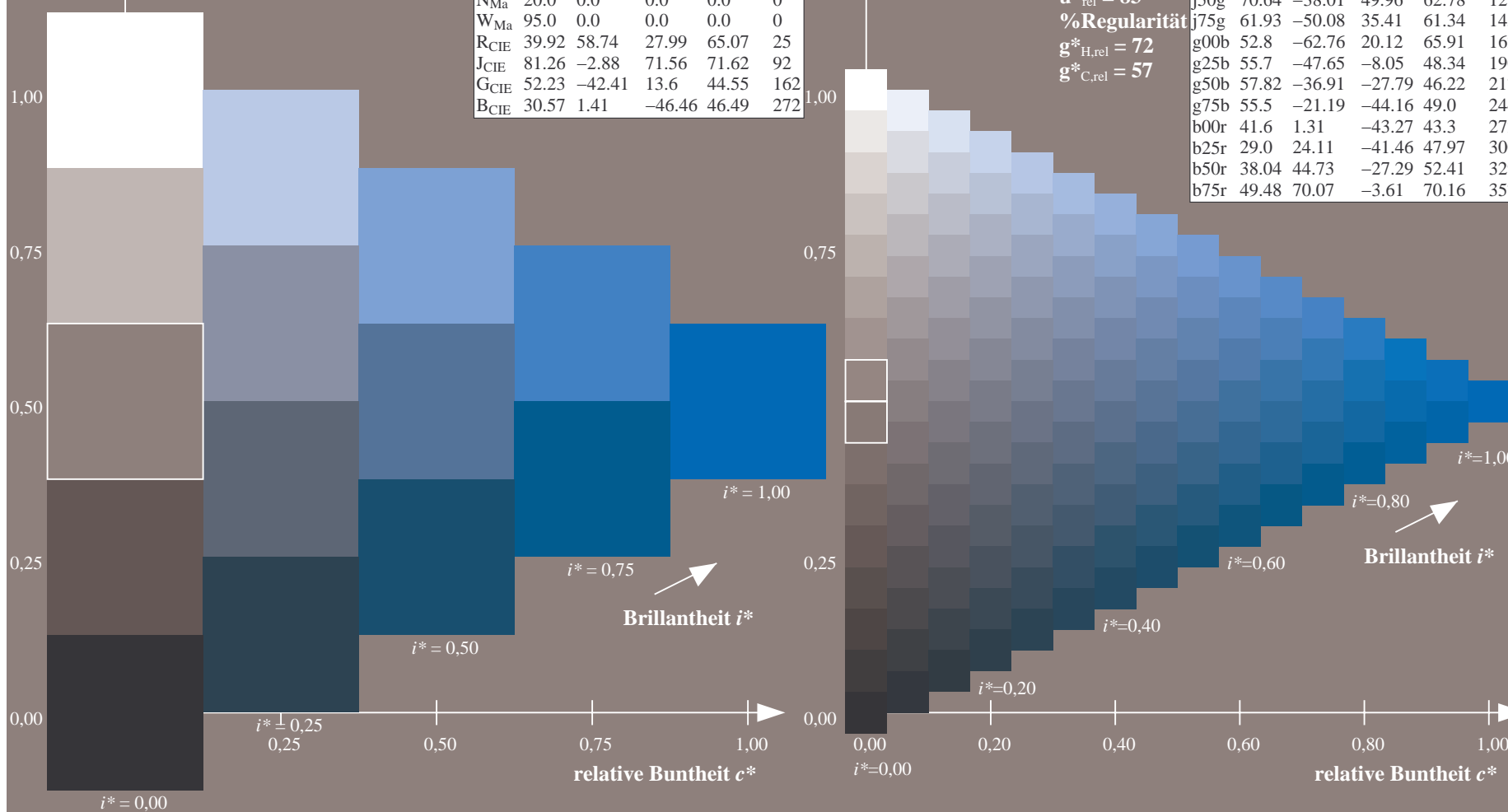
%Regularität

$g^*_{H,rel} = 72$

$g^*_{C,rel} = 57$

ORS20\_95a; adaptierte CIELAB-Daten

	$L^* = L^*_a$	$a^*_a$	$b^*_a$	$C^*_{ab,a}$	$h^*_{ab,a}$
r00j	48.88	63.91	30.45	70.79	25
r25j	55.85	50.36	45.65	67.97	42
r50j	65.45	33.86	56.12	65.54	59
r75j	75.19	17.13	66.73	68.89	76
j00g	87.03	-3.21	79.64	79.7	92
j25g	80.72	-24.03	66.82	71.01	110
j50g	70.64	-38.01	49.96	62.78	127
j75g	61.93	-50.08	35.41	61.34	145
g00b	52.8	-62.76	20.12	65.91	162
g25b	55.7	-47.65	-8.05	48.34	190
g50b	57.82	-36.91	-27.79	46.22	217
g75b	55.5	-21.19	-44.16	49.0	244
b00r	41.6	1.31	-43.27	43.3	272
b25r	29.0	24.11	-41.46	47.97	300
b50r	38.04	44.73	-27.29	52.41	329
b75r	49.48	70.07	-3.61	70.16	357





Ein und Ausgabe: Farbmétrisches Drucker-Reflektiv-System ORS20\_95a für relativen CIELAB-Buntton  $h^* = lab^*h^* = h_{ab}/360 = 300/360 = 0.834$

### Daten für jede Farbe:

*lab\*tch\** und *lab\*icu\**

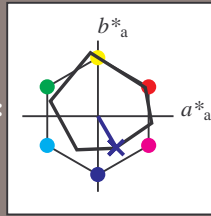
### Elementar-Bunttontext:

$$u^* = b25r$$

### Kontrastreduzierungsfaktor:

$$c_R = 0.96$$

### Dreiecks-Helligkeit $t^*$



ORS20 95a; adaptierte CIELAB-Daten					
	$L^* = \bar{L}^*_a$	$a^*_a$	$b^*_a$	$C^*_{ab,a}$	$h^*_{ab,a}$
O <sub>Ma</sub>	48.75	62.56	37.91	73.15	316.5
Y <sub>Ma</sub>	90.92	-9.88	83.88	84.46	97.2
L <sub>Ma</sub>	52.69	-62.9	19.95	66.0	162.2
C <sub>Ma</sub>	59.61	-27.85	-44.43	52.45	238.2
V <sub>Ma</sub>	28.39	22.72	-42.42	48.13	298.2
M <sub>Ma</sub>	49.58	71.08	-9.19	71.67	353.2
N <sub>Ma</sub>	20.0	0.0	0.0	0.0	0
W <sub>Ma</sub>	95.0	0.0	0.0	0.0	0
R <sub>CIE</sub>	39.92	58.74	27.99	65.07	25.2
J <sub>CIE</sub>	81.26	-2.88	71.56	71.62	92.2
G <sub>CIE</sub>	52.23	-42.41	13.6	44.55	162.2
B <sub>CIE</sub>	30.57	1.41	-46.46	46.49	272.2

### Daten für Maximalfarbe (Ma):

 $LAB^*LAB^*M_2: 29 \quad 24 \quad -40$ 

*LAB\*ICH\**; 20 48 300

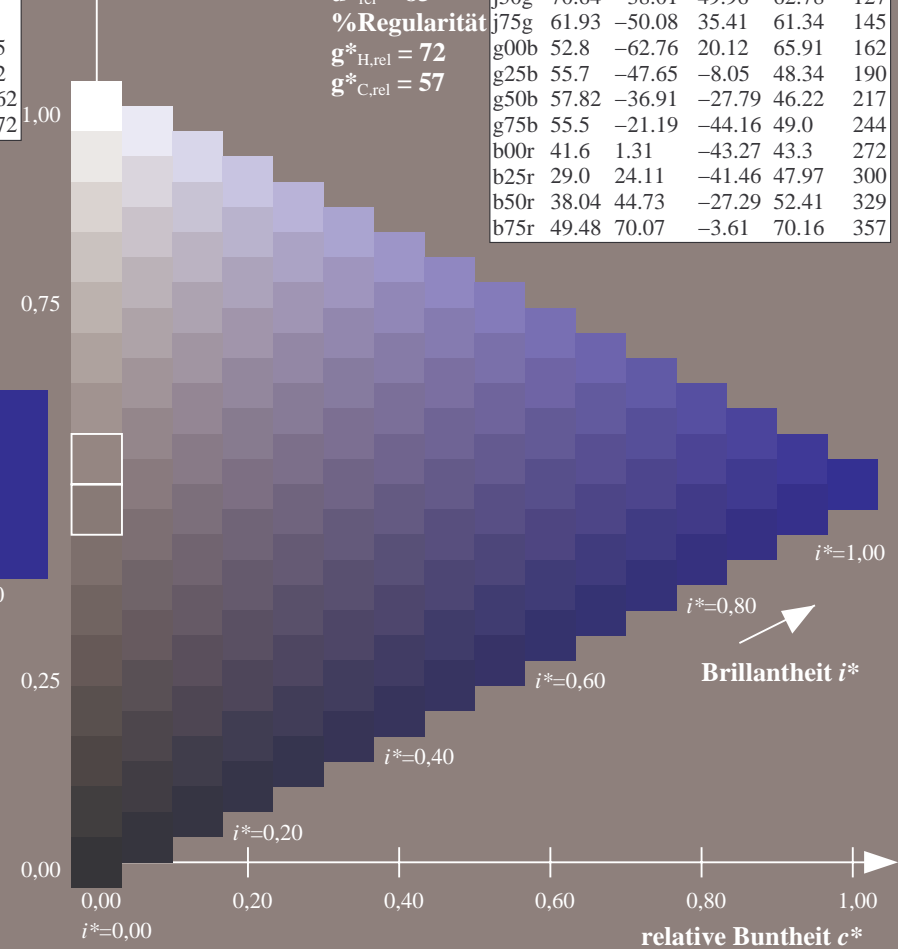
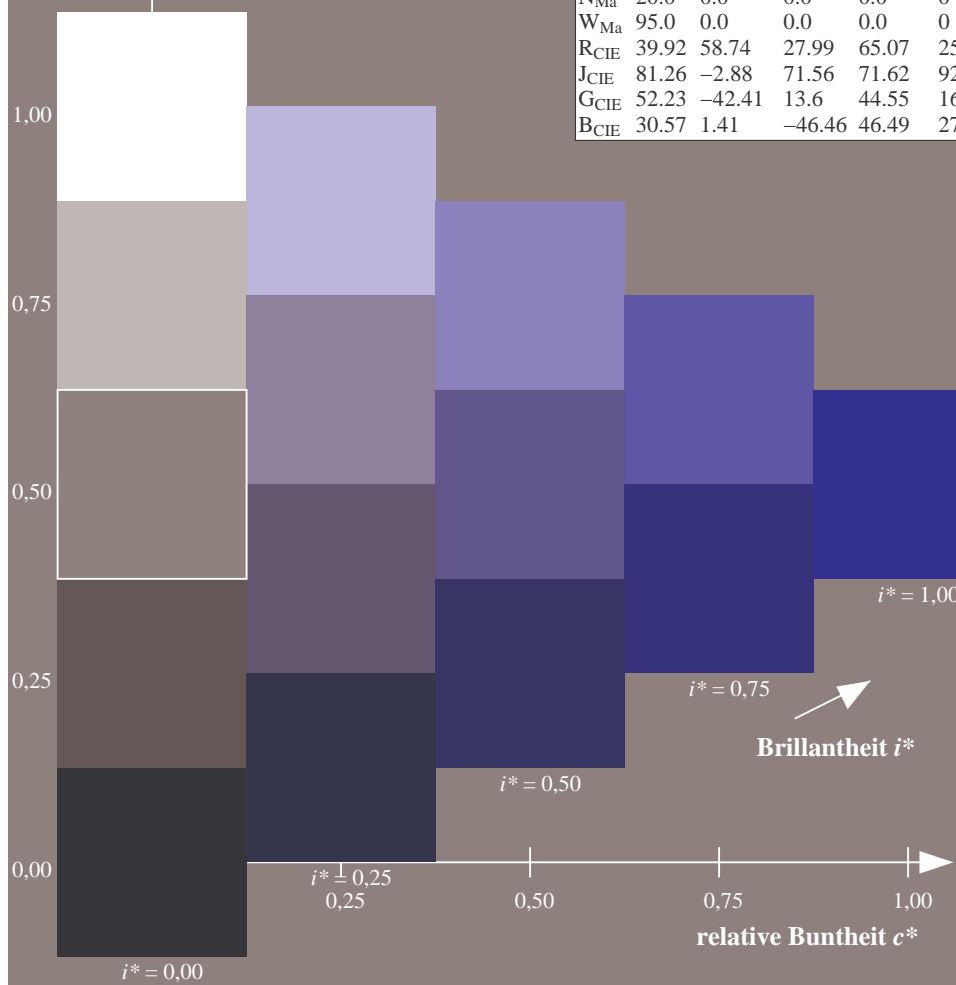
LAB-ELCH-Ma: 29 48 50

*lab\*rgb\*\_Ma: 0.5 0.0 1.0*

*lab\*olv\**<sub>Ma</sub>: 0.03 0.0 1.0

### Dreiecks-Helligkeit $t^*$

ORS20_95a; adaptierte CIELAB-Daten						
	$L^*_{-a}$	$a^*_{-a}$	$b^*_{-a}$	$C^*_{ab,a}$	$h^*_{ab,a}$	
r00j	48.88	63.91	30.45	70.79	25	
r25j	55.85	50.36	45.65	67.97	42	
r50j	65.45	33.86	56.12	65.54	59	
r75j	75.19	17.13	66.73	68.89	76	
j00g	87.03	-3.21	79.64	79.7	92	
j25g	80.72	-24.03	66.82	71.01	110	
j50g	70.64	-38.01	49.96	62.78	127	
j75g	61.93	-50.08	35.41	61.34	145	
g00b	52.8	-62.76	20.12	65.91	162	
g25b	55.7	-47.65	-8.05	48.34	190	
g50b	57.82	-36.91	-27.79	46.22	217	
g75b	55.5	-21.19	-44.16	49.0	244	
b00r	41.6	1.31	-43.27	43.3	272	
b25r	29.0	24.11	-41.46	47.97	300	
b50r	38.04	44.73	-27.29	52.41	329	
b75r	49.48	70.07	-3.61	70.16	357	



Ein und Ausgabe: Farbmetrisches Drucker-Reflektiv-System ORS20\_95a für relativen CIELAB-Buntton  $h^* = lab^*h^* = h_{ab}/360 = 329/360 = 0.913$

Daten für jede Farbe:

$lab^*ch^*$  und  $lab^*icu^*$

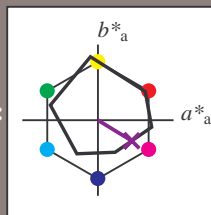
Elementar-Bunttontext:

$u^* = b50r$

Kontrastreduzierungsfaktor:

$c_R = 0.96$

Dreiecks-Helligkeit  $i^*$



ORS20\_95a; adaptierte CIELAB-Daten

	$L^*=L_a^*$	$a_a^*$	$b_a^*$	$C^*_{ab,a}$	$h^*_{ab,a}$
O <sub>Ma</sub>	48.75	62.56	37.91	73.15	31
Y <sub>Ma</sub>	90.92	-9.88	83.88	84.46	97
L <sub>Ma</sub>	52.69	-62.9	19.95	66.0	162
C <sub>Ma</sub>	59.61	-27.85	-44.43	52.45	238
V <sub>Ma</sub>	28.39	22.72	-42.42	48.13	298
M <sub>Ma</sub>	49.58	71.08	-9.19	71.67	353
N <sub>Ma</sub>	20.0	0.0	0.0	0.0	0
W <sub>Ma</sub>	95.0	0.0	0.0	0.0	0
R <sub>CIE</sub>	39.92	58.74	27.99	65.07	25
J <sub>CIE</sub>	81.26	-2.88	71.56	71.62	92
G <sub>CIE</sub>	52.23	-42.41	13.6	44.55	162
B <sub>CIE</sub>	30.57	1.41	-46.46	46.49	272

Daten für Maximalfarbe (Ma):

$LAB^*LAB^*_{Ma}$ : 38 45 -26

$LAB^*LCH^*_{Ma}$ : 38 52 329

$lab^*rgb^*_{Ma}$ : 1.0 0.0 1.0

$lab^*olv^*_{Ma}$ : 0.46 0.0 1.0

Dreiecks-Helligkeit  $i^*$

%Umfang

$u^*_{rel} = 83$

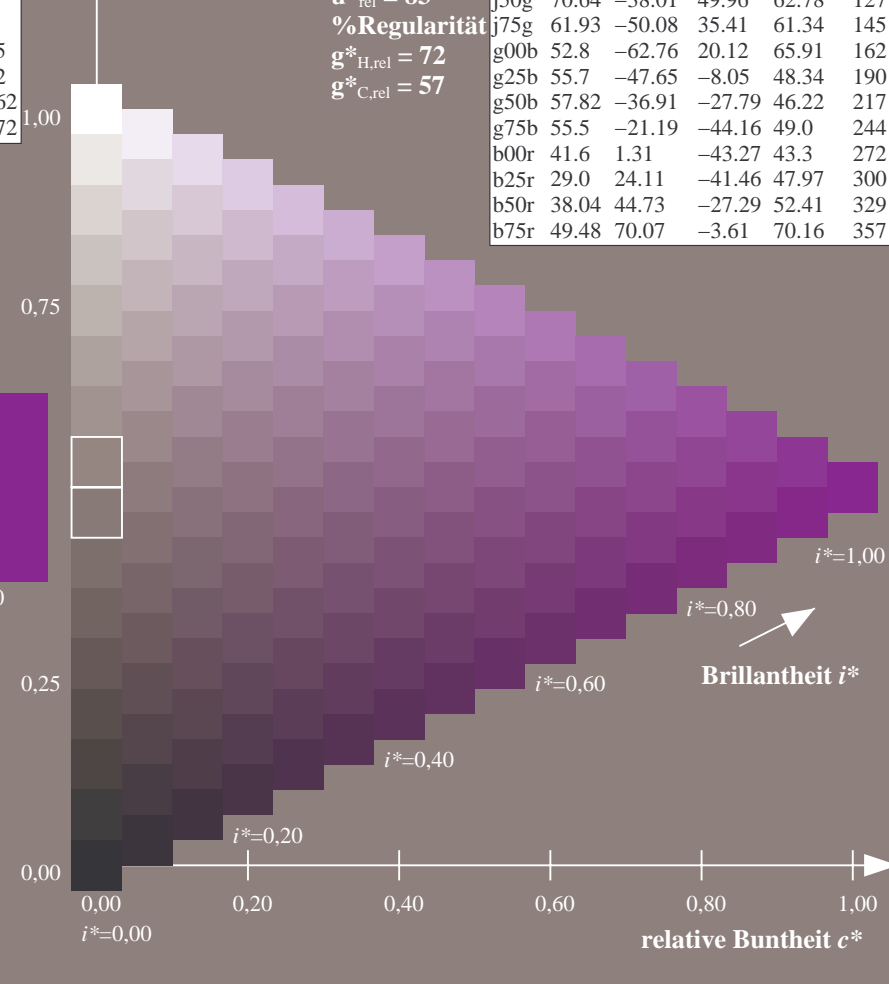
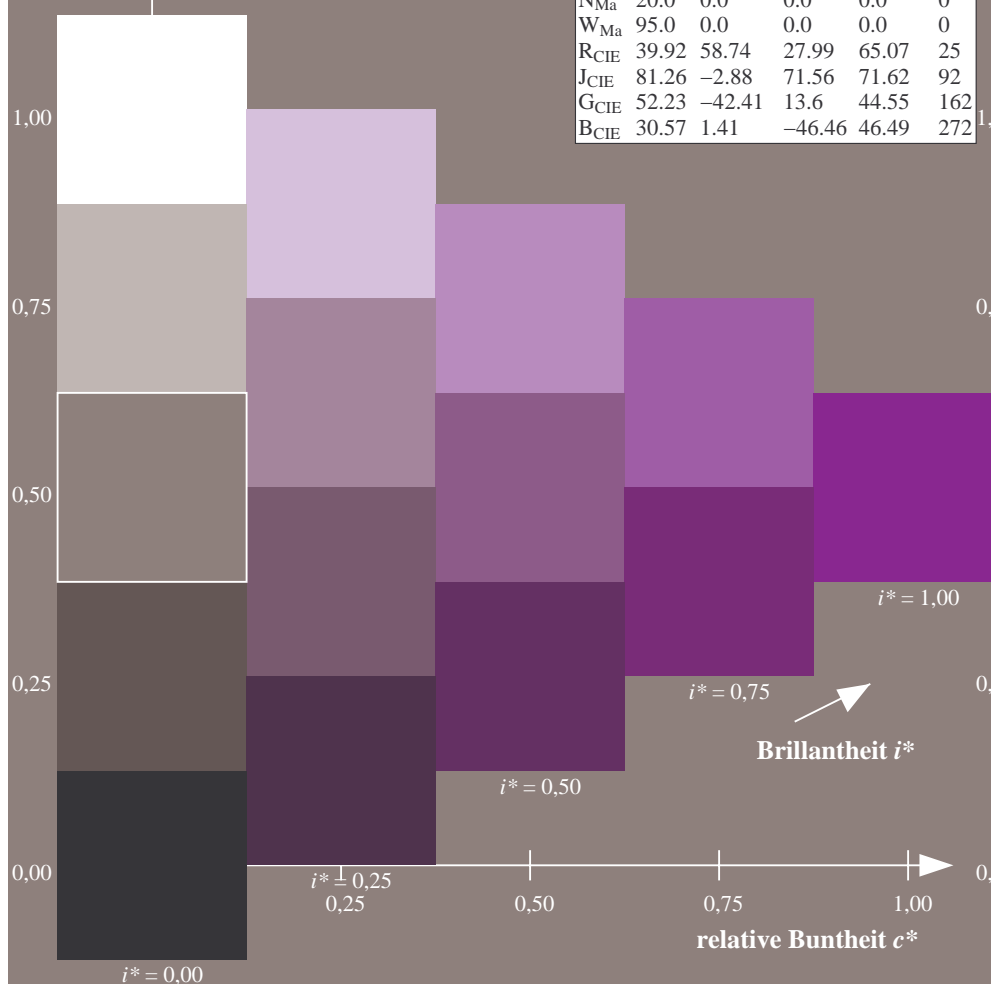
%Regelartigkeit

$g^*_{H,rel} = 72$

$g^*_{C,rel} = 57$

ORS20\_95a; adaptierte CIELAB-Daten

	$L^*=L_a^*$	$a_a^*$	$b_a^*$	$C^*_{ab,a}$	$h^*_{ab,a}$
r00j	48.88	63.91	30.45	70.79	25
r25j	55.85	50.36	45.65	67.97	42
r50j	65.45	33.86	56.12	65.54	59
r75j	75.19	17.13	66.73	68.89	76
j00g	87.03	-3.21	79.64	79.7	92
j25g	80.72	-24.03	66.82	71.01	110
j50g	70.64	-38.01	49.96	62.78	127
j75g	61.93	-50.08	35.41	61.34	145
g00b	52.8	-62.76	20.12	65.91	162
g25b	55.7	-47.65	-8.05	48.34	190
g50b	57.82	-36.91	-27.79	46.22	217
g75b	55.5	-21.19	-44.16	49.0	244
b00r	41.6	1.31	-43.27	43.3	272
b25r	29.0	24.11	-41.46	47.97	300
b50r	38.04	44.73	-27.29	52.41	329
b75r	49.48	70.07	-3.61	70.16	357



Ein und Ausgabe: Farbmatisches Drucker-Reflektiv-System ORS20\_95a für relativen CIELAB-Buntton  $h^* = lab^*h^* = h_{ab}/360 = 357/360 = 0.992$

Daten für jede Farbe:

$lab^*ch^*$  und  $lab^*icu^*$

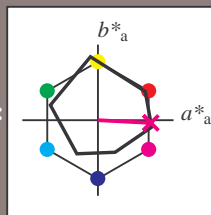
Elementar-Bunttonext:

$u^* = b75r$

Kontrastreduzierungsfaktor:

$c_R = 0.96$

Dreiecks-Helligkeit  $i^*$



ORS20\_95a; adaptierte CIELAB-Daten

	$L^*=L_a^*$	$a_a^*$	$b_a^*$	$C^*_{ab,a}$	$h^*_{ab,a}$
OMa	48.75	62.56	37.91	73.15	31
YMa	90.92	-9.88	83.88	84.46	97
LMa	52.69	-62.9	19.95	66.0	162
CMa	59.61	-27.85	-44.43	52.45	238
VMa	28.39	22.72	-42.42	48.13	298
MMa	49.58	71.08	-9.19	71.67	353
NMa	20.0	0.0	0.0	0.0	0
WMa	95.0	0.0	0.0	0.0	0
RCIE	39.92	58.74	27.99	65.07	25
JCIE	81.26	-2.88	71.56	71.62	92
GCIE	52.23	-42.41	13.6	44.55	162
BCIE	30.57	1.41	-46.46	46.49	272

Daten für Maximalfarbe (Ma):

$LAB^*LAB^*Ma$ : 49 70 -3

$LAB^*LCH^*Ma$ : 49 70 357

$lab^*rgb^*Ma$ : 1.0 0.0 0.5

$lab^*olv^*Ma$ : 1.0 0.0 0.88

Dreiecks-Helligkeit  $i^*$

%Umfang

$u^*_{rel} = 83$

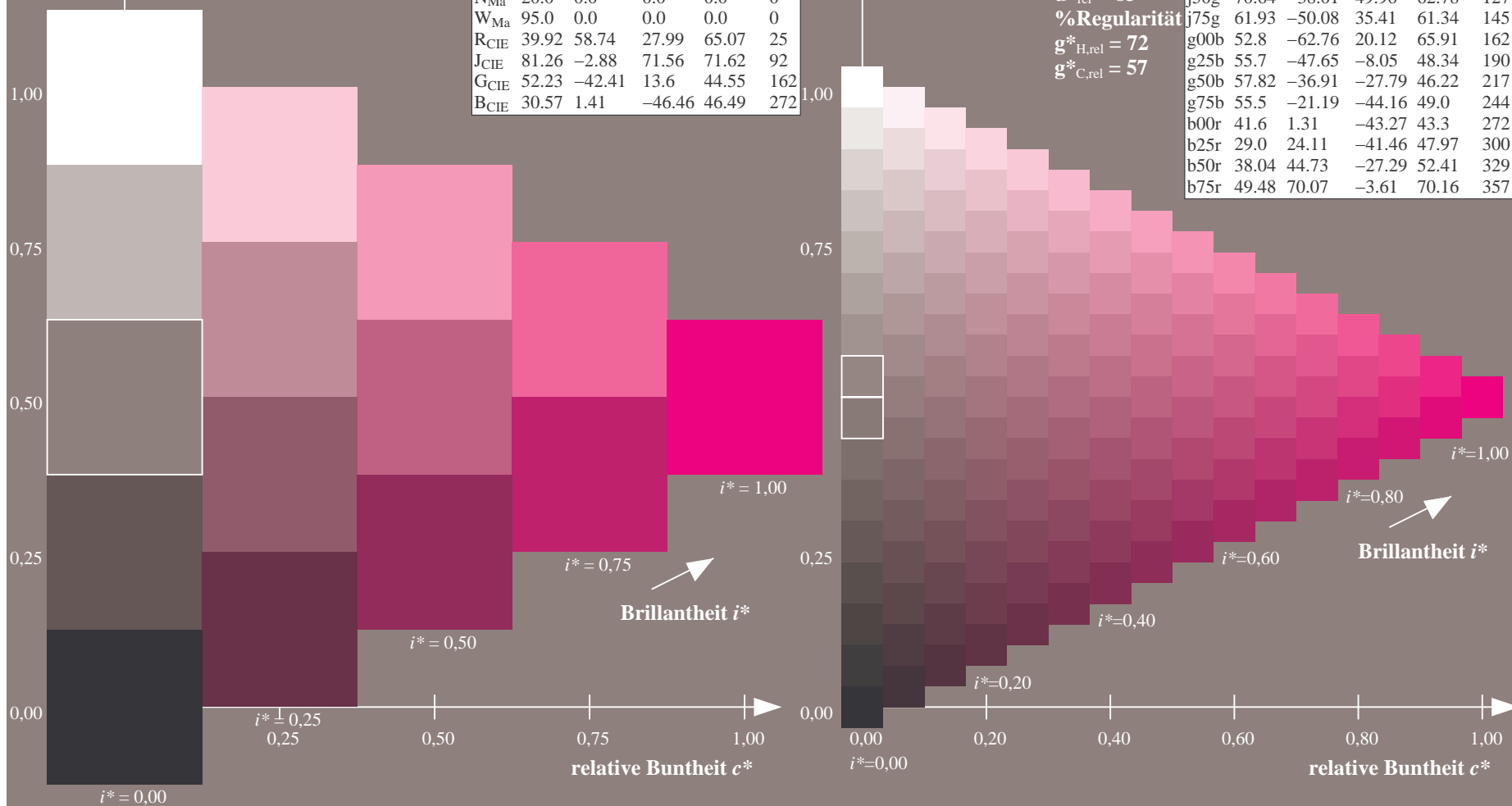
%Regularität

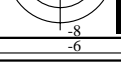
$g^*_{H,rel} = 72$

$g^*_{C,rel} = 57$

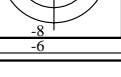
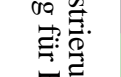
ORS20\_95a; adaptierte CIELAB-Daten

	$L^*=L_a^*$	$a_a^*$	$b_a^*$	$C^*_{ab,a}$	$h^*_{ab,a}$
r00j	48.88	63.91	30.45	70.79	25
r25j	55.85	50.36	45.65	67.97	42
r50j	65.45	33.86	56.12	65.54	59
r75j	75.19	17.13	66.73	68.89	76
j00g	87.03	-3.21	79.64	79.7	92
j25g	80.72	-24.03	66.82	71.01	110
j50g	70.64	-38.01	49.96	62.78	127
j75g	61.93	-50.08	35.41	61.34	145
g00b	52.8	-62.76	20.12	65.91	162
g25b	55.7	-47.65	-8.05	48.34	190
g50b	57.82	-36.91	-27.79	46.22	217
g75b	55.5	-21.19	-44.16	49.0	244
b00r	41.6	1.31	-43.27	43.3	272
b25r	29.0	24.11	-41.46	47.97	300
b50r	38.04	44.73	-27.29	52.41	329
b75r	49.48	70.07	-3.61	70.16	357





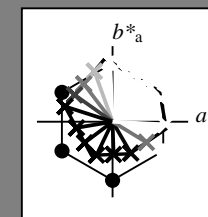
BAM-Prüfvorlage Dg75; Farbmatrik-Systeme, Seite 36/90      Eingabe: 000n / w / nnn0 / www set...  
 Farbzeilen und 3 Separationen für 16 Bunttöne r00j bis b75r      Ausgabe: ->cmyn5\* setcmykcolor



BAM-Registrierung: 20080701-Dg75/10L/L75G00NA.PS/ TXTBAM-Material: Code=rh4ta  
- Anwendung für Beurteilung und Messung von Drucker- oder Monitorsystemen

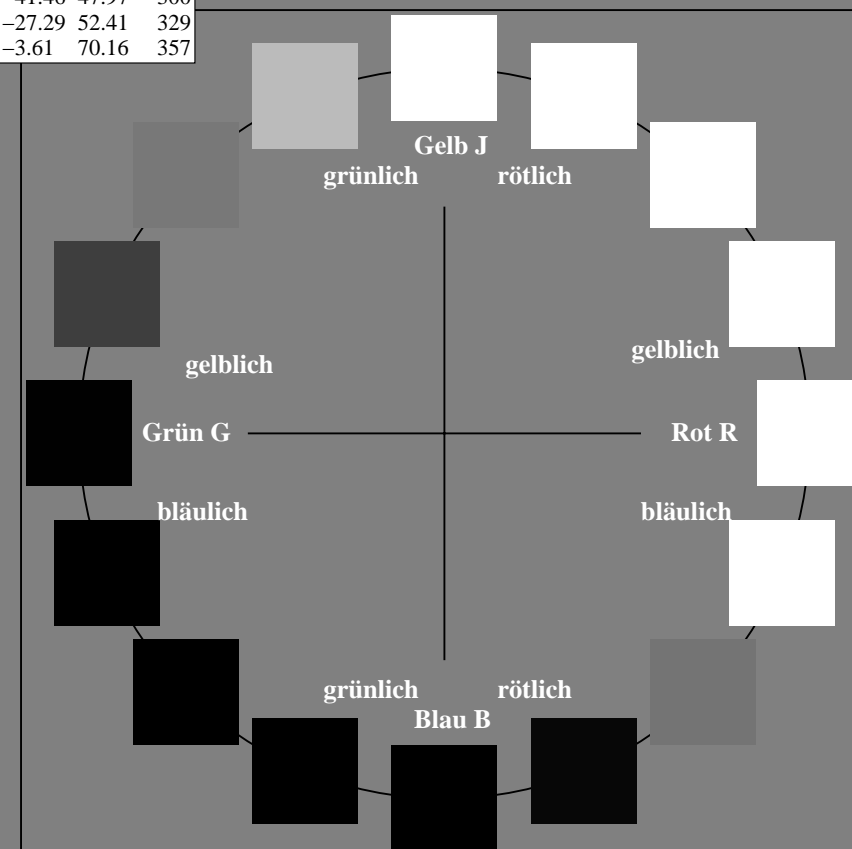
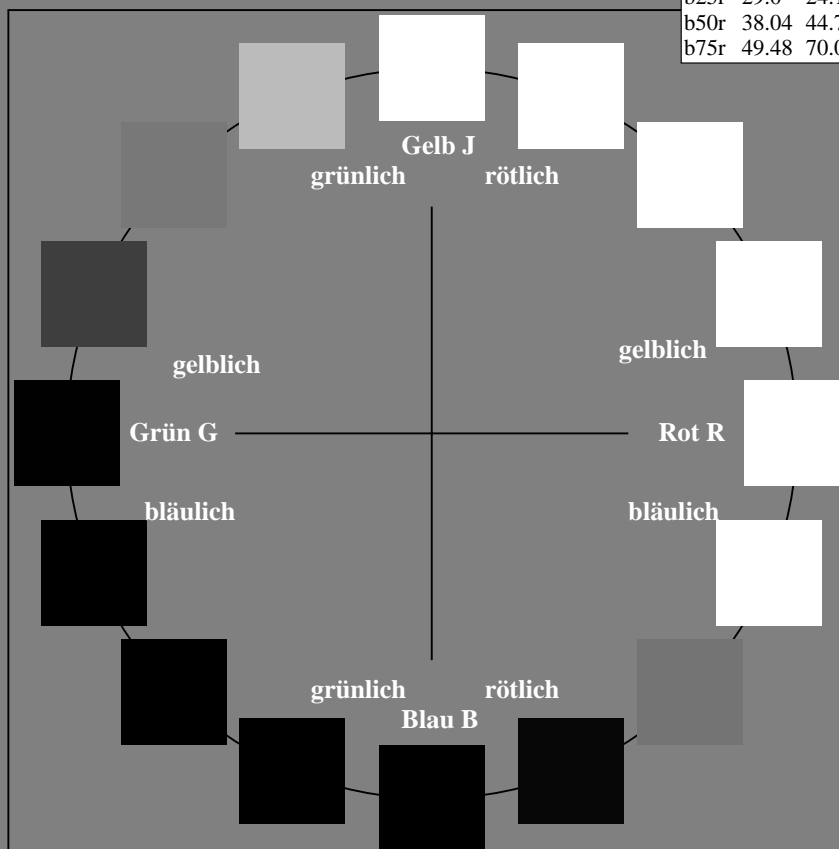
Ein und Ausgabe:  
Farbmetrisches Drucker-Reflektiv-System ORS20\_95a  
Daten für jede Farbe:  
*lab\*<sub>rch</sub>*\* und *lab\*<sub>icu</sub>*\*  
Elementar-Bunttontext:  
*u\** = 16 Buntttöne *r00j*, *r25j*, ..., *b75r*  
Kontrastreduzierungsfaktor:  
*c<sub>R</sub>* = 0.96

ORS20_95a; adaptierte CIELAB-Daten					
	<i>L*</i> = <i>L*</i> <sub>a</sub>	<i>a*</i> <sub>a</sub>	<i>b*</i> <sub>a</sub>	<i>C*</i> <sub>ab,a</sub>	<i>h*</i> <sub>ab,a</sub>
r00j	48.88	63.91	30.45	70.79	25
r25j	55.85	50.36	45.65	67.97	42
r50j	65.45	33.86	56.12	65.54	59
r75j	75.19	17.13	66.73	68.89	76
j00g	87.03	-3.21	79.64	79.7	92
j25g	80.72	-24.03	66.82	71.01	110
j50g	70.64	-38.01	49.96	62.78	127
j75g	61.93	-50.08	35.41	61.34	145
g00b	52.8	-62.76	20.12	65.91	162
g25b	55.7	-47.65	-8.05	48.34	190
g50b	57.82	-36.91	-27.79	46.22	217
g75b	55.5	-21.19	-44.16	49.0	244
b00r	41.6	1.31	-43.27	43.3	272
b25r	29.0	24.11	-41.46	47.97	300
b50r	38.04	44.73	-27.29	52.41	329
b75r	49.48	70.07	-3.61	70.16	357



%Umfang  
*u\**<sub>rel</sub> = 83  
%Regularität  
*g\**<sub>H,rel</sub> = 72  
*g\**<sub>C,rel</sub> = 57

ORS20_95a; adaptierte CIELAB-Daten					
	<i>L*</i> = <i>L*</i> <sub>a</sub>	<i>a*</i> <sub>a</sub>	<i>b*</i> <sub>a</sub>	<i>C*</i> <sub>ab,a</sub>	<i>h*</i> <sub>ab,a</sub>
O <sub>Ma</sub>	48.75	62.56	37.91	73.15	31
Y <sub>Ma</sub>	90.92	-9.88	83.88	84.46	97
L <sub>Ma</sub>	52.69	-62.9	19.95	66.0	162
C <sub>Ma</sub>	59.61	-27.85	-44.43	52.45	238
V <sub>Ma</sub>	28.39	22.72	-42.42	48.13	298
M <sub>Ma</sub>	49.58	71.08	-9.19	71.67	353
N <sub>Ma</sub>	20.0	0.0	0.0	0.0	0
W <sub>Ma</sub>	95.0	0.0	0.0	0.0	0
R <sub>CIE</sub>	39.92	58.74	27.99	65.07	25
J <sub>CIE</sub>	81.26	-2.88	71.56	71.62	92
G <sub>CIE</sub>	52.23	-42.41	13.6	44.55	162
B <sub>CIE</sub>	30.57	1.41	-46.46	46.49	272



Ein und Ausgabe: Farbmetrisches Drucker-Reflektiv-System ORS20\_95a für relativen CIELAB-Buntton  $h^* = lab^*h^* = h_{ab}/360 = 25/360 = 0.071$

Daten für jede Farbe:

$lab^*ch^*$  und  $lab^*icu^*$

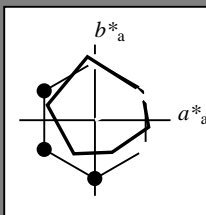
Elementar-Bunttonext:

$u^* = r00j$

Kontrastreduzierungsfaktor:

$c_R = 0.96$

Dreiecks-Helligkeit  $i^*$



ORS20\_95a; adaptierte CIELAB-Daten

	$L^*=L^*_a$	$a^*_a$	$b^*_a$	$C^*_{ab,a}$	$h^*_{ab,a}$
O <sub>Ma</sub>	48.75	62.56	37.91	73.15	31
Y <sub>Ma</sub>	90.92	-9.88	83.88	84.46	97
L <sub>Ma</sub>	52.69	-62.9	19.95	66.0	162
C <sub>Ma</sub>	59.61	-27.85	-44.43	52.45	238
V <sub>Ma</sub>	28.39	22.72	-42.42	48.13	298
M <sub>Ma</sub>	49.58	71.08	-9.19	71.67	353
N <sub>Ma</sub>	20.0	0.0	0.0	0.0	0
W <sub>Ma</sub>	95.0	0.0	0.0	0.0	0
R <sub>CIE</sub>	39.92	58.74	27.99	65.07	25
J <sub>CIE</sub>	81.26	-2.88	71.56	71.62	92
G <sub>CIE</sub>	52.23	-42.41	13.6	44.55	162
B <sub>CIE</sub>	30.57	1.41	-46.46	46.49	272

Daten für Maximalfarbe (Ma):

$LAB^*LAB^*_{Ma}$ : 49 64 30

$LAB^*LCH^*_{Ma}$ : 49 71 25

$lab^*rgb^*_{Ma}$ : 1.0 0.0 0.0

$lab^*olv^*_{Ma}$ : 1.0 0.0 0.16

Dreiecks-Helligkeit  $i^*$

%Umfang

$u^*_{rel} = 83$

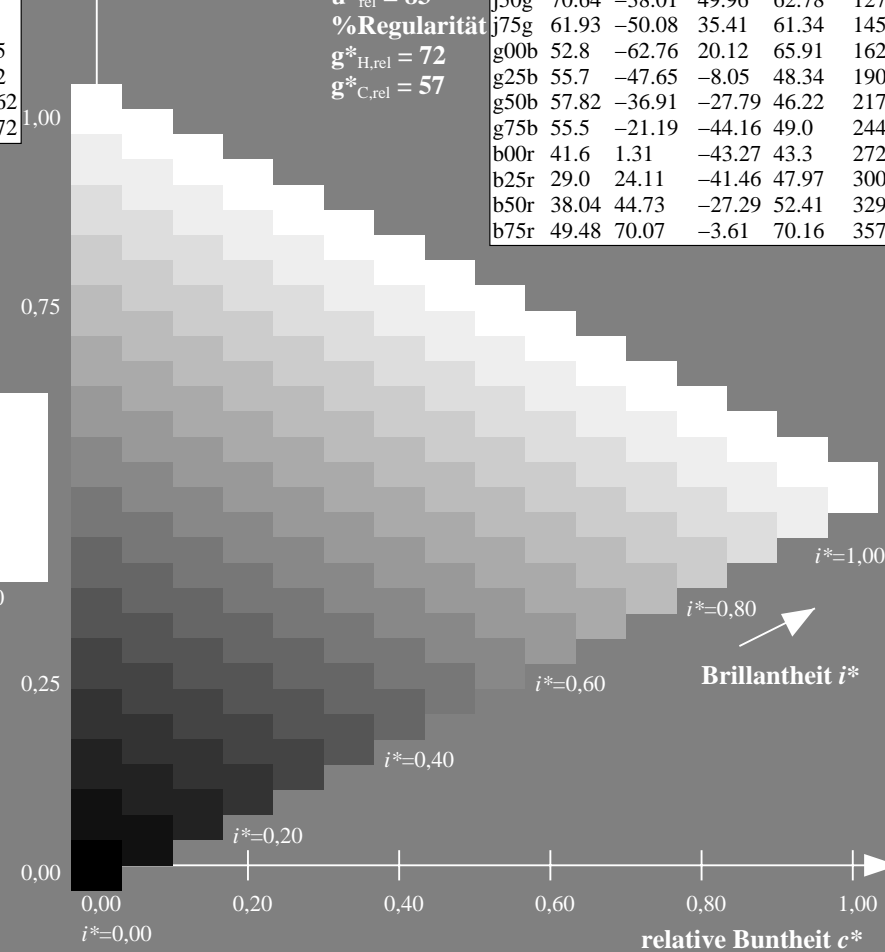
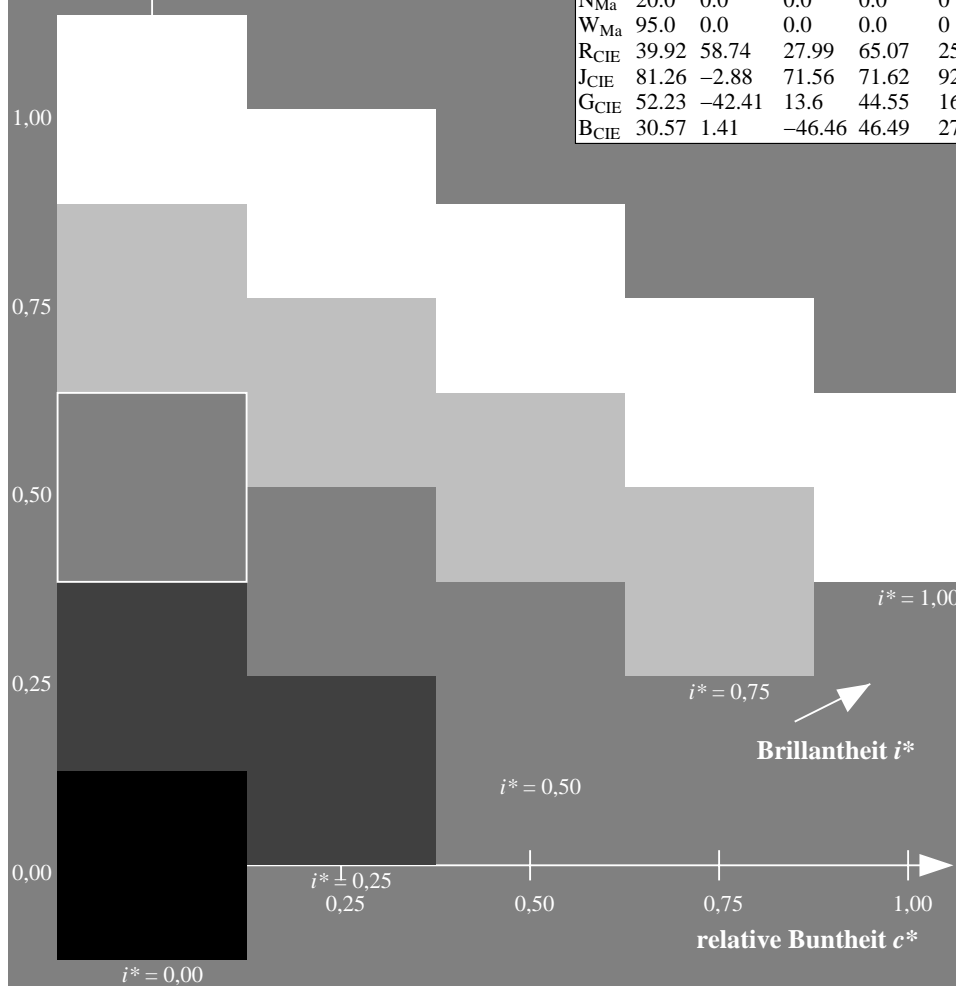
%Regularität

$g^*_{H,rel} = 72$

$g^*_{C,rel} = 57$

ORS20\_95a; adaptierte CIELAB-Daten

	$L^*=L^*_a$	$a^*_a$	$b^*_a$	$C^*_{ab,a}$	$h^*_{ab,a}$
r00j	48.88	63.91	30.45	70.79	25
r25j	55.85	50.36	45.65	67.97	42
r50j	65.45	33.86	56.12	65.54	59
r75j	75.19	17.13	66.73	68.89	76
j00g	87.03	-3.21	79.64	79.7	92
j25g	80.72	-24.03	66.82	71.01	110
j50g	70.64	-38.01	49.96	62.78	127
j75g	61.93	-50.08	35.41	61.34	145
g00b	52.8	-62.76	20.12	65.91	162
g25b	55.7	-47.65	-8.05	48.34	190
g50b	57.82	-36.91	-27.79	46.22	217
g75b	55.5	-21.19	-44.16	49.0	244
b00r	41.6	1.31	-43.27	43.3	272
b25r	29.0	24.11	-41.46	47.97	300
b50r	38.04	44.73	-27.29	52.41	329
b75r	49.48	70.07	-3.61	70.16	357





Ein und Ausgabe: Farbmetrisches Drucker-Reflektiv-System ORS20\_95a für relativen CIELAB-Buntton  $h^* = lab^*h^* = h_{ab}/360 = 42/360 = 0.117$

Daten für jede Farbe:

$lab^*ch^*$  und  $lab^*icu^*$

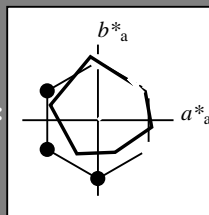
Elementar-Bunttonext:

$u^* = r25j$

Kontrastreduzierungsfaktor:

$c_R = 0.96$

Dreiecks-Helligkeit  $i^*$



ORS20_95a; adaptierte CIELAB-Daten					
	$L^*=L^*_a$	$a^*_a$	$b^*_a$	$C^*_{ab,a}$	$h^*_{ab,a}$
O <sub>Ma</sub>	48.75	62.56	37.91	73.15	31
Y <sub>Ma</sub>	90.92	-9.88	83.88	84.46	97
L <sub>Ma</sub>	52.69	-62.9	19.95	66.0	162
C <sub>Ma</sub>	59.61	-27.85	-44.43	52.45	238
V <sub>Ma</sub>	28.39	22.72	-42.42	48.13	298
M <sub>Ma</sub>	49.58	71.08	-9.19	71.67	353
N <sub>Ma</sub>	20.0	0.0	0.0	0.0	0
W <sub>Ma</sub>	95.0	0.0	0.0	0.0	0
R <sub>CIE</sub>	39.92	58.74	27.99	65.07	25
J <sub>CIE</sub>	81.26	-2.88	71.56	71.62	92
G <sub>CIE</sub>	52.23	-42.41	13.6	44.55	162
B <sub>CIE</sub>	30.57	1.41	-46.46	46.49	272

Daten für Maximalfarbe (Ma):

$LAB^*LAB^*_{Ma}$ : 56 50 46

$LAB^*LCH^*_{Ma}$ : 56 68 42

$lab^*rgb^*_{Ma}$ : 1.0 0.25 0.0

$lab^*olv^*_{Ma}$ : 1.0 0.17 0.0

Dreiecks-Helligkeit  $i^*$

%Umfang

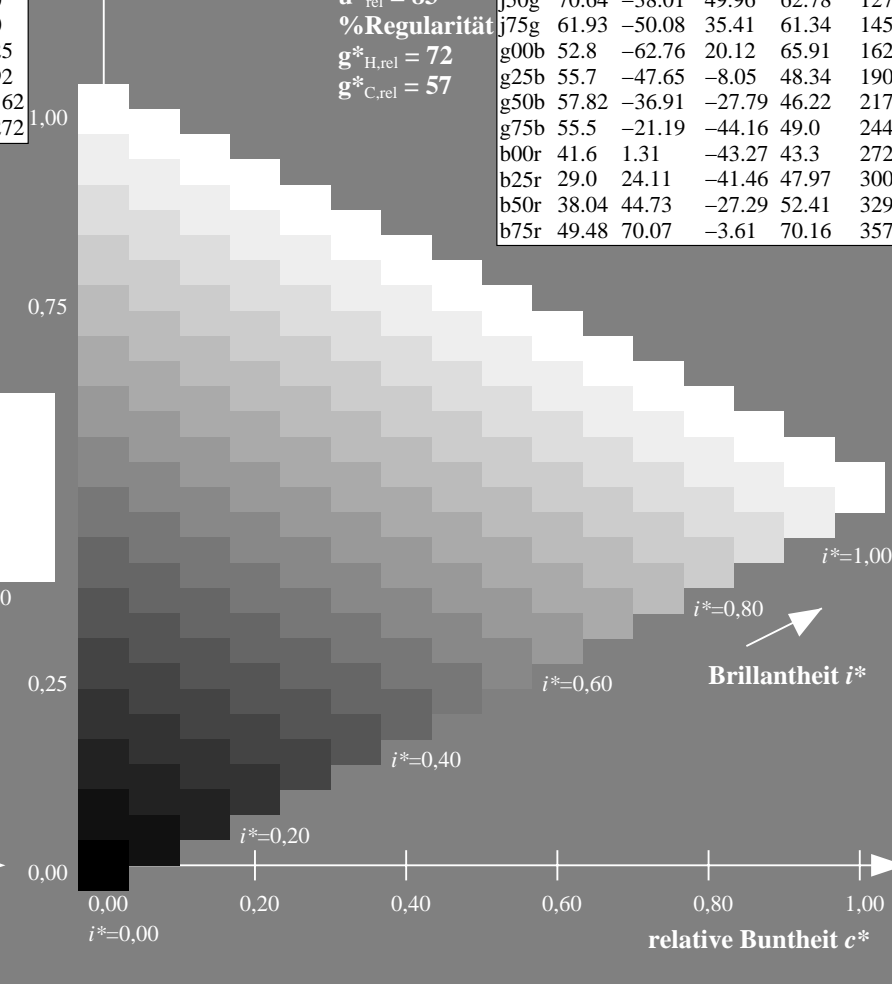
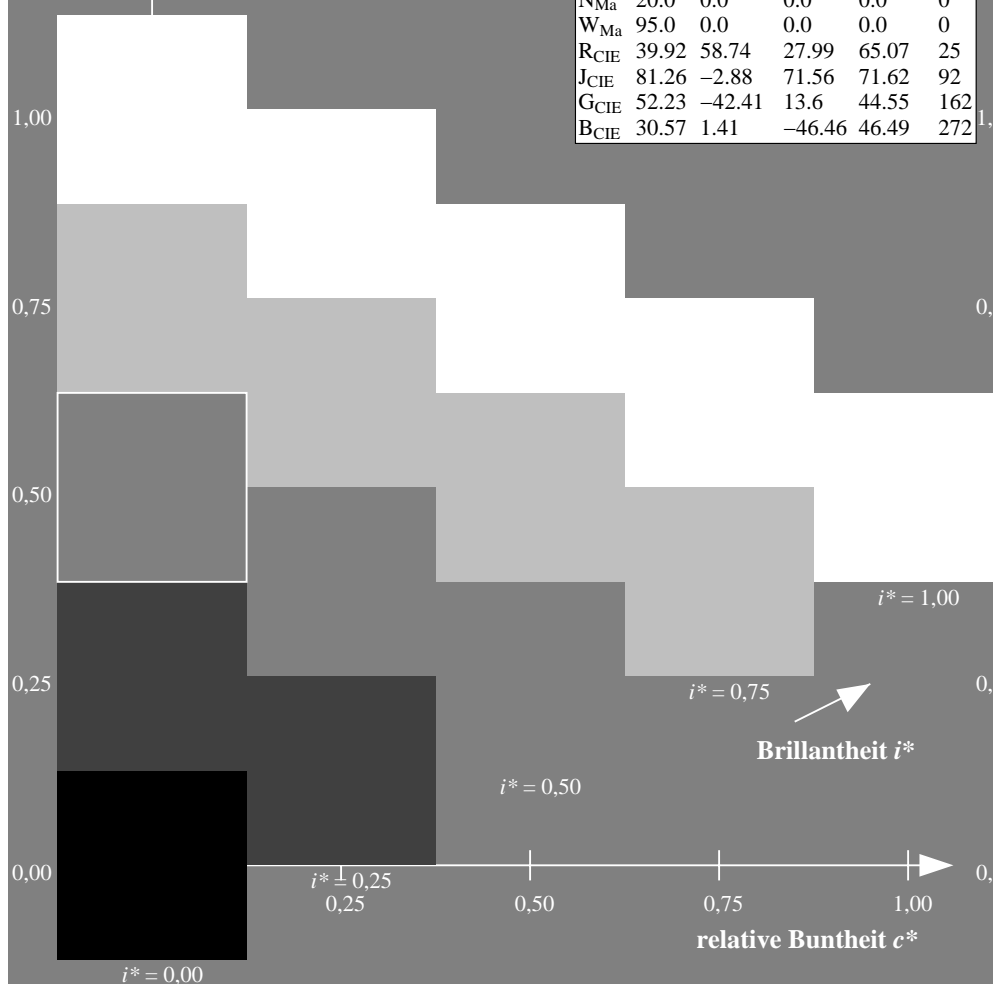
$u^*_{rel} = 83$

%Regularität

$g^*_{H,rel} = 72$

$g^*_{C,rel} = 57$

ORS20_95a; adaptierte CIELAB-Daten					
	$L^*=L^*_a$	$a^*_a$	$b^*_a$	$C^*_{ab,a}$	$h^*_{ab,a}$
r00j	48.88	63.91	30.45	70.79	25
r25j	55.85	50.36	45.65	67.97	42
r50j	65.45	33.86	56.12	65.54	59
r75j	75.19	17.13	66.73	68.89	76
j00g	87.03	-3.21	79.64	79.7	92
j25g	80.72	-24.03	66.82	71.01	110
j50g	70.64	-38.01	49.96	62.78	127
j75g	61.93	-50.08	35.41	61.34	145
g00b	52.8	-62.76	20.12	65.91	162
g25b	55.7	-47.65	-8.05	48.34	190
g50b	57.82	-36.91	-27.79	46.22	217
g75b	55.5	-21.19	-44.16	49.0	244
b00r	41.6	1.31	-43.27	43.3	272
b25r	29.0	24.11	-41.46	47.97	300
b50r	38.04	44.73	-27.29	52.41	329
b75r	49.48	70.07	-3.61	70.16	357



Ein und Ausgabe: Farbmetrisches Drucker-Reflektiv-System ORS20\_95a für relativen CIELAB-Buntton  $h^* = lab^*h^* = h_{ab}/360 = 59/360 = 0.164$

Daten für jede Farbe:

$lab^*ch^*$  und  $lab^*icu^*$

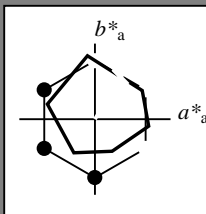
Elementar-Bunttonext:

$u^* = r50j$

Kontrastreduzierungsfaktor:

$c_R = 0.96$

Dreiecks-Helligkeit  $i^*$



ORS20\_95a; adaptierte CIELAB-Daten

	$L^*=L^*_a$	$a^*_a$	$b^*_a$	$C^*_{ab,a}$	$h^*_{ab,a}$
O <sub>Ma</sub>	48.75	62.56	37.91	73.15	31
Y <sub>Ma</sub>	90.92	-9.88	83.88	84.46	97
L <sub>Ma</sub>	52.69	-62.9	19.95	66.0	162
C <sub>Ma</sub>	59.61	-27.85	-44.43	52.45	238
V <sub>Ma</sub>	28.39	22.72	-42.42	48.13	298
M <sub>Ma</sub>	49.58	71.08	-9.19	71.67	353
N <sub>Ma</sub>	20.0	0.0	0.0	0.0	0
W <sub>Ma</sub>	95.0	0.0	0.0	0.0	0
R <sub>CIE</sub>	39.92	58.74	27.99	65.07	25
J <sub>CIE</sub>	81.26	-2.88	71.56	71.62	92
G <sub>CIE</sub>	52.23	-42.41	13.6	44.55	162
B <sub>CIE</sub>	30.57	1.41	-46.46	46.49	272

Daten für Maximalfarbe (Ma):

$LAB^*LAB^*_{Ma}$ : 65 34 56

$LAB^*LCH^*_{Ma}$ : 65 66 59

$lab^*rgb^*_{Ma}$ : 1.0 0.5 0.0

$lab^*olv^*_{Ma}$ : 1.0 0.4 0.0

Dreiecks-Helligkeit  $i^*$

%Umfang

$u^*_{rel} = 83$

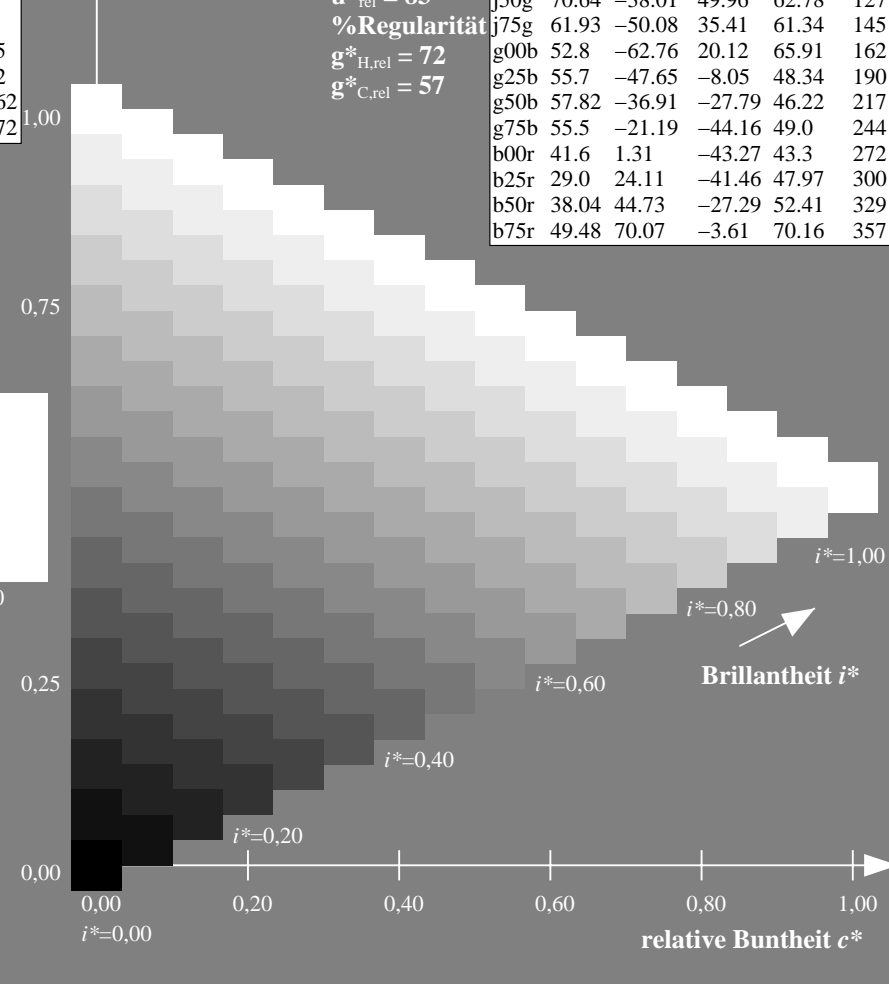
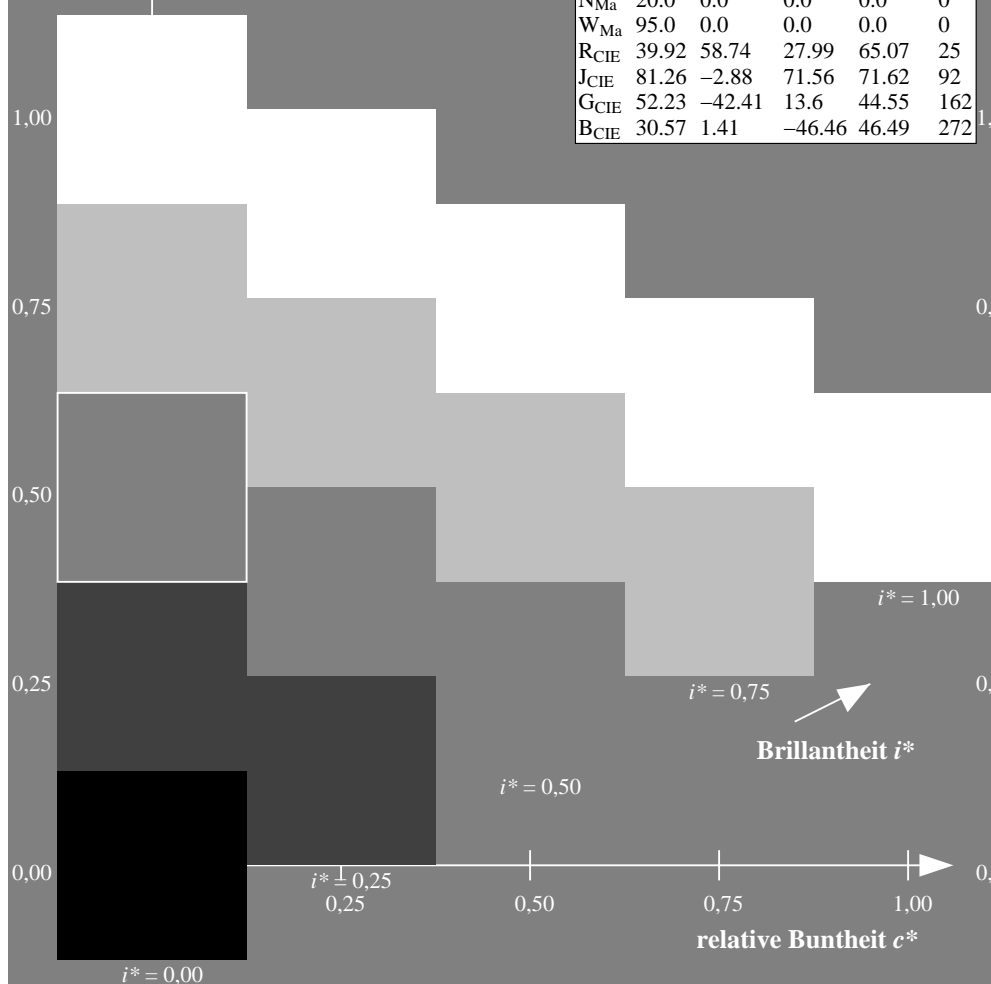
%Regularität

$g^*_{H,rel} = 72$

$g^*_{C,rel} = 57$

ORS20\_95a; adaptierte CIELAB-Daten

	$L^*=L^*_a$	$a^*_a$	$b^*_a$	$C^*_{ab,a}$	$h^*_{ab,a}$
r00j	48.88	63.91	30.45	70.79	25
r25j	55.85	50.36	45.65	67.97	42
r50j	65.45	33.86	56.12	65.54	59
r75j	75.19	17.13	66.73	68.89	76
j00g	87.03	-3.21	79.64	79.7	92
j25g	80.72	-24.03	66.82	71.01	110
j50g	70.64	-38.01	49.96	62.78	127
j75g	61.93	-50.08	35.41	61.34	145
g00b	52.8	-62.76	20.12	65.91	162
g25b	55.7	-47.65	-8.05	48.34	190
g50b	57.82	-36.91	-27.79	46.22	217
g75b	55.5	-21.19	-44.16	49.0	244
b00r	41.6	1.31	-43.27	43.3	272
b25r	29.0	24.11	-41.46	47.97	300
b50r	38.04	44.73	-27.29	52.41	329
b75r	49.48	70.07	-3.61	70.16	357



Ein und Ausgabe: Farbmetrisches Drucker-Reflektiv-System ORS20\_95a für relativen CIELAB-Buntton  $h^* = lab^*h^* = h_{ab}/360 = 76/360 = 0.21$

Daten für jede Farbe:

$lab^*ch^*$  und  $lab^*icu^*$

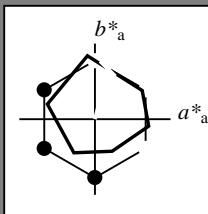
Elementar-Bunttonext:

$u^* = r75j$

Kontrastreduzierungsfaktor:

$c_R = 0.96$

Dreiecks-Helligkeit  $i^*$



ORS20\_95a; adaptierte CIELAB-Daten

	$L^*=L^*_a$	$a^*_a$	$b^*_a$	$C^*_{ab,a}$	$h^*_{ab,a}$
O <sub>Ma</sub>	48.75	62.56	37.91	73.15	31
Y <sub>Ma</sub>	90.92	-9.88	83.88	84.46	97
L <sub>Ma</sub>	52.69	-62.9	19.95	66.0	162
C <sub>Ma</sub>	59.61	-27.85	-44.43	52.45	238
V <sub>Ma</sub>	28.39	22.72	-42.42	48.13	298
M <sub>Ma</sub>	49.58	71.08	-9.19	71.67	353
N <sub>Ma</sub>	20.0	0.0	0.0	0.0	0
W <sub>Ma</sub>	95.0	0.0	0.0	0.0	0
R <sub>CIE</sub>	39.92	58.74	27.99	65.07	25
J <sub>CIE</sub>	81.26	-2.88	71.56	71.62	92
G <sub>CIE</sub>	52.23	-42.41	13.6	44.55	162
B <sub>CIE</sub>	30.57	1.41	-46.46	46.49	272

Daten für Maximalfarbe (Ma):

$LAB^*LAB^*_{Ma}$ : 75 17 67

$LAB^*LCH^*_{Ma}$ : 75 69 76

$lab^*rgb^*_{Ma}$ : 1.0 0.75 0.0

$lab^*olv^*_{Ma}$ : 1.0 0.63 0.0

Dreiecks-Helligkeit  $i^*$

%Umfang

$u^*_{rel} = 83$

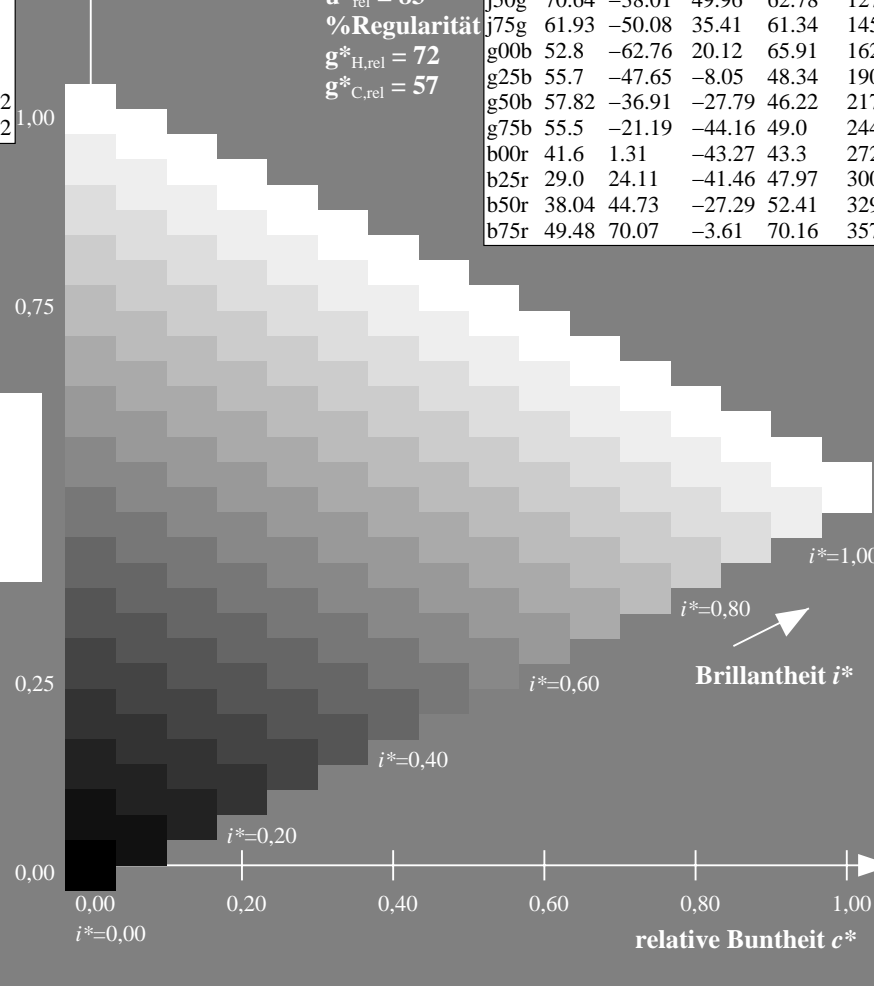
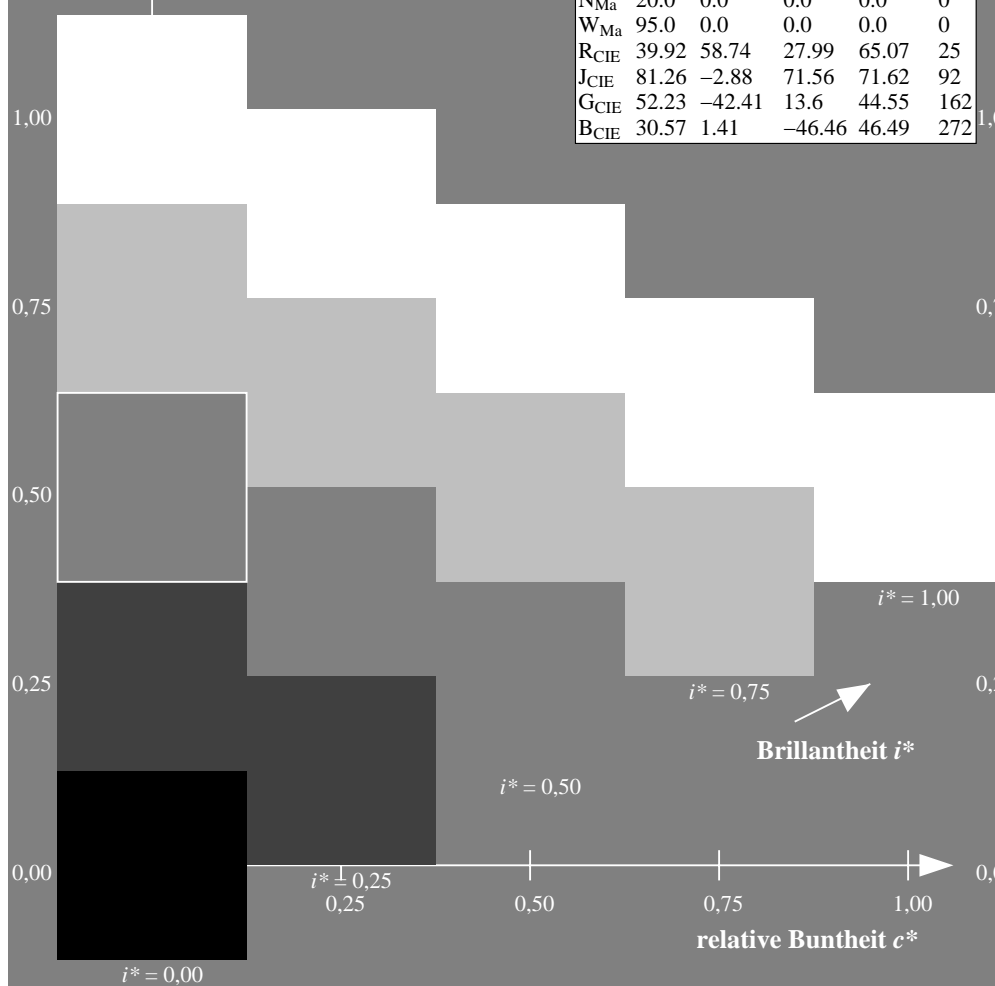
%Regularität

$g^*_{H,rel} = 72$

$g^*_{C,rel} = 57$

ORS20\_95a; adaptierte CIELAB-Daten

	$L^*=L^*_a$	$a^*_a$	$b^*_a$	$C^*_{ab,a}$	$h^*_{ab,a}$
r00j	48.88	63.91	30.45	70.79	25
r25j	55.85	50.36	45.65	67.97	42
r50j	65.45	33.86	56.12	65.54	59
r75j	75.19	17.13	66.73	68.89	76
j00g	87.03	-3.21	79.64	79.7	92
j25g	80.72	-24.03	66.82	71.01	110
j50g	70.64	-38.01	49.96	62.78	127
j75g	61.93	-50.08	35.41	61.34	145
g00b	52.8	-62.76	20.12	65.91	162
g25b	55.7	-47.65	-8.05	48.34	190
g50b	57.82	-36.91	-27.79	46.22	217
g75b	55.5	-21.19	-44.16	49.0	244
b00r	41.6	1.31	-43.27	43.3	272
b25r	29.0	24.11	-41.46	47.97	300
b50r	38.04	44.73	-27.29	52.41	329
b75r	49.48	70.07	-3.61	70.16	357



Ein und Ausgabe: Farbmetrisches Drucker-Reflektiv-System ORS20\_95a für relativen CIELAB-Buntton  $h^* = lab^*h^* = h_{ab}/360 = 92/360 = 0.256$

Daten für jede Farbe:

$lab^*ch^*$  und  $lab^*icu^*$

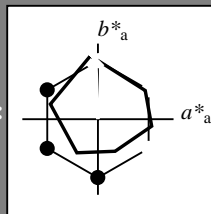
Elementar-Bunttonext:

$u^* = j00g$

Kontrastreduzierungsfaktor:

$c_R = 0.96$

Dreiecks-Helligkeit  $i^*$



ORS20\_95a; adaptierte CIELAB-Daten

	$L^*=L_a^*$	$a_a^*$	$b_a^*$	$C_{ab,a}^*$	$h_{ab,a}^*$
O <sub>Ma</sub>	48.75	62.56	37.91	73.15	31
Y <sub>Ma</sub>	90.92	-9.88	83.88	84.46	97
L <sub>Ma</sub>	52.69	-62.9	19.95	66.0	162
C <sub>Ma</sub>	59.61	-27.85	-44.43	52.45	238
V <sub>Ma</sub>	28.39	22.72	-42.42	48.13	298
M <sub>Ma</sub>	49.58	71.08	-9.19	71.67	353
N <sub>Ma</sub>	20.0	0.0	0.0	0.0	0
W <sub>Ma</sub>	95.0	0.0	0.0	0.0	0
R <sub>CIE</sub>	39.92	58.74	27.99	65.07	25
J <sub>CIE</sub>	81.26	-2.88	71.56	71.62	92
G <sub>CIE</sub>	52.23	-42.41	13.6	44.55	162
B <sub>CIE</sub>	30.57	1.41	-46.46	46.49	272

Daten für Maximalfarbe (Ma):

$LAB^*LAB^*_{Ma}$ : 87 -2 80

$LAB^*LCH^*_{Ma}$ : 87 80 92

$lab^*rgb^*_{Ma}$ : 1.0 1.0 0.0

$lab^*olv^*_{Ma}$ : 1.0 0.91 0.0

Dreiecks-Helligkeit  $i^*$

%Umfang

$u^*_{rel} = 83$

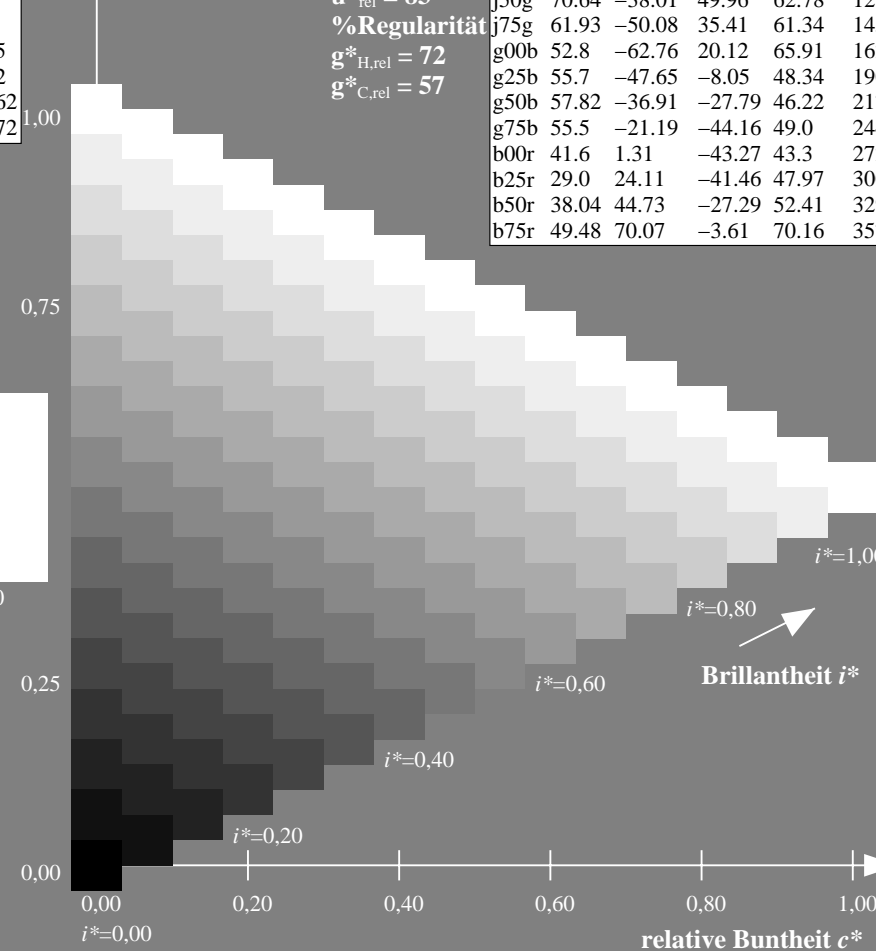
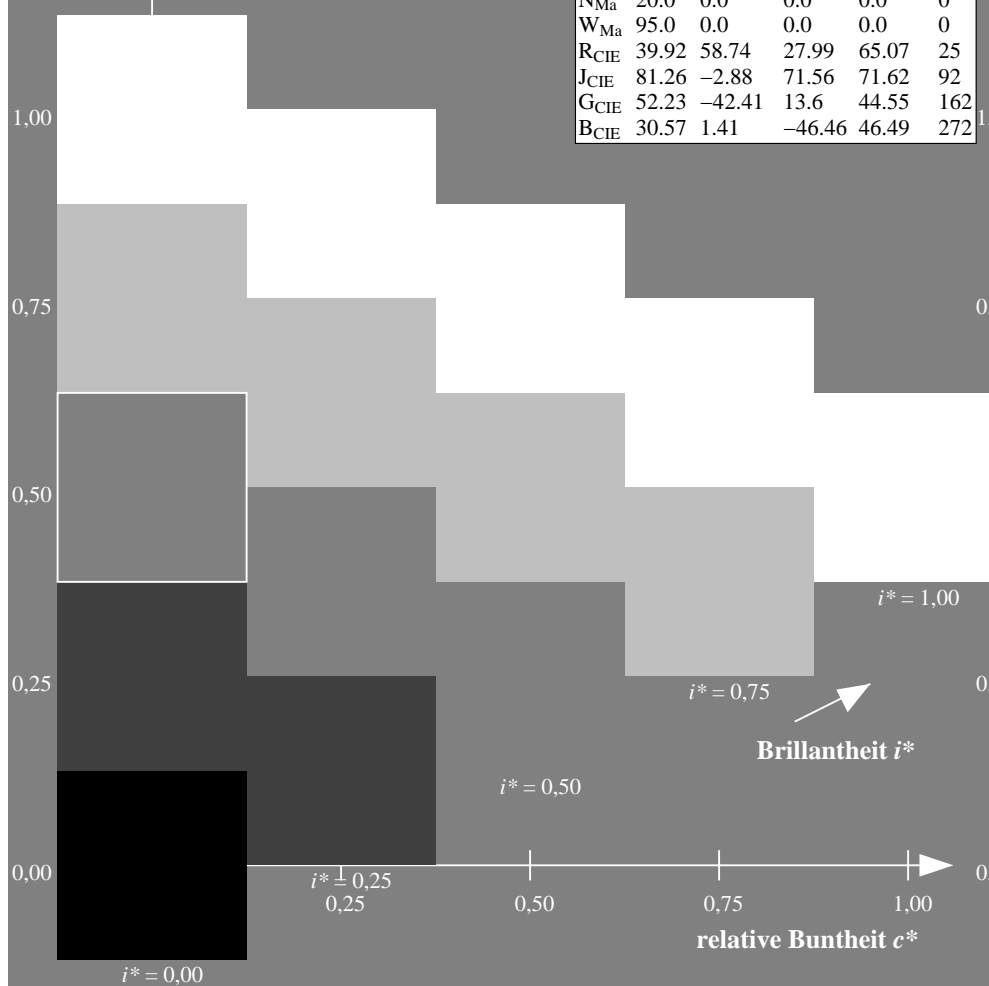
%Regularität

$g^*_{H,rel} = 72$

$g^*_{C,rel} = 57$

ORS20\_95a; adaptierte CIELAB-Daten

	$L^*=L_a^*$	$a_a^*$	$b_a^*$	$C_{ab,a}^*$	$h_{ab,a}^*$
r00j	48.88	63.91	30.45	70.79	25
r25j	55.85	50.36	45.65	67.97	42
r50j	65.45	33.86	56.12	65.54	59
r75j	75.19	17.13	66.73	68.89	76
j00g	87.03	-3.21	79.64	79.7	92
j25g	80.72	-24.03	66.82	71.01	110
j50g	70.64	-38.01	49.96	62.78	127
j75g	61.93	-50.08	35.41	61.34	145
g00b	52.8	-62.76	20.12	65.91	162
g25b	55.7	-47.65	-8.05	48.34	190
g50b	57.82	-36.91	-27.79	46.22	217
g75b	55.5	-21.19	-44.16	49.0	244
b00r	41.6	1.31	-43.27	43.3	272
b25r	29.0	24.11	-41.46	47.97	300
b50r	38.04	44.73	-27.29	52.41	329
b75r	49.48	70.07	-3.61	70.16	357



Ein und Ausgabe: Farbmetrisches Drucker-Reflektiv-System ORS20\_95a für relativen CIELAB-Buntton  $h^* = lab^*h^* = h_{ab}/360 = 110/360 = 0.305$

Daten für jede Farbe:

$lab^*ch^*$  und  $lab^*icu^*$

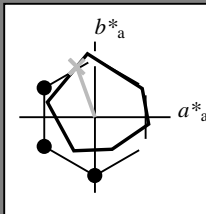
Elementar-Bunttonext:

$u^* = j25g$

Kontrastreduzierungsfaktor:

$c_R = 0.96$

Dreiecks-Helligkeit  $i^*$



ORS20\_95a; adaptierte CIELAB-Daten

	$L^*=L^*_a$	$a^*_a$	$b^*_a$	$C^*_{ab,a}$	$h^*_{ab,a}$
O <sub>Ma</sub>	48.75	62.56	37.91	73.15	31
Y <sub>Ma</sub>	90.92	-9.88	83.88	84.46	97
L <sub>Ma</sub>	52.69	-62.9	19.95	66.0	162
C <sub>Ma</sub>	59.61	-27.85	-44.43	52.45	238
V <sub>Ma</sub>	28.39	22.72	-42.42	48.13	298
M <sub>Ma</sub>	49.58	71.08	-9.19	71.67	353
N <sub>Ma</sub>	20.0	0.0	0.0	0.0	0
W <sub>Ma</sub>	95.0	0.0	0.0	0.0	0
R <sub>CIE</sub>	39.92	58.74	27.99	65.07	25
J <sub>CIE</sub>	81.26	-2.88	71.56	71.62	92
G <sub>CIE</sub>	52.23	-42.41	13.6	44.55	162
B <sub>CIE</sub>	30.57	1.41	-46.46	46.49	272

Daten für Maximalfarbe (Ma):

$LAB^*LAB^*_{Ma}$ : 81 -23 67

$LAB^*LCH^*_{Ma}$ : 81 71 110

$lab^*rgb^*_{Ma}$ : 0.75 1.0 0.0

$lab^*olv^*_{Ma}$ : 0.73 1.0 0.0

Dreiecks-Helligkeit  $i^*$

%Umfang

$u^*_{rel} = 83$

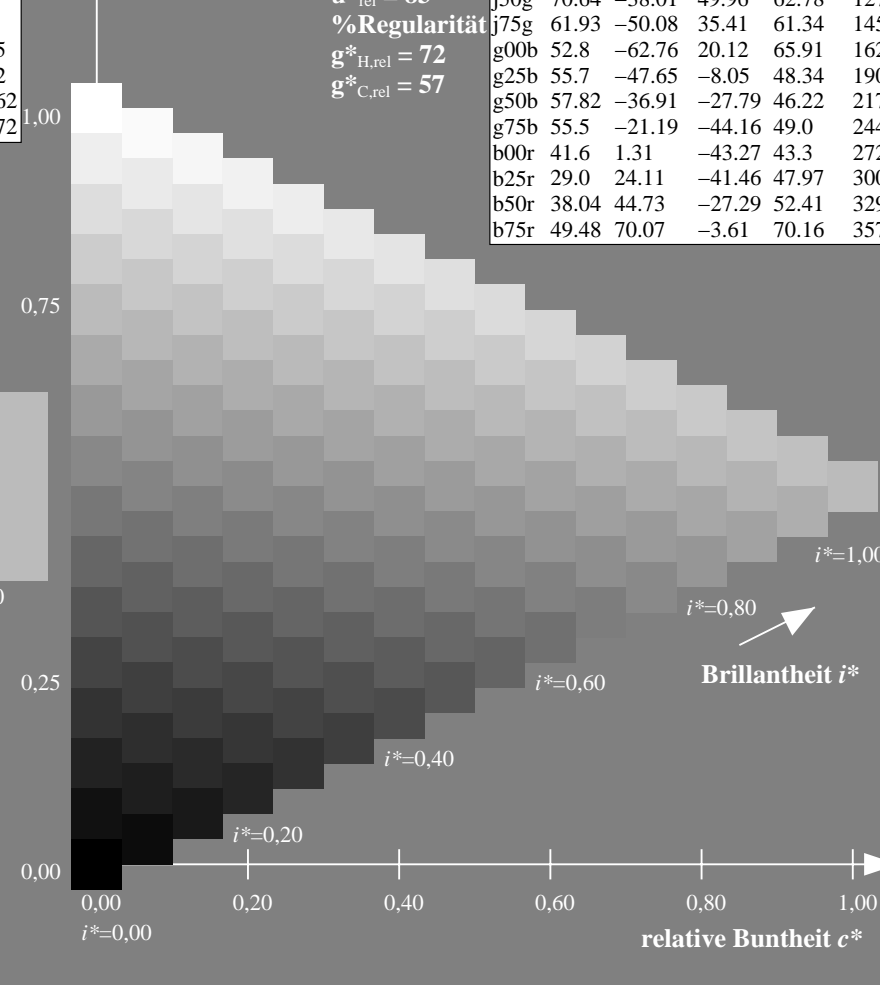
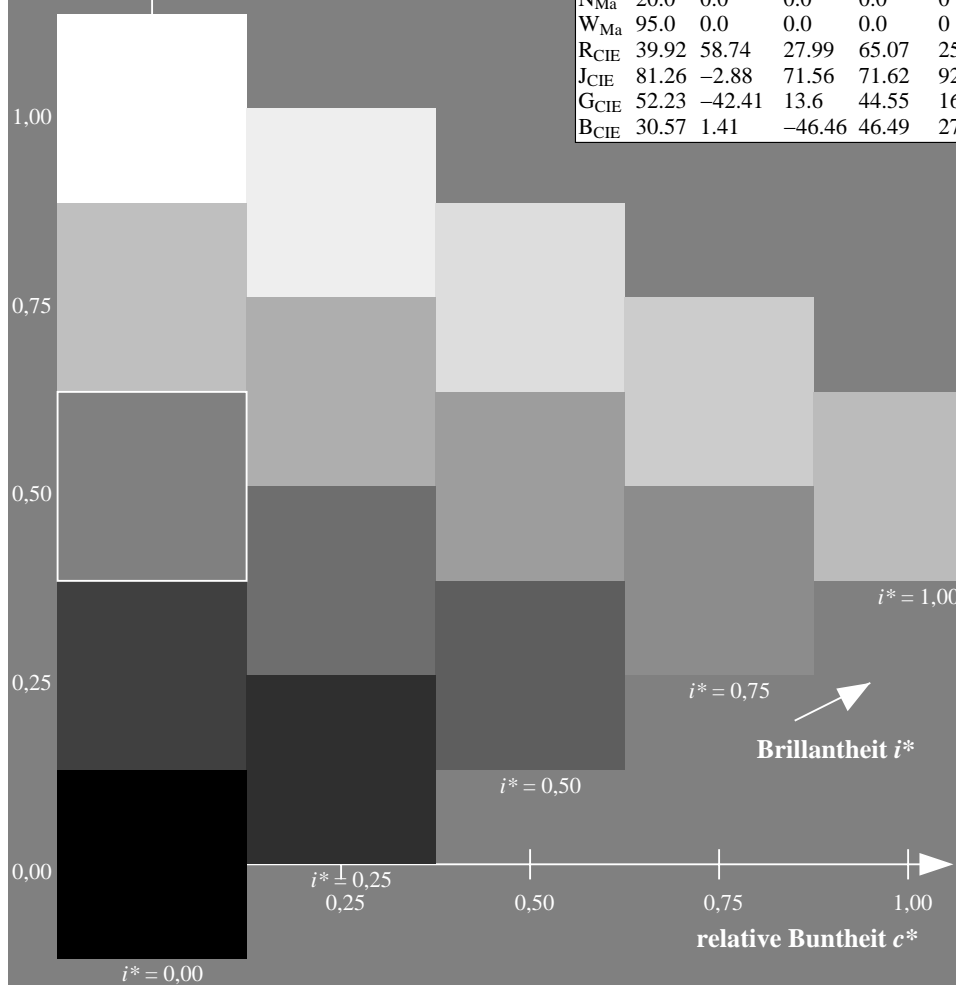
%Regularität

$g^*_{H,rel} = 72$

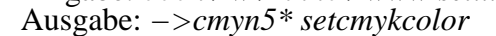
$g^*_{C,rel} = 57$

ORS20\_95a; adaptierte CIELAB-Daten

	$L^*=L^*_a$	$a^*_a$	$b^*_a$	$C^*_{ab,a}$	$h^*_{ab,a}$
r00j	48.88	63.91	30.45	70.79	25
r25j	55.85	50.36	45.65	67.97	42
r50j	65.45	33.86	56.12	65.54	59
r75j	75.19	17.13	66.73	68.89	76
j00g	87.03	-3.21	79.64	79.7	92
j25g	80.72	-24.03	66.82	71.01	110
j50g	70.64	-38.01	49.96	62.78	127
j75g	61.93	-50.08	35.41	61.34	145
g00b	52.8	-62.76	20.12	65.91	162
g25b	55.7	-47.65	-8.05	48.34	190
g50b	57.82	-36.91	-27.79	46.22	217
g75b	55.5	-21.19	-44.16	49.0	244
b00r	41.6	1.31	-43.27	43.3	272
b25r	29.0	24.11	-41.46	47.97	300
b50r	38.04	44.73	-27.29	52.41	329
b75r	49.48	70.07	-3.61	70.16	357



### Dreiecks-Helligkeit $t^*$





Ein und Ausgabe: Farbmetrisches Drucker-Reflektiv-System ORS20\_95a für relativen CIELAB-Buntton  $h^* = lab^*h^* = h_{ab}/360 = 145/360 = 0.402$

Daten für jede Farbe:

$lab^*ch^*$  und  $lab^*icu^*$

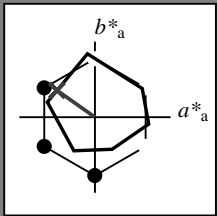
Elementar-Bunttontext:

$u^* = j75g$

Kontrastreduzierungsfaktor:

$c_R = 0.96$

Dreiecks-Helligkeit  $i^*$



ORS20\_95a; adaptierte CIELAB-Daten

	$L^*=L_a^*$	$a_a^*$	$b_a^*$	$C_{ab,a}^*$	$h_{ab,a}^*$
O <sub>Ma</sub>	48.75	62.56	37.91	73.15	31
Y <sub>Ma</sub>	90.92	-9.88	83.88	84.46	97
L <sub>Ma</sub>	52.69	-62.9	19.95	66.0	162
C <sub>Ma</sub>	59.61	-27.85	-44.43	52.45	238
V <sub>Ma</sub>	28.39	22.72	-42.42	48.13	298
M <sub>Ma</sub>	49.58	71.08	-9.19	71.67	353
N <sub>Ma</sub>	20.0	0.0	0.0	0.0	0
W <sub>Ma</sub>	95.0	0.0	0.0	0.0	0
R <sub>CIE</sub>	39.92	58.74	27.99	65.07	25
J <sub>CIE</sub>	81.26	-2.88	71.56	71.62	92
G <sub>CIE</sub>	52.23	-42.41	13.6	44.55	162
B <sub>CIE</sub>	30.57	1.41	-46.46	46.49	272

Daten für Maximalfarbe (Ma):

$LAB^*LAB^*Ma$ : 62 -49 35

$LAB^*LCH^*Ma$ : 62 61 145

$lab^*rgb^*Ma$ : 0.25 1.0 0.0

$lab^*olv^*Ma$ : 0.24 1.0 0.0

Dreiecks-Helligkeit  $i^*$

%Umfang

$u^*_{rel} = 83$

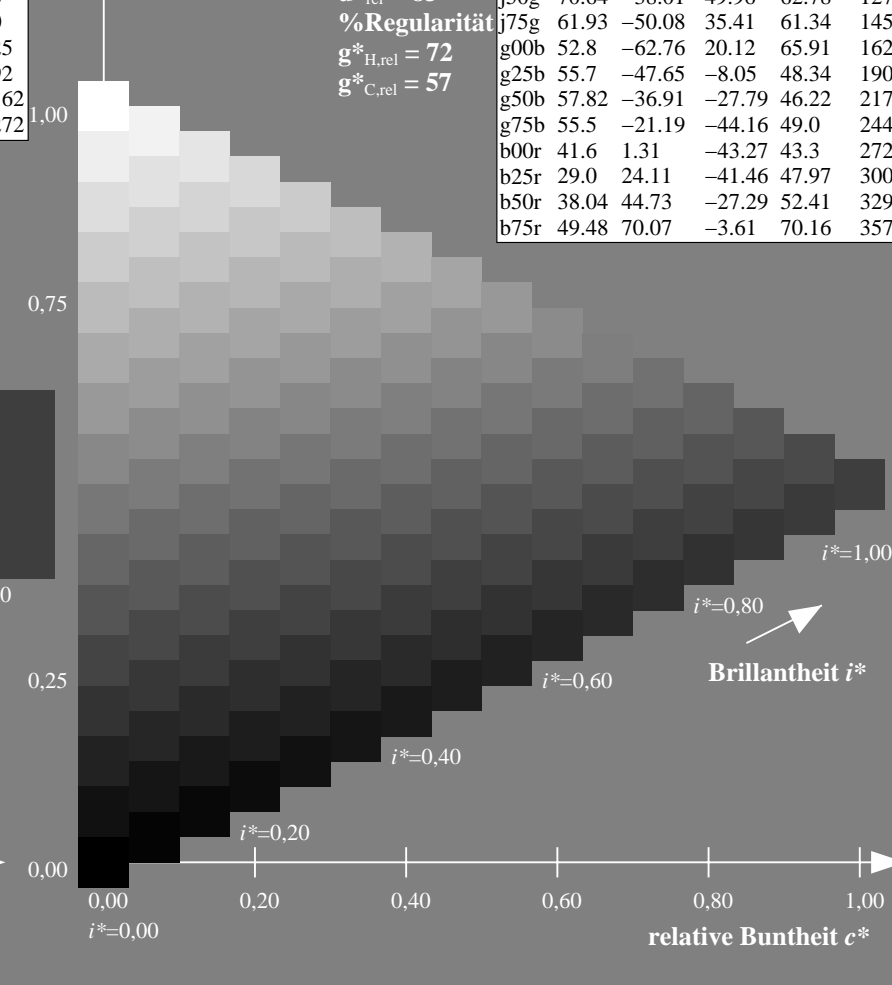
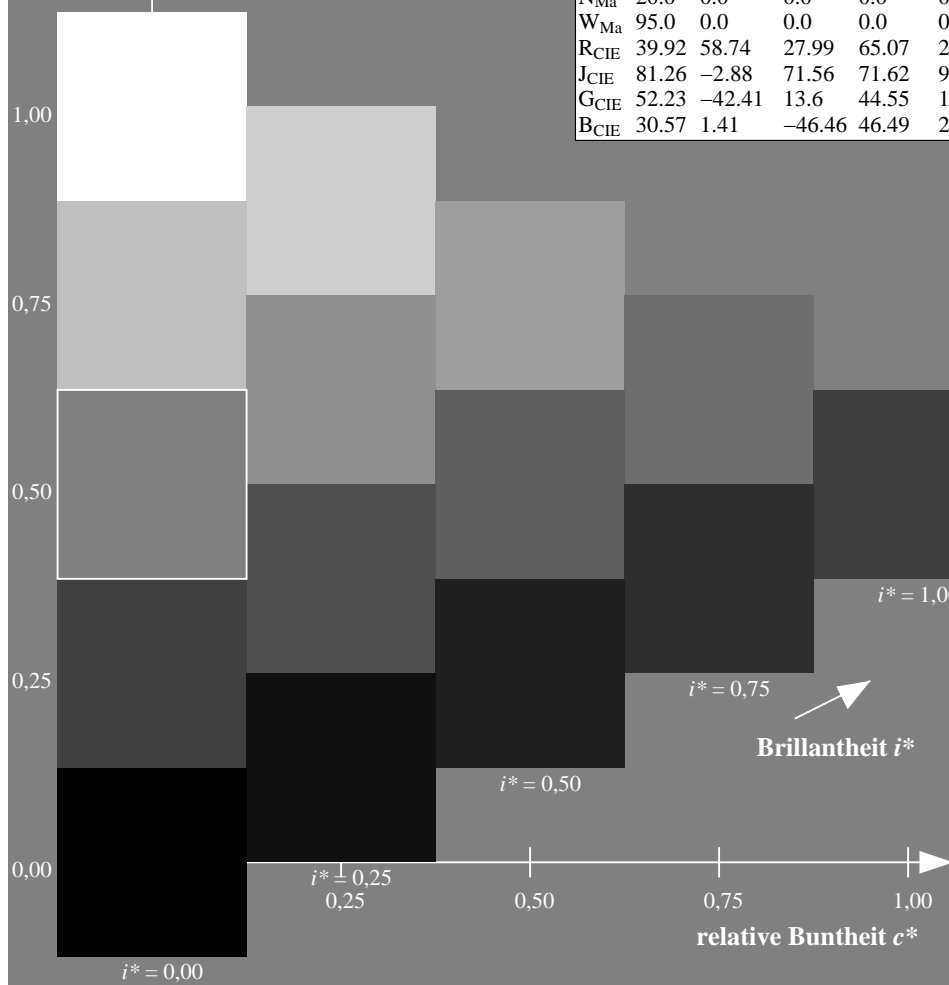
%Regularität

$g^*_{H,rel} = 72$

$g^*_{C,rel} = 57$

ORS20\_95a; adaptierte CIELAB-Daten

	$L^*=L_a^*$	$a_a^*$	$b_a^*$	$C_{ab,a}^*$	$h_{ab,a}^*$
r00j	48.88	63.91	30.45	70.79	25
r25j	55.85	50.36	45.65	67.97	42
r50j	65.45	33.86	56.12	65.54	59
r75j	75.19	17.13	66.73	68.89	76
j00g	87.03	-3.21	79.64	79.7	92
j25g	80.72	-24.03	66.82	71.01	110
j50g	70.64	-38.01	49.96	62.78	127
j75g	61.93	-50.08	35.41	61.34	145
g00b	52.8	-62.76	20.12	65.91	162
g25b	55.7	-47.65	-8.05	48.34	190
g50b	57.82	-36.91	-27.79	46.22	217
g75b	55.5	-21.19	-44.16	49.0	244
b00r	41.6	1.31	-43.27	43.3	272
b25r	29.0	24.11	-41.46	47.97	300
b50r	38.04	44.73	-27.29	52.41	329
b75r	49.48	70.07	-3.61	70.16	357



Ein und Ausgabe: Farbmétrisches Drucker-Reflektiv-System ORS20\_95a für relativen CIELAB-Buntton  $h^* = lab^*h^* = h_{ab}/360 = 162/360 = 0.451$

Daten für jede Farbe:

$lab^*ch^*$  und  $lab^*icu^*$

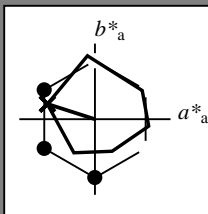
Elementar-Bunttoncontext:

$u^* = g00b$

Kontrastreduzierungsfaktor:

$c_R = 0.96$

Dreiecks-Helligkeit  $t^*$



ORS20\_95a; adaptierte CIELAB-Daten

	$L^*=L_a^*$	$a_a^*$	$b_a^*$	$C_{ab,a}^*$	$h_{ab,a}^*$
O <sub>Ma</sub>	48.75	62.56	37.91	73.15	31
Y <sub>Ma</sub>	90.92	-9.88	83.88	84.46	97
L <sub>Ma</sub>	52.69	-62.9	19.95	66.0	162
C <sub>Ma</sub>	59.61	-27.85	-44.43	52.45	238
V <sub>Ma</sub>	28.39	22.72	-42.42	48.13	298
M <sub>Ma</sub>	49.58	71.08	-9.19	71.67	353
N <sub>Ma</sub>	20.0	0.0	0.0	0.0	0
W <sub>Ma</sub>	95.0	0.0	0.0	0.0	0
R <sub>CIE</sub>	39.92	58.74	27.99	65.07	25
J <sub>CIE</sub>	81.26	-2.88	71.56	71.62	92
G <sub>CIE</sub>	52.23	-42.41	13.6	44.55	162
B <sub>CIE</sub>	30.57	1.41	-46.46	46.49	272

Daten für Maximalfarbe (Ma):

$LAB^*LAB^*Ma$ : 53 -62 20

$LAB^*LCH^*Ma$ : 53 66 162

$lab^*rgb^*Ma$ : 0.0 1.0 0.0

$lab^*olv^*Ma$ : 0.0 1.0 0.0

Dreiecks-Helligkeit  $t^*$

%Umfang

$u^*_{rel} = 83$

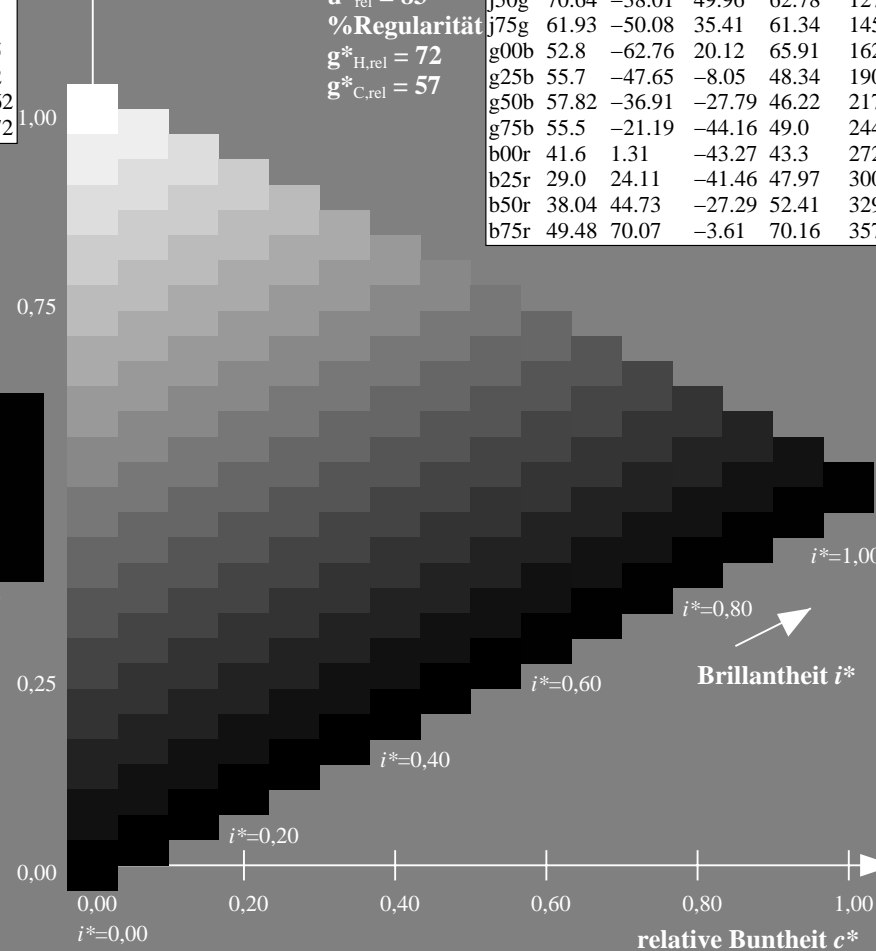
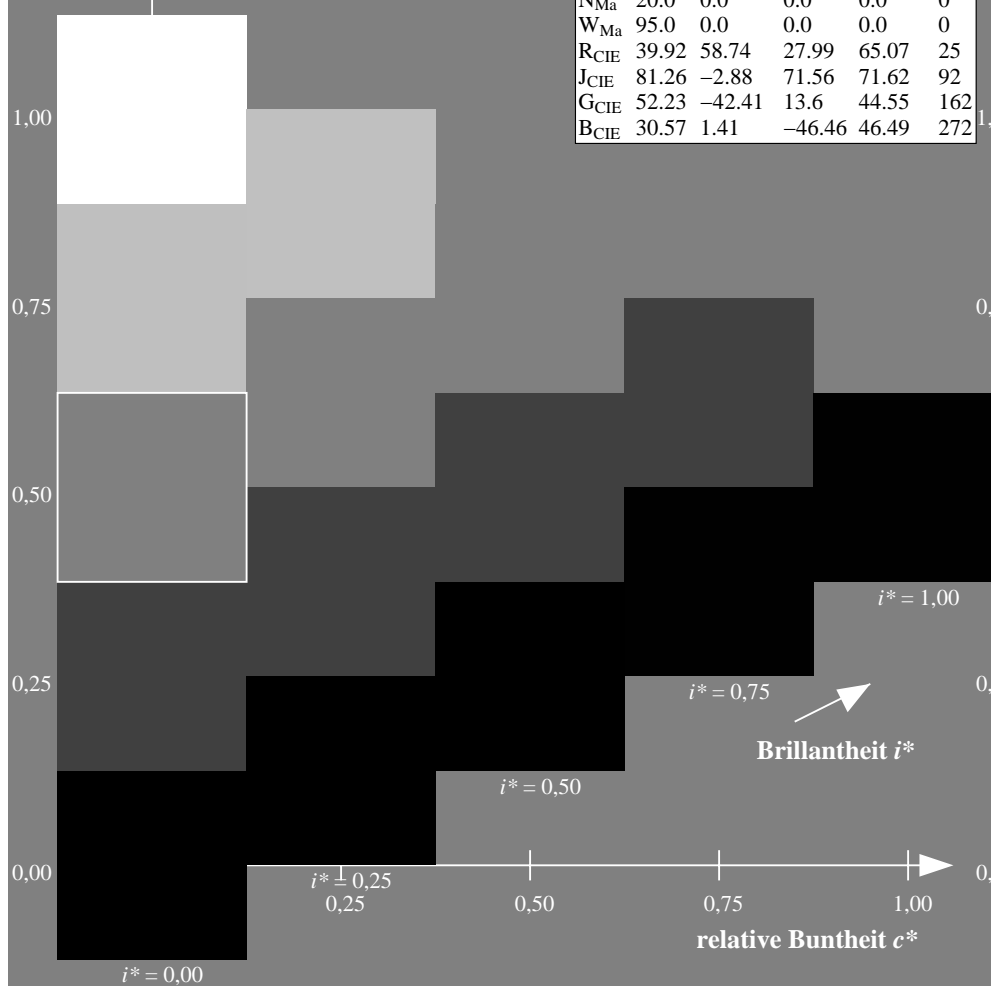
%Regularität

$g^*_{H,rel} = 72$

$g^*_{C,rel} = 57$

ORS20\_95a; adaptierte CIELAB-Daten

	$L^*=L_a^*$	$a_a^*$	$b_a^*$	$C_{ab,a}^*$	$h_{ab,a}^*$
r00j	48.88	63.91	30.45	70.79	25
r25j	55.85	50.36	45.65	67.97	42
r50j	65.45	33.86	56.12	65.54	59
r75j	75.19	17.13	66.73	68.89	76
j00g	87.03	-3.21	79.64	79.7	92
j25g	80.72	-24.03	66.82	71.01	110
j50g	70.64	-38.01	49.96	62.78	127
j75g	61.93	-50.08	35.41	61.34	145
g00b	52.8	-62.76	20.12	65.91	162
g25b	55.7	-47.65	-8.05	48.34	190
g50b	57.82	-36.91	-27.79	46.22	217
g75b	55.5	-21.19	-44.16	49.0	244
b00r	41.6	1.31	-43.27	43.3	272
b25r	29.0	24.11	-41.46	47.97	300
b50r	38.04	44.73	-27.29	52.41	329
b75r	49.48	70.07	-3.61	70.16	357



Ein und Ausgabe: Farbmétrisches Drucker-Reflektiv-System ORS20\_95a für relativen CIELAB-Buntton  $h^* = lab^*h^* = h_{ab}/360 = 190/360 = 0.527$

Daten für jede Farbe:

$lab^*ch^*$  und  $lab^*icu^*$

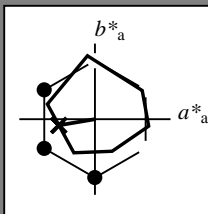
Elementar-Bunttoncontext:

$u^* = g25b$

Kontrastreduzierungsfaktor:

$c_R = 0.96$

Dreiecks-Helligkeit  $i^*$



ORS20\_95a; adaptierte CIELAB-Daten

	$L^* = L^*_a$	$a^*_a$	$b^*_a$	$C^*_{ab,a}$	$h^*_{ab,a}$
O <sub>Ma</sub>	48.75	62.56	37.91	73.15	31
Y <sub>Ma</sub>	90.92	-9.88	83.88	84.46	97
L <sub>Ma</sub>	52.69	-62.9	19.95	66.0	162
C <sub>Ma</sub>	59.61	-27.85	-44.43	52.45	238
V <sub>Ma</sub>	28.39	22.72	-42.42	48.13	298
M <sub>Ma</sub>	49.58	71.08	-9.19	71.67	353
N <sub>Ma</sub>	20.0	0.0	0.0	0.0	0
W <sub>Ma</sub>	95.0	0.0	0.0	0.0	0
R <sub>CIE</sub>	39.92	58.74	27.99	65.07	25
J <sub>CIE</sub>	81.26	-2.88	71.56	71.62	92
G <sub>CIE</sub>	52.23	-42.41	13.6	44.55	162
B <sub>CIE</sub>	30.57	1.41	-46.46	46.49	272

Daten für Maximalfarbe (Ma):

$LAB^*LAB^*_{Ma}$ : 56 -47 -7

$LAB^*LCH^*_{Ma}$ : 56 48 190

$lab^*rgb^*_{Ma}$ : 0.0 1.0 0.5

$lab^*olv^*_{Ma}$ : 0.0 1.0 0.44

Dreiecks-Helligkeit  $i^*$

%Umfang

$u^*_{rel} = 83$

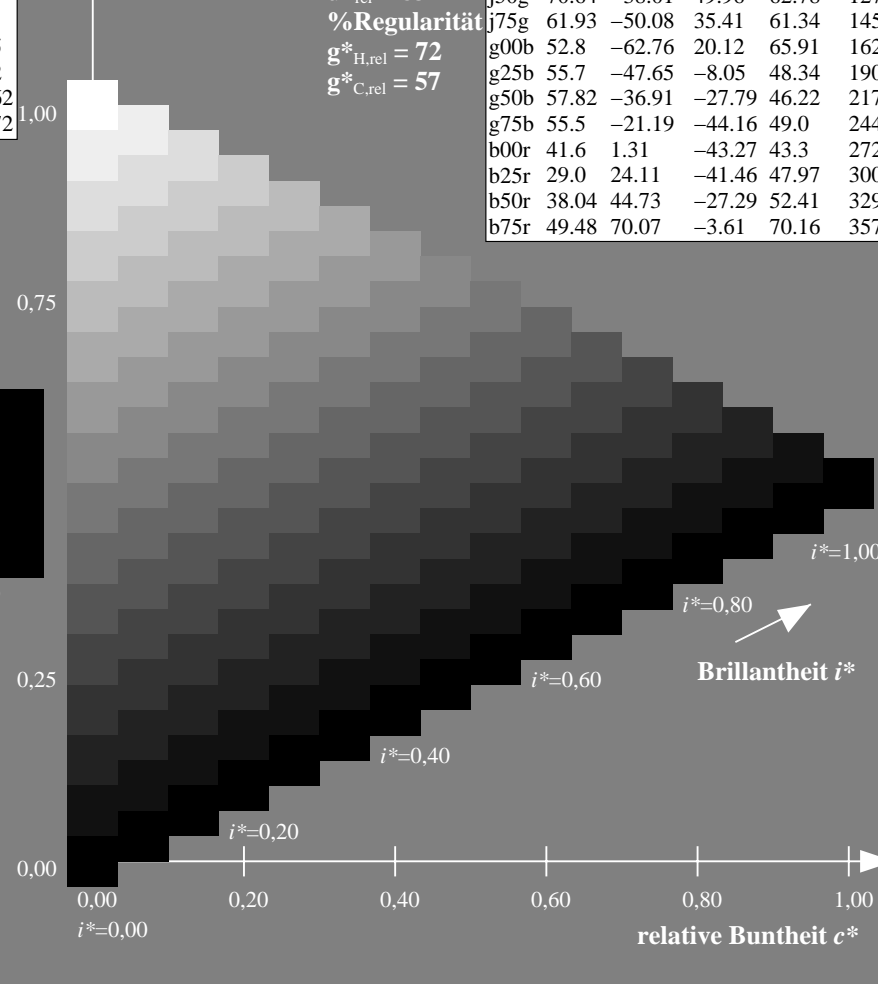
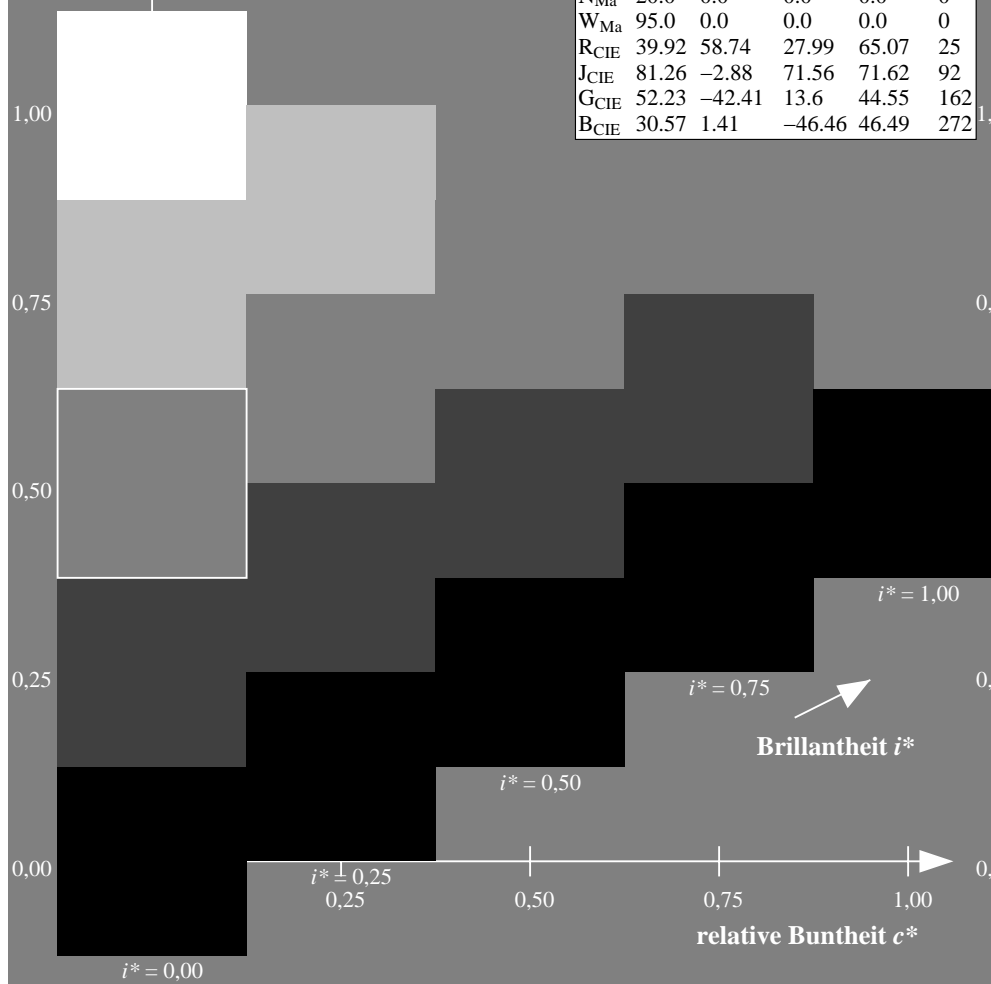
%Regularität

$g^*_{H,rel} = 72$

$g^*_{C,rel} = 57$

ORS20\_95a; adaptierte CIELAB-Daten

	$L^* = L^*_a$	$a^*_a$	$b^*_a$	$C^*_{ab,a}$	$h^*_{ab,a}$
r00j	48.88	63.91	30.45	70.79	25
r25j	55.85	50.36	45.65	67.97	42
r50j	65.45	33.86	56.12	65.54	59
r75j	75.19	17.13	66.73	68.89	76
j00g	87.03	-3.21	79.64	79.7	92
j25g	80.72	-24.03	66.82	71.01	110
j50g	70.64	-38.01	49.96	62.78	127
j75g	61.93	-50.08	35.41	61.34	145
g00b	52.8	-62.76	20.12	65.91	162
g25b	55.7	-47.65	-8.05	48.34	190
g50b	57.82	-36.91	-27.79	46.22	217
g75b	55.5	-21.19	-44.16	49.0	244
b00r	41.6	1.31	-43.27	43.3	272
b25r	29.0	24.11	-41.46	47.97	300
b50r	38.04	44.73	-27.29	52.41	329
b75r	49.48	70.07	-3.61	70.16	357



Ein und Ausgabe: Farbmétrisches Drucker-Reflektiv-System ORS20\_95a für relativen CIELAB-Buntton  $h^* = lab^*h^* = h_{ab}/360 = 217/360 = 0.603$

Daten für jede Farbe:

$lab^*ch^*$  und  $lab^*icu^*$

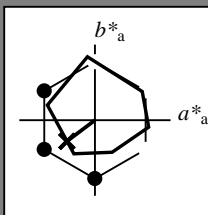
Elementar-Bunttoncontext:

$u^* = g50b$

Kontrastreduzierungsfaktor:

$c_R = 0.96$

Dreiecks-Helligkeit  $t^*$



ORS20_95a; adaptierte CIELAB-Daten					
	$L^*=L^*_a$	$a^*_a$	$b^*_a$	$C^*_{ab,a}$	$h^*_{ab,a}$
O <sub>Ma</sub>	48.75	62.56	37.91	73.15	31
Y <sub>Ma</sub>	90.92	-9.88	83.88	84.46	97
L <sub>Ma</sub>	52.69	-62.9	19.95	66.0	162
C <sub>Ma</sub>	59.61	-27.85	-44.43	52.45	238
V <sub>Ma</sub>	28.39	22.72	-42.42	48.13	298
M <sub>Ma</sub>	49.58	71.08	-9.19	71.67	353
N <sub>Ma</sub>	20.0	0.0	0.0	0.0	0
W <sub>Ma</sub>	95.0	0.0	0.0	0.0	0
R <sub>CIE</sub>	39.92	58.74	27.99	65.07	25
J <sub>CIE</sub>	81.26	-2.88	71.56	71.62	92
G <sub>CIE</sub>	52.23	-42.41	13.6	44.55	162
B <sub>CIE</sub>	30.57	1.41	-46.46	46.49	272

Daten für Maximalfarbe (Ma):

$LAB^*LAB^*_{Ma}$ : 58 -36 -27

$LAB^*LCH^*_{Ma}$ : 58 46 217

$lab^*rgb^*_{Ma}$ : 0.0 1.0 1.0

$lab^*olv^*_{Ma}$ : 0.0 1.0 0.74

Dreiecks-Helligkeit  $t^*$

ORS20_95a; adaptierte CIELAB-Daten					
	$L^*=L^*_a$	$a^*_a$	$b^*_a$	$C^*_{ab,a}$	$h^*_{ab,a}$
r00j	48.88	63.91	30.45	70.79	25
r25j	55.85	50.36	45.65	67.97	42
r50j	65.45	33.86	56.12	65.54	59
r75j	75.19	17.13	66.73	68.89	76
j00g	87.03	-3.21	79.64	79.7	92
j25g	80.72	-24.03	66.82	71.01	110
j50g	70.64	-38.01	49.96	62.78	127
j75g	61.93	-50.08	35.41	61.34	145
g00b	52.8	-62.76	20.12	65.91	162
g25b	55.7	-47.65	-8.05	48.34	190
g50b	57.82	-36.91	-27.79	46.22	217
g75b	55.5	-21.19	-44.16	49.0	244
b00r	41.6	1.31	-43.27	43.3	272
b25r	29.0	24.11	-41.46	47.97	300
b50r	38.04	44.73	-27.29	52.41	329
b75r	49.48	70.07	-3.61	70.16	357

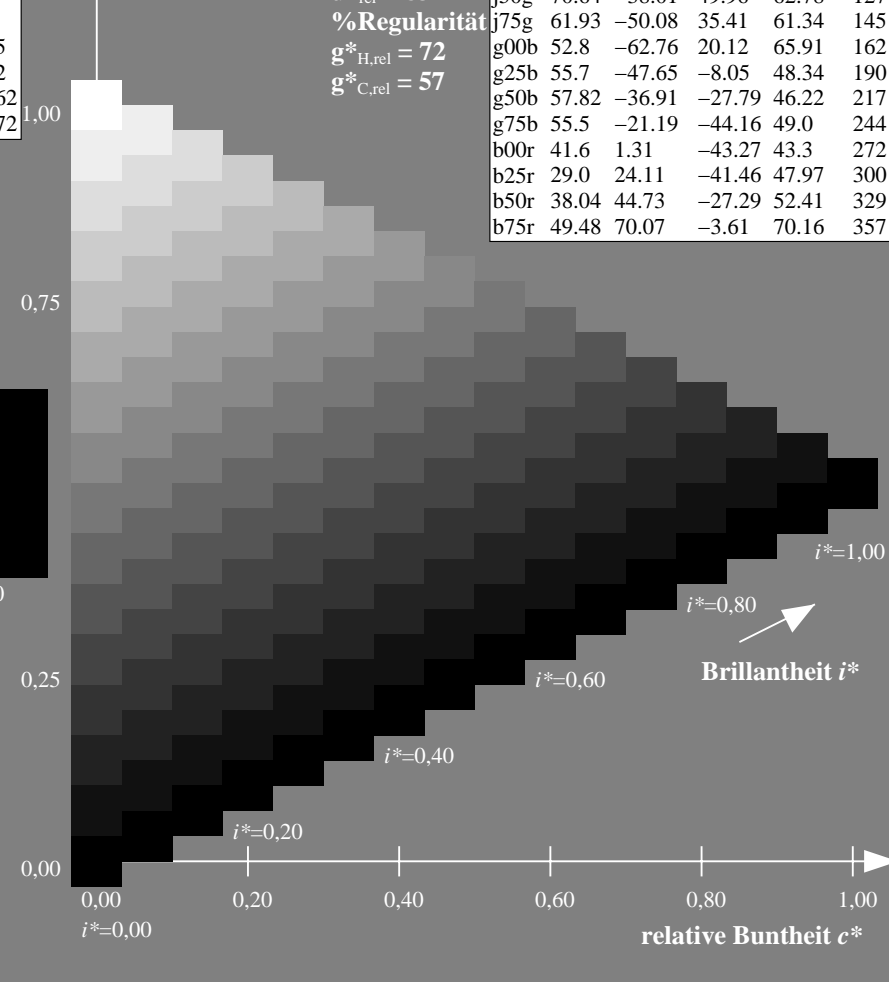
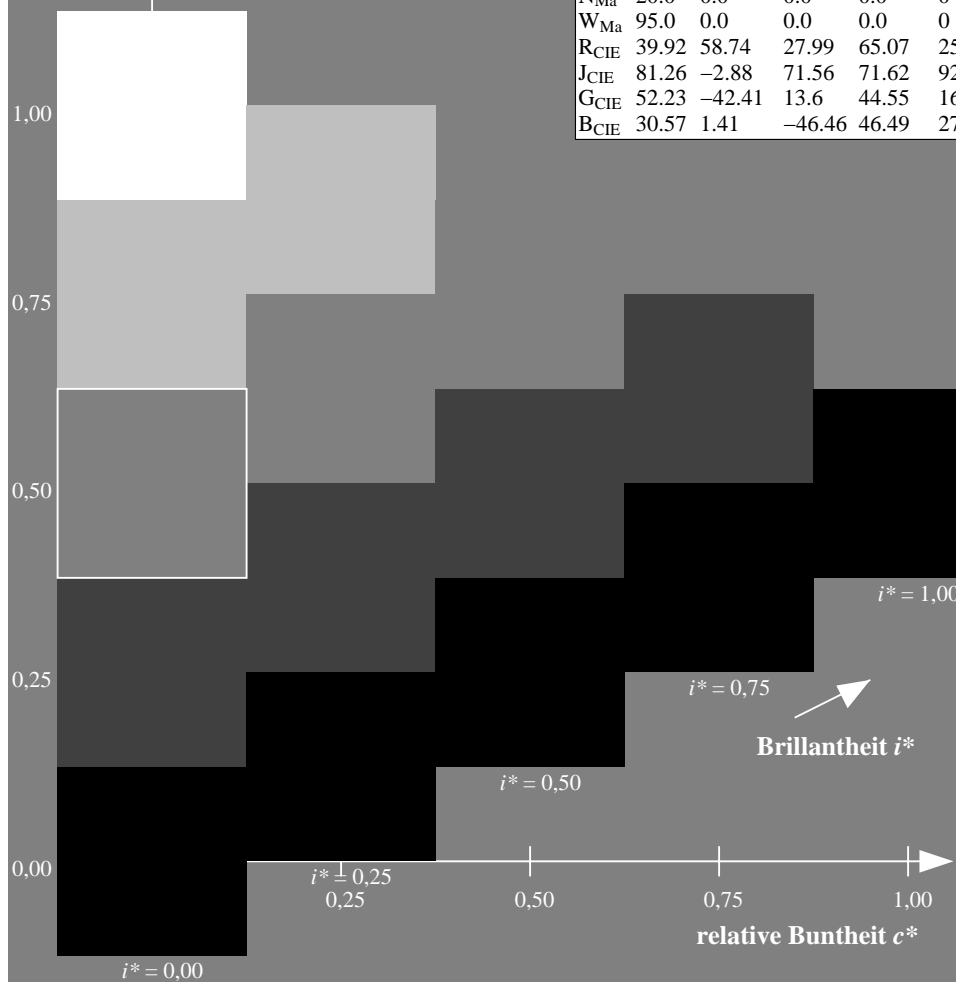
%Umfang

$u^*_{rel} = 83$

%Regularität

$g^*_{H,rel} = 72$

$g^*_{C,rel} = 57$



Ein und Ausgabe: Farbmétrisches Drucker-Reflektiv-System ORS20\_95a für relativen CIELAB-Buntton  $h^* = lab^*h^* = h_{ab}/360 = 244/360 = 0.679$

Daten für jede Farbe:

$lab^*ch^*$  und  $lab^*icu^*$

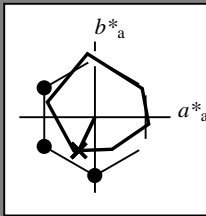
Elementar-Bunttoncontext:

$u^* = g75b$

Kontrastreduzierungsfaktor:

$c_R = 0.96$

Dreiecks-Helligkeit  $i^*$



ORS20_95a; adaptierte CIELAB-Daten					
	$L^*=L_a^*$	$a_a^*$	$b_a^*$	$C_{ab,a}^*$	$h_{ab,a}^*$
O <sub>Ma</sub>	48.75	62.56	37.91	73.15	31
Y <sub>Ma</sub>	90.92	-9.88	83.88	84.46	97
L <sub>Ma</sub>	52.69	-62.9	19.95	66.0	162
C <sub>Ma</sub>	59.61	-27.85	-44.43	52.45	238
V <sub>Ma</sub>	28.39	22.72	-42.42	48.13	298
M <sub>Ma</sub>	49.58	71.08	-9.19	71.67	353
N <sub>Ma</sub>	20.0	0.0	0.0	0.0	0
W <sub>Ma</sub>	95.0	0.0	0.0	0.0	0
R <sub>CIE</sub>	39.92	58.74	27.99	65.07	25
J <sub>CIE</sub>	81.26	-2.88	71.56	71.62	92
G <sub>CIE</sub>	52.23	-42.41	13.6	44.55	162
B <sub>CIE</sub>	30.57	1.41	-46.46	46.49	272

Daten für Maximalfarbe (Ma):

$LAB^*LAB^*Ma$ : 55 -20 -43

$LAB^*LCH^*Ma$ : 55 49 244

$lab^*rgb^*Ma$ : 0.0 0.5 1.0

$lab^*olv^*Ma$ : 0.0 0.87 1.0

Dreiecks-Helligkeit  $i^*$

%Umfang

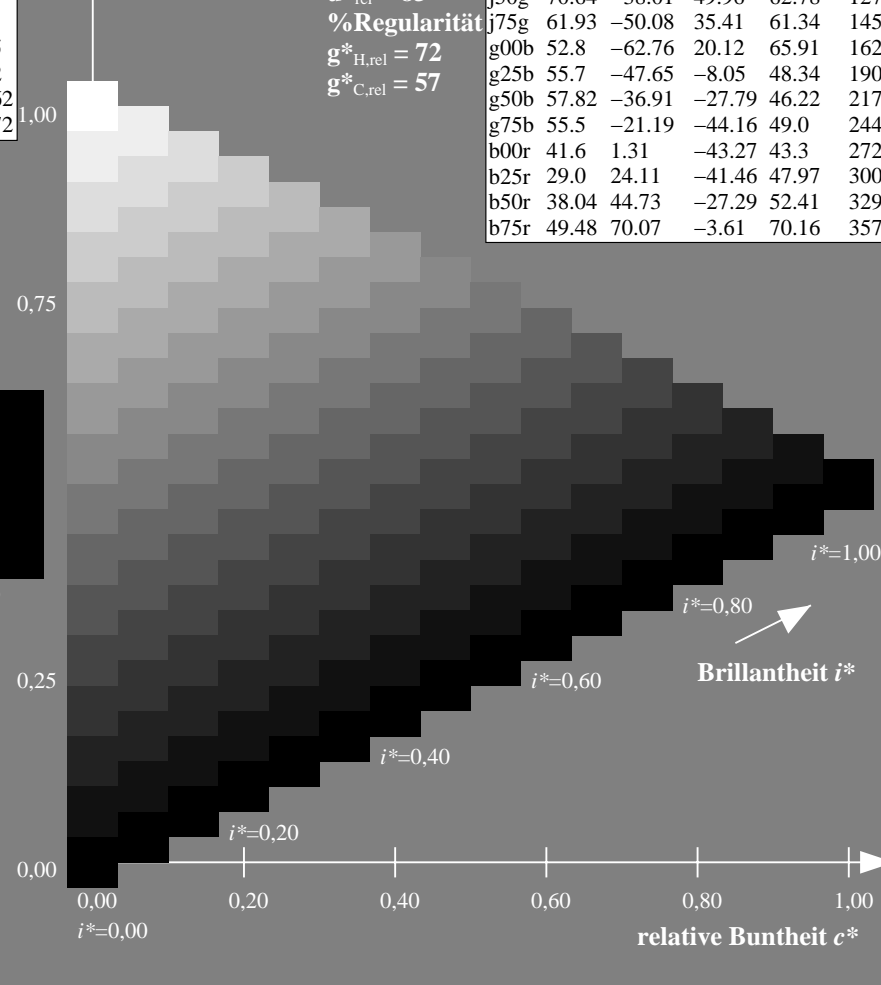
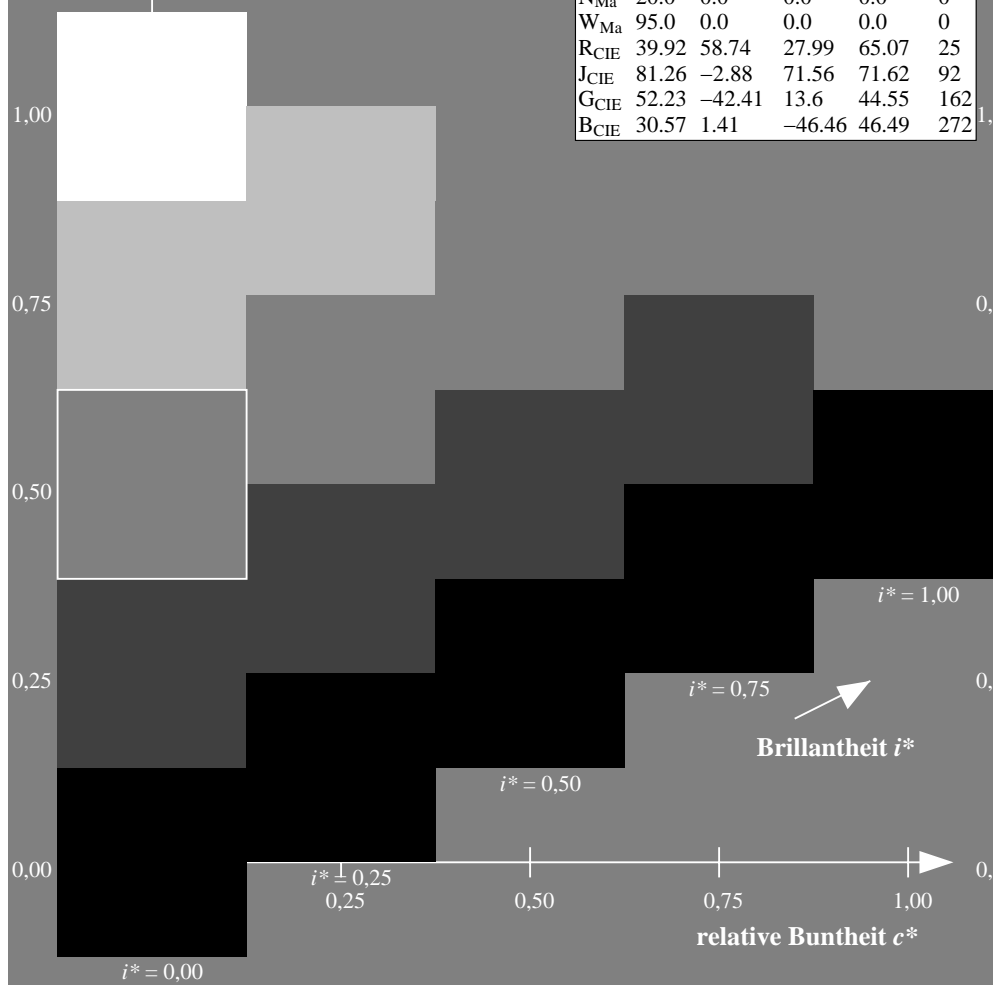
$u^*_{rel} = 83$

%Regularität

$g^*_{H,rel} = 72$

$g^*_{C,rel} = 57$

ORS20_95a; adaptierte CIELAB-Daten					
	$L^*=L_a^*$	$a_a^*$	$b_a^*$	$C_{ab,a}^*$	$h_{ab,a}^*$
r00j	48.88	63.91	30.45	70.79	25
r25j	55.85	50.36	45.65	67.97	42
r50j	65.45	33.86	56.12	65.54	59
r75j	75.19	17.13	66.73	68.89	76
j00g	87.03	-3.21	79.64	79.7	92
j25g	80.72	-24.03	66.82	71.01	110
j50g	70.64	-38.01	49.96	62.78	127
j75g	61.93	-50.08	35.41	61.34	145
g00b	52.8	-62.76	20.12	65.91	162
g25b	55.7	-47.65	-8.05	48.34	190
g50b	57.82	-36.91	-27.79	46.22	217
g75b	55.5	-21.19	-44.16	49.0	244
b00r	41.6	1.31	-43.27	43.3	272
b25r	29.0	24.11	-41.46	47.97	300
b50r	38.04	44.73	-27.29	52.41	329
b75r	49.48	70.07	-3.61	70.16	357



Ein und Ausgabe: Farbmétrisches Drucker-Reflektiv-System ORS20\_95a für relativen CIELAB-Buntton  $h^* = lab^*h^* = h_{ab}/360 = 272/360 = 0.755$

Daten für jede Farbe:

$lab^*ch^*$  und  $lab^*icu^*$

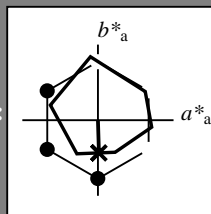
Elementar-Bunttoncontext:

$u^* = b00r$

Kontrastreduzierungsfaktor:

$c_R = 0.96$

Dreiecks-Helligkeit  $i^*$



ORS20_95a; adaptierte CIELAB-Daten					
	$L^*=L_a^*$	$a_a^*$	$b_a^*$	$C_{ab,a}^*$	$h_{ab,a}^*$
O <sub>Ma</sub>	48.75	62.56	37.91	73.15	31
Y <sub>Ma</sub>	90.92	-9.88	83.88	84.46	97
L <sub>Ma</sub>	52.69	-62.9	19.95	66.0	162
C <sub>Ma</sub>	59.61	-27.85	-44.43	52.45	238
V <sub>Ma</sub>	28.39	22.72	-42.42	48.13	298
M <sub>Ma</sub>	49.58	71.08	-9.19	71.67	353
N <sub>Ma</sub>	20.0	0.0	0.0	0.0	0
W <sub>Ma</sub>	95.0	0.0	0.0	0.0	0
R <sub>CIE</sub>	39.92	58.74	27.99	65.07	25
J <sub>CIE</sub>	81.26	-2.88	71.56	71.62	92
G <sub>CIE</sub>	52.23	-42.41	13.6	44.55	162
B <sub>CIE</sub>	30.57	1.41	-46.46	46.49	272

Daten für Maximalfarbe (Ma):

$LAB^*LAB^*Ma$ : 42 1 -42

$LAB^*LCH^*Ma$ : 42 43 272

$lab^*rgb^*Ma$ : 0.0 0.0 1.0

$lab^*olv^*Ma$ : 0.0 0.42 1.0

Dreiecks-Helligkeit  $i^*$

%Umfang

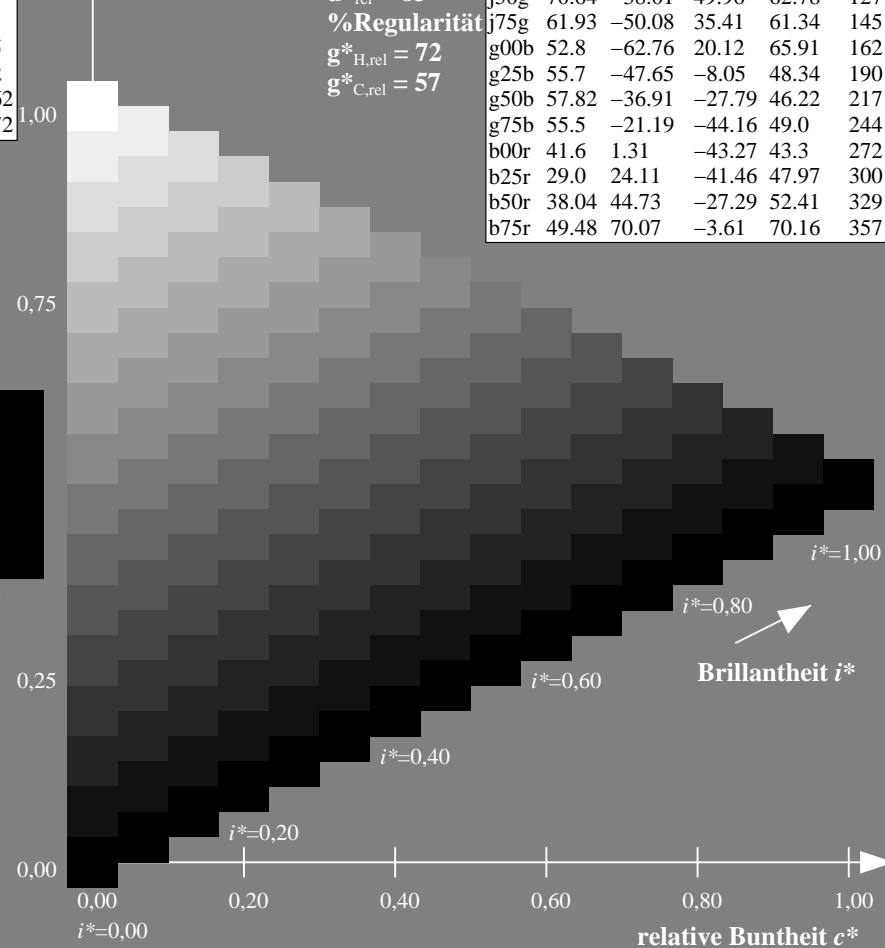
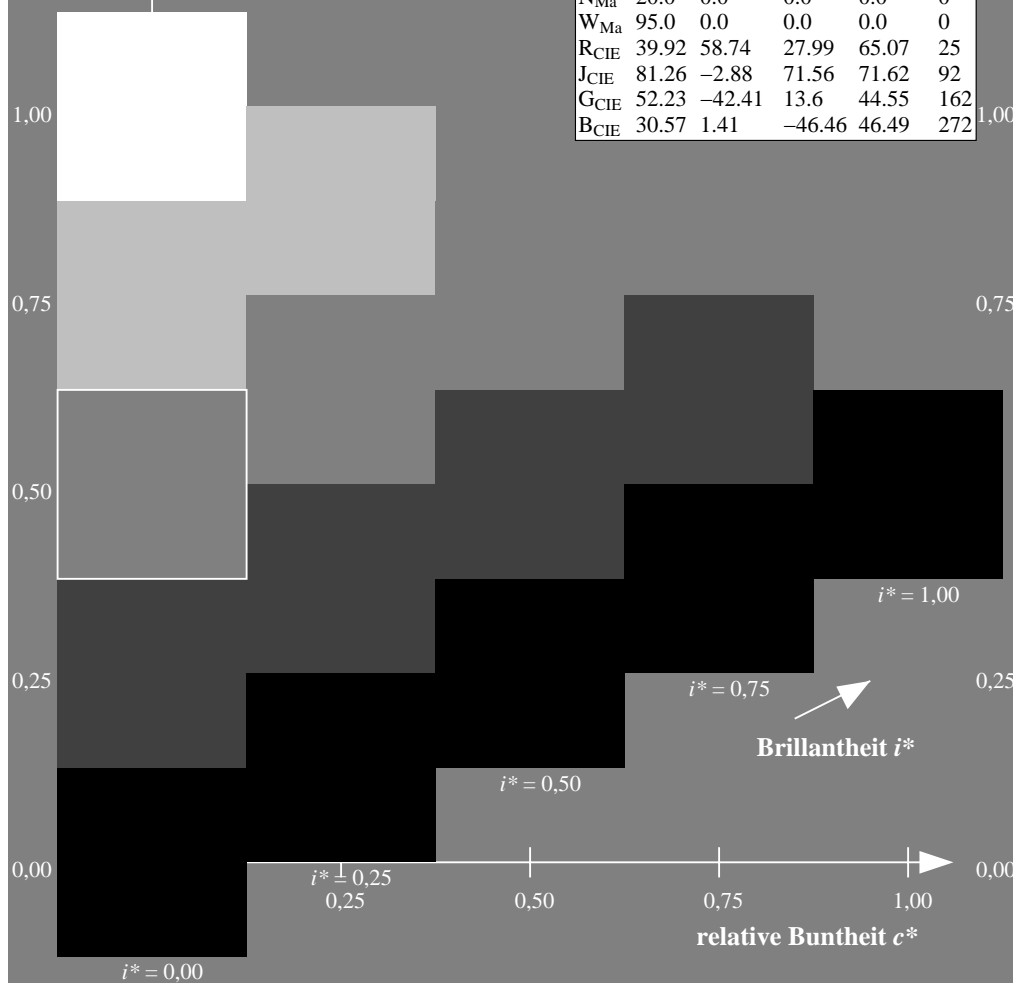
$u^*_{rel} = 83$

%Regularität

$g^*_{H,rel} = 72$

$g^*_{C,rel} = 57$

ORS20_95a; adaptierte CIELAB-Daten					
	$L^*=L_a^*$	$a_a^*$	$b_a^*$	$C_{ab,a}^*$	$h_{ab,a}^*$
r00j	48.88	63.91	30.45	70.79	25
r25j	55.85	50.36	45.65	67.97	42
r50j	65.45	33.86	56.12	65.54	59
r75j	75.19	17.13	66.73	68.89	76
j00g	87.03	-3.21	79.64	79.7	92
j25g	80.72	-24.03	66.82	71.01	110
j50g	70.64	-38.01	49.96	62.78	127
j75g	61.93	-50.08	35.41	61.34	145
g00b	52.8	-62.76	20.12	65.91	162
g25b	55.7	-47.65	-8.05	48.34	190
g50b	57.82	-36.91	-27.79	46.22	217
g75b	55.5	-21.19	-44.16	49.0	244
b00r	41.6	1.31	-43.27	43.3	272
b25r	29.0	24.11	-41.46	47.97	300
b50r	38.04	44.73	-27.29	52.41	329
b75r	49.48	70.07	-3.61	70.16	357





Ein und Ausgabe: Farbmétrisches Drucker-Reflektiv-System ORS20\_95a für relativen CIELAB-Buntton  $h^* = lab^*h^* = h_{ab}/360 = 300/360 = 0.834$

Daten für jede Farbe:

$lab^*ch^*$  und  $lab^*icu^*$

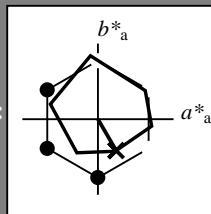
Elementar-Bunttontext:

$u^* = b25r$

Kontrastreduzierungsfaktor:

$c_R = 0.96$

Dreiecks-Helligkeit  $i^*$



ORS20\_95a; adaptierte CIELAB-Daten

	$L^* = L^*_a$	$a^*_a$	$b^*_a$	$C^*_{ab,a}$	$h^*_{ab,a}$
O <sub>Ma</sub>	48.75	62.56	37.91	73.15	31
Y <sub>Ma</sub>	90.92	-9.88	83.88	84.46	97
L <sub>Ma</sub>	52.69	-62.9	19.95	66.0	162
C <sub>Ma</sub>	59.61	-27.85	-44.43	52.45	238
V <sub>Ma</sub>	28.39	22.72	-42.42	48.13	298
M <sub>Ma</sub>	49.58	71.08	-9.19	71.67	353
N <sub>Ma</sub>	20.0	0.0	0.0	0.0	0
W <sub>Ma</sub>	95.0	0.0	0.0	0.0	0
R <sub>CIE</sub>	39.92	58.74	27.99	65.07	25
J <sub>CIE</sub>	81.26	-2.88	71.56	71.62	92
G <sub>CIE</sub>	52.23	-42.41	13.6	44.55	162
B <sub>CIE</sub>	30.57	1.41	-46.46	46.49	272

Daten für Maximalfarbe (Ma):

$LAB^*LAB^*Ma$ : 29 24 -40

$LAB^*LCH^*Ma$ : 29 48 300

$lab^*rgb^*Ma$ : 0.5 0.0 1.0

$lab^*olv^*Ma$ : 0.03 0.0 1.0

Dreiecks-Helligkeit  $i^*$

%Umfang

$u^*_{rel} = 83$

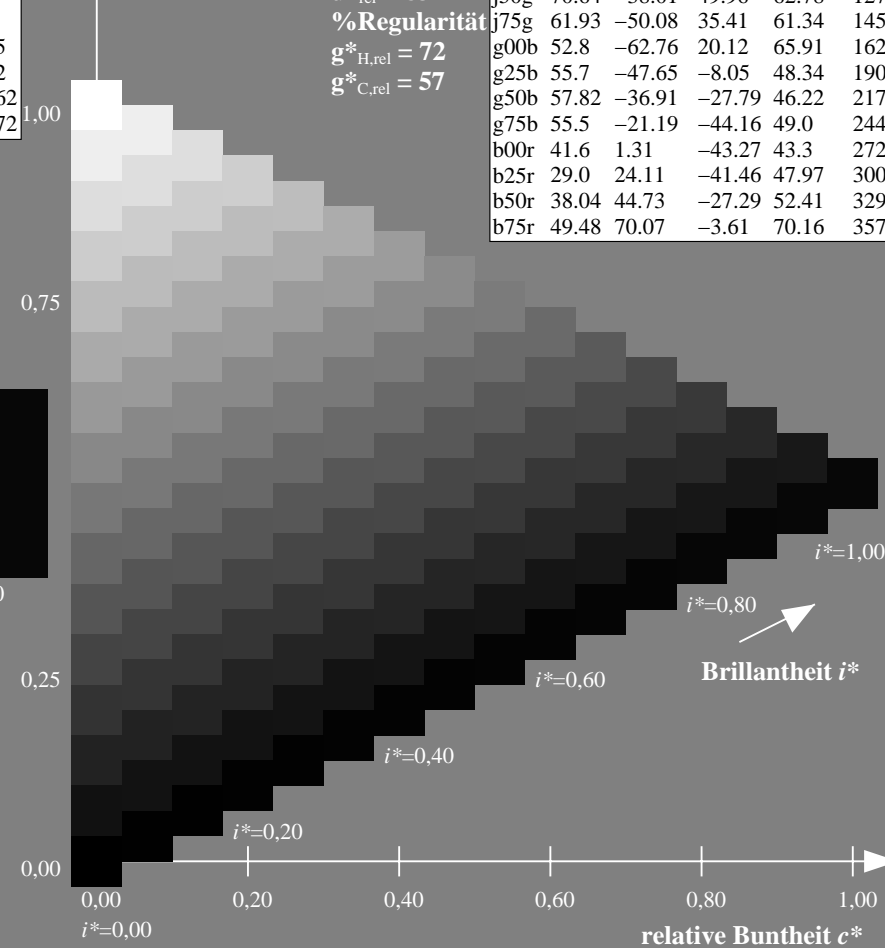
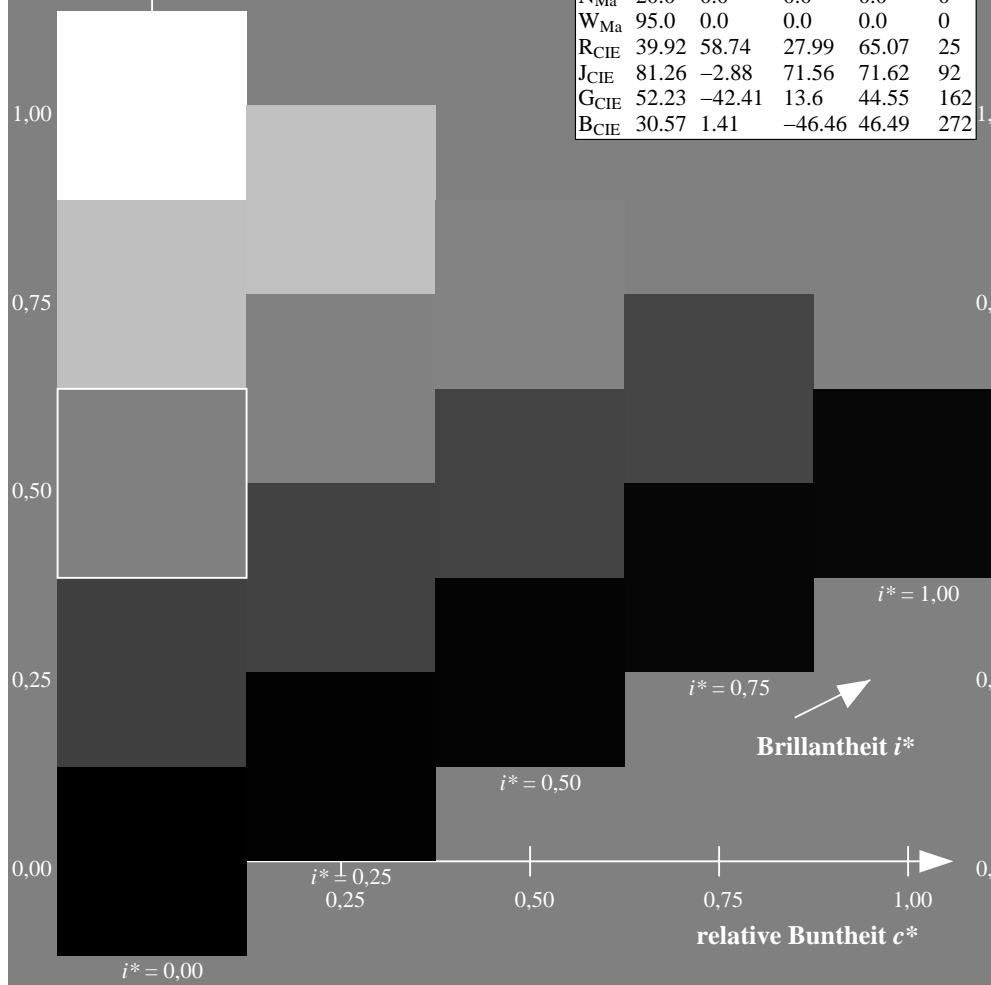
%Regularität

$g^*_{H,rel} = 72$

$g^*_{C,rel} = 57$

ORS20\_95a; adaptierte CIELAB-Daten

	$L^* = L^*_a$	$a^*_a$	$b^*_a$	$C^*_{ab,a}$	$h^*_{ab,a}$
r00j	48.88	63.91	30.45	70.79	25
r25j	55.85	50.36	45.65	67.97	42
r50j	65.45	33.86	56.12	65.54	59
r75j	75.19	17.13	66.73	68.89	76
j00g	87.03	-3.21	79.64	79.7	92
j25g	80.72	-24.03	66.82	71.01	110
j50g	70.64	-38.01	49.96	62.78	127
j75g	61.93	-50.08	35.41	61.34	145
g00b	52.8	-62.76	20.12	65.91	162
g25b	55.7	-47.65	-8.05	48.34	190
g50b	57.82	-36.91	-27.79	46.22	217
g75b	55.5	-21.19	-44.16	49.0	244
b00r	41.6	1.31	-43.27	43.3	272
b25r	29.0	24.11	-41.46	47.97	300
b50r	38.04	44.73	-27.29	52.41	329
b75r	49.48	70.07	-3.61	70.16	357



Ein und Ausgabe: Farbmetrisches Drucker-Reflektiv-System ORS20\_95a für relativen CIELAB-Buntton  $h^* = lab^*h^* = h_{ab}/360 = 329/360 = 0.913$

Daten für jede Farbe:

$lab^*ch^*$  und  $lab^*icu^*$

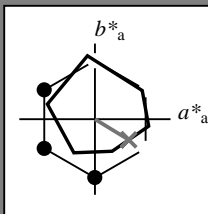
Elementar-Bunttontext:

$u^* = b50r$

Kontrastreduzierungsfaktor:

$c_R = 0.96$

Dreiecks-Helligkeit  $t^*$



ORS20_95a; adaptierte CIELAB-Daten					
	$L^*=L^*_a$	$a^*_a$	$b^*_a$	$C^*_{ab,a}$	$h^*_{ab,a}$
O <sub>Ma</sub>	48.75	62.56	37.91	73.15	31
Y <sub>Ma</sub>	90.92	-9.88	83.88	84.46	97
L <sub>Ma</sub>	52.69	-62.9	19.95	66.0	162
C <sub>Ma</sub>	59.61	-27.85	-44.43	52.45	238
V <sub>Ma</sub>	28.39	22.72	-42.42	48.13	298
M <sub>Ma</sub>	49.58	71.08	-9.19	71.67	353
N <sub>Ma</sub>	20.0	0.0	0.0	0.0	0
W <sub>Ma</sub>	95.0	0.0	0.0	0.0	0
R <sub>CIE</sub>	39.92	58.74	27.99	65.07	25
J <sub>CIE</sub>	81.26	-2.88	71.56	71.62	92
G <sub>CIE</sub>	52.23	-42.41	13.6	44.55	162
B <sub>CIE</sub>	30.57	1.41	-46.46	46.49	272

Daten für Maximalfarbe (Ma):

$LAB^*LAB^*_{Ma}$ : 38 45 -26

$LAB^*LCH^*_{Ma}$ : 38 52 329

$lab^*rgb^*_{Ma}$ : 1.0 0.0 1.0

$lab^*olv^*_{Ma}$ : 0.46 0.0 1.0

Dreiecks-Helligkeit  $t^*$

%Umfang

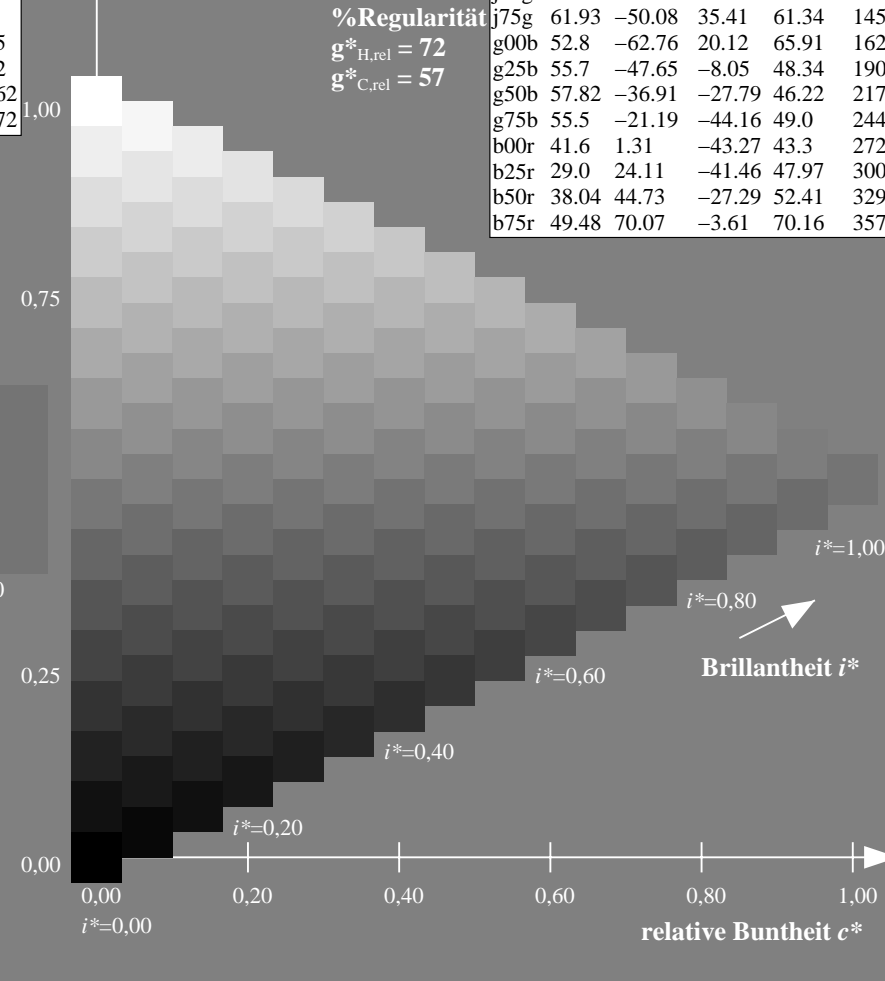
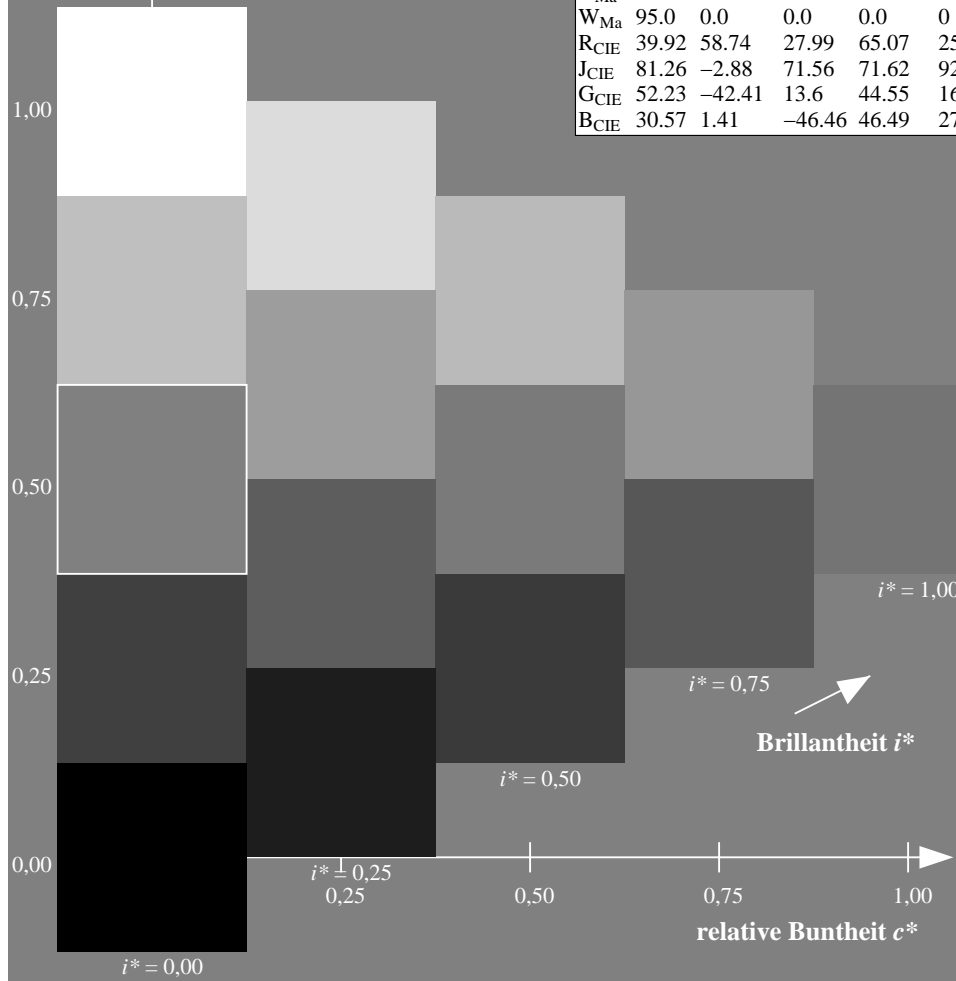
$u^*_{rel} = 83$

%Regularität

$g^*_{H,rel} = 72$

$g^*_{C,rel} = 57$

ORS20_95a; adaptierte CIELAB-Daten					
	$L^*=L^*_a$	$a^*_a$	$b^*_a$	$C^*_{ab,a}$	$h^*_{ab,a}$
r00j	48.88	63.91	30.45	70.79	25
r25j	55.85	50.36	45.65	67.97	42
r50j	65.45	33.86	56.12	65.54	59
r75j	75.19	17.13	66.73	68.89	76
j00g	87.03	-3.21	79.64	79.7	92
j25g	80.72	-24.03	66.82	71.01	110
j50g	70.64	-38.01	49.96	62.78	127
j75g	61.93	-50.08	35.41	61.34	145
g00b	52.8	-62.76	20.12	65.91	162
g25b	55.7	-47.65	-8.05	48.34	190
g50b	57.82	-36.91	-27.79	46.22	217
g75b	55.5	-21.19	-44.16	49.0	244
b00r	41.6	1.31	-43.27	43.3	272
b25r	29.0	24.11	-41.46	47.97	300
b50r	38.04	44.73	-27.29	52.41	329
b75r	49.48	70.07	-3.61	70.16	357



Ein und Ausgabe: Farbmetrisches Drucker-Reflektiv-System ORS20\_95a für relativen CIELAB-Buntton  $h^* = lab^*h^* = h_{ab}/360 = 357/360 = 0.992$

Daten für jede Farbe:

$lab^*ch^*$  und  $lab^*icu^*$

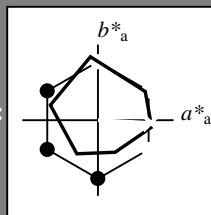
Elementar-Bunttonextext:

$u^* = b75r$

Kontrastreduzierungsfaktor:

$c_R = 0.96$

Dreiecks-Helligkeit  $i^*$



ORS20\_95a; adaptierte CIELAB-Daten

	$L^*=L^*_a$	$a^*_a$	$b^*_a$	$C^*_{ab,a}$	$h^*_{ab,a}$
O <sub>Ma</sub>	48.75	62.56	37.91	73.15	31
Y <sub>Ma</sub>	90.92	-9.88	83.88	84.46	97
L <sub>Ma</sub>	52.69	-62.9	19.95	66.0	162
C <sub>Ma</sub>	59.61	-27.85	-44.43	52.45	238
V <sub>Ma</sub>	28.39	22.72	-42.42	48.13	298
M <sub>Ma</sub>	49.58	71.08	-9.19	71.67	353
N <sub>Ma</sub>	20.0	0.0	0.0	0.0	0
W <sub>Ma</sub>	95.0	0.0	0.0	0.0	0
R <sub>CIE</sub>	39.92	58.74	27.99	65.07	25
J <sub>CIE</sub>	81.26	-2.88	71.56	71.62	92
G <sub>CIE</sub>	52.23	-42.41	13.6	44.55	162
B <sub>CIE</sub>	30.57	1.41	-46.46	46.49	272

Daten für Maximalfarbe (Ma):

$LAB^*LAB^*_{Ma}$ : 49 70 -3

$LAB^*LCH^*_{Ma}$ : 49 70 357

$lab^*rgb^*_{Ma}$ : 1.0 0.0 0.5

$lab^*olv^*_{Ma}$ : 1.0 0.0 0.88

Dreiecks-Helligkeit  $i^*$

%Umfang

$u^*_{rel} = 83$

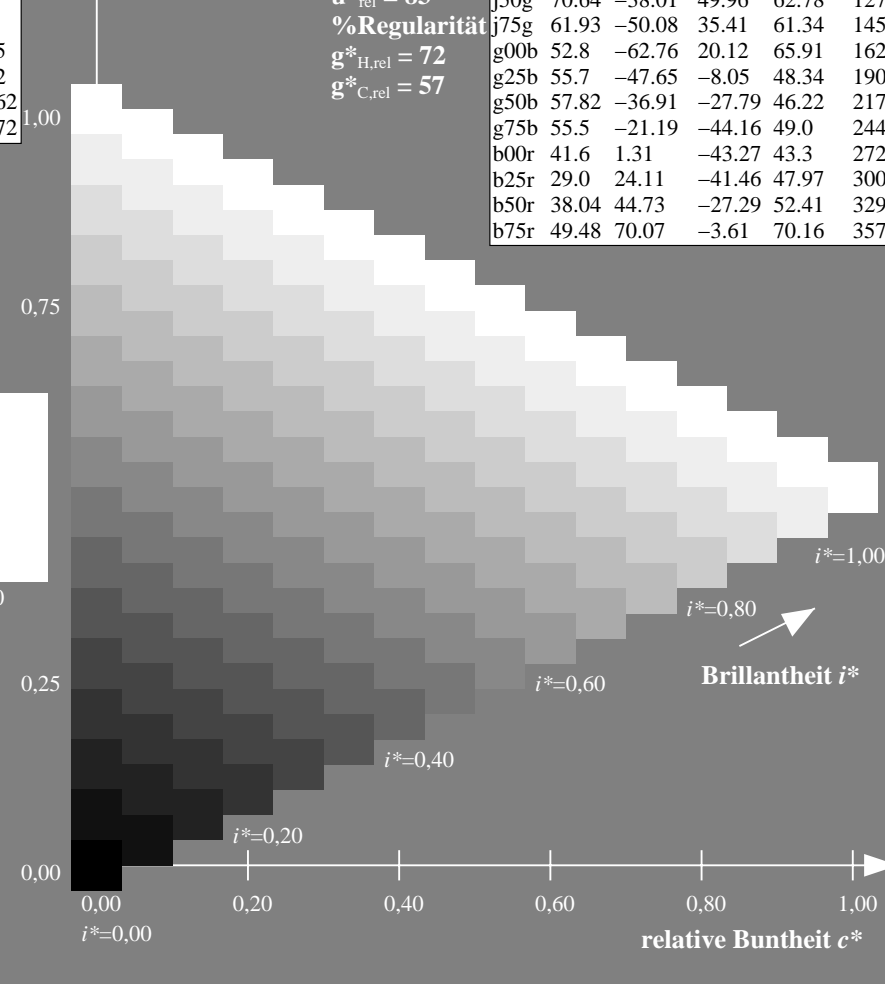
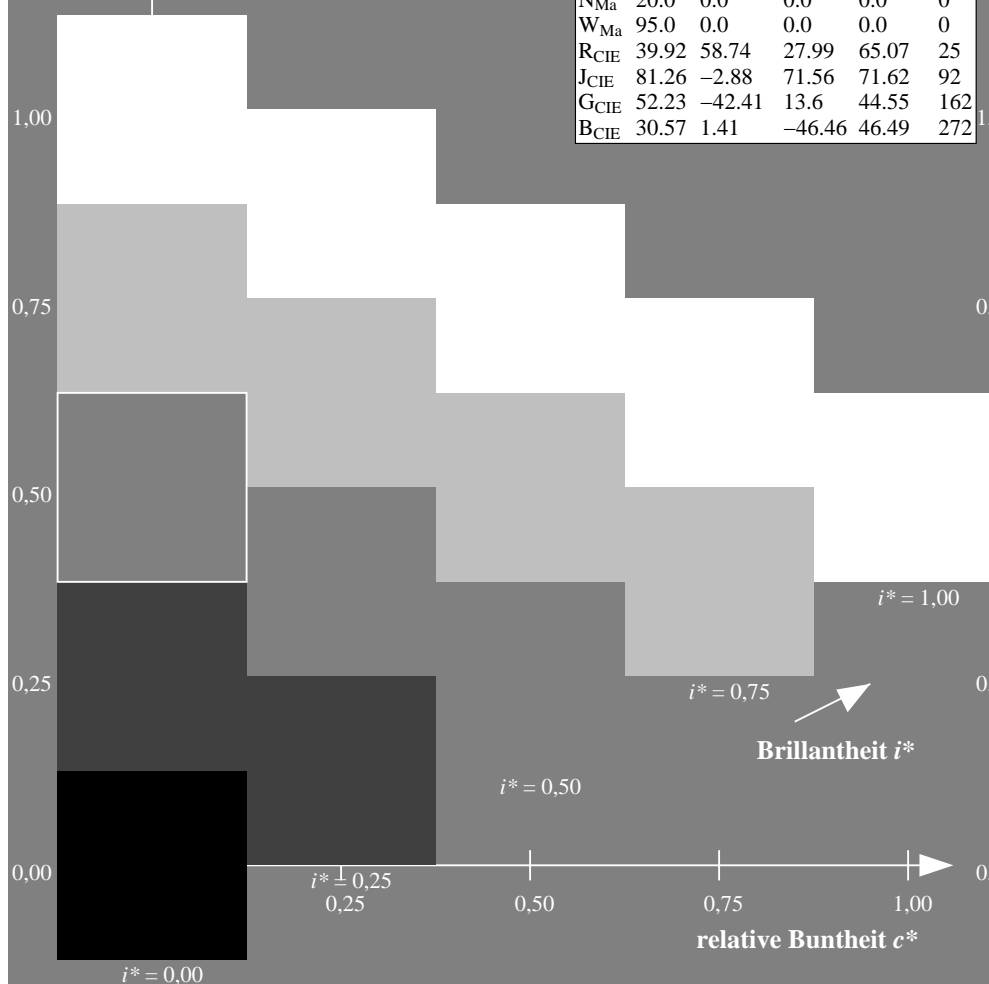
%Regularität

$g^*_{H,rel} = 72$

$g^*_{C,rel} = 57$

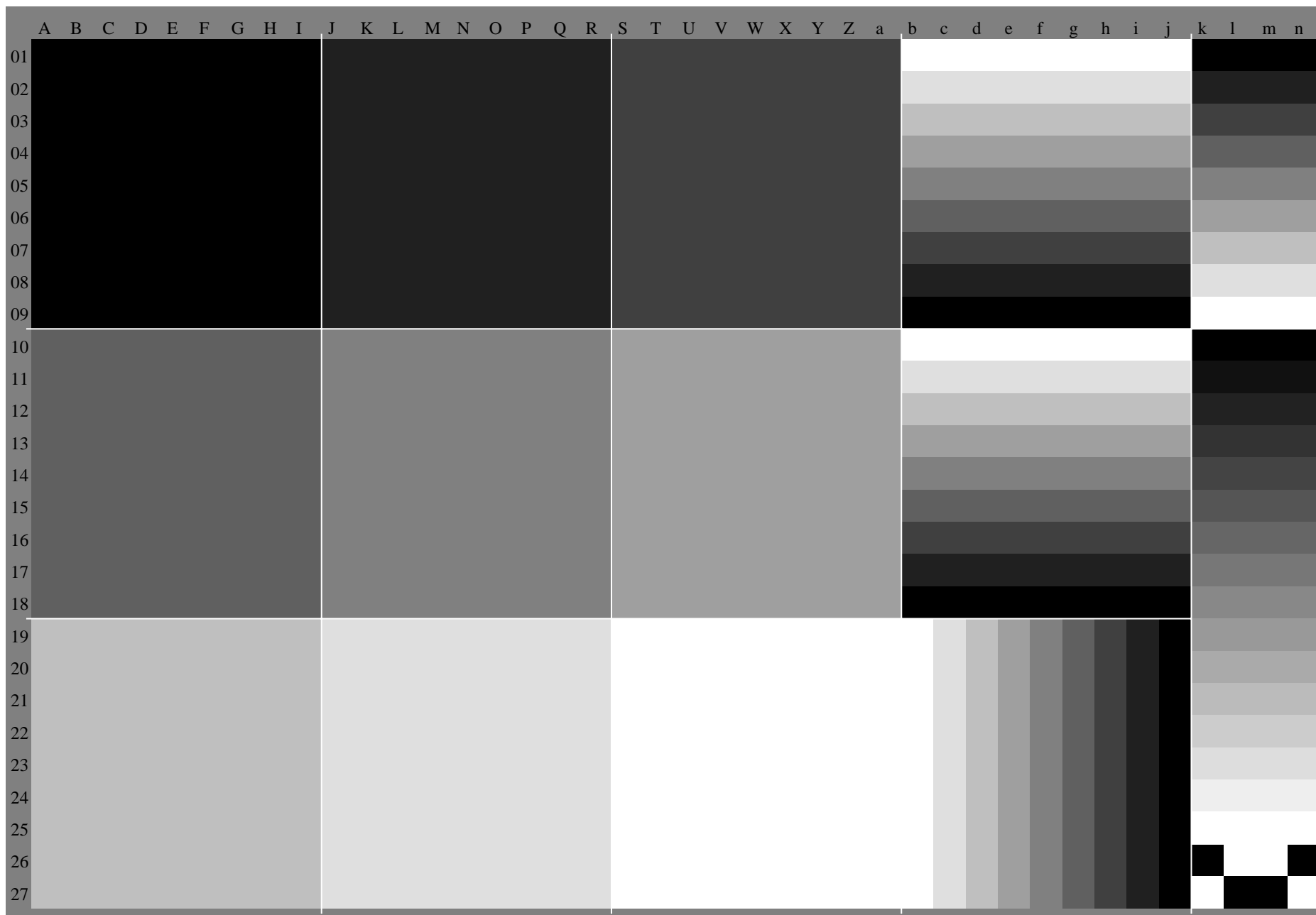
ORS20\_95a; adaptierte CIELAB-Daten

	$L^*=L^*_a$	$a^*_a$	$b^*_a$	$C^*_{ab,a}$	$h^*_{ab,a}$
r00j	48.88	63.91	30.45	70.79	25
r25j	55.85	50.36	45.65	67.97	42
r50j	65.45	33.86	56.12	65.54	59
r75j	75.19	17.13	66.73	68.89	76
j00g	87.03	-3.21	79.64	79.7	92
j25g	80.72	-24.03	66.82	71.01	110
j50g	70.64	-38.01	49.96	62.78	127
j75g	61.93	-50.08	35.41	61.34	145
g00b	52.8	-62.76	20.12	65.91	162
g25b	55.7	-47.65	-8.05	48.34	190
g50b	57.82	-36.91	-27.79	46.22	217
g75b	55.5	-21.19	-44.16	49.0	244
b00r	41.6	1.31	-43.27	43.3	272
b25r	29.0	24.11	-41.46	47.97	300
b50r	38.04	44.73	-27.29	52.41	329
b75r	49.48	70.07	-3.61	70.16	357



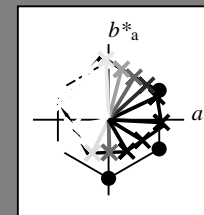
Siehe ähnliche Dateien: <http://www.ps.bam.de/Dg75/>; [www.ps.bam.de/Dg75/10L/L75G00NA.PS/.TXT](http://www.ps.bam.de/Dg75/10L/L75G00NA.PS/.TXT)  
Technische Information: [http://www.ps.bam.de/Version 2.1](http://www.ps.bam.de/Version2.1), io=1,1, ColSpx=0

BAM-Registrierung: 20080701-Dg75/10L/L75G00NA.PS/.TXTBAM-Material: Code=rh4ta  
Anwendung für Beurteilung und Messung von Drucker- oder Monitorsystemen



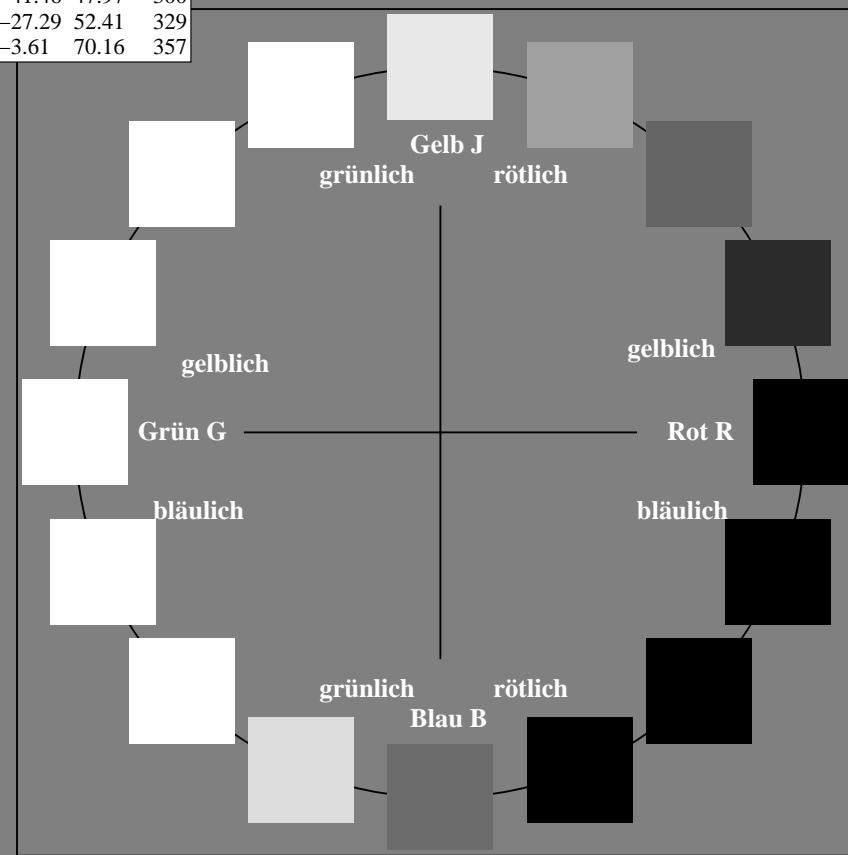
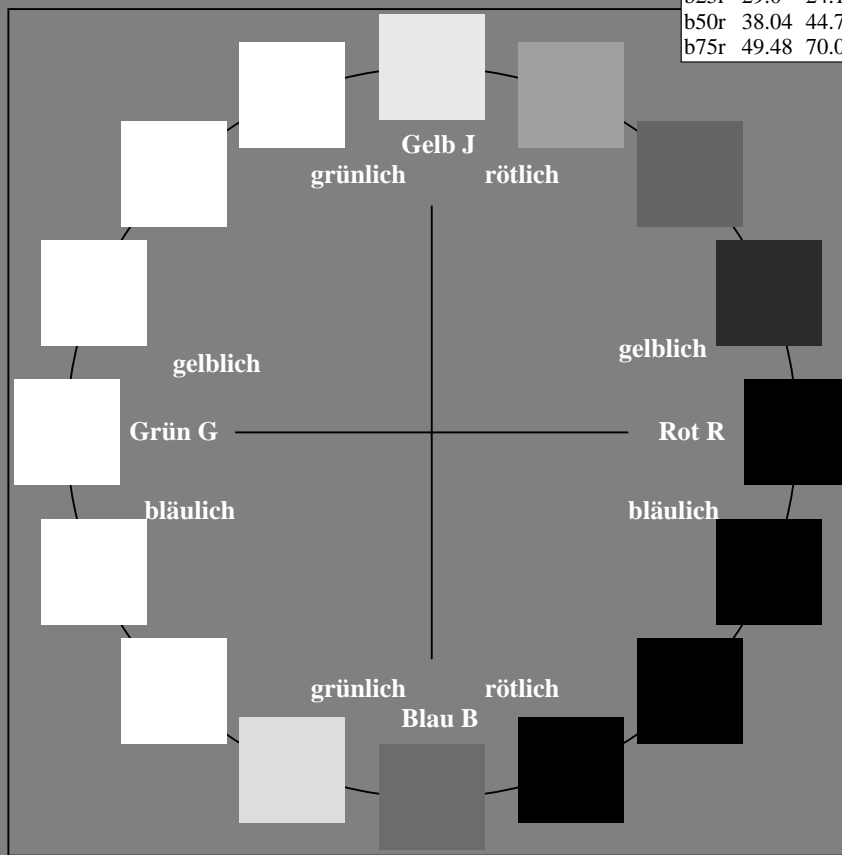
Ein und Ausgabe:  
Farbmetrisches Drucker-Reflektiv-System ORS20\_95a  
Daten für jede Farbe:  
*lab\*<sub>ich</sub>*\* und *lab\*<sub>icu</sub>*\*  
Elementar-Bunttontext:  
*u\** = 16 Buntttöne *r00j*, *r25j*, ..., *b75r*  
Kontrastreduzierungsfaktor:  
*c<sub>R</sub>* = 0.96

ORS20_95a; adaptierte CIELAB-Daten					
	<i>L*</i> = <i>L*</i> <sub>a</sub>	<i>a*</i> <sub>a</sub>	<i>b*</i> <sub>a</sub>	<i>C*</i> <sub>ab,a</sub>	<i>h*</i> <sub>ab,a</sub>
r00j	48.88	63.91	30.45	70.79	25
r25j	55.85	50.36	45.65	67.97	42
r50j	65.45	33.86	56.12	65.54	59
r75j	75.19	17.13	66.73	68.89	76
j00g	87.03	-3.21	79.64	79.7	92
j25g	80.72	-24.03	66.82	71.01	110
j50g	70.64	-38.01	49.96	62.78	127
j75g	61.93	-50.08	35.41	61.34	145
g00b	52.8	-62.76	20.12	65.91	162
g25b	55.7	-47.65	-8.05	48.34	190
g50b	57.82	-36.91	-27.79	46.22	217
g75b	55.5	-21.19	-44.16	49.0	244
b00r	41.6	1.31	-43.27	43.3	272
b25r	29.0	24.11	-41.46	47.97	300
b50r	38.04	44.73	-27.29	52.41	329
b75r	49.48	70.07	-3.61	70.16	357



%Umfang  
*u\**<sub>rel</sub> = 83  
%Regularität  
*g\**<sub>H,rel</sub> = 72  
*g\**<sub>C,rel</sub> = 57

ORS20_95a; adaptierte CIELAB-Daten					
	<i>L*</i> = <i>L*</i> <sub>a</sub>	<i>a*</i> <sub>a</sub>	<i>b*</i> <sub>a</sub>	<i>C*</i> <sub>ab,a</sub>	<i>h*</i> <sub>ab,a</sub>
O <sub>Ma</sub>	48.75	62.56	37.91	73.15	31
Y <sub>Ma</sub>	90.92	-9.88	83.88	84.46	97
L <sub>Ma</sub>	52.69	-62.9	19.95	66.0	162
C <sub>Ma</sub>	59.61	-27.85	-44.43	52.45	238
V <sub>Ma</sub>	28.39	22.72	-42.42	48.13	298
M <sub>Ma</sub>	49.58	71.08	-9.19	71.67	353
N <sub>Ma</sub>	20.0	0.0	0.0	0.0	0
W <sub>Ma</sub>	95.0	0.0	0.0	0.0	0
R <sub>CIE</sub>	39.92	58.74	27.99	65.07	25
J <sub>CIE</sub>	81.26	-2.88	71.56	71.62	92
G <sub>CIE</sub>	52.23	-42.41	13.6	44.55	162
B <sub>CIE</sub>	30.57	1.41	-46.46	46.49	272



Ein und Ausgabe: Farbmétrisches Drucker-Reflektiv-System ORS20\_95a für relativen CIELAB-Buntton  $h^* = lab^*h^* = h_{ab}/360 = 25/360 = 0.071$

Daten für jede Farbe:

$lab^*ch^*$  und  $lab^*icu^*$

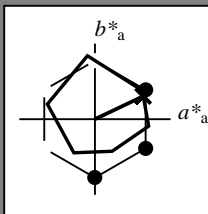
Elementar-Bunttoncontext:

$u^* = r00j$

Kontrastreduzierungsfaktor:

$c_R = 0.96$

Dreiecks-Helligkeit  $t^*$



ORS20\_95a; adaptierte CIELAB-Daten

	$L^*=L_a^*$	$a_a^*$	$b_a^*$	$C_{ab,a}^*$	$h_{ab,a}^*$
O <sub>Ma</sub>	48.75	62.56	37.91	73.15	31
Y <sub>Ma</sub>	90.92	-9.88	83.88	84.46	97
L <sub>Ma</sub>	52.69	-62.9	19.95	66.0	162
C <sub>Ma</sub>	59.61	-27.85	-44.43	52.45	238
V <sub>Ma</sub>	28.39	22.72	-42.42	48.13	298
M <sub>Ma</sub>	49.58	71.08	-9.19	71.67	353
N <sub>Ma</sub>	20.0	0.0	0.0	0.0	0
W <sub>Ma</sub>	95.0	0.0	0.0	0.0	0
R <sub>CIE</sub>	39.92	58.74	27.99	65.07	25
J <sub>CIE</sub>	81.26	-2.88	71.56	71.62	92
G <sub>CIE</sub>	52.23	-42.41	13.6	44.55	162
B <sub>CIE</sub>	30.57	1.41	-46.46	46.49	272

Daten für Maximalfarbe (Ma):

$LAB^*LAB^*Ma$ : 49 64 30

$LAB^*LCH^*Ma$ : 49 71 25

$lab^*rgb^*Ma$ : 1.0 0.0 0.0

$lab^*olv^*Ma$ : 1.0 0.0 0.16

Dreiecks-Helligkeit  $t^*$

%Umfang

$u^*_{rel} = 83$

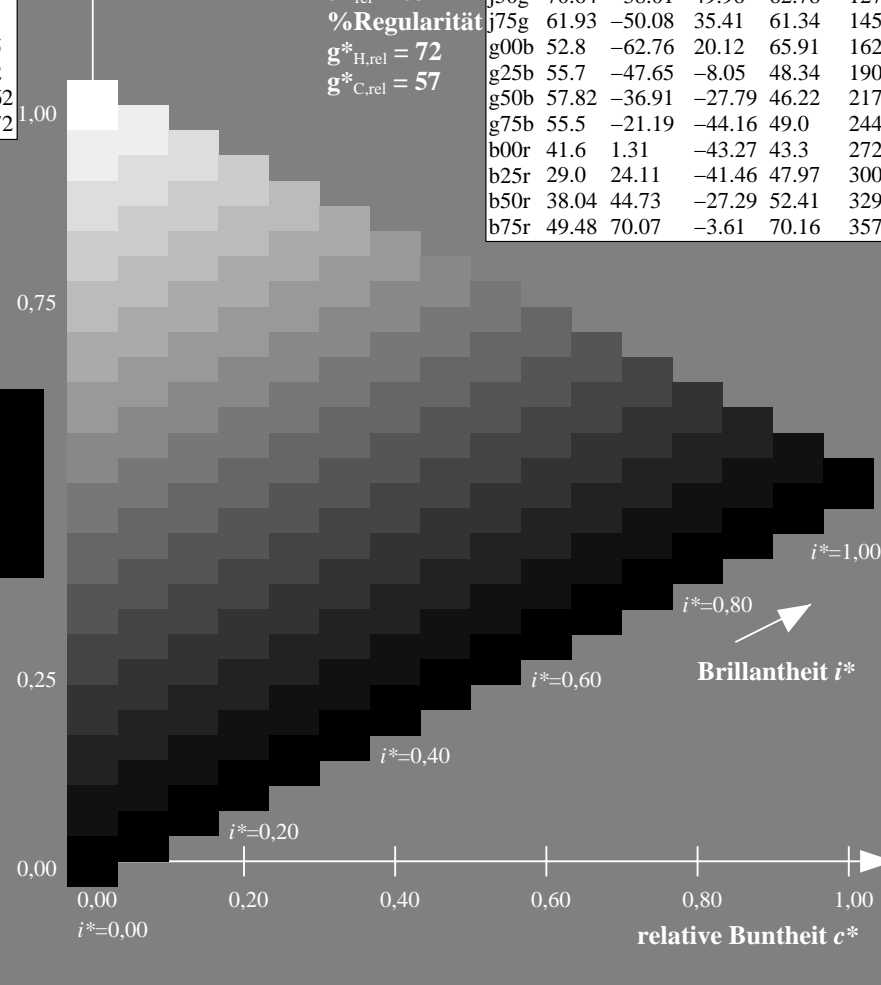
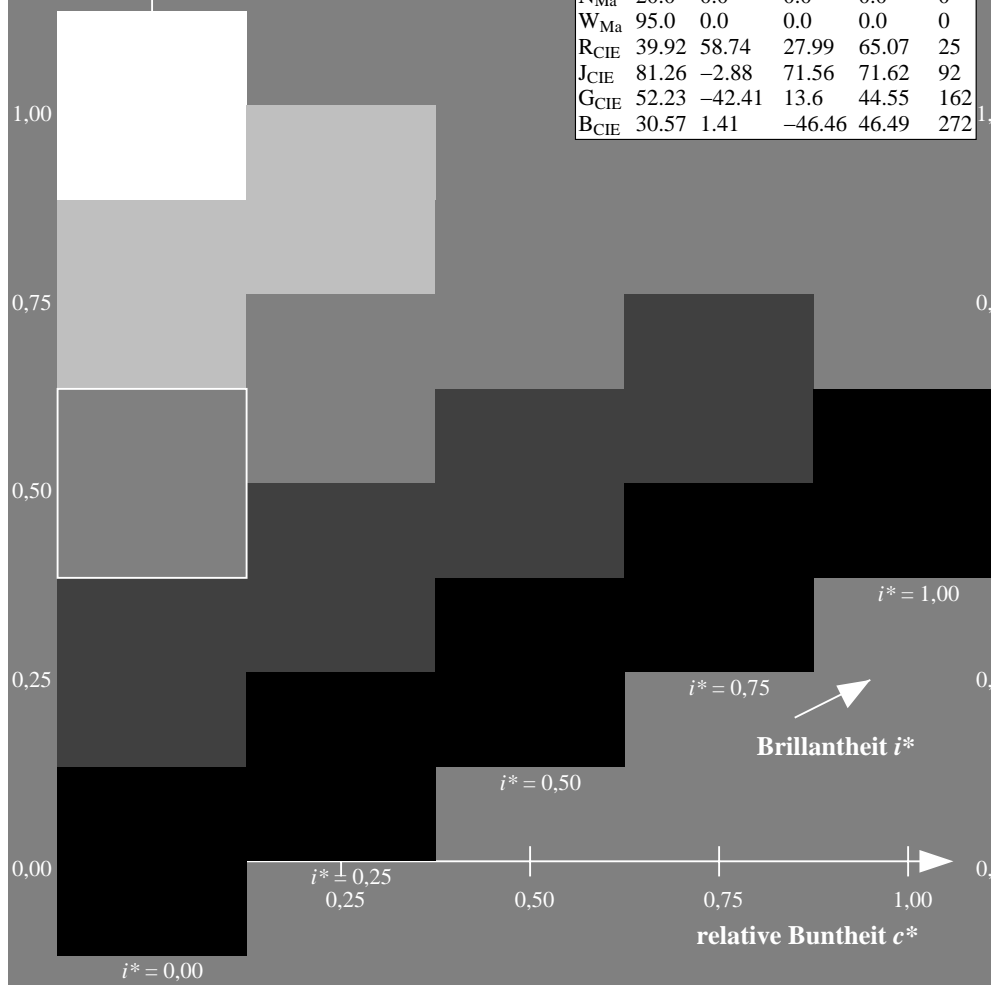
%Regularität

$g^*_{H,rel} = 72$

$g^*_{C,rel} = 57$

ORS20\_95a; adaptierte CIELAB-Daten

	$L^*=L_a^*$	$a_a^*$	$b_a^*$	$C_{ab,a}^*$	$h_{ab,a}^*$
r00j	48.88	63.91	30.45	70.79	25
r25j	55.85	50.36	45.65	67.97	42
r50j	65.45	33.86	56.12	65.54	59
r75j	75.19	17.13	66.73	68.89	76
j00g	87.03	-3.21	79.64	79.7	92
j25g	80.72	-24.03	66.82	71.01	110
j50g	70.64	-38.01	49.96	62.78	127
j75g	61.93	-50.08	35.41	61.34	145
g00b	52.8	-62.76	20.12	65.91	162
g25b	55.7	-47.65	-8.05	48.34	190
g50b	57.82	-36.91	-27.79	46.22	217
g75b	55.5	-21.19	-44.16	49.0	244
b00r	41.6	1.31	-43.27	43.3	272
b25r	29.0	24.11	-41.46	47.97	300
b50r	38.04	44.73	-27.29	52.41	329
b75r	49.48	70.07	-3.61	70.16	357





Ein und Ausgabe: Farbmetrisches Drucker-Reflektiv-System ORS20\_95a für relativen CIELAB-Buntton  $h^* = lab^*h^* = h_{ab}/360 = 42/360 = 0.117$

Daten für jede Farbe:

$lab^*ch^*$  und  $lab^*icu^*$

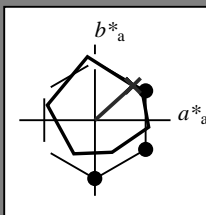
Elementar-Bunttontext:

$u^* = r25j$

Kontrastreduzierungsfaktor:

$c_R = 0.96$

Dreiecks-Helligkeit  $i^*$



ORS20_95a; adaptierte CIELAB-Daten					
	$L^*=L^*_a$	$a^*_a$	$b^*_a$	$C^*_{ab,a}$	$h^*_{ab,a}$
O <sub>Ma</sub>	48.75	62.56	37.91	73.15	31
Y <sub>Ma</sub>	90.92	-9.88	83.88	84.46	97
L <sub>Ma</sub>	52.69	-62.9	19.95	66.0	162
C <sub>Ma</sub>	59.61	-27.85	-44.43	52.45	238
V <sub>Ma</sub>	28.39	22.72	-42.42	48.13	298
M <sub>Ma</sub>	49.58	71.08	-9.19	71.67	353
N <sub>Ma</sub>	20.0	0.0	0.0	0.0	0
W <sub>Ma</sub>	95.0	0.0	0.0	0.0	0
R <sub>CIE</sub>	39.92	58.74	27.99	65.07	25
J <sub>CIE</sub>	81.26	-2.88	71.56	71.62	92
G <sub>CIE</sub>	52.23	-42.41	13.6	44.55	162
B <sub>CIE</sub>	30.57	1.41	-46.46	46.49	272

Daten für Maximalfarbe (Ma):

$LAB^*LAB^*_{Ma}$ : 56 50 46

$LAB^*LCH^*_{Ma}$ : 56 68 42

$lab^*rgb^*_{Ma}$ : 1.0 0.25 0.0

$lab^*olv^*_{Ma}$ : 1.0 0.17 0.0

Dreiecks-Helligkeit  $i^*$

%Umfang

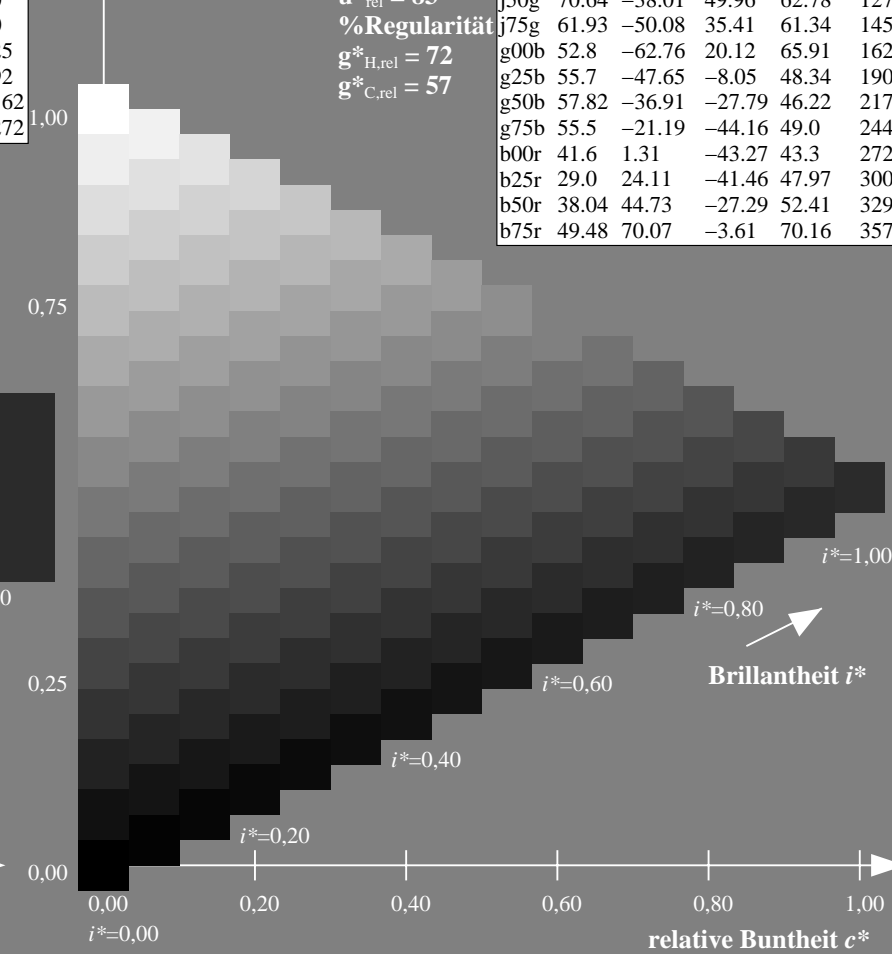
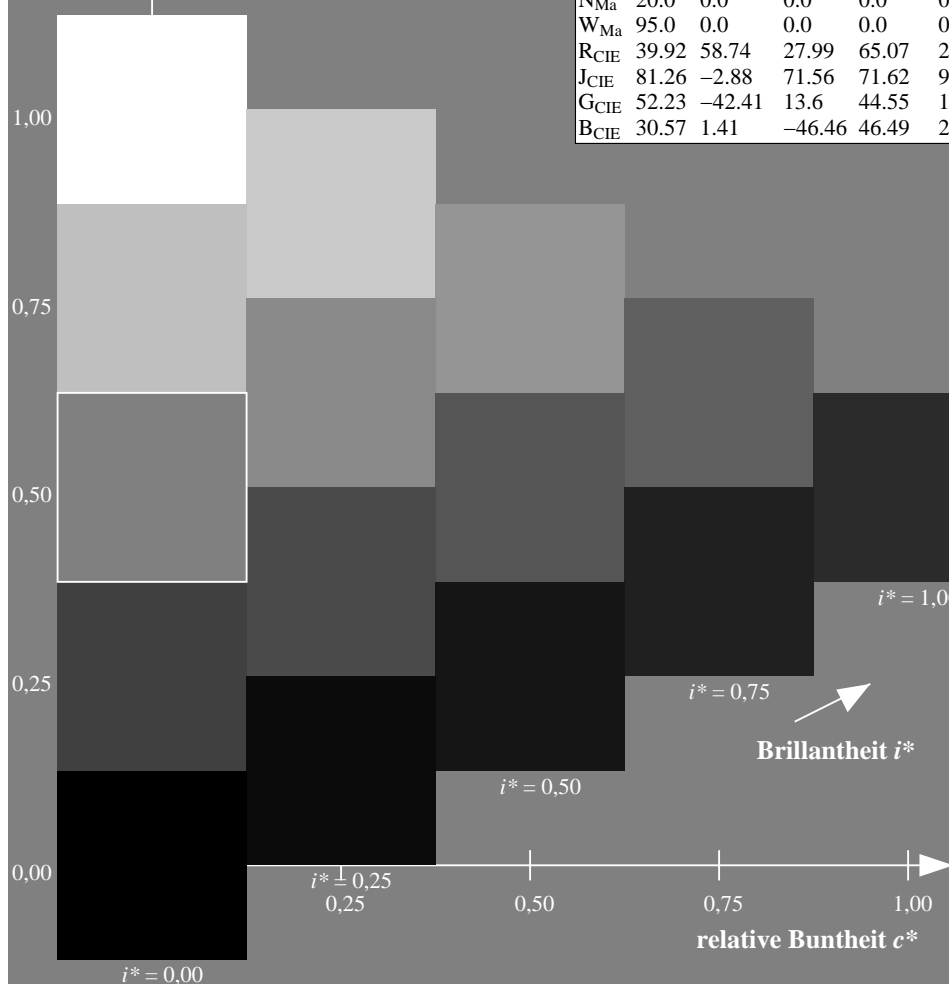
$u^*_{rel} = 83$

%Regularität

$g^*_{H,rel} = 72$

$g^*_{C,rel} = 57$

ORS20_95a; adaptierte CIELAB-Daten					
	$L^*=L^*_a$	$a^*_a$	$b^*_a$	$C^*_{ab,a}$	$h^*_{ab,a}$
r00j	48.88	63.91	30.45	70.79	25
r25j	55.85	50.36	45.65	67.97	42
r50j	65.45	33.86	56.12	65.54	59
r75j	75.19	17.13	66.73	68.89	76
j00g	87.03	-3.21	79.64	79.7	92
j25g	80.72	-24.03	66.82	71.01	110
j50g	70.64	-38.01	49.96	62.78	127
j75g	61.93	-50.08	35.41	61.34	145
g00b	52.8	-62.76	20.12	65.91	162
g25b	55.7	-47.65	-8.05	48.34	190
g50b	57.82	-36.91	-27.79	46.22	217
g75b	55.5	-21.19	-44.16	49.0	244
b00r	41.6	1.31	-43.27	43.3	272
b25r	29.0	24.11	-41.46	47.97	300
b50r	38.04	44.73	-27.29	52.41	329
b75r	49.48	70.07	-3.61	70.16	357



Ein und Ausgabe: Farbmetrisches Drucker-Reflektiv-System ORS20\_95a für relativen CIELAB-Buntton  $h^* = lab^*h^* = h_{ab}/360 = 59/360 = 0.164$

Daten für jede Farbe:

$lab^*ch^*$  und  $lab^*icu^*$

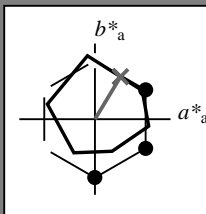
Elementar-Bunttonext:

$u^* = r50j$

Kontrastreduzierungsfaktor:

$c_R = 0.96$

Dreiecks-Helligkeit  $i^*$



ORS20\_95a; adaptierte CIELAB-Daten

	$L^*=L^*_a$	$a^*_a$	$b^*_a$	$C^*_{ab,a}$	$h^*_{ab,a}$
O <sub>Ma</sub>	48.75	62.56	37.91	73.15	31
Y <sub>Ma</sub>	90.92	-9.88	83.88	84.46	97
L <sub>Ma</sub>	52.69	-62.9	19.95	66.0	162
C <sub>Ma</sub>	59.61	-27.85	-44.43	52.45	238
V <sub>Ma</sub>	28.39	22.72	-42.42	48.13	298
M <sub>Ma</sub>	49.58	71.08	-9.19	71.67	353
N <sub>Ma</sub>	20.0	0.0	0.0	0.0	0
W <sub>Ma</sub>	95.0	0.0	0.0	0.0	0
R <sub>CIE</sub>	39.92	58.74	27.99	65.07	25
J <sub>CIE</sub>	81.26	-2.88	71.56	71.62	92
G <sub>CIE</sub>	52.23	-42.41	13.6	44.55	162
B <sub>CIE</sub>	30.57	1.41	-46.46	46.49	272

Daten für Maximalfarbe (Ma):

$LAB^*LAB^*_{Ma}$ : 65 34 56

$LAB^*LCH^*_{Ma}$ : 65 66 59

$lab^*rgb^*_{Ma}$ : 1.0 0.5 0.0

$lab^*olv^*_{Ma}$ : 1.0 0.4 0.0

Dreiecks-Helligkeit  $i^*$

%Umfang

$u^*_{rel} = 83$

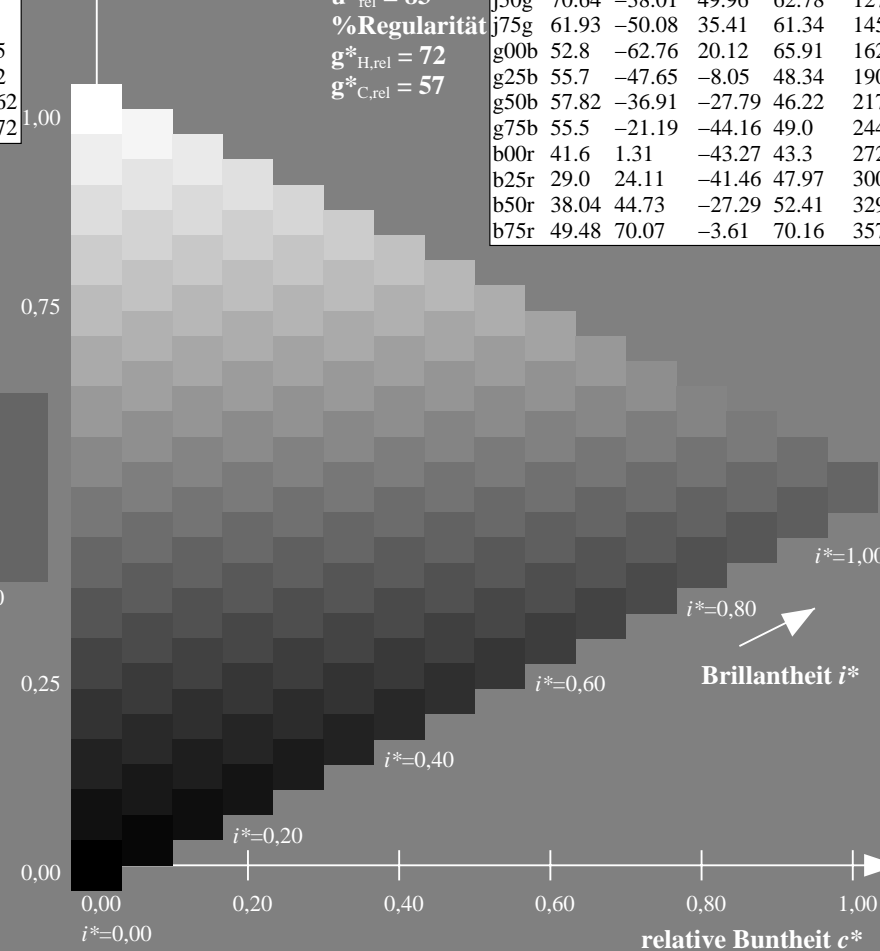
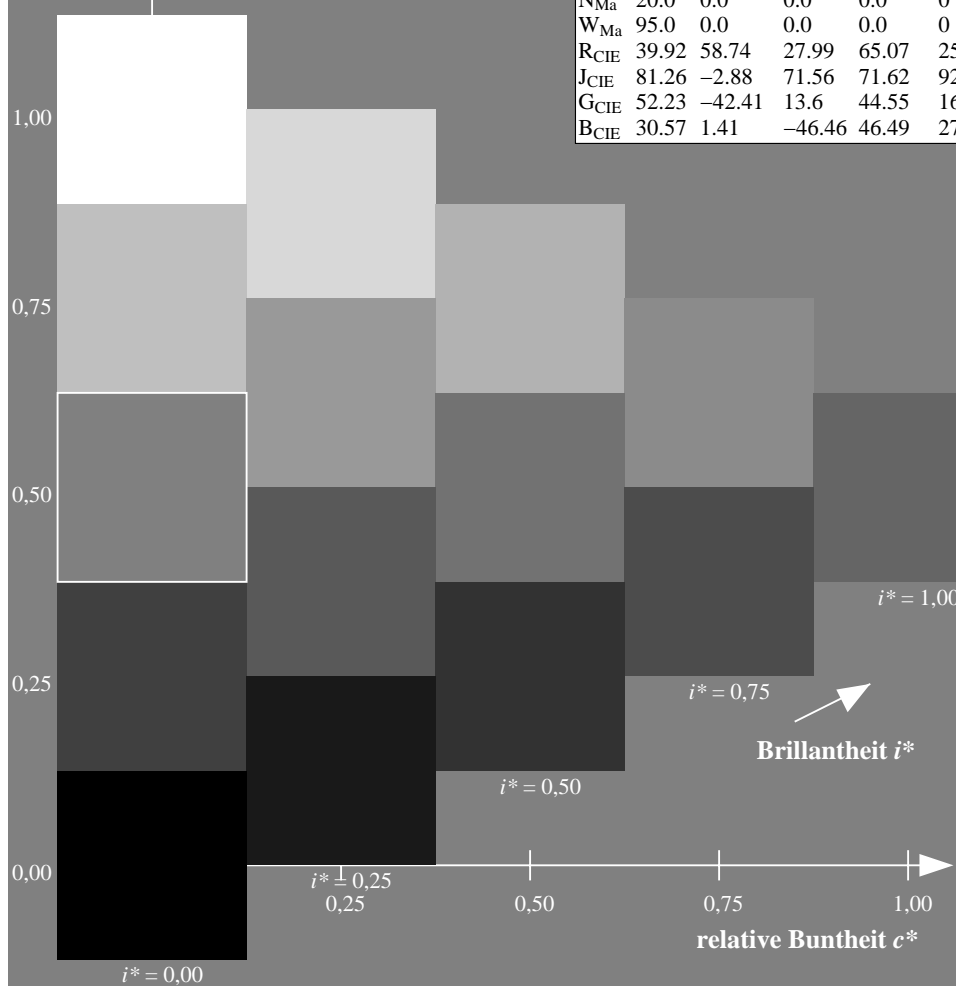
%Regularität

$g^*_{H,rel} = 72$

$g^*_{C,rel} = 57$

ORS20\_95a; adaptierte CIELAB-Daten

	$L^*=L^*_a$	$a^*_a$	$b^*_a$	$C^*_{ab,a}$	$h^*_{ab,a}$
r00j	48.88	63.91	30.45	70.79	25
r25j	55.85	50.36	45.65	67.97	42
r50j	65.45	33.86	56.12	65.54	59
r75j	75.19	17.13	66.73	68.89	76
j00g	87.03	-3.21	79.64	79.7	92
j25g	80.72	-24.03	66.82	71.01	110
j50g	70.64	-38.01	49.96	62.78	127
j75g	61.93	-50.08	35.41	61.34	145
g00b	52.8	-62.76	20.12	65.91	162
g25b	55.7	-47.65	-8.05	48.34	190
g50b	57.82	-36.91	-27.79	46.22	217
g75b	55.5	-21.19	-44.16	49.0	244
b00r	41.6	1.31	-43.27	43.3	272
b25r	29.0	24.11	-41.46	47.97	300
b50r	38.04	44.73	-27.29	52.41	329
b75r	49.48	70.07	-3.61	70.16	357



Ein und Ausgabe: Farbmetrisches Drucker-Reflektiv-System ORS20\_95a für relativen CIELAB-Buntton  $h^* = lab^*h^* = h_{ab}/360 = 76/360 = 0.21$

Daten für jede Farbe:

$lab^*ch^*$  und  $lab^*icu^*$

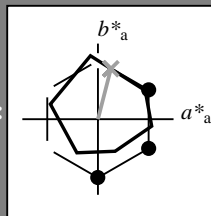
Elementar-Bunttontext:

$u^* = r75j$

Kontrastreduzierungsfaktor:

$c_R = 0.96$

Dreiecks-Helligkeit  $i^*$



ORS20\_95a; adaptierte CIELAB-Daten

	$L^*=L_a^*$	$a_a^*$	$b_a^*$	$C_{ab,a}^*$	$h_{ab,a}^*$
O <sub>Ma</sub>	48.75	62.56	37.91	73.15	31
Y <sub>Ma</sub>	90.92	-9.88	83.88	84.46	97
L <sub>Ma</sub>	52.69	-62.9	19.95	66.0	162
C <sub>Ma</sub>	59.61	-27.85	-44.43	52.45	238
V <sub>Ma</sub>	28.39	22.72	-42.42	48.13	298
M <sub>Ma</sub>	49.58	71.08	-9.19	71.67	353
N <sub>Ma</sub>	20.0	0.0	0.0	0.0	0
W <sub>Ma</sub>	95.0	0.0	0.0	0.0	0
R <sub>CIE</sub>	39.92	58.74	27.99	65.07	25
J <sub>CIE</sub>	81.26	-2.88	71.56	71.62	92
G <sub>CIE</sub>	52.23	-42.41	13.6	44.55	162
B <sub>CIE</sub>	30.57	1.41	-46.46	46.49	272

Daten für Maximalfarbe (Ma):

$LAB^*LAB^*Ma$ : 75 17 67

$LAB^*LCH^*Ma$ : 75 69 76

$lab^*rgb^*Ma$ : 1.0 0.75 0.0

$lab^*olv^*Ma$ : 1.0 0.63 0.0

Dreiecks-Helligkeit  $i^*$

%Umfang

$u^*_{rel} = 83$

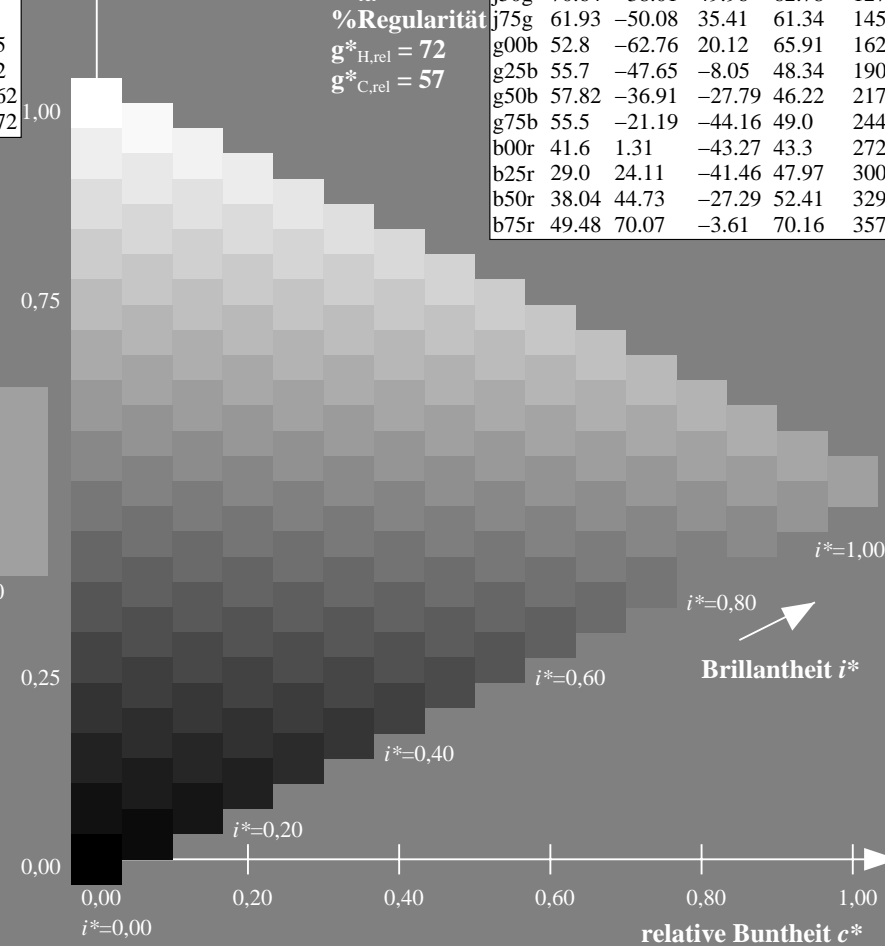
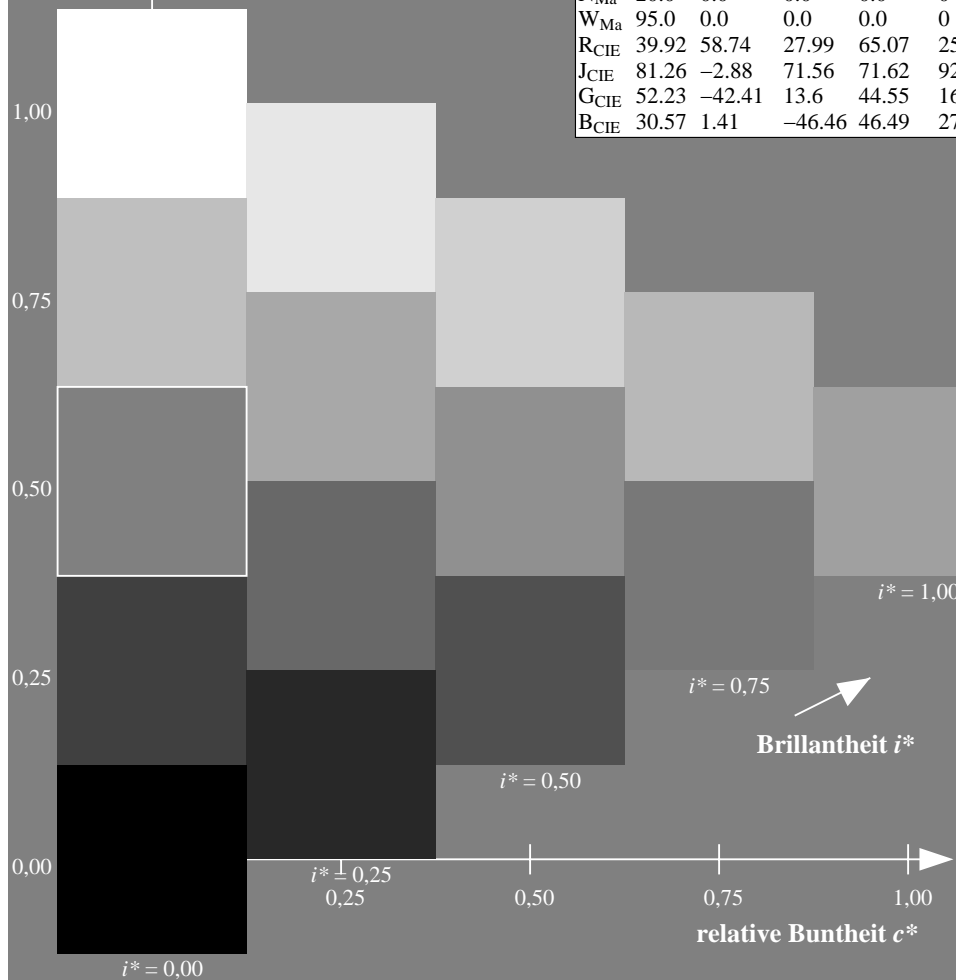
%Regularität

$g^*_{H,rel} = 72$

$g^*_{C,rel} = 57$

ORS20\_95a; adaptierte CIELAB-Daten

	$L^*=L_a^*$	$a_a^*$	$b_a^*$	$C_{ab,a}^*$	$h_{ab,a}^*$
r00j	48.88	63.91	30.45	70.79	25
r25j	55.85	50.36	45.65	67.97	42
r50j	65.45	33.86	56.12	65.54	59
r75j	75.19	17.13	66.73	68.89	76
j00g	87.03	-3.21	79.64	79.7	92
j25g	80.72	-24.03	66.82	71.01	110
j50g	70.64	-38.01	49.96	62.78	127
j75g	61.93	-50.08	35.41	61.34	145
g00b	52.8	-62.76	20.12	65.91	162
g25b	55.7	-47.65	-8.05	48.34	190
g50b	57.82	-36.91	-27.79	46.22	217
g75b	55.5	-21.19	-44.16	49.0	244
b00r	41.6	1.31	-43.27	43.3	272
b25r	29.0	24.11	-41.46	47.97	300
b50r	38.04	44.73	-27.29	52.41	329
b75r	49.48	70.07	-3.61	70.16	357



Ein und Ausgabe: Farbmetrisches Drucker-Reflektiv-System ORS20\_95a für relativen CIELAB-Buntton  $h^* = lab^*h^* = h_{ab}/360 = 92/360 = 0.256$

Daten für jede Farbe:

$lab^*ch^*$  und  $lab^*icu^*$

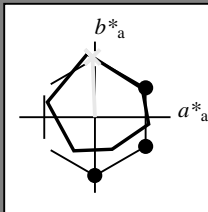
Elementar-Bunttonext:

$u^* = j00g$

Kontrastreduzierungsfaktor:

$c_R = 0.96$

Dreiecks-Helligkeit  $i^*$



ORS20\_95a; adaptierte CIELAB-Daten

	$L^*=L^*_a$	$a^*_a$	$b^*_a$	$C^*_{ab,a}$	$h^*_{ab,a}$
O <sub>Ma</sub>	48.75	62.56	37.91	73.15	31
Y <sub>Ma</sub>	90.92	-9.88	83.88	84.46	97
L <sub>Ma</sub>	52.69	-62.9	19.95	66.0	162
C <sub>Ma</sub>	59.61	-27.85	-44.43	52.45	238
V <sub>Ma</sub>	28.39	22.72	-42.42	48.13	298
M <sub>Ma</sub>	49.58	71.08	-9.19	71.67	353
N <sub>Ma</sub>	20.0	0.0	0.0	0.0	0
W <sub>Ma</sub>	95.0	0.0	0.0	0.0	0
R <sub>CIE</sub>	39.92	58.74	27.99	65.07	25
J <sub>CIE</sub>	81.26	-2.88	71.56	71.62	92
G <sub>CIE</sub>	52.23	-42.41	13.6	44.55	162
B <sub>CIE</sub>	30.57	1.41	-46.46	46.49	272

Daten für Maximalfarbe (Ma):

$LAB^*LAB^*_{Ma}$ : 87 -2 80

$LAB^*LCH^*_{Ma}$ : 87 80 92

$lab^*rgb^*_{Ma}$ : 1.0 1.0 0.0

$lab^*olv^*_{Ma}$ : 1.0 0.91 0.0

Dreiecks-Helligkeit  $i^*$

%Umfang

$u^*_{rel} = 83$

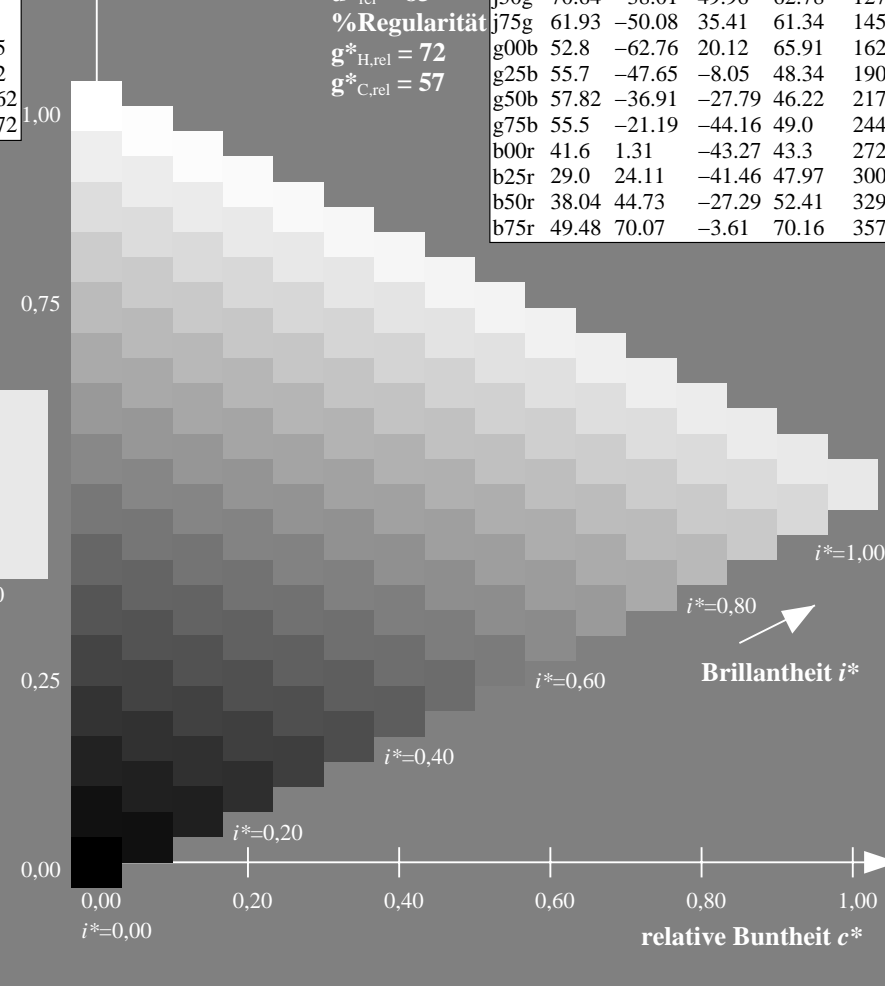
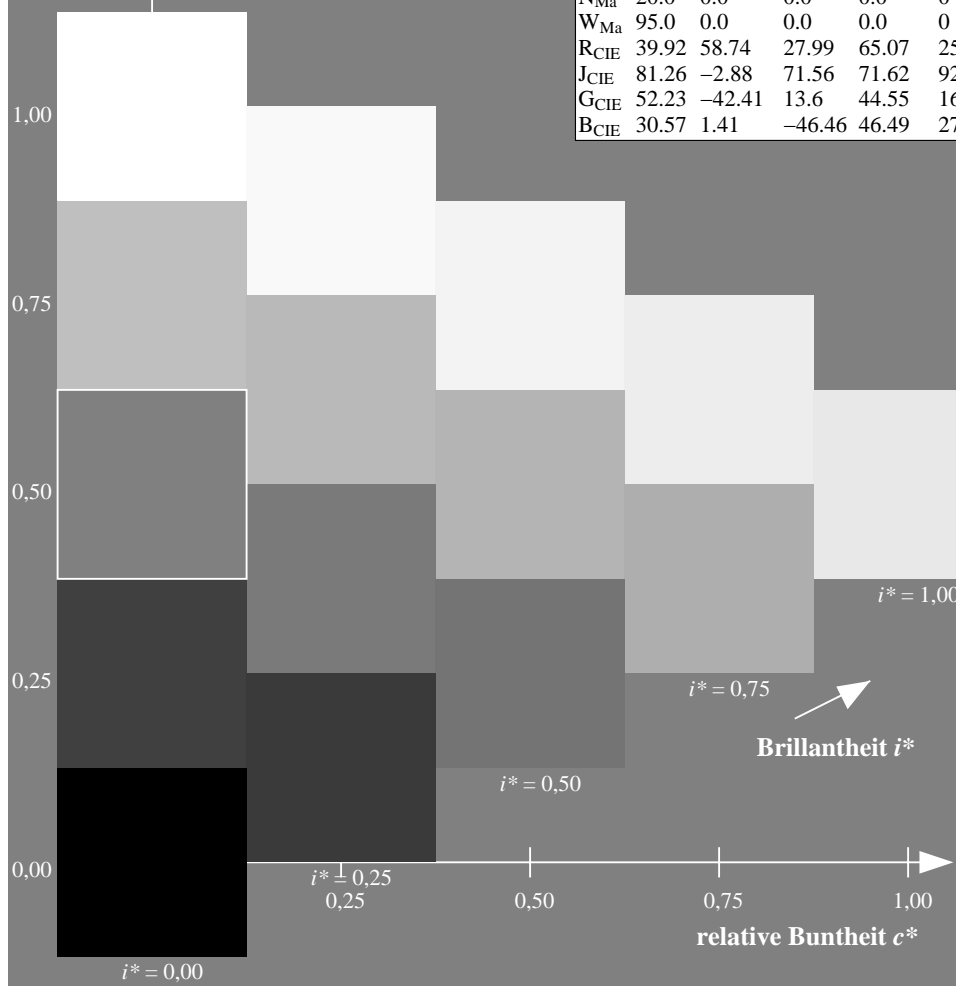
%Regularität

$g^*_{H,rel} = 72$

$g^*_{C,rel} = 57$

ORS20\_95a; adaptierte CIELAB-Daten

	$L^*=L^*_a$	$a^*_a$	$b^*_a$	$C^*_{ab,a}$	$h^*_{ab,a}$
r00j	48.88	63.91	30.45	70.79	25
r25j	55.85	50.36	45.65	67.97	42
r50j	65.45	33.86	56.12	65.54	59
r75j	75.19	17.13	66.73	68.89	76
j00g	87.03	-3.21	79.64	79.7	92
j25g	80.72	-24.03	66.82	71.01	110
j50g	70.64	-38.01	49.96	62.78	127
j75g	61.93	-50.08	35.41	61.34	145
g00b	52.8	-62.76	20.12	65.91	162
g25b	55.7	-47.65	-8.05	48.34	190
g50b	57.82	-36.91	-27.79	46.22	217
g75b	55.5	-21.19	-44.16	49.0	244
b00r	41.6	1.31	-43.27	43.3	272
b25r	29.0	24.11	-41.46	47.97	300
b50r	38.04	44.73	-27.29	52.41	329
b75r	49.48	70.07	-3.61	70.16	357



Ein und Ausgabe: Farbmetrisches Drucker-Reflektiv-System ORS20\_95a für relativen CIELAB-Buntton  $h^* = lab^*h^* = h_{ab}/360 = 110/360 = 0.305$

Daten für jede Farbe:

$lab^*ch^*$  und  $lab^*icu^*$

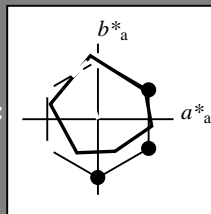
Elementar-Bunttonext:

$u^* = j25g$

Kontrastreduzierungsfaktor:

$c_R = 0.96$

Dreiecks-Helligkeit  $i^*$



ORS20_95a; adaptierte CIELAB-Daten					
	$L^*=L^*_a$	$a^*_a$	$b^*_a$	$C^*_{ab,a}$	$h^*_{ab,a}$
O <sub>Ma</sub>	48.75	62.56	37.91	73.15	31
Y <sub>Ma</sub>	90.92	-9.88	83.88	84.46	97
L <sub>Ma</sub>	52.69	-62.9	19.95	66.0	162
C <sub>Ma</sub>	59.61	-27.85	-44.43	52.45	238
V <sub>Ma</sub>	28.39	22.72	-42.42	48.13	298
M <sub>Ma</sub>	49.58	71.08	-9.19	71.67	353
N <sub>Ma</sub>	20.0	0.0	0.0	0.0	0
W <sub>Ma</sub>	95.0	0.0	0.0	0.0	0
R <sub>CIE</sub>	39.92	58.74	27.99	65.07	25
J <sub>CIE</sub>	81.26	-2.88	71.56	71.62	92
G <sub>CIE</sub>	52.23	-42.41	13.6	44.55	162
B <sub>CIE</sub>	30.57	1.41	-46.46	46.49	272

Daten für Maximalfarbe (Ma):

$LAB^*LAB^*_{Ma}$ : 81 -23 67

$LAB^*LCH^*_{Ma}$ : 81 71 110

$lab^*rgb^*_{Ma}$ : 0.75 1.0 0.0

$lab^*olv^*_{Ma}$ : 0.73 1.0 0.0

Dreiecks-Helligkeit  $i^*$

%Umfang

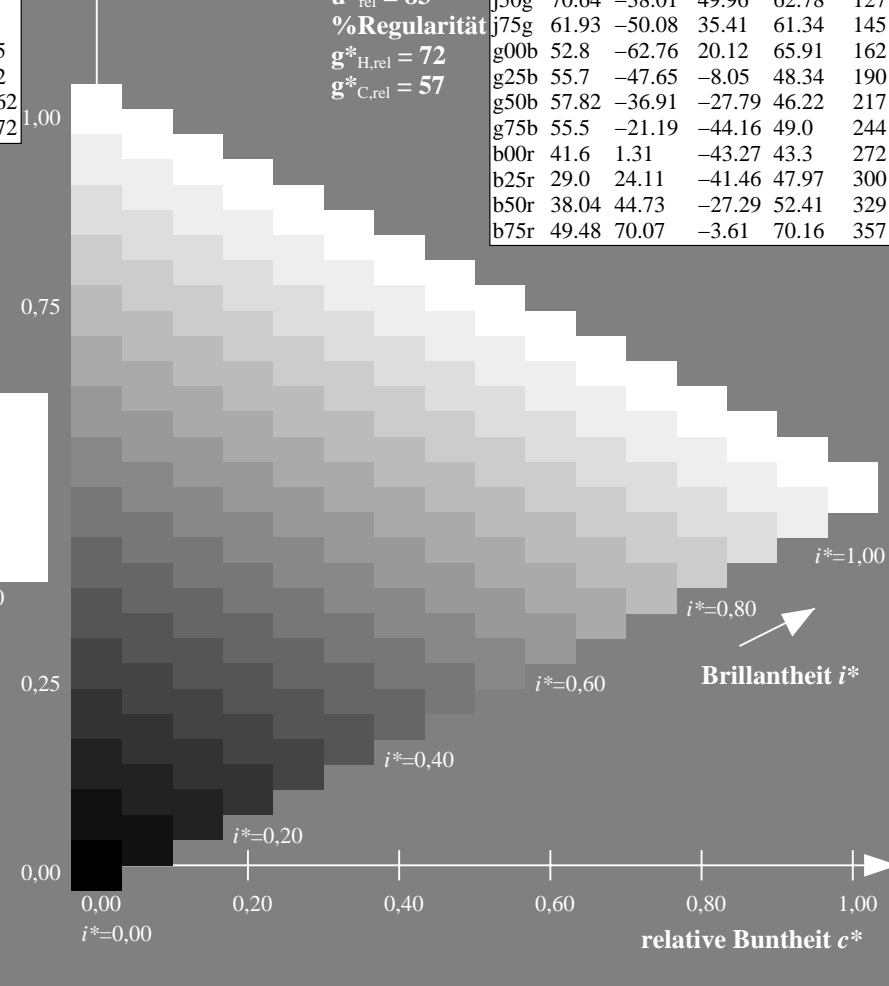
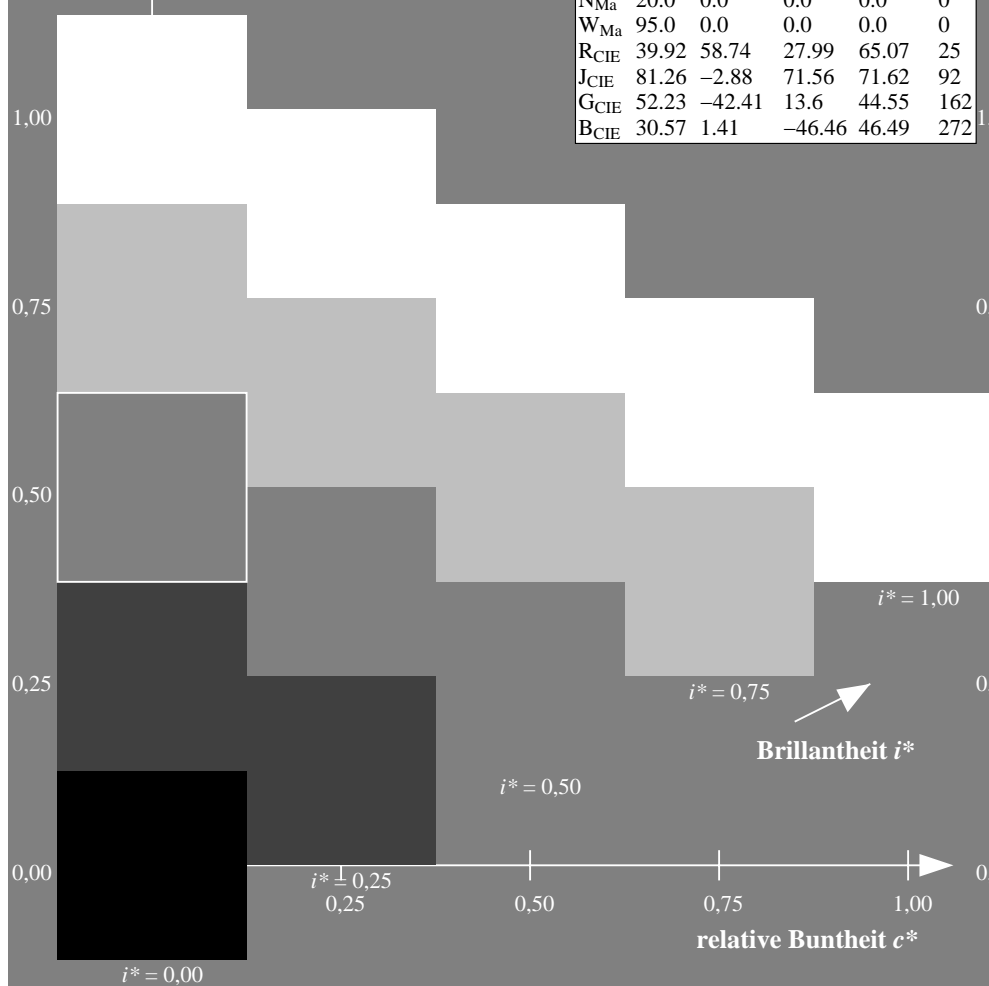
$u^*_{rel} = 83$

%Regularität

$g^*_{H,rel} = 72$

$g^*_{C,rel} = 57$

ORS20_95a; adaptierte CIELAB-Daten					
	$L^*=L^*_a$	$a^*_a$	$b^*_a$	$C^*_{ab,a}$	$h^*_{ab,a}$
r00j	48.88	63.91	30.45	70.79	25
r25j	55.85	50.36	45.65	67.97	42
r50j	65.45	33.86	56.12	65.54	59
r75j	75.19	17.13	66.73	68.89	76
j00g	87.03	-3.21	79.64	79.7	92
j25g	80.72	-24.03	66.82	71.01	110
j50g	70.64	-38.01	49.96	62.78	127
j75g	61.93	-50.08	35.41	61.34	145
g00b	52.8	-62.76	20.12	65.91	162
g25b	55.7	-47.65	-8.05	48.34	190
g50b	57.82	-36.91	-27.79	46.22	217
g75b	55.5	-21.19	-44.16	49.0	244
b00r	41.6	1.31	-43.27	43.3	272
b25r	29.0	24.11	-41.46	47.97	300
b50r	38.04	44.73	-27.29	52.41	329
b75r	49.48	70.07	-3.61	70.16	357



Ein und Ausgabe: Farbmetrisches Drucker-Reflektiv-System ORS20\_95a für relativen CIELAB-Buntton  $h^* = lab^*h^* = h_{ab}/360 = 127/360 = 0.354$

Daten für jede Farbe:

$lab^*ch^*$  und  $lab^*icu^*$

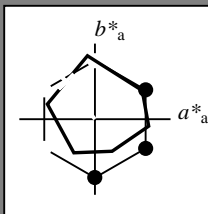
Elementar-Bunttonext:

$u^* = j50g$

Kontrastreduzierungsfaktor:

$c_R = 0.96$

Dreiecks-Helligkeit  $i^*$



ORS20\_95a; adaptierte CIELAB-Daten

	$L^*=L^*_a$	$a^*_a$	$b^*_a$	$C^*_{ab,a}$	$h^*_{ab,a}$
O <sub>Ma</sub>	48.75	62.56	37.91	73.15	31
Y <sub>Ma</sub>	90.92	-9.88	83.88	84.46	97
L <sub>Ma</sub>	52.69	-62.9	19.95	66.0	162
C <sub>Ma</sub>	59.61	-27.85	-44.43	52.45	238
V <sub>Ma</sub>	28.39	22.72	-42.42	48.13	298
M <sub>Ma</sub>	49.58	71.08	-9.19	71.67	353
N <sub>Ma</sub>	20.0	0.0	0.0	0.0	0
W <sub>Ma</sub>	95.0	0.0	0.0	0.0	0
R <sub>CIE</sub>	39.92	58.74	27.99	65.07	25
J <sub>CIE</sub>	81.26	-2.88	71.56	71.62	92
G <sub>CIE</sub>	52.23	-42.41	13.6	44.55	162
B <sub>CIE</sub>	30.57	1.41	-46.46	46.49	272

Daten für Maximalfarbe (Ma):

$LAB^*LAB^*_{Ma}$ : 71 -37 50

$LAB^*LCH^*_{Ma}$ : 71 63 127

$lab^*rgb^*_{Ma}$ : 0.5 1.0 0.0

$lab^*olv^*_{Ma}$ : 0.47 1.0 0.0

Dreiecks-Helligkeit  $i^*$

%Umfang

$u^*_{rel} = 83$

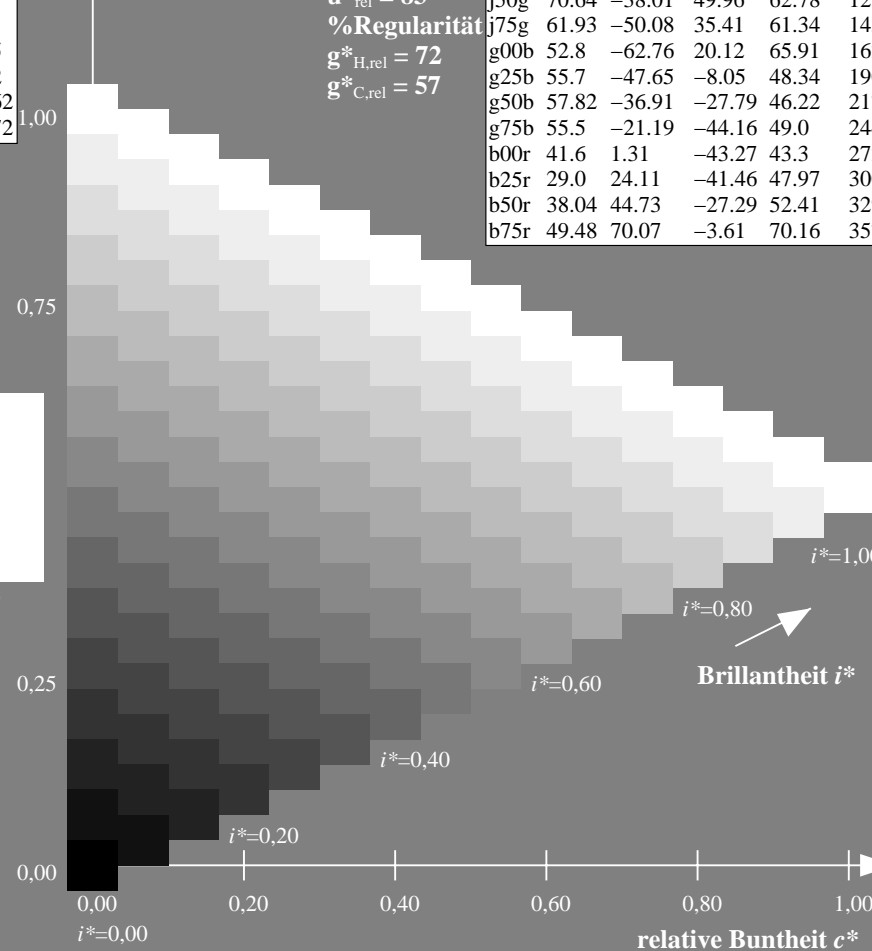
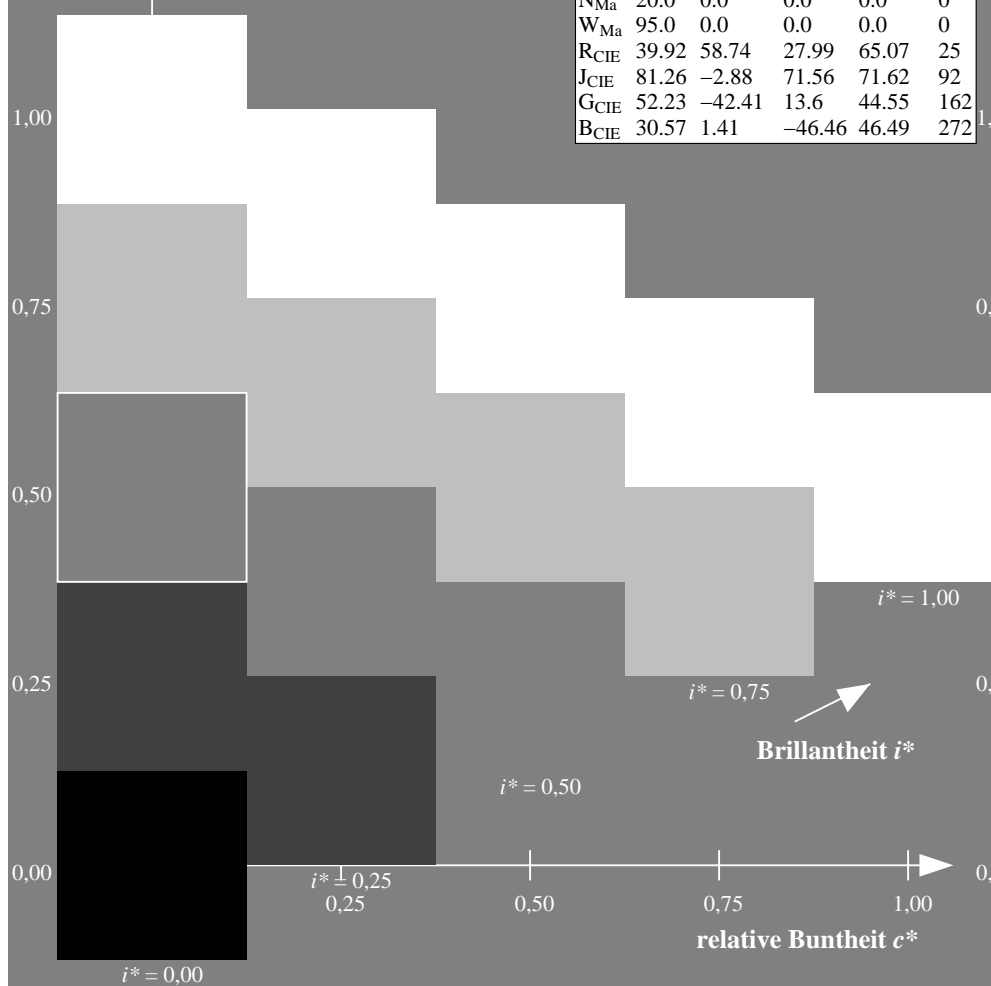
%Regularität

$g^*_{H,rel} = 72$

$g^*_{C,rel} = 57$

ORS20\_95a; adaptierte CIELAB-Daten

	$L^*=L^*_a$	$a^*_a$	$b^*_a$	$C^*_{ab,a}$	$h^*_{ab,a}$
r00j	48.88	63.91	30.45	70.79	25
r25j	55.85	50.36	45.65	67.97	42
r50j	65.45	33.86	56.12	65.54	59
r75j	75.19	17.13	66.73	68.89	76
j00g	87.03	-3.21	79.64	79.7	92
j25g	80.72	-24.03	66.82	71.01	110
j50g	70.64	-38.01	49.96	62.78	127
j75g	61.93	-50.08	35.41	61.34	145
g00b	52.8	-62.76	20.12	65.91	162
g25b	55.7	-47.65	-8.05	48.34	190
g50b	57.82	-36.91	-27.79	46.22	217
g75b	55.5	-21.19	-44.16	49.0	244
b00r	41.6	1.31	-43.27	43.3	272
b25r	29.0	24.11	-41.46	47.97	300
b50r	38.04	44.73	-27.29	52.41	329
b75r	49.48	70.07	-3.61	70.16	357





Ein und Ausgabe: Farbmetrisches Drucker-Reflektiv-System ORS20\_95a für relativen CIELAB-Buntton  $h^* = lab^*h^* = h_{ab}/360 = 145/360 = 0.402$

Daten für jede Farbe:

$lab^*ch^*$  und  $lab^*icu^*$

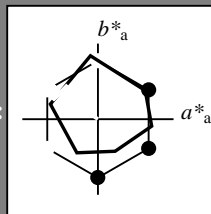
Elementar-Bunttonext:

$u^* = j75g$

Kontrastreduzierungsfaktor:

$c_R = 0.96$

Dreiecks-Helligkeit  $i^*$



ORS20_95a; adaptierte CIELAB-Daten					
	$L^*=L^*_a$	$a^*_a$	$b^*_a$	$C^*_{ab,a}$	$h^*_{ab,a}$
O <sub>Ma</sub>	48.75	62.56	37.91	73.15	31
Y <sub>Ma</sub>	90.92	-9.88	83.88	84.46	97
L <sub>Ma</sub>	52.69	-62.9	19.95	66.0	162
C <sub>Ma</sub>	59.61	-27.85	-44.43	52.45	238
V <sub>Ma</sub>	28.39	22.72	-42.42	48.13	298
M <sub>Ma</sub>	49.58	71.08	-9.19	71.67	353
N <sub>Ma</sub>	20.0	0.0	0.0	0.0	0
W <sub>Ma</sub>	95.0	0.0	0.0	0.0	0
R <sub>CIE</sub>	39.92	58.74	27.99	65.07	25
J <sub>CIE</sub>	81.26	-2.88	71.56	71.62	92
G <sub>CIE</sub>	52.23	-42.41	13.6	44.55	162
B <sub>CIE</sub>	30.57	1.41	-46.46	46.49	272

Daten für Maximalfarbe (Ma):

$LAB^*LAB^*_{Ma}$ : 62 -49 35

$LAB^*LCH^*_{Ma}$ : 62 61 145

$lab^*rgb^*_{Ma}$ : 0.25 1.0 0.0

$lab^*olv^*_{Ma}$ : 0.24 1.0 0.0

Dreiecks-Helligkeit  $i^*$

%Umfang

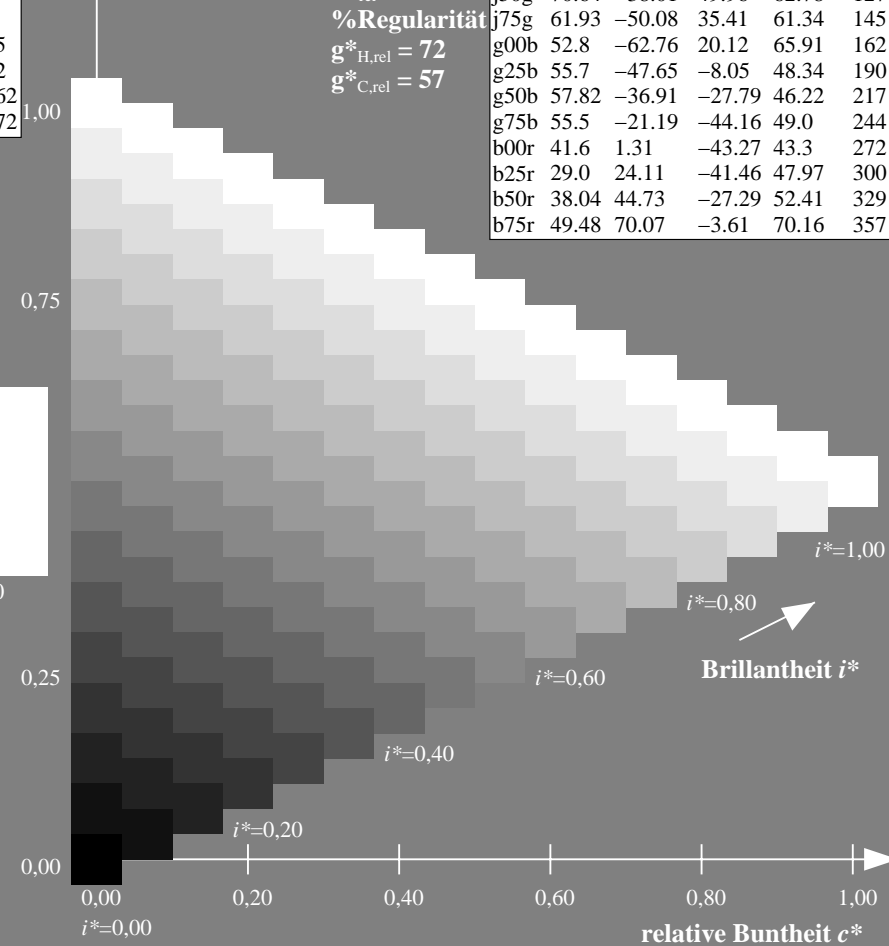
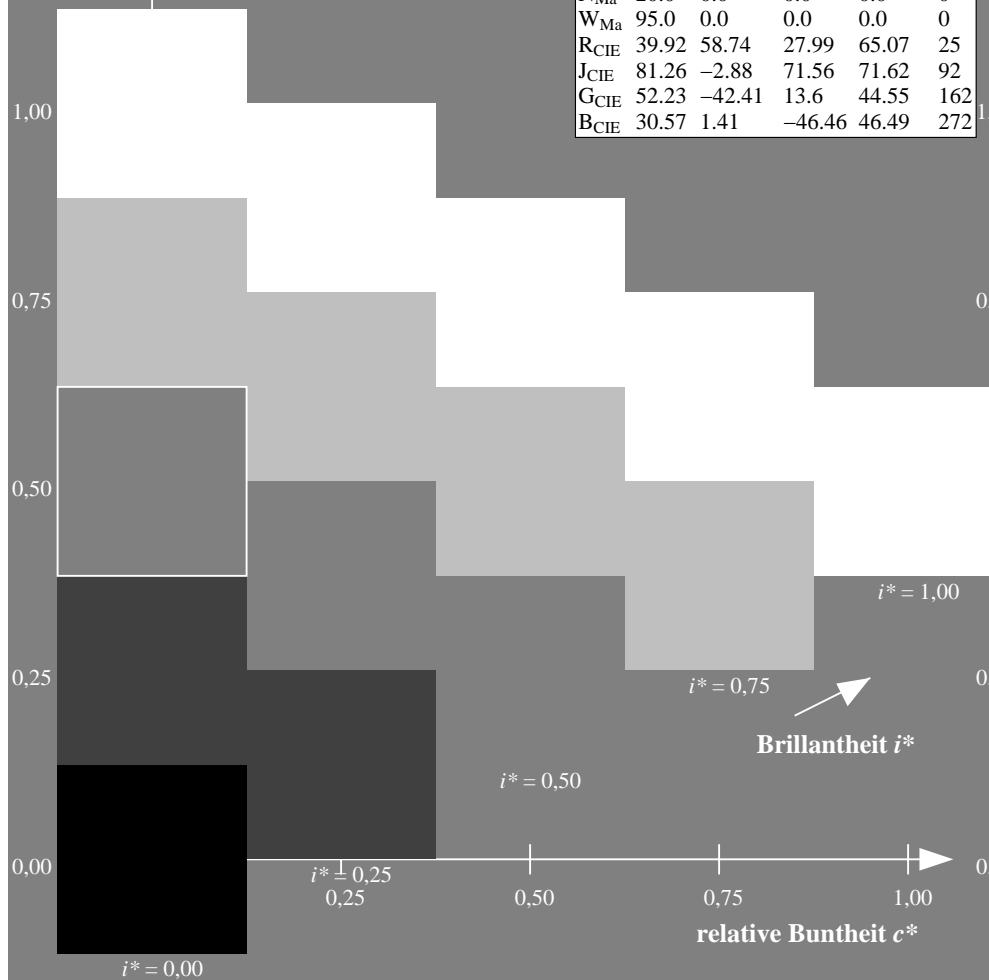
$u^*_{rel} = 83$

%Regularität

$g^*_{H,rel} = 72$

$g^*_{C,rel} = 57$

ORS20_95a; adaptierte CIELAB-Daten					
	$L^*=L^*_a$	$a^*_a$	$b^*_a$	$C^*_{ab,a}$	$h^*_{ab,a}$
r00j	48.88	63.91	30.45	70.79	25
r25j	55.85	50.36	45.65	67.97	42
r50j	65.45	33.86	56.12	65.54	59
r75j	75.19	17.13	66.73	68.89	76
j00g	87.03	-3.21	79.64	79.7	92
j25g	80.72	-24.03	66.82	71.01	110
j50g	70.64	-38.01	49.96	62.78	127
j75g	61.93	-50.08	35.41	61.34	145
g00b	52.8	-62.76	20.12	65.91	162
g25b	55.7	-47.65	-8.05	48.34	190
g50b	57.82	-36.91	-27.79	46.22	217
g75b	55.5	-21.19	-44.16	49.0	244
b00r	41.6	1.31	-43.27	43.3	272
b25r	29.0	24.11	-41.46	47.97	300
b50r	38.04	44.73	-27.29	52.41	329
b75r	49.48	70.07	-3.61	70.16	357



Ein und Ausgabe: Farbmetrisches Drucker-Reflektiv-System ORS20\_95a für relativen CIELAB-Buntton  $h^* = lab^*h^* = h_{ab}/360 = 162/360 = 0.451$

Daten für jede Farbe:

$lab^*ch^*$  und  $lab^*icu^*$

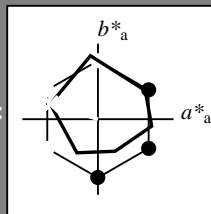
Elementar-Bunttonext:

$u^* = g00b$

Kontrastreduzierungsfaktor:

$c_R = 0.96$

Dreiecks-Helligkeit  $i^*$



ORS20\_95a; adaptierte CIELAB-Daten

	$L^*=L^*_a$	$a^*_a$	$b^*_a$	$C^*_{ab,a}$	$h^*_{ab,a}$
O <sub>Ma</sub>	48.75	62.56	37.91	73.15	31
Y <sub>Ma</sub>	90.92	-9.88	83.88	84.46	97
L <sub>Ma</sub>	52.69	-62.9	19.95	66.0	162
C <sub>Ma</sub>	59.61	-27.85	-44.43	52.45	238
V <sub>Ma</sub>	28.39	22.72	-42.42	48.13	298
M <sub>Ma</sub>	49.58	71.08	-9.19	71.67	353
N <sub>Ma</sub>	20.0	0.0	0.0	0.0	0
W <sub>Ma</sub>	95.0	0.0	0.0	0.0	0
R <sub>CIE</sub>	39.92	58.74	27.99	65.07	25
J <sub>CIE</sub>	81.26	-2.88	71.56	71.62	92
G <sub>CIE</sub>	52.23	-42.41	13.6	44.55	162
B <sub>CIE</sub>	30.57	1.41	-46.46	46.49	272

Daten für Maximalfarbe (Ma):

$LAB^*LAB^*_{Ma}$ : 53 -62 20

$LAB^*LCH^*_{Ma}$ : 53 66 162

$lab^*rgb^*_{Ma}$ : 0.0 1.0 0.0

$lab^*olv^*_{Ma}$ : 0.0 1.0 0.0

Dreiecks-Helligkeit  $i^*$

%Umfang

$u^*_{rel} = 83$

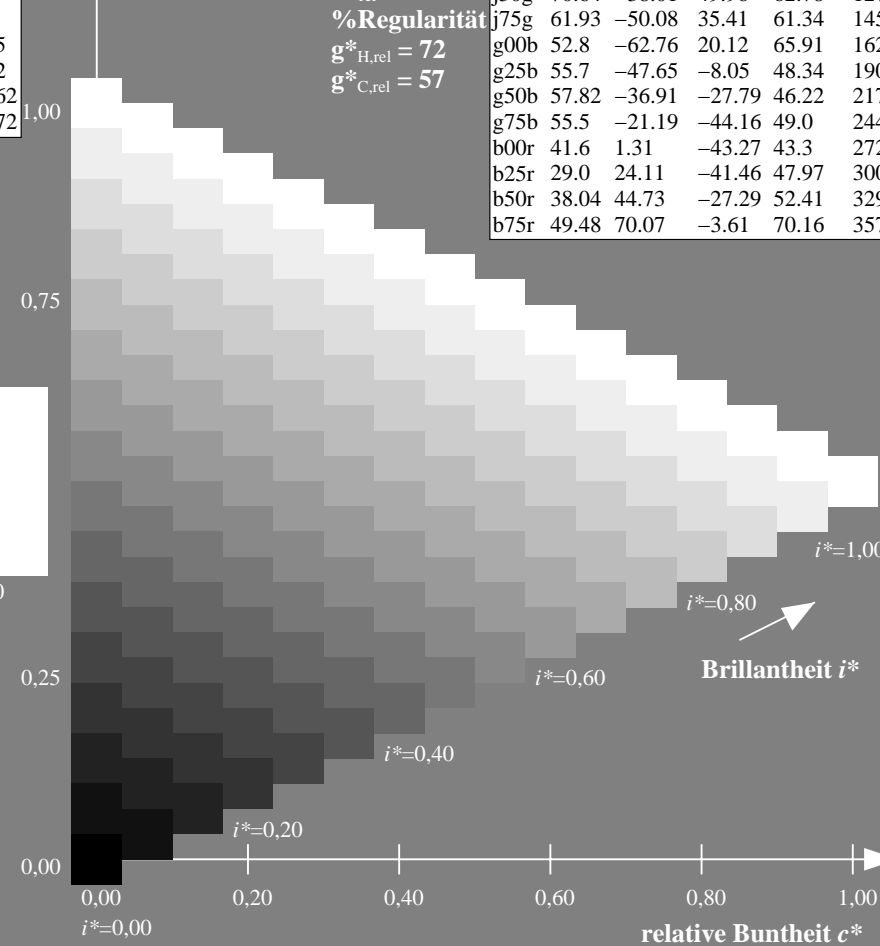
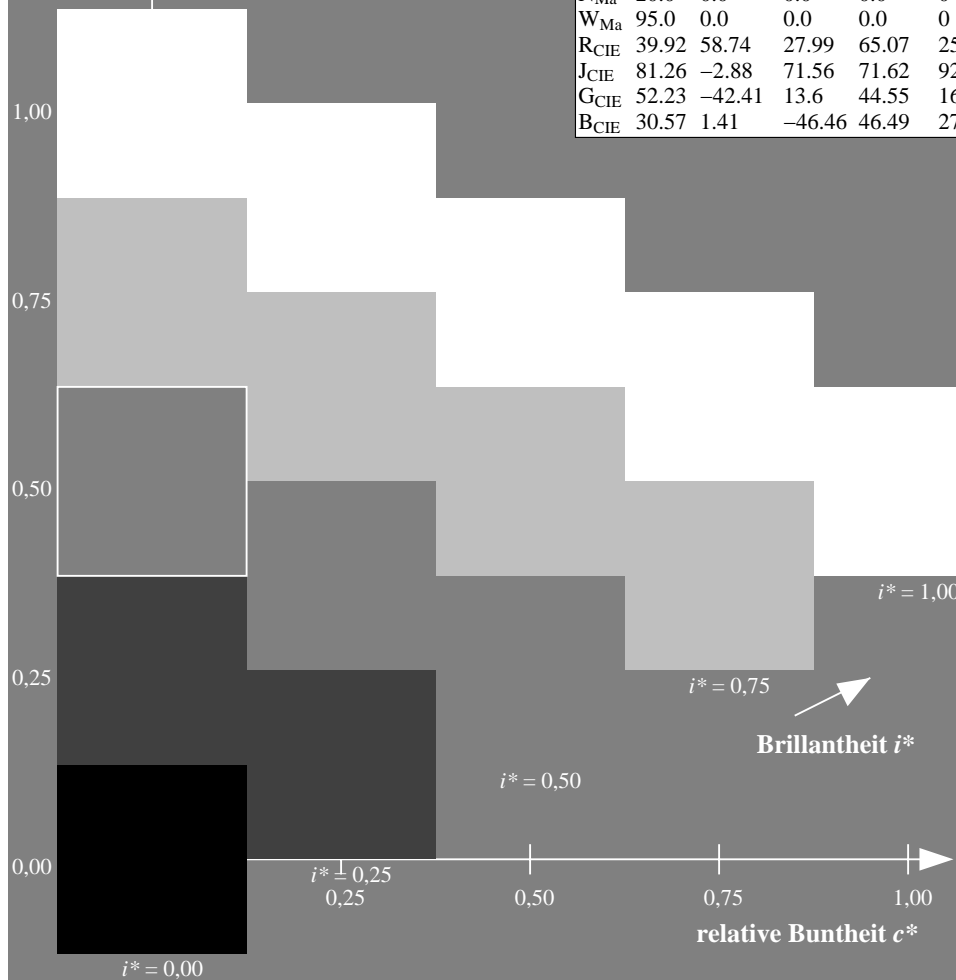
%Regularität

$g^*_{H,rel} = 72$

$g^*_{C,rel} = 57$

ORS20\_95a; adaptierte CIELAB-Daten

	$L^*=L^*_a$	$a^*_a$	$b^*_a$	$C^*_{ab,a}$	$h^*_{ab,a}$
r00j	48.88	63.91	30.45	70.79	25
r25j	55.85	50.36	45.65	67.97	42
r50j	65.45	33.86	56.12	65.54	59
r75j	75.19	17.13	66.73	68.89	76
j00g	87.03	-3.21	79.64	79.7	92
j25g	80.72	-24.03	66.82	71.01	110
j50g	70.64	-38.01	49.96	62.78	127
j75g	61.93	-50.08	35.41	61.34	145
g00b	52.8	-62.76	20.12	65.91	162
g25b	55.7	-47.65	-8.05	48.34	190
g50b	57.82	-36.91	-27.79	46.22	217
g75b	55.5	-21.19	-44.16	49.0	244
b00r	41.6	1.31	-43.27	43.3	272
b25r	29.0	24.11	-41.46	47.97	300
b50r	38.04	44.73	-27.29	52.41	329
b75r	49.48	70.07	-3.61	70.16	357



Ein und Ausgabe: Farbmetrisches Drucker-Reflektiv-System ORS20\_95a für relativen CIELAB-Buntton  $h^* = lab^*h^* = h_{ab}/360 = 190/360 = 0.527$

Daten für jede Farbe:

$lab^*ch^*$  und  $lab^*icu^*$

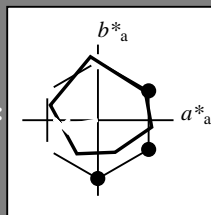
Elementar-Bunttonext:

$u^* = g25b$

Kontrastreduzierungsfaktor:

$c_R = 0.96$

Dreiecks-Helligkeit  $i^*$



ORS20_95a; adaptierte CIELAB-Daten					
	$L^*=L^*_a$	$a^*_a$	$b^*_a$	$C^*_{ab,a}$	$h^*_{ab,a}$
O <sub>Ma</sub>	48.75	62.56	37.91	73.15	31
Y <sub>Ma</sub>	90.92	-9.88	83.88	84.46	97
L <sub>Ma</sub>	52.69	-62.9	19.95	66.0	162
C <sub>Ma</sub>	59.61	-27.85	-44.43	52.45	238
V <sub>Ma</sub>	28.39	22.72	-42.42	48.13	298
M <sub>Ma</sub>	49.58	71.08	-9.19	71.67	353
N <sub>Ma</sub>	20.0	0.0	0.0	0.0	0
W <sub>Ma</sub>	95.0	0.0	0.0	0.0	0
R <sub>CIE</sub>	39.92	58.74	27.99	65.07	25
J <sub>CIE</sub>	81.26	-2.88	71.56	71.62	92
G <sub>CIE</sub>	52.23	-42.41	13.6	44.55	162
B <sub>CIE</sub>	30.57	1.41	-46.46	46.49	272

Daten für Maximalfarbe (Ma):

$LAB^*LAB^*_{Ma}$ : 56 -47 -7

$LAB^*LCH^*_{Ma}$ : 56 48 190

$lab^*rgb^*_{Ma}$ : 0.0 1.0 0.5

$lab^*olv^*_{Ma}$ : 0.0 1.0 0.44

Dreiecks-Helligkeit  $i^*$

%Umfang

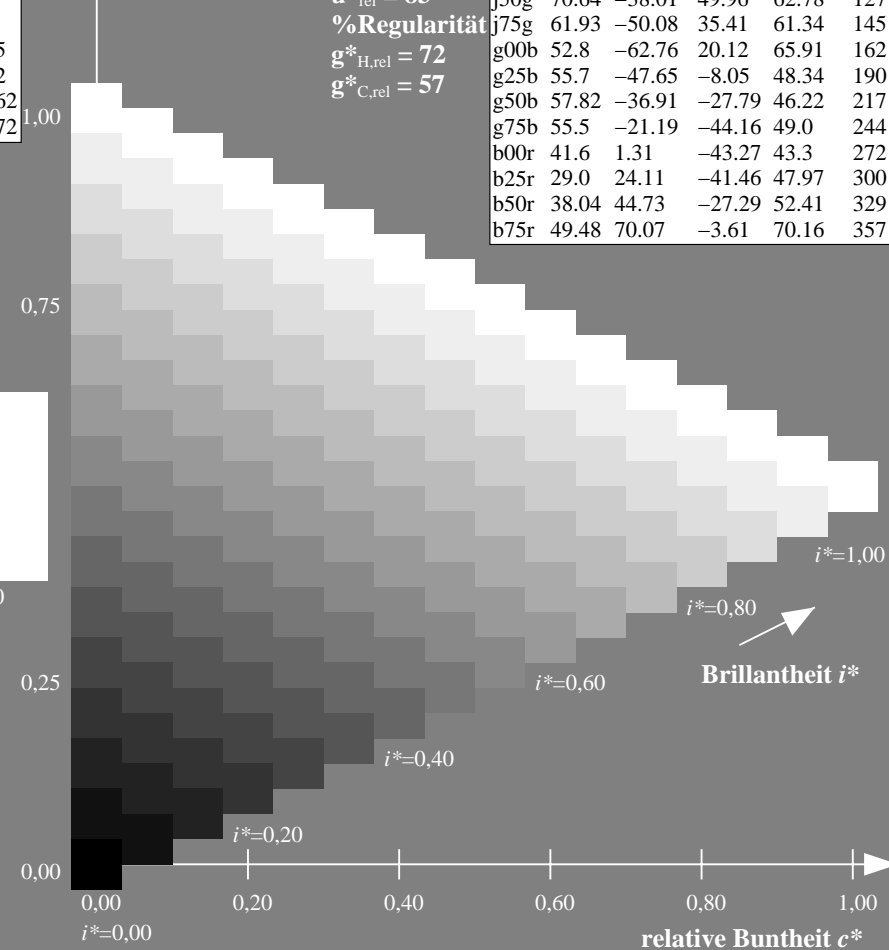
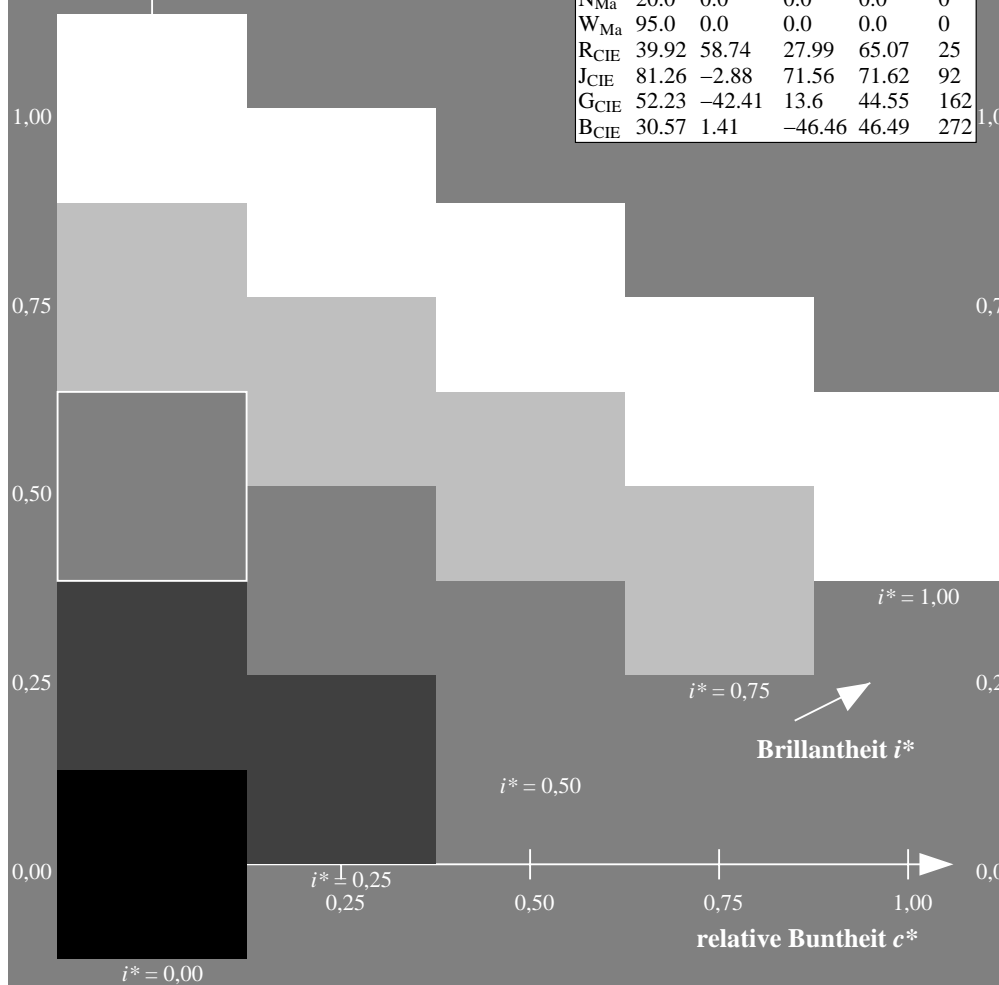
$u^*_{rel} = 83$

%Regularität

$g^*_{H,rel} = 72$

$g^*_{C,rel} = 57$

ORS20_95a; adaptierte CIELAB-Daten					
	$L^*=L^*_a$	$a^*_a$	$b^*_a$	$C^*_{ab,a}$	$h^*_{ab,a}$
r00j	48.88	63.91	30.45	70.79	25
r25j	55.85	50.36	45.65	67.97	42
r50j	65.45	33.86	56.12	65.54	59
r75j	75.19	17.13	66.73	68.89	76
j00g	87.03	-3.21	79.64	79.7	92
j25g	80.72	-24.03	66.82	71.01	110
j50g	70.64	-38.01	49.96	62.78	127
j75g	61.93	-50.08	35.41	61.34	145
g00b	52.8	-62.76	20.12	65.91	162
g25b	55.7	-47.65	-8.05	48.34	190
g50b	57.82	-36.91	-27.79	46.22	217
g75b	55.5	-21.19	-44.16	49.0	244
b00r	41.6	1.31	-43.27	43.3	272
b25r	29.0	24.11	-41.46	47.97	300
b50r	38.04	44.73	-27.29	52.41	329
b75r	49.48	70.07	-3.61	70.16	357



Ein und Ausgabe: Farbmetrisches Drucker-Reflektiv-System ORS20\_95a für relativen CIELAB-Buntton  $h^* = lab^*h^* = h_{ab}/360 = 217/360 = 0.603$

Daten für jede Farbe:

$lab^*ch^*$  und  $lab^*icu^*$

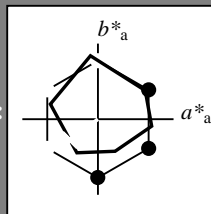
Elementar-Bunttonext:

$u^* = g50b$

Kontrastreduzierungsfaktor:

$c_R = 0.96$

Dreiecks-Helligkeit  $i^*$



ORS20\_95a; adaptierte CIELAB-Daten

	$L^*=L^*_a$	$a^*_a$	$b^*_a$	$C^*_{ab,a}$	$h^*_{ab,a}$
O <sub>Ma</sub>	48.75	62.56	37.91	73.15	31
Y <sub>Ma</sub>	90.92	-9.88	83.88	84.46	97
L <sub>Ma</sub>	52.69	-62.9	19.95	66.0	162
C <sub>Ma</sub>	59.61	-27.85	-44.43	52.45	238
V <sub>Ma</sub>	28.39	22.72	-42.42	48.13	298
M <sub>Ma</sub>	49.58	71.08	-9.19	71.67	353
N <sub>Ma</sub>	20.0	0.0	0.0	0.0	0
W <sub>Ma</sub>	95.0	0.0	0.0	0.0	0
R <sub>CIE</sub>	39.92	58.74	27.99	65.07	25
J <sub>CIE</sub>	81.26	-2.88	71.56	71.62	92
G <sub>CIE</sub>	52.23	-42.41	13.6	44.55	162
B <sub>CIE</sub>	30.57	1.41	-46.46	46.49	272

Daten für Maximalfarbe (Ma):

$LAB^*LAB^*_{Ma}$ : 58 -36 -27

$LAB^*LCH^*_{Ma}$ : 58 46 217

$lab^*rgb^*_{Ma}$ : 0.0 1.0 1.0

$lab^*olv^*_{Ma}$ : 0.0 1.0 0.74

Dreiecks-Helligkeit  $i^*$

%Umfang

$u^*_{rel} = 83$

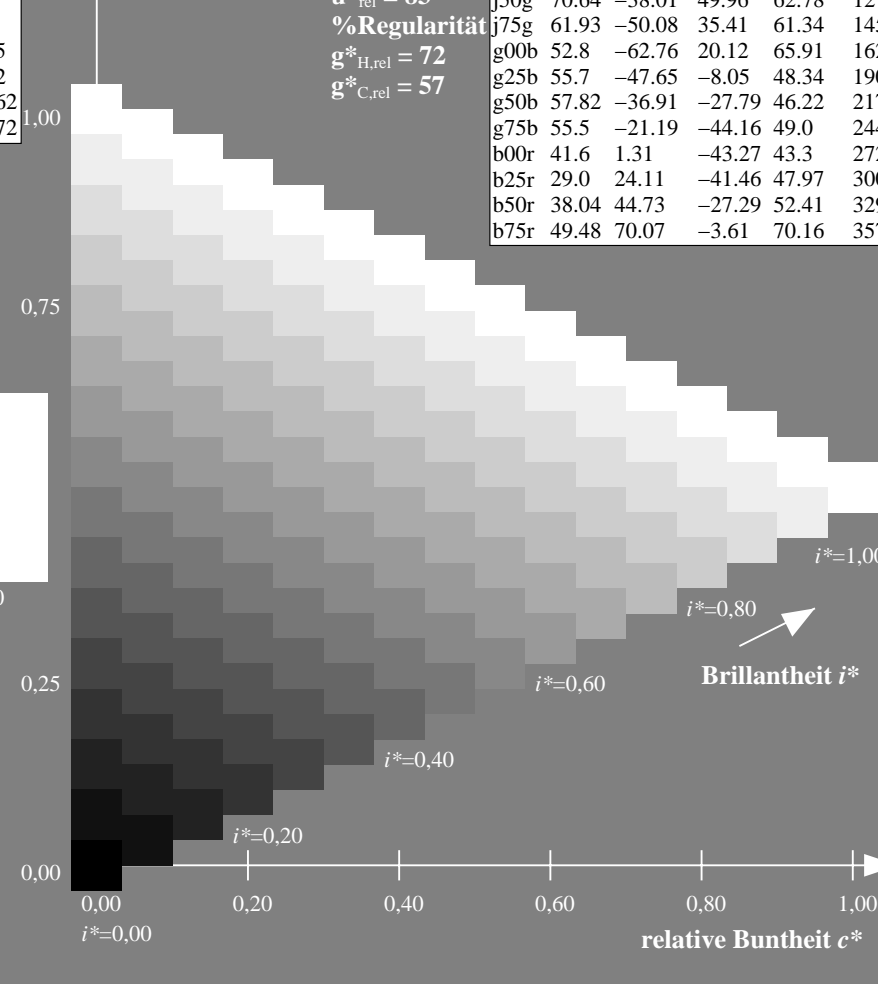
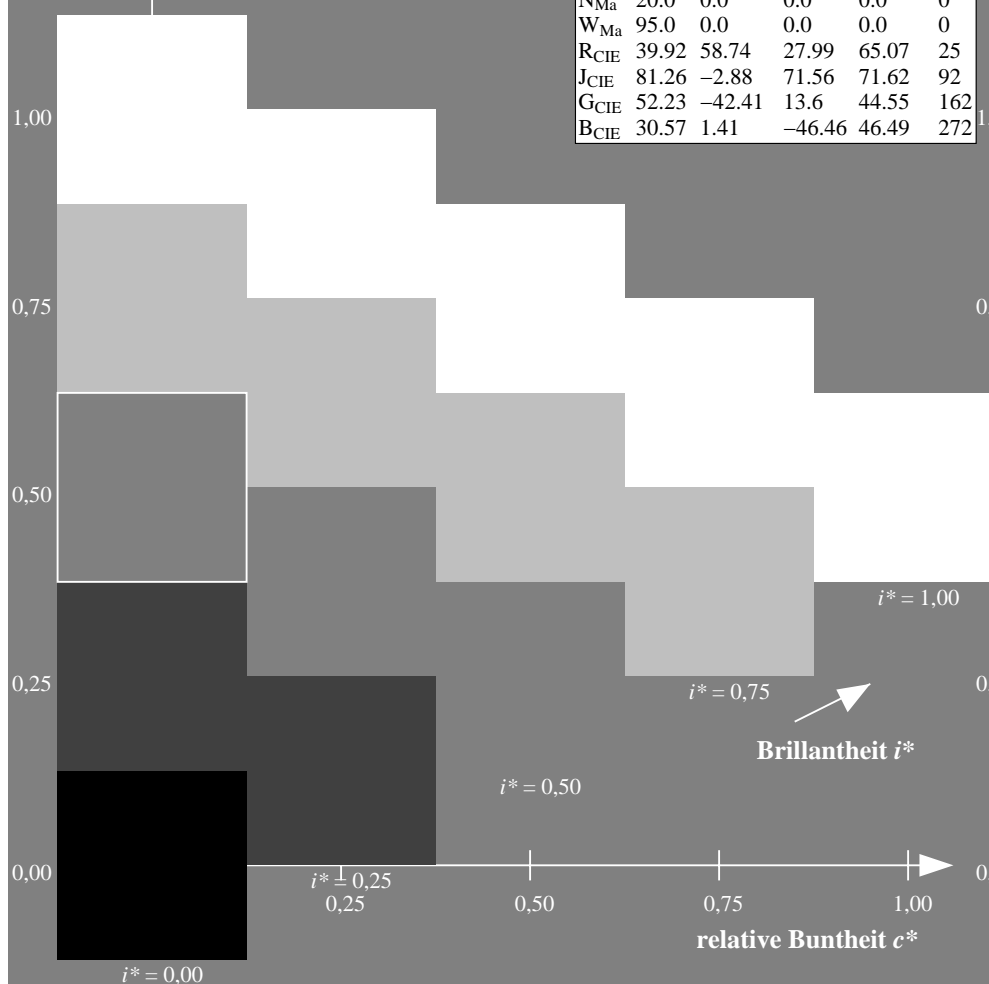
%Regularität

$g^*_{H,rel} = 72$

$g^*_{C,rel} = 57$

ORS20\_95a; adaptierte CIELAB-Daten

	$L^*=L^*_a$	$a^*_a$	$b^*_a$	$C^*_{ab,a}$	$h^*_{ab,a}$
r00j	48.88	63.91	30.45	70.79	25
r25j	55.85	50.36	45.65	67.97	42
r50j	65.45	33.86	56.12	65.54	59
r75j	75.19	17.13	66.73	68.89	76
j00g	87.03	-3.21	79.64	79.7	92
j25g	80.72	-24.03	66.82	71.01	110
j50g	70.64	-38.01	49.96	62.78	127
j75g	61.93	-50.08	35.41	61.34	145
g00b	52.8	-62.76	20.12	65.91	162
g25b	55.7	-47.65	-8.05	48.34	190
g50b	57.82	-36.91	-27.79	46.22	217
g75b	55.5	-21.19	-44.16	49.0	244
b00r	41.6	1.31	-43.27	43.3	272
b25r	29.0	24.11	-41.46	47.97	300
b50r	38.04	44.73	-27.29	52.41	329
b75r	49.48	70.07	-3.61	70.16	357



Ein und Ausgabe: Farbmetrisches Drucker-Reflektiv-System ORS20\_95a für relativen CIELAB-Buntton  $h^* = lab^*h^* = h_{ab}/360 = 244/360 = 0.679$

Daten für jede Farbe:

$lab^*ch^*$  und  $lab^*icu^*$

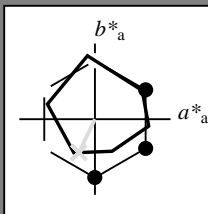
Elementar-Bunttonext:

$u^* = g75b$

Kontrastreduzierungsfaktor:

$c_R = 0.96$

Dreiecks-Helligkeit  $i^*$



ORS20\_95a; adaptierte CIELAB-Daten

	$L^*=L_a^*$	$a_a^*$	$b_a^*$	$C_{ab,a}^*$	$h_{ab,a}^*$
O <sub>Ma</sub>	48.75	62.56	37.91	73.15	31
Y <sub>Ma</sub>	90.92	-9.88	83.88	84.46	97
L <sub>Ma</sub>	52.69	-62.9	19.95	66.0	162
C <sub>Ma</sub>	59.61	-27.85	-44.43	52.45	238
V <sub>Ma</sub>	28.39	22.72	-42.42	48.13	298
M <sub>Ma</sub>	49.58	71.08	-9.19	71.67	353
N <sub>Ma</sub>	20.0	0.0	0.0	0.0	0
W <sub>Ma</sub>	95.0	0.0	0.0	0.0	0
R <sub>CIE</sub>	39.92	58.74	27.99	65.07	25
J <sub>CIE</sub>	81.26	-2.88	71.56	71.62	92
G <sub>CIE</sub>	52.23	-42.41	13.6	44.55	162
B <sub>CIE</sub>	30.57	1.41	-46.46	46.49	272

Daten für Maximalfarbe (Ma):

$LAB^*LAB^*_{Ma}$ : 55 -20 -43

$LAB^*LCH^*_{Ma}$ : 55 49 244

$lab^*rgb^*_{Ma}$ : 0.0 0.5 1.0

$lab^*olv^*_{Ma}$ : 0.0 0.87 1.0

Dreiecks-Helligkeit  $i^*$

%Umfang

$u^*_{rel} = 83$

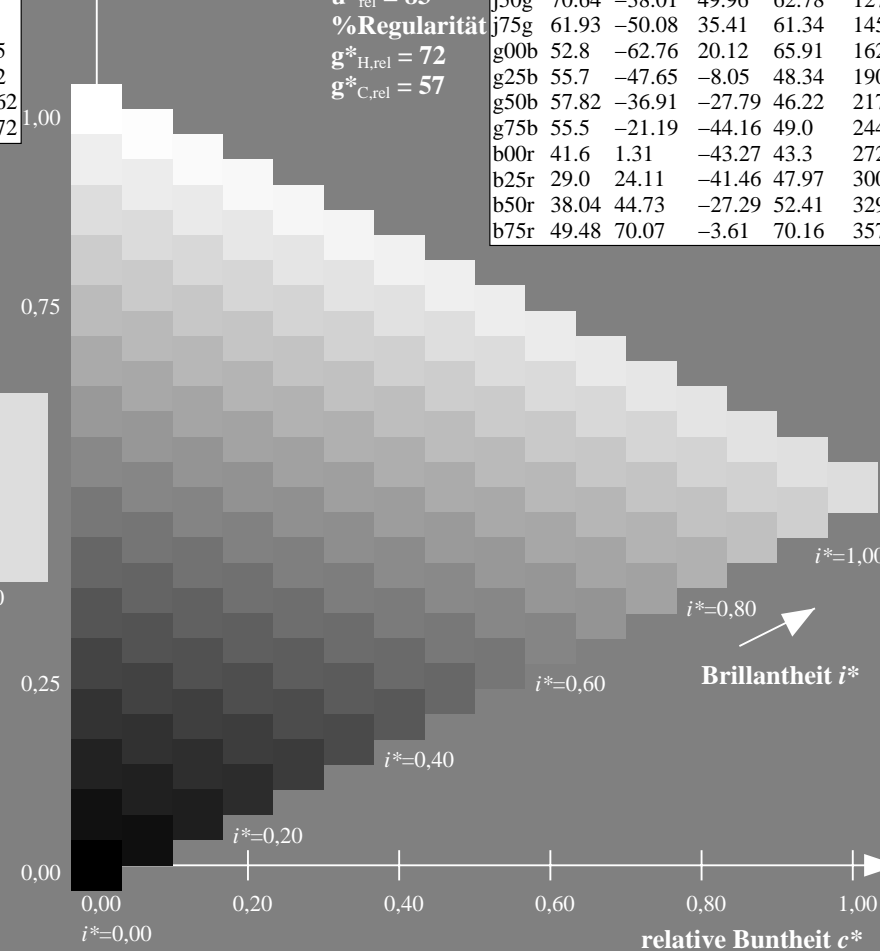
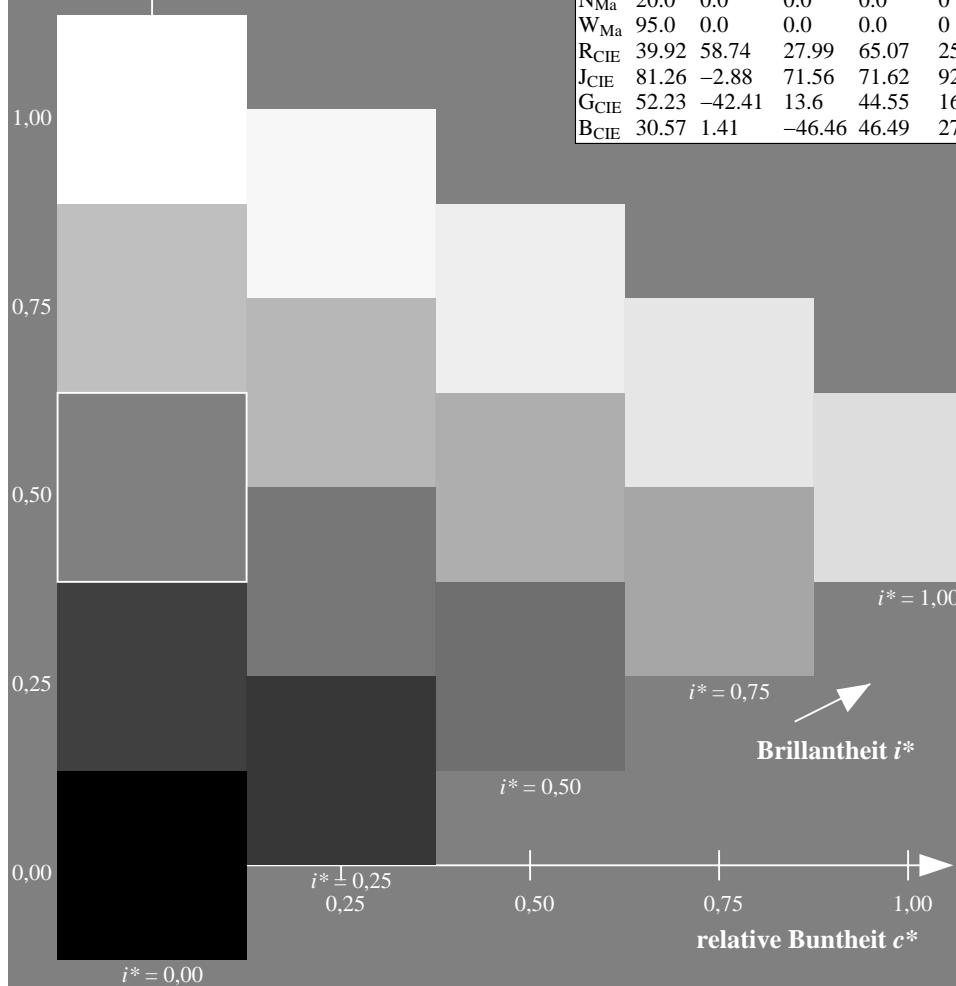
%Regularität

$g^*_{H,rel} = 72$

$g^*_{C,rel} = 57$

ORS20\_95a; adaptierte CIELAB-Daten

	$L^*=L_a^*$	$a_a^*$	$b_a^*$	$C_{ab,a}^*$	$h_{ab,a}^*$
r00j	48.88	63.91	30.45	70.79	25
r25j	55.85	50.36	45.65	67.97	42
r50j	65.45	33.86	56.12	65.54	59
r75j	75.19	17.13	66.73	68.89	76
j00g	87.03	-3.21	79.64	79.7	92
j25g	80.72	-24.03	66.82	71.01	110
j50g	70.64	-38.01	49.96	62.78	127
j75g	61.93	-50.08	35.41	61.34	145
g00b	52.8	-62.76	20.12	65.91	162
g25b	55.7	-47.65	-8.05	48.34	190
g50b	57.82	-36.91	-27.79	46.22	217
g75b	55.5	-21.19	-44.16	49.0	244
b00r	41.6	1.31	-43.27	43.3	272
b25r	29.0	24.11	-41.46	47.97	300
b50r	38.04	44.73	-27.29	52.41	329
b75r	49.48	70.07	-3.61	70.16	357



Ein und Ausgabe: Farbmetrisches Drucker-Reflektiv-System ORS20\_95a für relativen CIELAB-Buntton  $h^* = lab^*h^* = h_{ab}/360 = 272/360 = 0.755$

Daten für jede Farbe:

$lab^*ch^*$  und  $lab^*icu^*$

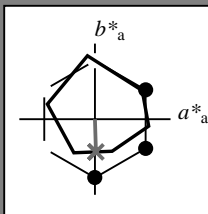
Elementar-Bunttontext:

$u^* = b00r$

Kontrastreduzierungsfaktor:

$c_R = 0.96$

Dreiecks-Helligkeit  $i^*$



ORS20\_95a; adaptierte CIELAB-Daten

	$L^*=L^*_a$	$a^*_a$	$b^*_a$	$C^*_{ab,a}$	$h^*_{ab,a}$
O <sub>Ma</sub>	48.75	62.56	37.91	73.15	31
Y <sub>Ma</sub>	90.92	-9.88	83.88	84.46	97
L <sub>Ma</sub>	52.69	-62.9	19.95	66.0	162
C <sub>Ma</sub>	59.61	-27.85	-44.43	52.45	238
V <sub>Ma</sub>	28.39	22.72	-42.42	48.13	298
M <sub>Ma</sub>	49.58	71.08	-9.19	71.67	353
N <sub>Ma</sub>	20.0	0.0	0.0	0.0	0
W <sub>Ma</sub>	95.0	0.0	0.0	0.0	0
R <sub>CIE</sub>	39.92	58.74	27.99	65.07	25
J <sub>CIE</sub>	81.26	-2.88	71.56	71.62	92
G <sub>CIE</sub>	52.23	-42.41	13.6	44.55	162
B <sub>CIE</sub>	30.57	1.41	-46.46	46.49	272

Daten für Maximalfarbe (Ma):

$LAB^*LAB^*Ma$ : 42 1 -42

$LAB^*LCH^*Ma$ : 42 43 272

$lab^*rgb^*Ma$ : 0.0 0.0 1.0

$lab^*olv^*Ma$ : 0.0 0.42 1.0

Dreiecks-Helligkeit  $i^*$

%Umfang

$u^*_{rel} = 83$

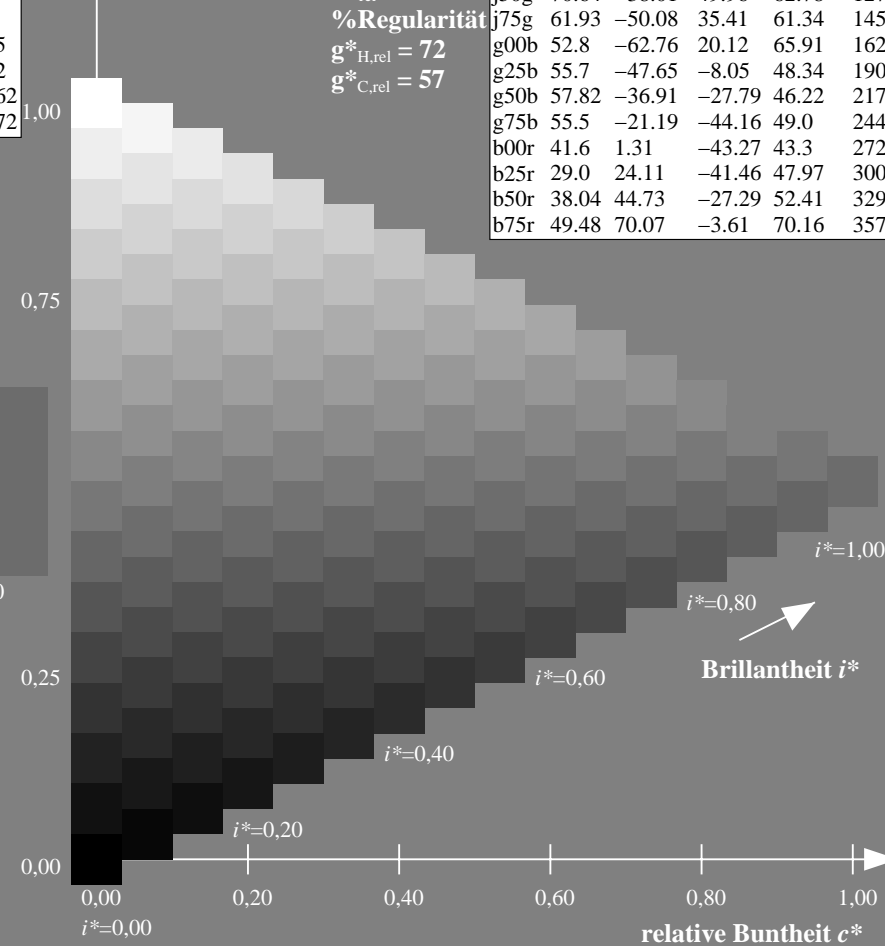
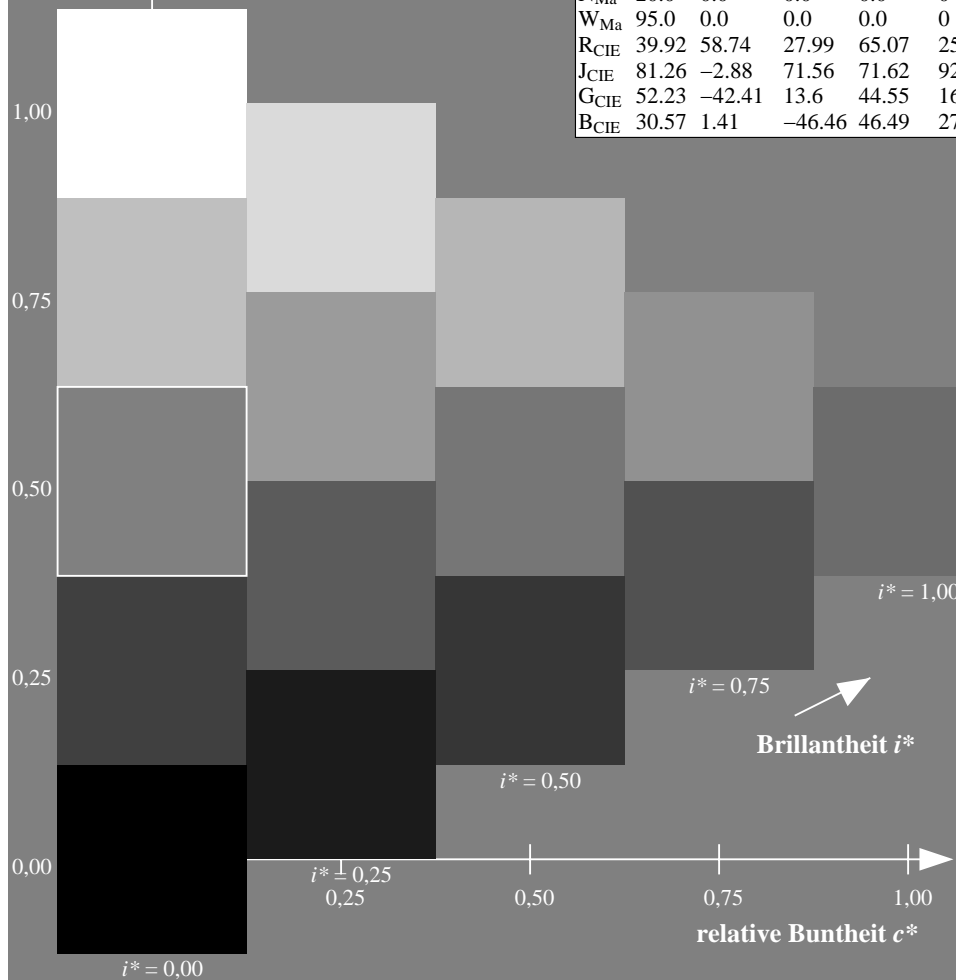
%Regularität

$g^*_{H,rel} = 72$

$g^*_{C,rel} = 57$

ORS20\_95a; adaptierte CIELAB-Daten

	$L^*=L^*_a$	$a^*_a$	$b^*_a$	$C^*_{ab,a}$	$h^*_{ab,a}$
r00j	48.88	63.91	30.45	70.79	25
r25j	55.85	50.36	45.65	67.97	42
r50j	65.45	33.86	56.12	65.54	59
r75j	75.19	17.13	66.73	68.89	76
j00g	87.03	-3.21	79.64	79.7	92
j25g	80.72	-24.03	66.82	71.01	110
j50g	70.64	-38.01	49.96	62.78	127
j75g	61.93	-50.08	35.41	61.34	145
g00b	52.8	-62.76	20.12	65.91	162
g25b	55.7	-47.65	-8.05	48.34	190
g50b	57.82	-36.91	-27.79	46.22	217
g75b	55.5	-21.19	-44.16	49.0	244
b00r	41.6	1.31	-43.27	43.3	272
b25r	29.0	24.11	-41.46	47.97	300
b50r	38.04	44.73	-27.29	52.41	329
b75r	49.48	70.07	-3.61	70.16	357





Ein und Ausgabe: Farbmétrisches Drucker-Reflektiv-System ORS20\_95a für relativen CIELAB-Buntton  $h^* = lab^*h^* = h_{ab}/360 = 300/360 = 0.834$

Daten für jede Farbe:

$lab^*ch^*$  und  $lab^*icu^*$

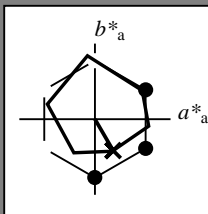
Elementar-Bunttoncontext:

$u^* = b25r$

Kontrastreduzierungsfaktor:

$c_R = 0.96$

Dreiecks-Helligkeit  $i^*$



ORS20\_95a; adaptierte CIELAB-Daten

	$L^*=L_a^*$	$a_a^*$	$b_a^*$	$C_{ab,a}^*$	$h_{ab,a}^*$
O <sub>Ma</sub>	48.75	62.56	37.91	73.15	31
Y <sub>Ma</sub>	90.92	-9.88	83.88	84.46	97
L <sub>Ma</sub>	52.69	-62.9	19.95	66.0	162
C <sub>Ma</sub>	59.61	-27.85	-44.43	52.45	238
V <sub>Ma</sub>	28.39	22.72	-42.42	48.13	298
M <sub>Ma</sub>	49.58	71.08	-9.19	71.67	353
N <sub>Ma</sub>	20.0	0.0	0.0	0.0	0
W <sub>Ma</sub>	95.0	0.0	0.0	0.0	0
R <sub>CIE</sub>	39.92	58.74	27.99	65.07	25
J <sub>CIE</sub>	81.26	-2.88	71.56	71.62	92
G <sub>CIE</sub>	52.23	-42.41	13.6	44.55	162
B <sub>CIE</sub>	30.57	1.41	-46.46	46.49	272

Daten für Maximalfarbe (Ma):

$LAB^*LAB^*Ma$ : 29 24 -40

$LAB^*LCH^*Ma$ : 29 48 300

$lab^*rgb^*Ma$ : 0.5 0.0 1.0

$lab^*olv^*Ma$ : 0.03 0.0 1.0

Dreiecks-Helligkeit  $i^*$

%Umfang

$u^*_{rel} = 83$

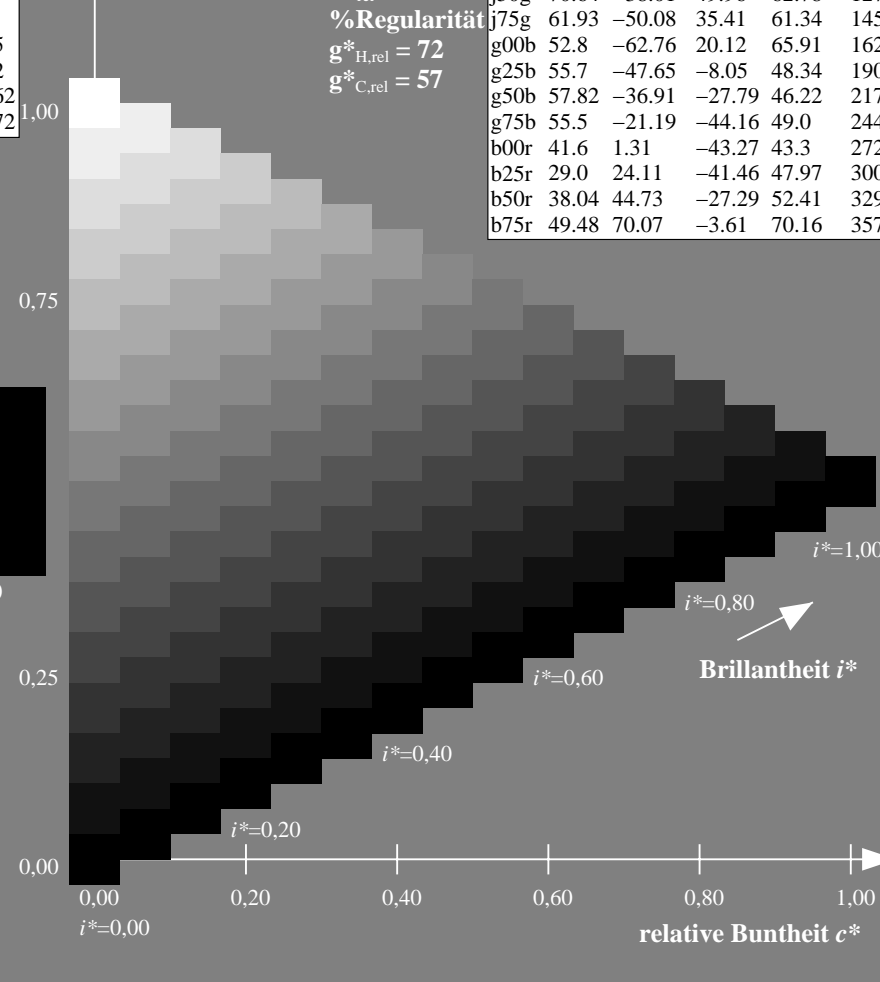
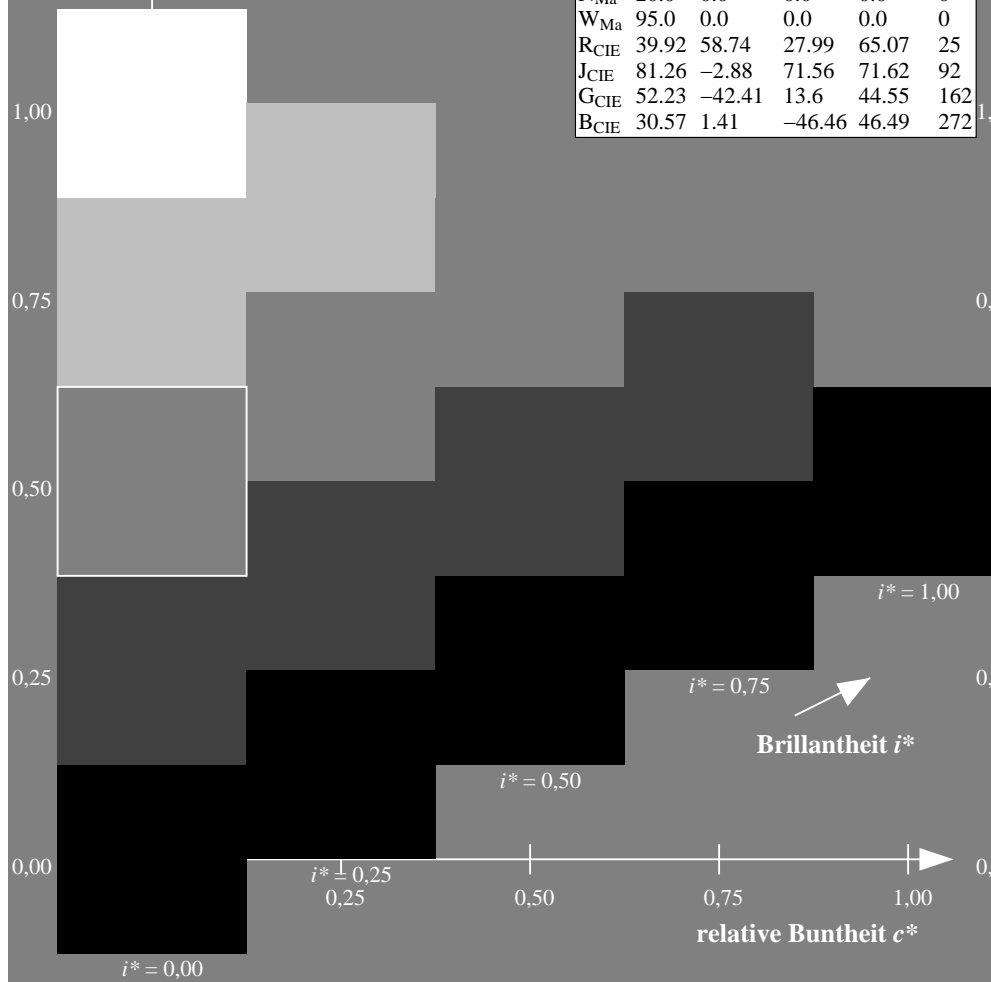
%Regularität

$g^*_{H,rel} = 72$

$g^*_{C,rel} = 57$

ORS20\_95a; adaptierte CIELAB-Daten

	$L^*=L_a^*$	$a_a^*$	$b_a^*$	$C_{ab,a}^*$	$h_{ab,a}^*$
r00j	48.88	63.91	30.45	70.79	25
r25j	55.85	50.36	45.65	67.97	42
r50j	65.45	33.86	56.12	65.54	59
r75j	75.19	17.13	66.73	68.89	76
j00g	87.03	-3.21	79.64	79.7	92
j25g	80.72	-24.03	66.82	71.01	110
j50g	70.64	-38.01	49.96	62.78	127
j75g	61.93	-50.08	35.41	61.34	145
g00b	52.8	-62.76	20.12	65.91	162
g25b	55.7	-47.65	-8.05	48.34	190
g50b	57.82	-36.91	-27.79	46.22	217
g75b	55.5	-21.19	-44.16	49.0	244
b00r	41.6	1.31	-43.27	43.3	272
b25r	29.0	24.11	-41.46	47.97	300
b50r	38.04	44.73	-27.29	52.41	329
b75r	49.48	70.07	-3.61	70.16	357



Ein und Ausgabe: Farbmétrisches Drucker-Reflektiv-System ORS20\_95a für relativen CIELAB-Buntton  $h^* = lab^*h^* = h_{ab}/360 = 329/360 = 0.913$

Daten für jede Farbe:

$lab^*ch^*$  und  $lab^*icu^*$

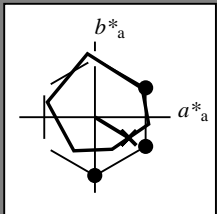
Elementar-Bunttoncontext:

$u^* = b50r$

Kontrastreduzierungsfaktor:

$c_R = 0.96$

Dreiecks-Helligkeit  $i^*$



ORS20\_95a; adaptierte CIELAB-Daten

	$L^*=L^*_a$	$a^*_a$	$b^*_a$	$C^*_{ab,a}$	$h^*_{ab,a}$
O <sub>Ma</sub>	48.75	62.56	37.91	73.15	31
Y <sub>Ma</sub>	90.92	-9.88	83.88	84.46	97
L <sub>Ma</sub>	52.69	-62.9	19.95	66.0	162
C <sub>Ma</sub>	59.61	-27.85	-44.43	52.45	238
V <sub>Ma</sub>	28.39	22.72	-42.42	48.13	298
M <sub>Ma</sub>	49.58	71.08	-9.19	71.67	353
N <sub>Ma</sub>	20.0	0.0	0.0	0.0	0
W <sub>Ma</sub>	95.0	0.0	0.0	0.0	0
R <sub>CIE</sub>	39.92	58.74	27.99	65.07	25
J <sub>CIE</sub>	81.26	-2.88	71.56	71.62	92
G <sub>CIE</sub>	52.23	-42.41	13.6	44.55	162
B <sub>CIE</sub>	30.57	1.41	-46.46	46.49	272

Daten für Maximalfarbe (Ma):

$LAB^*LAB^*_{Ma}$ : 38 45 -26

$LAB^*LCH^*_{Ma}$ : 38 52 329

$lab^*rgb^*_{Ma}$ : 1.0 0.0 1.0

$lab^*olv^*_{Ma}$ : 0.46 0.0 1.0

Dreiecks-Helligkeit  $i^*$

%Umfang

$u^*_{rel} = 83$

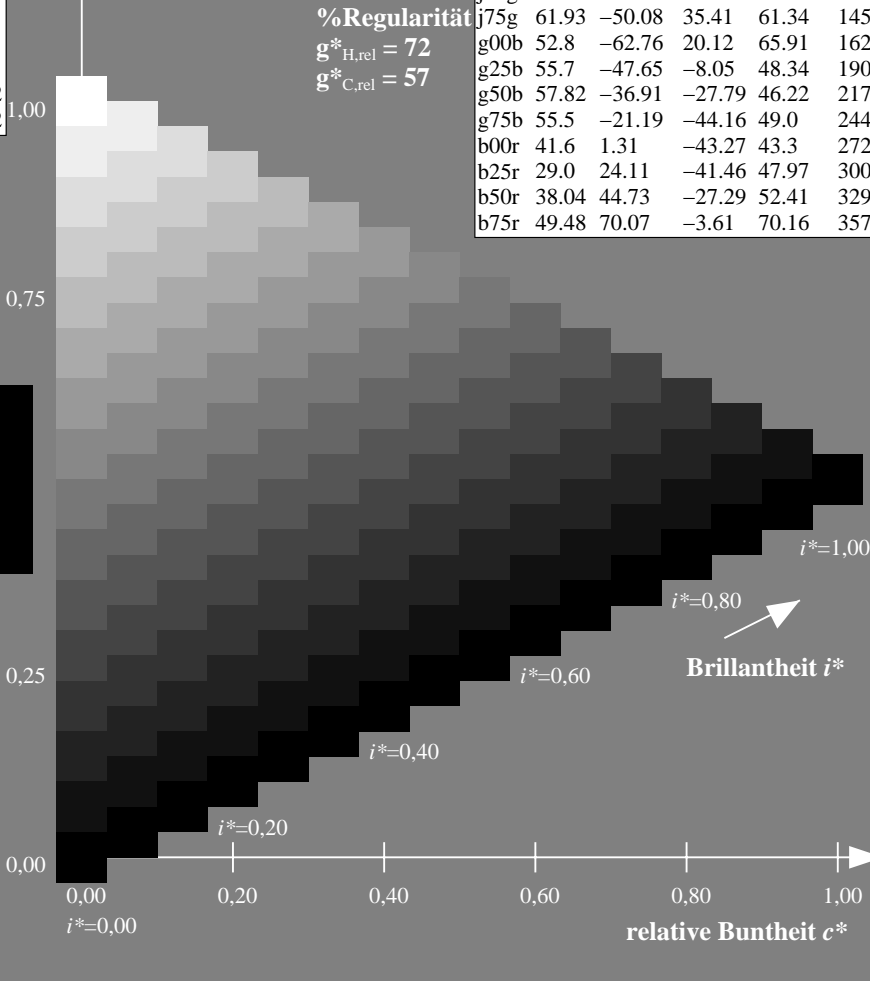
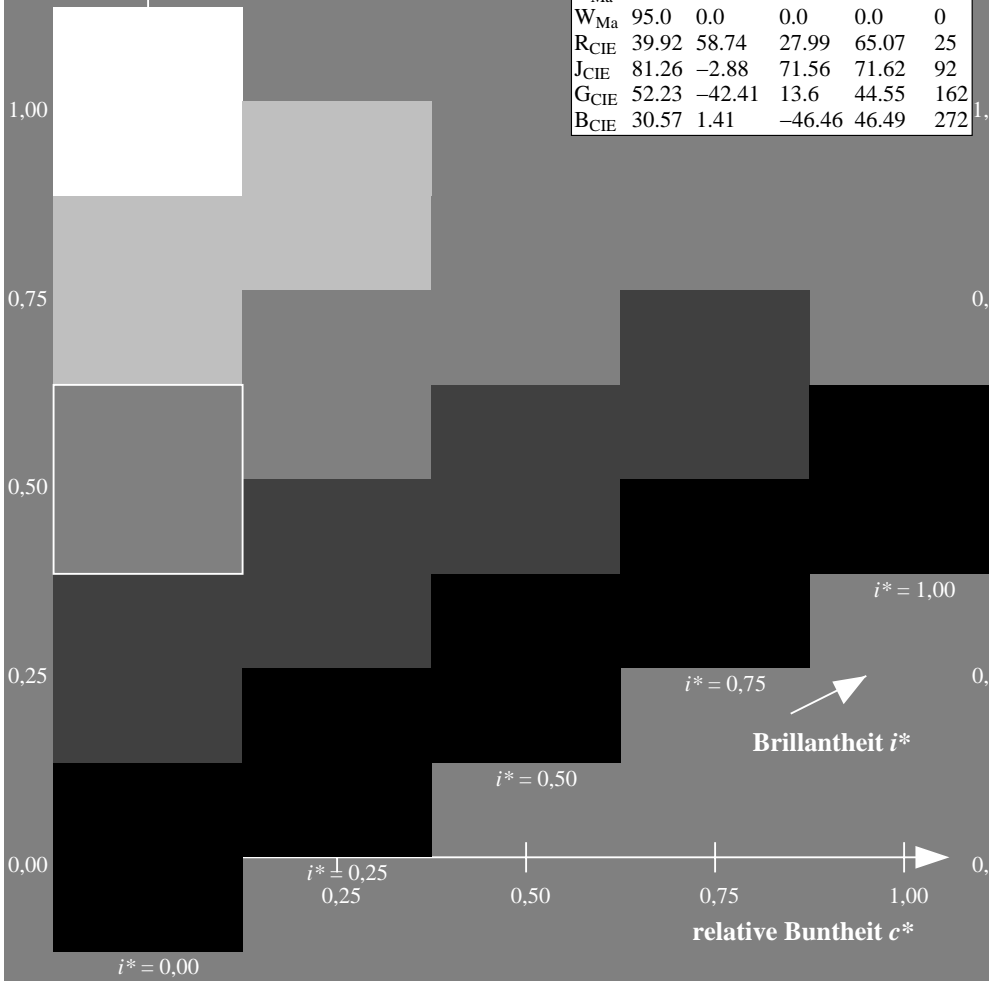
%Regularität

$g^*_{H,rel} = 72$

$g^*_{C,rel} = 57$

ORS20\_95a; adaptierte CIELAB-Daten

	$L^*=L^*_a$	$a^*_a$	$b^*_a$	$C^*_{ab,a}$	$h^*_{ab,a}$
r00j	48.88	63.91	30.45	70.79	25
r25j	55.85	50.36	45.65	67.97	42
r50j	65.45	33.86	56.12	65.54	59
r75j	75.19	17.13	66.73	68.89	76
j00g	87.03	-3.21	79.64	79.7	92
j25g	80.72	-24.03	66.82	71.01	110
j50g	70.64	-38.01	49.96	62.78	127
j75g	61.93	-50.08	35.41	61.34	145
g00b	52.8	-62.76	20.12	65.91	162
g25b	55.7	-47.65	-8.05	48.34	190
g50b	57.82	-36.91	-27.79	46.22	217
g75b	55.5	-21.19	-44.16	49.0	244
b00r	41.6	1.31	-43.27	43.3	272
b25r	29.0	24.11	-41.46	47.97	300
b50r	38.04	44.73	-27.29	52.41	329
b75r	49.48	70.07	-3.61	70.16	357



Ein und Ausgabe: Farbmétrisches Drucker-Reflektiv-System ORS20\_95a für relativen CIELAB-Buntton  $h^* = lab^*h^* = h_{ab}/360 = 357/360 = 0.992$

Daten für jede Farbe:

$lab^*ch^*$  und  $lab^*icu^*$

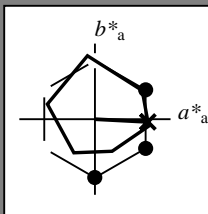
Elementar-Bunttoncontext:

$u^* = b75r$

Kontrastreduzierungsfaktor:

$c_R = 0.96$

Dreiecks-Helligkeit  $i^*$



ORS20_95a; adaptierte CIELAB-Daten					
	$L^*=L^*_a$	$a^*_a$	$b^*_a$	$C^*_{ab,a}$	$h^*_{ab,a}$
O <sub>Ma</sub>	48.75	62.56	37.91	73.15	31
Y <sub>Ma</sub>	90.92	-9.88	83.88	84.46	97
L <sub>Ma</sub>	52.69	-62.9	19.95	66.0	162
C <sub>Ma</sub>	59.61	-27.85	-44.43	52.45	238
V <sub>Ma</sub>	28.39	22.72	-42.42	48.13	298
M <sub>Ma</sub>	49.58	71.08	-9.19	71.67	353
N <sub>Ma</sub>	20.0	0.0	0.0	0.0	0
W <sub>Ma</sub>	95.0	0.0	0.0	0.0	0
R <sub>CIE</sub>	39.92	58.74	27.99	65.07	25
J <sub>CIE</sub>	81.26	-2.88	71.56	71.62	92
G <sub>CIE</sub>	52.23	-42.41	13.6	44.55	162
B <sub>CIE</sub>	30.57	1.41	-46.46	46.49	272

Daten für Maximalfarbe (Ma):

$LAB^*LAB^*_{Ma}$ : 49 70 -3

$LAB^*LCH^*_{Ma}$ : 49 70 357

$lab^*rgb^*_{Ma}$ : 1.0 0.0 0.5

$lab^*olv^*_{Ma}$ : 1.0 0.0 0.88

Dreiecks-Helligkeit  $i^*$

%Umfang

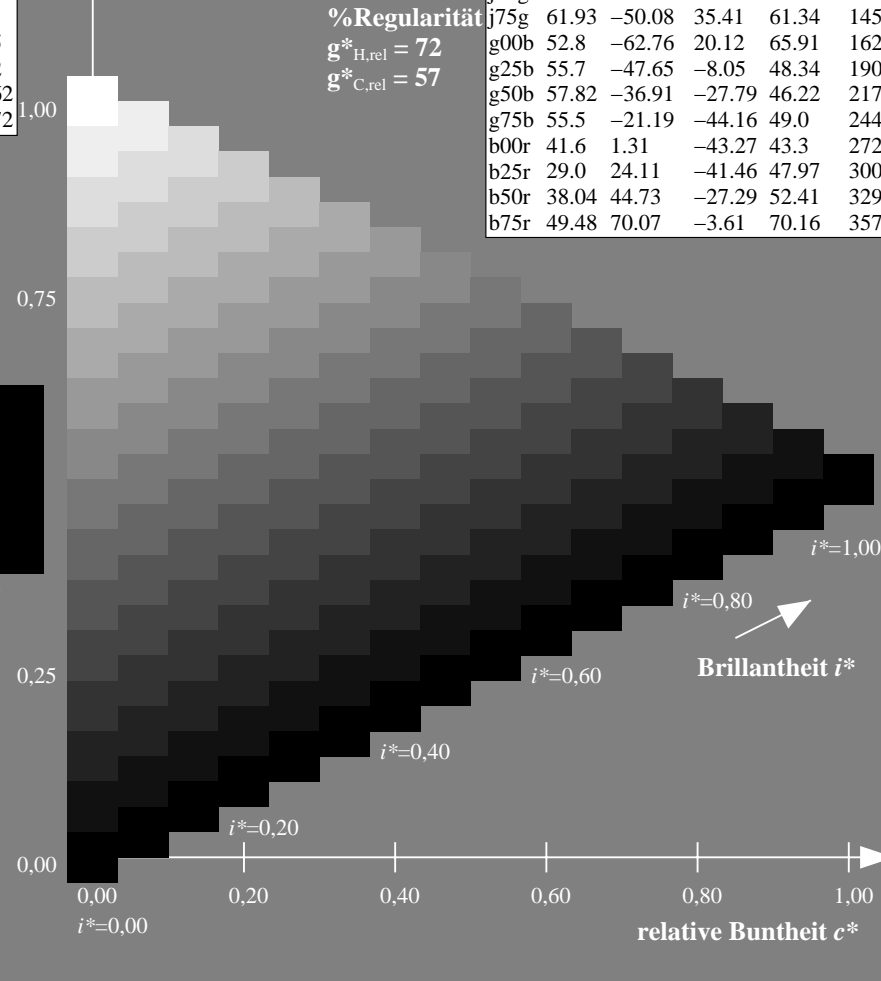
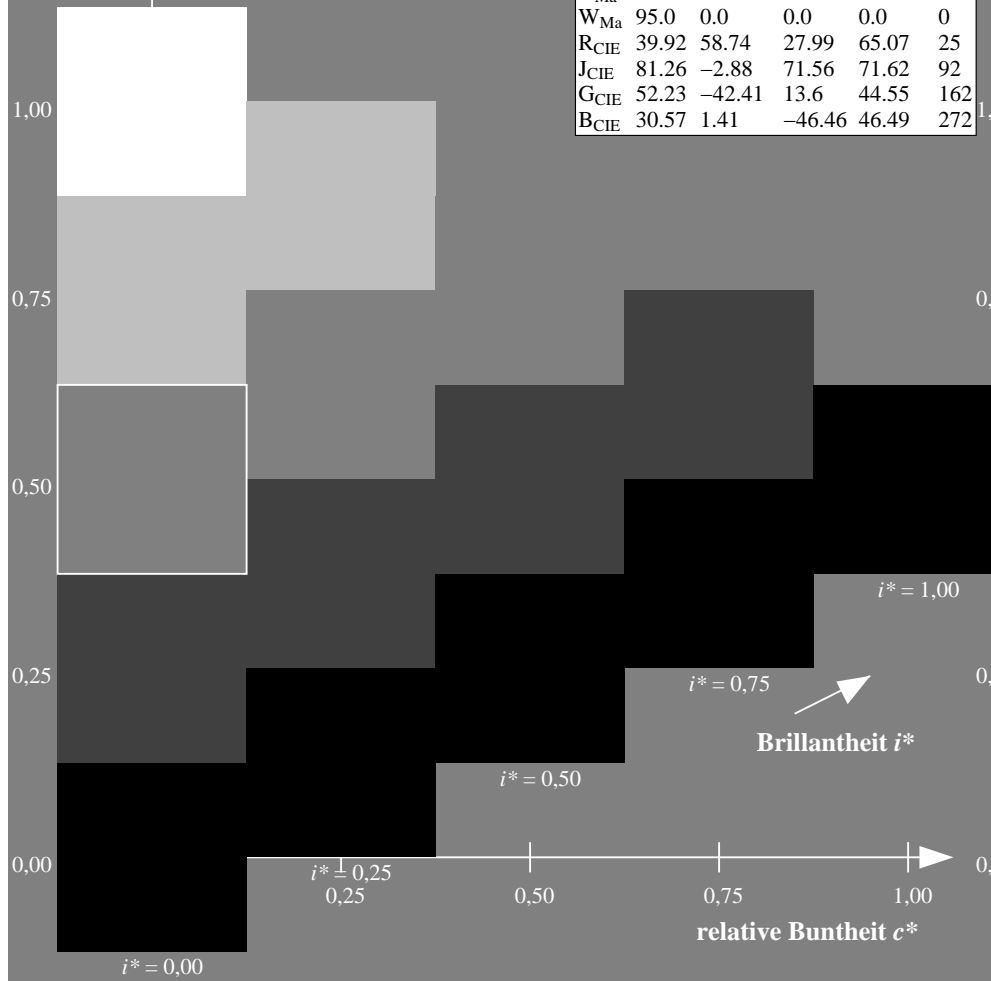
$u^*_{rel} = 83$

%Regularität

$g^*_{H,rel} = 72$

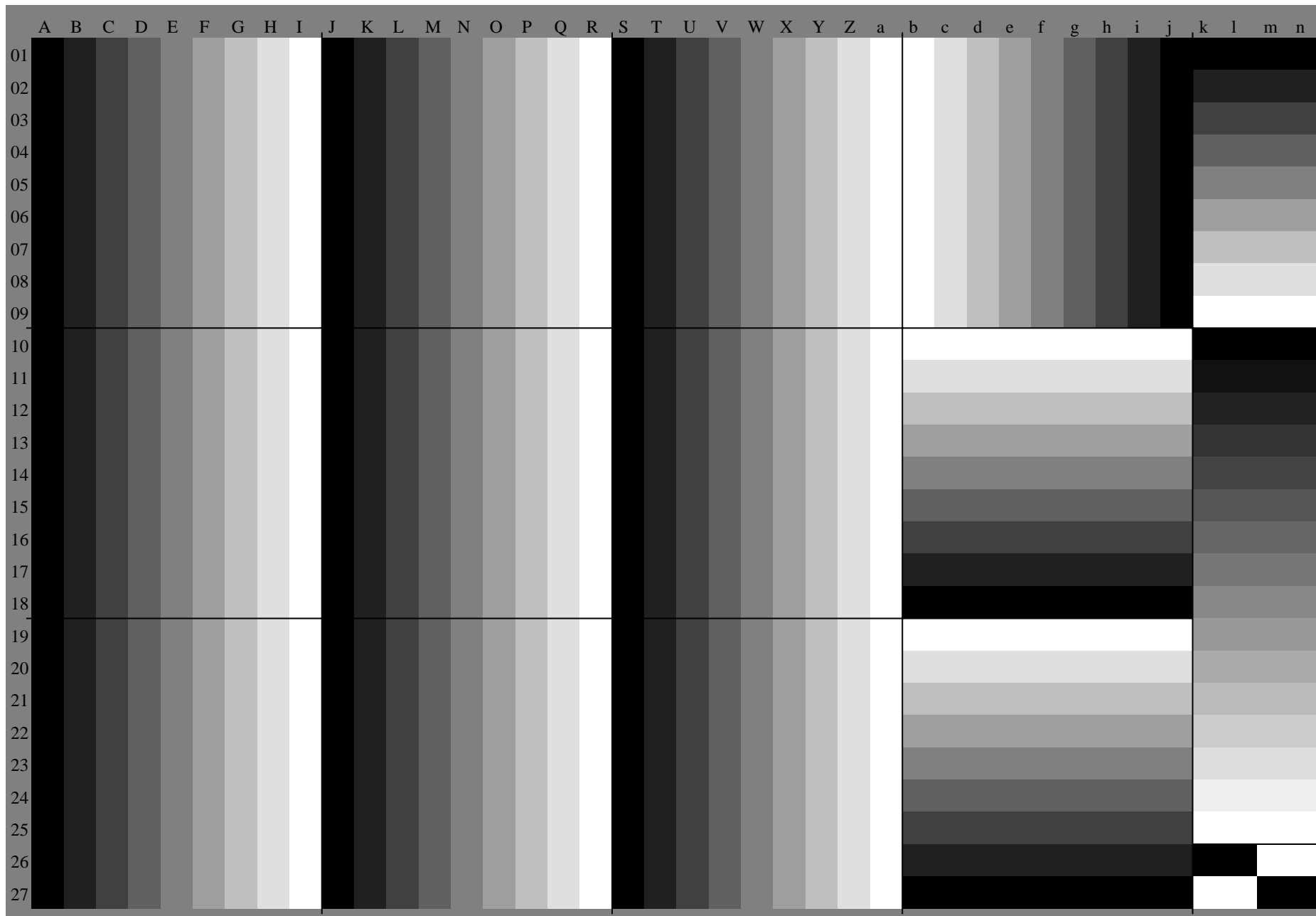
$g^*_{C,rel} = 57$

ORS20_95a; adaptierte CIELAB-Daten					
	$L^*=L^*_a$	$a^*_a$	$b^*_a$	$C^*_{ab,a}$	$h^*_{ab,a}$
r00j	48.88	63.91	30.45	70.79	25
r25j	55.85	50.36	45.65	67.97	42
r50j	65.45	33.86	56.12	65.54	59
r75j	75.19	17.13	66.73	68.89	76
j00g	87.03	-3.21	79.64	79.7	92
j25g	80.72	-24.03	66.82	71.01	110
j50g	70.64	-38.01	49.96	62.78	127
j75g	61.93	-50.08	35.41	61.34	145
g00b	52.8	-62.76	20.12	65.91	162
g25b	55.7	-47.65	-8.05	48.34	190
g50b	57.82	-36.91	-27.79	46.22	217
g75b	55.5	-21.19	-44.16	49.0	244
b00r	41.6	1.31	-43.27	43.3	272
b25r	29.0	24.11	-41.46	47.97	300
b50r	38.04	44.73	-27.29	52.41	329
b75r	49.48	70.07	-3.61	70.16	357



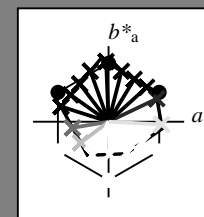
Siehe ähnliche Dateien: <http://www.ps.bam.de/Dg75/>; [www.ps.bam.de/Dg75/](http://www.ps.bam.de/Dg75/Version%202.1,io=1,1,ColSpx=0)  
Technische Information: [http://www.ps.bam.de/Version 2.1, io=1,1, ColSpx=0](http://www.ps.bam.de/Version%202.1,io=1,1,ColSpx=0)

BAM-Registrierung: 20080701-Dg75/10L/L75G00NA.PS/.TXTBAM-Material: Code=rh4ta  
Anwendung für Beurteilung und Messung von Drucker- oder Monitorsystemen



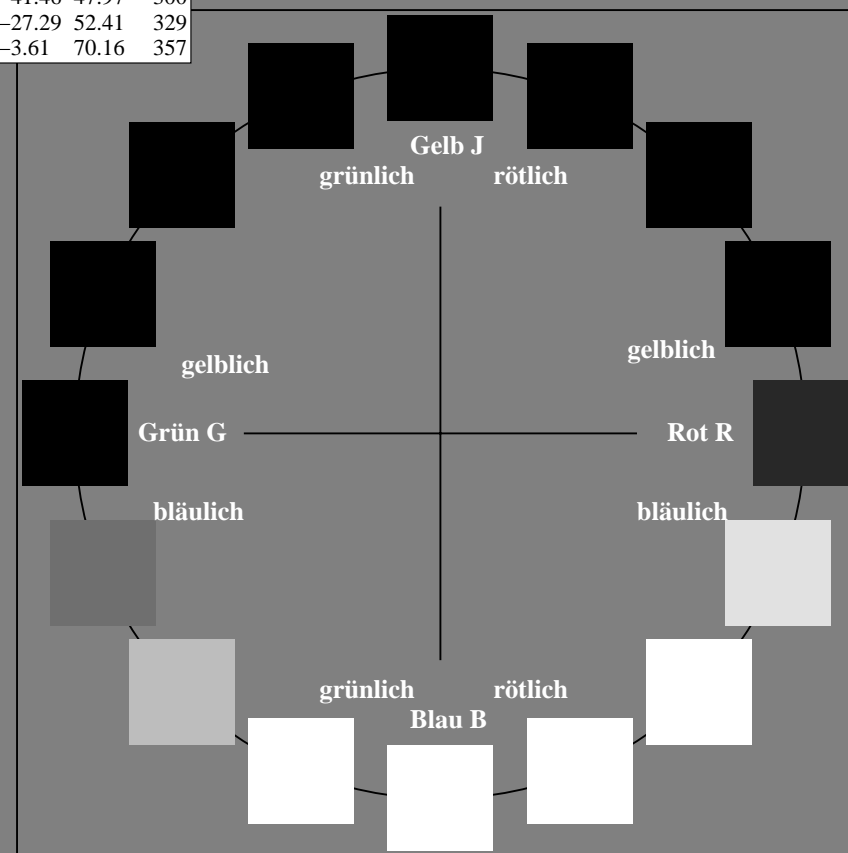
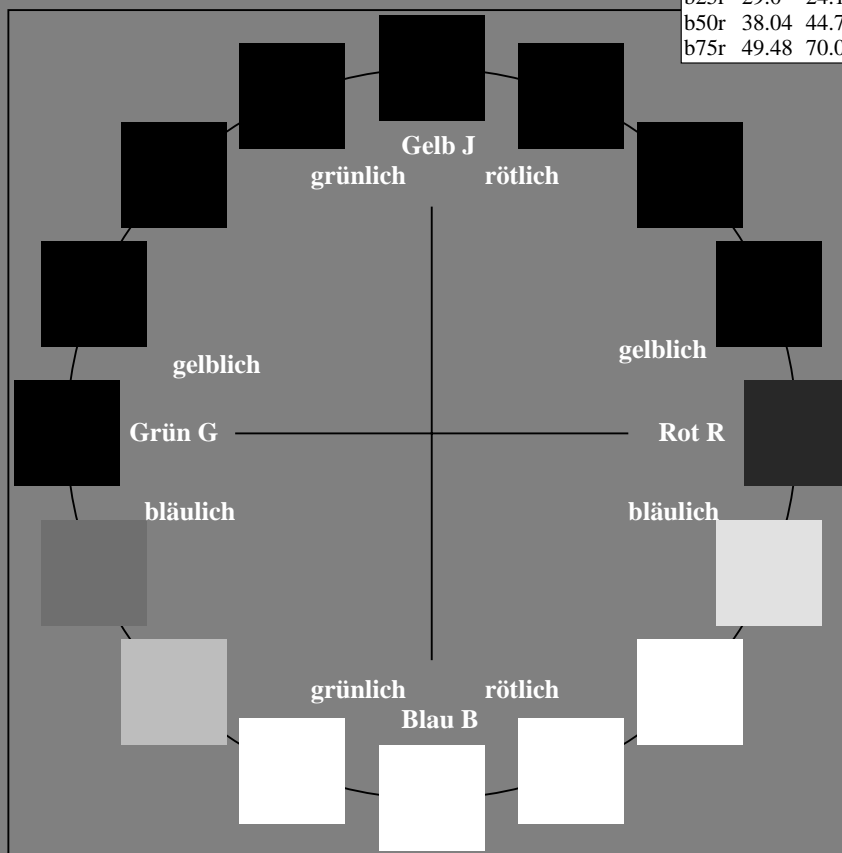
Ein und Ausgabe:  
Farbmetrisches Drucker-Reflektiv-System ORS20\_95a  
Daten für jede Farbe:  
*lab\*<sub>ich</sub>*\* und *lab\*<sub>icu</sub>*\*  
Elementar-Bunttontext:  
*u\** = 16 Buntttöne *r00j*, *r25j*, ..., *b75r*  
Kontrastreduzierungsfaktor:  
*c<sub>R</sub>* = 0.96

ORS20_95a; adaptierte CIELAB-Daten					
	<i>L*</i> = <i>L*</i> <sub>a</sub>	<i>a*</i> <sub>a</sub>	<i>b*</i> <sub>a</sub>	<i>C*</i> <sub>ab,a</sub>	<i>h*</i> <sub>ab,a</sub>
r00j	48.88	63.91	30.45	70.79	25
r25j	55.85	50.36	45.65	67.97	42
r50j	65.45	33.86	56.12	65.54	59
r75j	75.19	17.13	66.73	68.89	76
j00g	87.03	-3.21	79.64	79.7	92
j25g	80.72	-24.03	66.82	71.01	110
j50g	70.64	-38.01	49.96	62.78	127
j75g	61.93	-50.08	35.41	61.34	145
g00b	52.8	-62.76	20.12	65.91	162
g25b	55.7	-47.65	-8.05	48.34	190
g50b	57.82	-36.91	-27.79	46.22	217
g75b	55.5	-21.19	-44.16	49.0	244
b00r	41.6	1.31	-43.27	43.3	272
b25r	29.0	24.11	-41.46	47.97	300
b50r	38.04	44.73	-27.29	52.41	329
b75r	49.48	70.07	-3.61	70.16	357



%Umfang  
*u\**<sub>rel</sub> = 83  
%Regularität  
*g\**<sub>H,rel</sub> = 72  
*g\**<sub>C,rel</sub> = 57

ORS20_95a; adaptierte CIELAB-Daten					
	<i>L*</i> = <i>L*</i> <sub>a</sub>	<i>a*</i> <sub>a</sub>	<i>b*</i> <sub>a</sub>	<i>C*</i> <sub>ab,a</sub>	<i>h*</i> <sub>ab,a</sub>
O <sub>Ma</sub>	48.75	62.56	37.91	73.15	31
Y <sub>Ma</sub>	90.92	-9.88	83.88	84.46	97
L <sub>Ma</sub>	52.69	-62.9	19.95	66.0	162
C <sub>Ma</sub>	59.61	-27.85	-44.43	52.45	238
V <sub>Ma</sub>	28.39	22.72	-42.42	48.13	298
M <sub>Ma</sub>	49.58	71.08	-9.19	71.67	353
N <sub>Ma</sub>	20.0	0.0	0.0	0.0	0
W <sub>Ma</sub>	95.0	0.0	0.0	0.0	0
R <sub>CIE</sub>	39.92	58.74	27.99	65.07	25
J <sub>CIE</sub>	81.26	-2.88	71.56	71.62	92
G <sub>CIE</sub>	52.23	-42.41	13.6	44.55	162
B <sub>CIE</sub>	30.57	1.41	-46.46	46.49	272



Ein und Ausgabe: Farbmetrisches Drucker-Reflektiv-System ORS20\_95a für relativen CIELAB-Buntton  $h^* = lab^*h^* = h_{ab}/360 = 25/360 = 0.071$

Daten für jede Farbe:

$lab^*ch^*$  und  $lab^*icu^*$

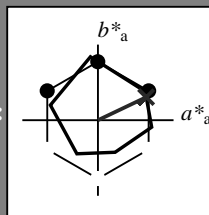
Elementar-Bunttontext:

$u^* = r00j$

Kontrastreduzierungsfaktor:

$c_R = 0.96$

Dreiecks-Helligkeit  $i^*$



ORS20_95a; adaptierte CIELAB-Daten					
	$L^*=L^*_a$	$a^*_a$	$b^*_a$	$C^*_{ab,a}$	$h^*_{ab,a}$
O <sub>Ma</sub>	48.75	62.56	37.91	73.15	31
Y <sub>Ma</sub>	90.92	-9.88	83.88	84.46	97
L <sub>Ma</sub>	52.69	-62.9	19.95	66.0	162
C <sub>Ma</sub>	59.61	-27.85	-44.43	52.45	238
V <sub>Ma</sub>	28.39	22.72	-42.42	48.13	298
M <sub>Ma</sub>	49.58	71.08	-9.19	71.67	353
N <sub>Ma</sub>	20.0	0.0	0.0	0.0	0
W <sub>Ma</sub>	95.0	0.0	0.0	0.0	0
R <sub>CIE</sub>	39.92	58.74	27.99	65.07	25
J <sub>CIE</sub>	81.26	-2.88	71.56	71.62	92
G <sub>CIE</sub>	52.23	-42.41	13.6	44.55	162
B <sub>CIE</sub>	30.57	1.41	-46.46	46.49	272

Daten für Maximalfarbe (Ma):

$LAB^*LAB^*_{Ma}$ : 49 64 30

$LAB^*LCH^*_{Ma}$ : 49 71 25

$lab^*rgb^*_{Ma}$ : 1.0 0.0 0.0

$lab^*olv^*_{Ma}$ : 1.0 0.0 0.16

Dreiecks-Helligkeit  $i^*$

%Umfang

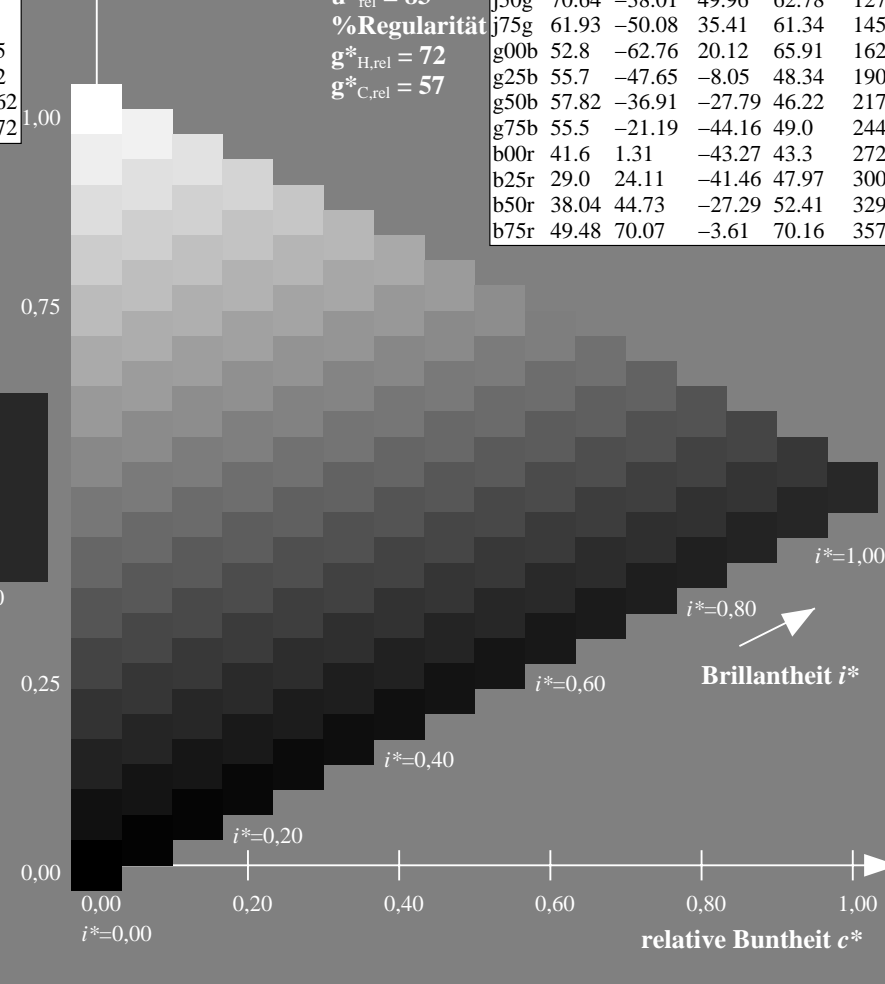
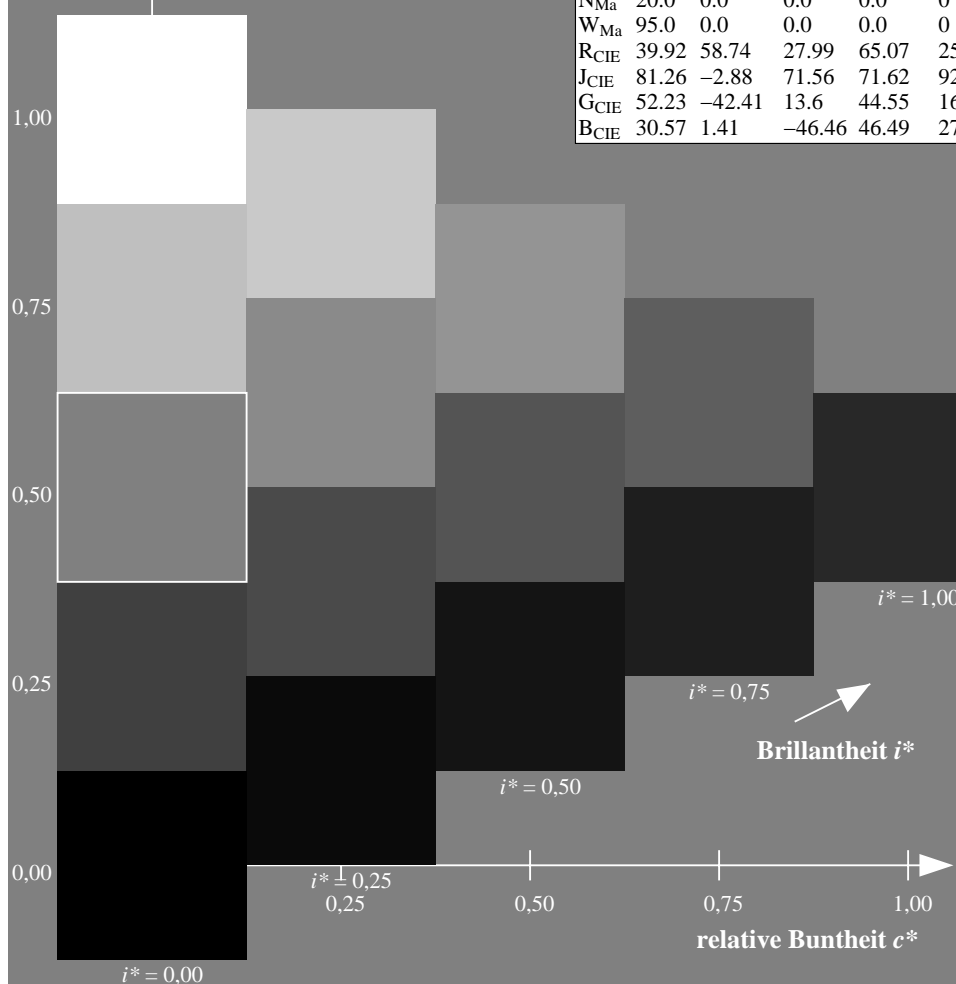
$u^*_{rel} = 83$

%Regularität

$g^*_{H,rel} = 72$

$g^*_{C,rel} = 57$

ORS20_95a; adaptierte CIELAB-Daten					
	$L^*=L^*_a$	$a^*_a$	$b^*_a$	$C^*_{ab,a}$	$h^*_{ab,a}$
r00j	48.88	63.91	30.45	70.79	25
r25j	55.85	50.36	45.65	67.97	42
r50j	65.45	33.86	56.12	65.54	59
r75j	75.19	17.13	66.73	68.89	76
j00g	87.03	-3.21	79.64	79.7	92
j25g	80.72	-24.03	66.82	71.01	110
j50g	70.64	-38.01	49.96	62.78	127
j75g	61.93	-50.08	35.41	61.34	145
g00b	52.8	-62.76	20.12	65.91	162
g25b	55.7	-47.65	-8.05	48.34	190
g50b	57.82	-36.91	-27.79	46.22	217
g75b	55.5	-21.19	-44.16	49.0	244
b00r	41.6	1.31	-43.27	43.3	272
b25r	29.0	24.11	-41.46	47.97	300
b50r	38.04	44.73	-27.29	52.41	329
b75r	49.48	70.07	-3.61	70.16	357





Ein und Ausgabe: Farbmétrisches Drucker-Reflektiv-System ORS20\_95a für relativen CIELAB-Buntton  $h^* = lab^*h^* = h_{ab}/360 = 42/360 = 0.117$

Daten für jede Farbe:

$lab^*ch^*$  und  $lab^*icu^*$

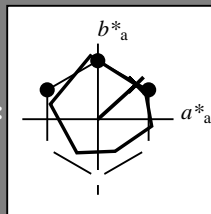
Elementar-Bunttoncontext:

$u^* = r25j$

Kontrastreduzierungsfaktor:

$c_R = 0.96$

Dreiecks-Helligkeit  $i^*$



ORS20\_95a; adaptierte CIELAB-Daten

	$L^*=L_a^*$	$a_a^*$	$b_a^*$	$C_{ab,a}^*$	$h_{ab,a}^*$
O <sub>Ma</sub>	48.75	62.56	37.91	73.15	31
Y <sub>Ma</sub>	90.92	-9.88	83.88	84.46	97
L <sub>Ma</sub>	52.69	-62.9	19.95	66.0	162
C <sub>Ma</sub>	59.61	-27.85	-44.43	52.45	238
V <sub>Ma</sub>	28.39	22.72	-42.42	48.13	298
M <sub>Ma</sub>	49.58	71.08	-9.19	71.67	353
N <sub>Ma</sub>	20.0	0.0	0.0	0.0	0
W <sub>Ma</sub>	95.0	0.0	0.0	0.0	0
R <sub>CIE</sub>	39.92	58.74	27.99	65.07	25
J <sub>CIE</sub>	81.26	-2.88	71.56	71.62	92
G <sub>CIE</sub>	52.23	-42.41	13.6	44.55	162
B <sub>CIE</sub>	30.57	1.41	-46.46	46.49	272

Daten für Maximalfarbe (Ma):

$LAB^*LAB^*Ma$ : 56 50 46

$LAB^*LCH^*Ma$ : 56 68 42

$lab^*rgb^*Ma$ : 1.0 0.25 0.0

$lab^*olv^*Ma$ : 1.0 0.17 0.0

Dreiecks-Helligkeit  $i^*$

%Umfang

$u^*_{rel} = 83$

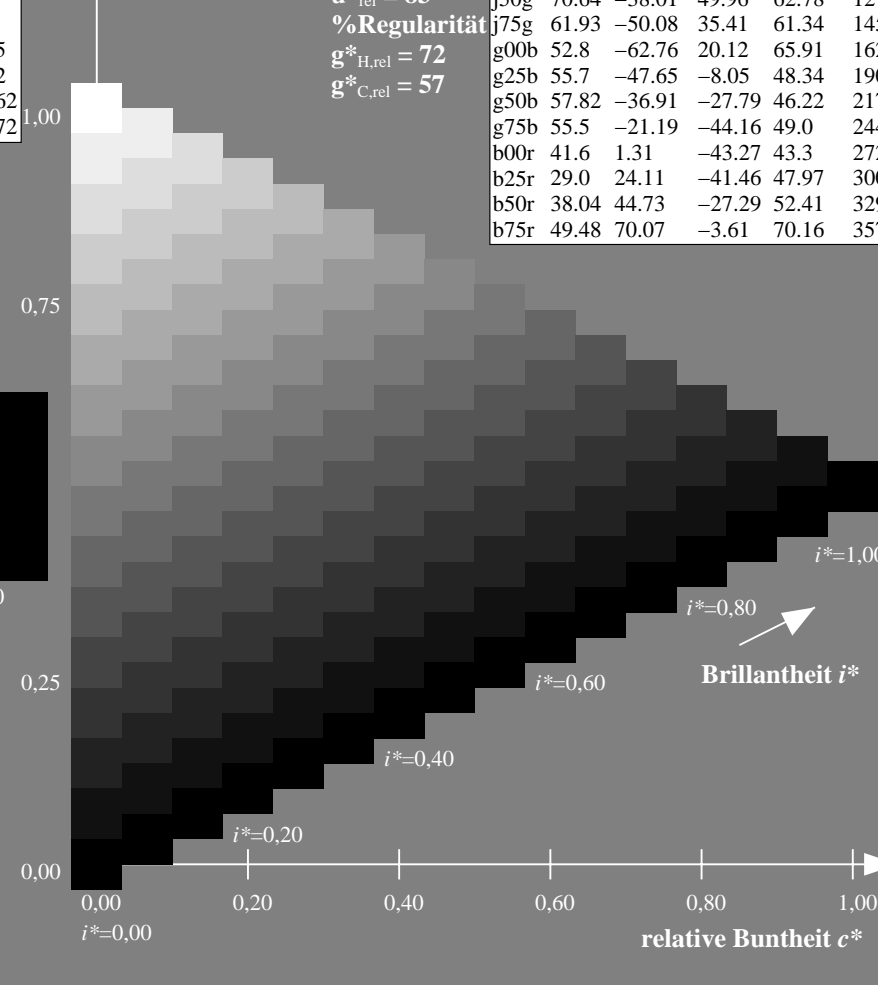
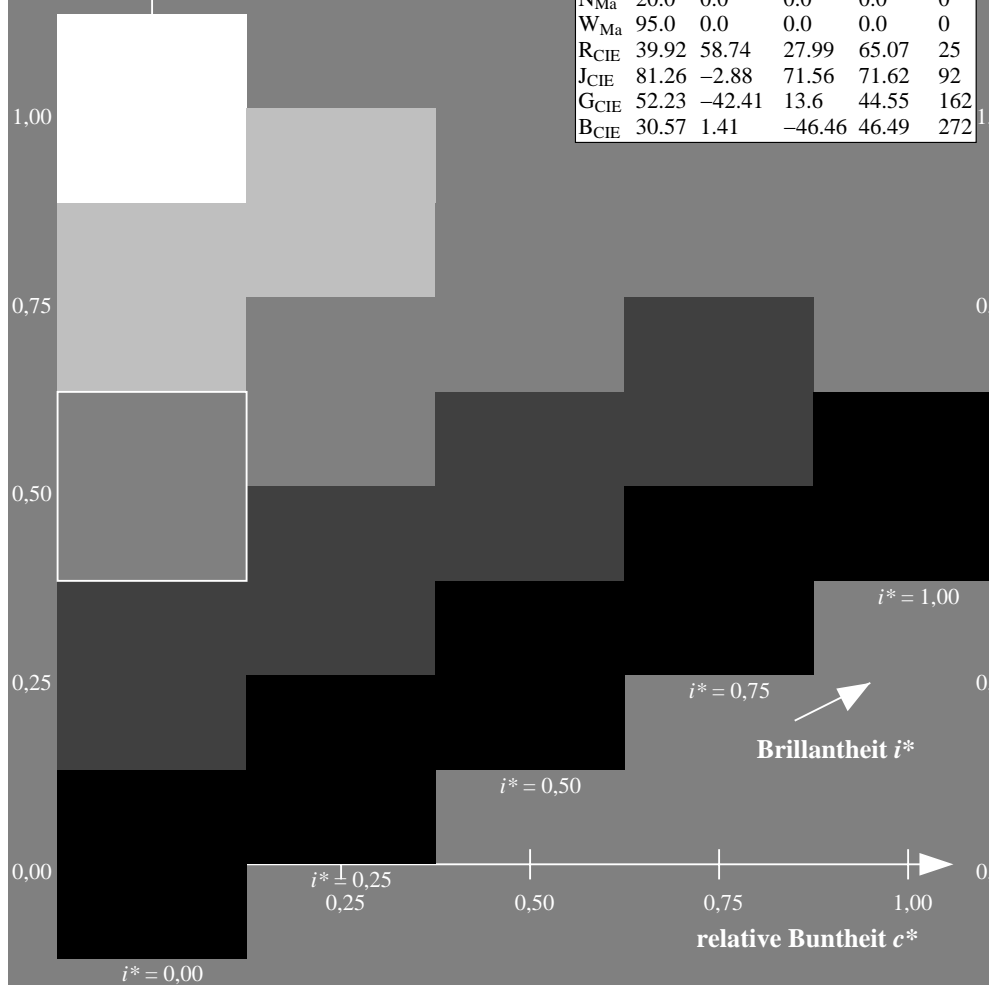
%Regularität

$g^*_{H,rel} = 72$

$g^*_{C,rel} = 57$

ORS20\_95a; adaptierte CIELAB-Daten

	$L^*=L_a^*$	$a_a^*$	$b_a^*$	$C_{ab,a}^*$	$h_{ab,a}^*$
r00j	48.88	63.91	30.45	70.79	25
r25j	55.85	50.36	45.65	67.97	42
r50j	65.45	33.86	56.12	65.54	59
r75j	75.19	17.13	66.73	68.89	76
j00g	87.03	-3.21	79.64	79.7	92
j25g	80.72	-24.03	66.82	71.01	110
j50g	70.64	-38.01	49.96	62.78	127
j75g	61.93	-50.08	35.41	61.34	145
g00b	52.8	-62.76	20.12	65.91	162
g25b	55.7	-47.65	-8.05	48.34	190
g50b	57.82	-36.91	-27.79	46.22	217
g75b	55.5	-21.19	-44.16	49.0	244
b00r	41.6	1.31	-43.27	43.3	272
b25r	29.0	24.11	-41.46	47.97	300
b50r	38.04	44.73	-27.29	52.41	329
b75r	49.48	70.07	-3.61	70.16	357



Ein und Ausgabe: Farbmétrisches Drucker-Reflektiv-System ORS20\_95a für relativen CIELAB-Buntton  $h^* = lab^*h^* = h_{ab}/360 = 59/360 = 0.164$

Daten für jede Farbe:

$lab^*ch^*$  und  $lab^*icu^*$

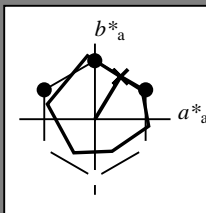
Elementar-Bunttoncontext:

$u^* = r50j$

Kontrastreduzierungsfaktor:

$c_R = 0.96$

Dreiecks-Helligkeit  $i^*$



ORS20\_95a; adaptierte CIELAB-Daten

	$L^*=L_a^*$	$a_a^*$	$b_a^*$	$C_{ab,a}^*$	$h_{ab,a}^*$
O <sub>Ma</sub>	48.75	62.56	37.91	73.15	31
Y <sub>Ma</sub>	90.92	-9.88	83.88	84.46	97
L <sub>Ma</sub>	52.69	-62.9	19.95	66.0	162
C <sub>Ma</sub>	59.61	-27.85	-44.43	52.45	238
V <sub>Ma</sub>	28.39	22.72	-42.42	48.13	298
M <sub>Ma</sub>	49.58	71.08	-9.19	71.67	353
N <sub>Ma</sub>	20.0	0.0	0.0	0.0	0
W <sub>Ma</sub>	95.0	0.0	0.0	0.0	0
R <sub>CIE</sub>	39.92	58.74	27.99	65.07	25
J <sub>CIE</sub>	81.26	-2.88	71.56	71.62	92
G <sub>CIE</sub>	52.23	-42.41	13.6	44.55	162
B <sub>CIE</sub>	30.57	1.41	-46.46	46.49	272

Daten für Maximalfarbe (Ma):

$LAB^*LAB^*Ma$ : 65 34 56

$LAB^*LCH^*Ma$ : 65 66 59

$lab^*rgb^*Ma$ : 1.0 0.5 0.0

$lab^*olv^*Ma$ : 1.0 0.4 0.0

Dreiecks-Helligkeit  $i^*$

%Umfang

$u^*_{rel} = 83$

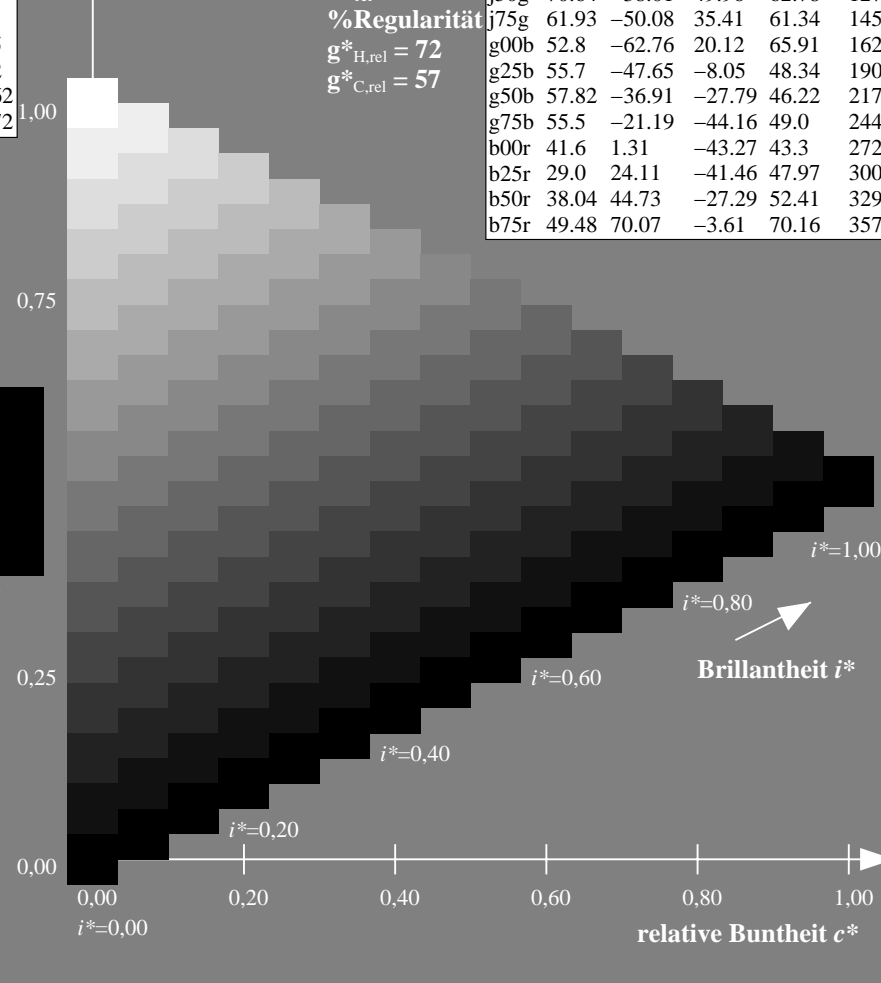
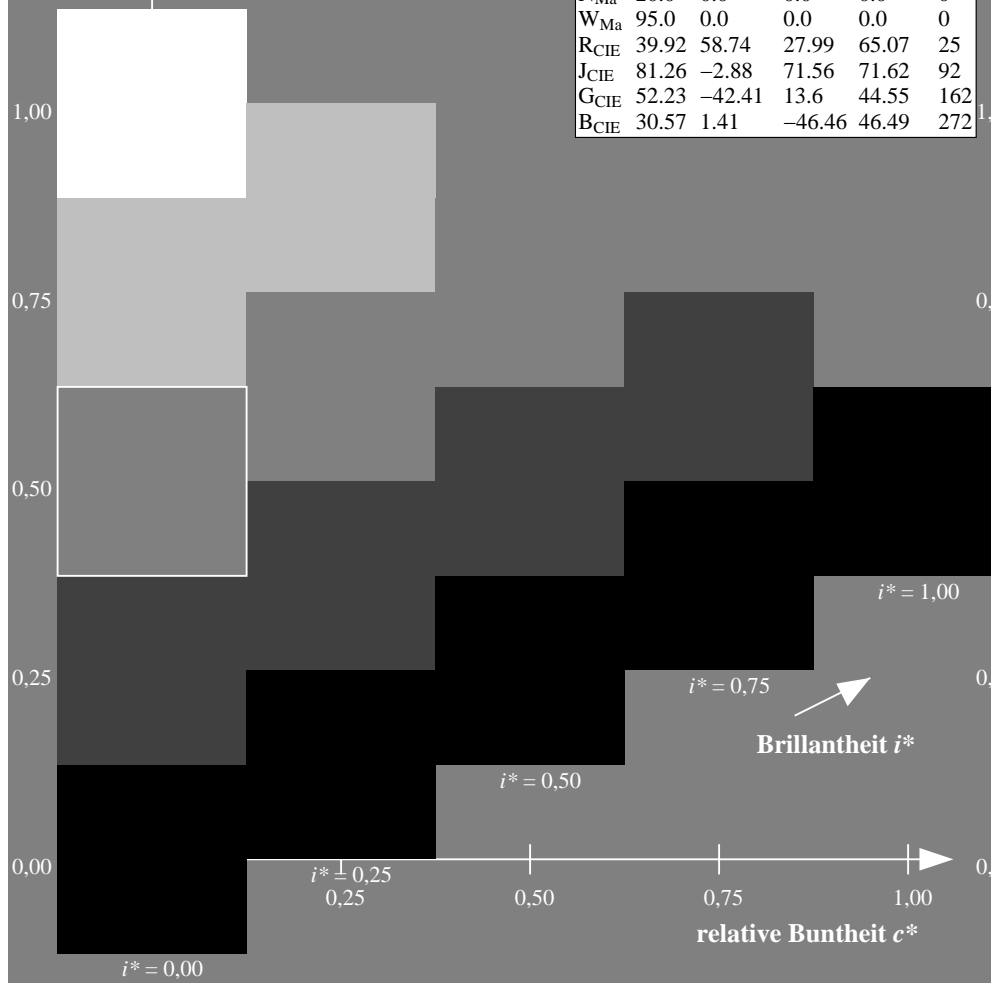
%Regularität

$g^*_{H,rel} = 72$

$g^*_{C,rel} = 57$

ORS20\_95a; adaptierte CIELAB-Daten

	$L^*=L_a^*$	$a_a^*$	$b_a^*$	$C_{ab,a}^*$	$h_{ab,a}^*$
r00j	48.88	63.91	30.45	70.79	25
r25j	55.85	50.36	45.65	67.97	42
r50j	65.45	33.86	56.12	65.54	59
r75j	75.19	17.13	66.73	68.89	76
j00g	87.03	-3.21	79.64	79.7	92
j25g	80.72	-24.03	66.82	71.01	110
j50g	70.64	-38.01	49.96	62.78	127
j75g	61.93	-50.08	35.41	61.34	145
g00b	52.8	-62.76	20.12	65.91	162
g25b	55.7	-47.65	-8.05	48.34	190
g50b	57.82	-36.91	-27.79	46.22	217
g75b	55.5	-21.19	-44.16	49.0	244
b00r	41.6	1.31	-43.27	43.3	272
b25r	29.0	24.11	-41.46	47.97	300
b50r	38.04	44.73	-27.29	52.41	329
b75r	49.48	70.07	-3.61	70.16	357



Ein und Ausgabe: Farbmétrisches Drucker-Reflektiv-System ORS20\_95a für relativen CIELAB-Buntton  $h^* = lab^*h^* = h_{ab}/360 = 76/360 = 0.21$

Daten für jede Farbe:

$lab^*ch^*$  und  $lab^*icu^*$

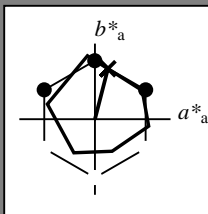
Elementar-Bunttoncontext:

$u^* = r75j$

Kontrastreduzierungsfaktor:

$c_R = 0.96$

Dreiecks-Helligkeit  $i^*$



ORS20\_95a; adaptierte CIELAB-Daten

	$L^*=L_a^*$	$a_a^*$	$b_a^*$	$C_{ab,a}^*$	$h_{ab,a}^*$
O <sub>Ma</sub>	48.75	62.56	37.91	73.15	31
Y <sub>Ma</sub>	90.92	-9.88	83.88	84.46	97
L <sub>Ma</sub>	52.69	-62.9	19.95	66.0	162
C <sub>Ma</sub>	59.61	-27.85	-44.43	52.45	238
V <sub>Ma</sub>	28.39	22.72	-42.42	48.13	298
M <sub>Ma</sub>	49.58	71.08	-9.19	71.67	353
N <sub>Ma</sub>	20.0	0.0	0.0	0.0	0
W <sub>Ma</sub>	95.0	0.0	0.0	0.0	0
R <sub>CIE</sub>	39.92	58.74	27.99	65.07	25
J <sub>CIE</sub>	81.26	-2.88	71.56	71.62	92
G <sub>CIE</sub>	52.23	-42.41	13.6	44.55	162
B <sub>CIE</sub>	30.57	1.41	-46.46	46.49	272

Daten für Maximalfarbe (Ma):

$LAB^*LAB^*Ma$ : 75 17 67

$LAB^*LCH^*Ma$ : 75 69 76

$lab^*rgb^*Ma$ : 1.0 0.75 0.0

$lab^*olv^*Ma$ : 1.0 0.63 0.0

Dreiecks-Helligkeit  $i^*$

ORS20\_95a; adaptierte CIELAB-Daten

	$L^*=L_a^*$	$a_a^*$	$b_a^*$	$C_{ab,a}^*$	$h_{ab,a}^*$
r00j	48.88	63.91	30.45	70.79	25
r25j	55.85	50.36	45.65	67.97	42
r50j	65.45	33.86	56.12	65.54	59
r75j	75.19	17.13	66.73	68.89	76
j00g	87.03	-3.21	79.64	79.7	92
j25g	80.72	-24.03	66.82	71.01	110
j50g	70.64	-38.01	49.96	62.78	127
j75g	61.93	-50.08	35.41	61.34	145
g00b	52.8	-62.76	20.12	65.91	162
g25b	55.7	-47.65	-8.05	48.34	190
g50b	57.82	-36.91	-27.79	46.22	217
g75b	55.5	-21.19	-44.16	49.0	244
b00r	41.6	1.31	-43.27	43.3	272
b25r	29.0	24.11	-41.46	47.97	300
b50r	38.04	44.73	-27.29	52.41	329
b75r	49.48	70.07	-3.61	70.16	357

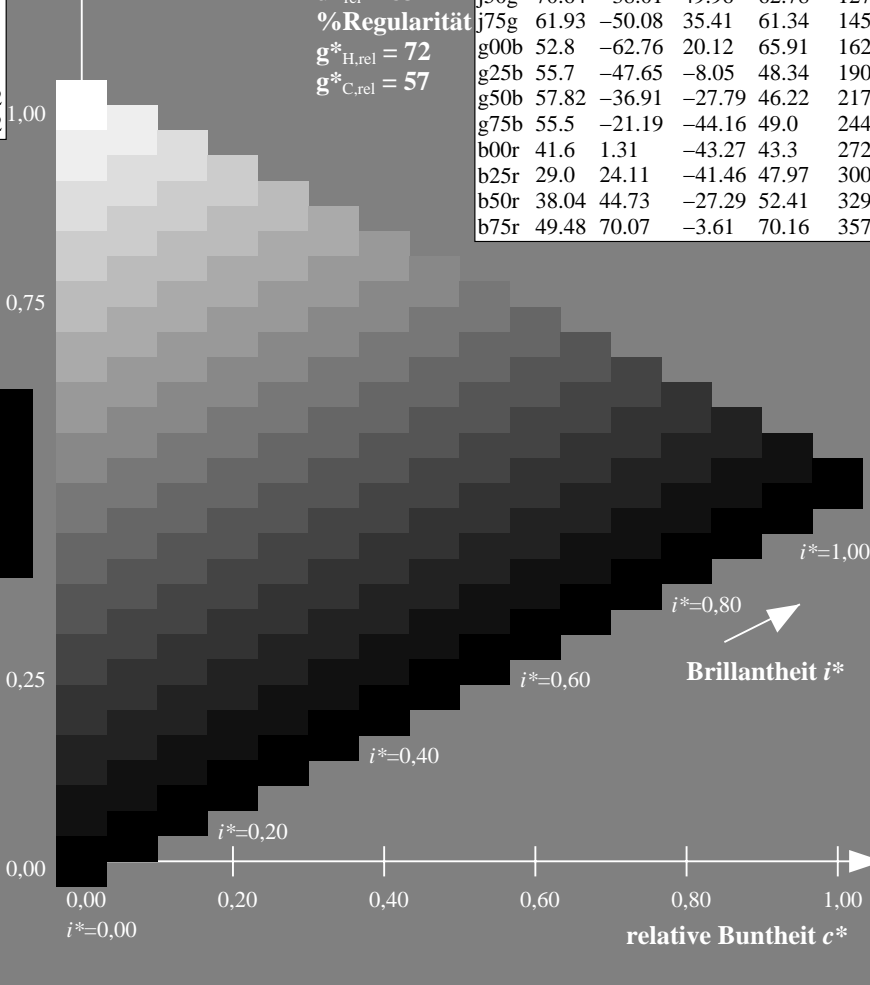
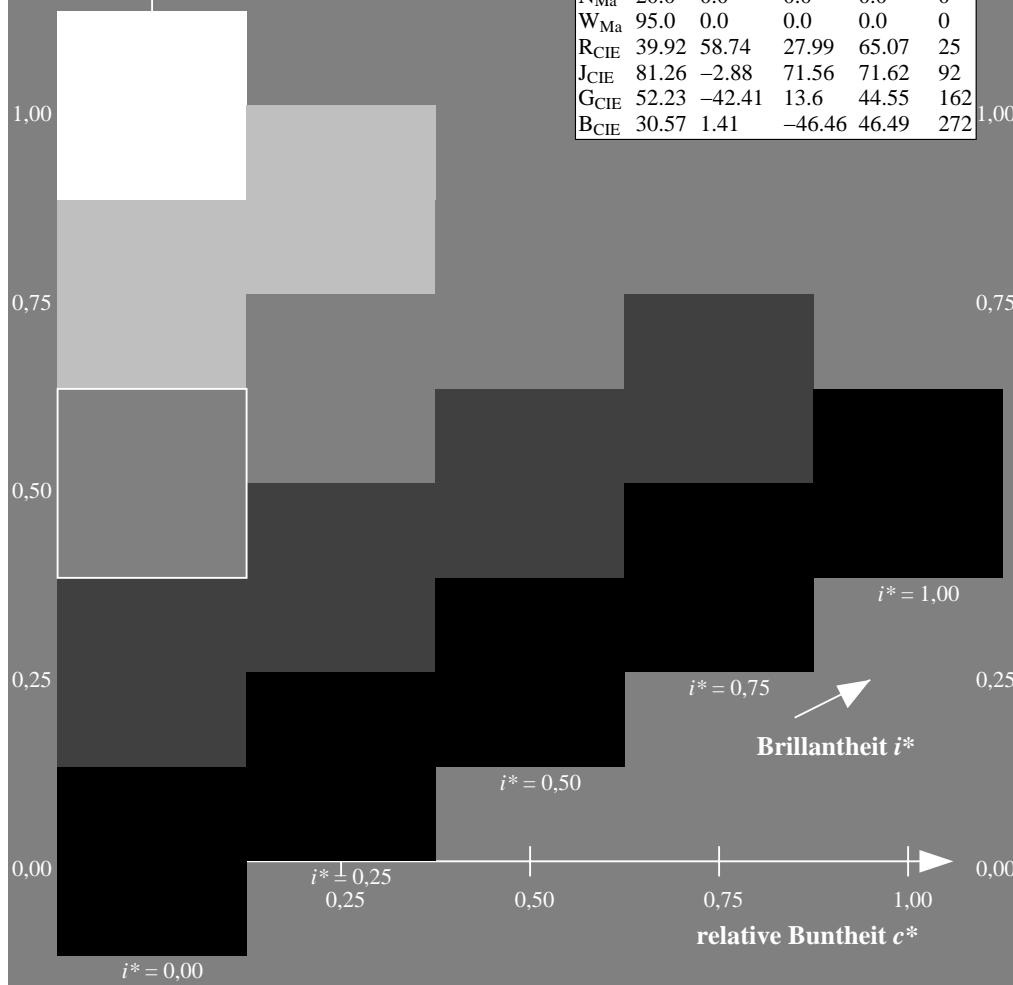
%Umfang

$u^*_{rel} = 83$

%Regularität

$g^*_{H,rel} = 72$

$g^*_{C,rel} = 57$



Ein und Ausgabe: Farbmétrisches Drucker-Reflektiv-System ORS20\_95a für relativen CIELAB-Buntton  $h^* = lab^*h^* = h_{ab}/360 = 92/360 = 0.256$

Daten für jede Farbe:

$lab^*ch^*$  und  $lab^*icu^*$

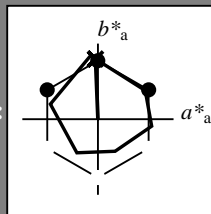
Elementar-Bunttoncontext:

$u^* = j00g$

Kontrastreduzierungsfaktor:

$c_R = 0.96$

Dreiecks-Helligkeit  $t^*$



ORS20_95a; adaptierte CIELAB-Daten					
	$L^*=L_a^*$	$a_a^*$	$b_a^*$	$C_{ab,a}^*$	$h_{ab,a}^*$
O <sub>Ma</sub>	48.75	62.56	37.91	73.15	31
Y <sub>Ma</sub>	90.92	-9.88	83.88	84.46	97
L <sub>Ma</sub>	52.69	-62.9	19.95	66.0	162
C <sub>Ma</sub>	59.61	-27.85	-44.43	52.45	238
V <sub>Ma</sub>	28.39	22.72	-42.42	48.13	298
M <sub>Ma</sub>	49.58	71.08	-9.19	71.67	353
N <sub>Ma</sub>	20.0	0.0	0.0	0.0	0
W <sub>Ma</sub>	95.0	0.0	0.0	0.0	0
R <sub>CIE</sub>	39.92	58.74	27.99	65.07	25
J <sub>CIE</sub>	81.26	-2.88	71.56	71.62	92
G <sub>CIE</sub>	52.23	-42.41	13.6	44.55	162
B <sub>CIE</sub>	30.57	1.41	-46.46	46.49	272

Daten für Maximalfarbe (Ma):

$LAB^*LAB^*_{Ma}$ : 87 -2 80

$LAB^*LCH^*_{Ma}$ : 87 80 92

$lab^*rgb^*_{Ma}$ : 1.0 1.0 0.0

$lab^*olv^*_{Ma}$ : 1.0 0.91 0.0

Dreiecks-Helligkeit  $t^*$

%Umfang

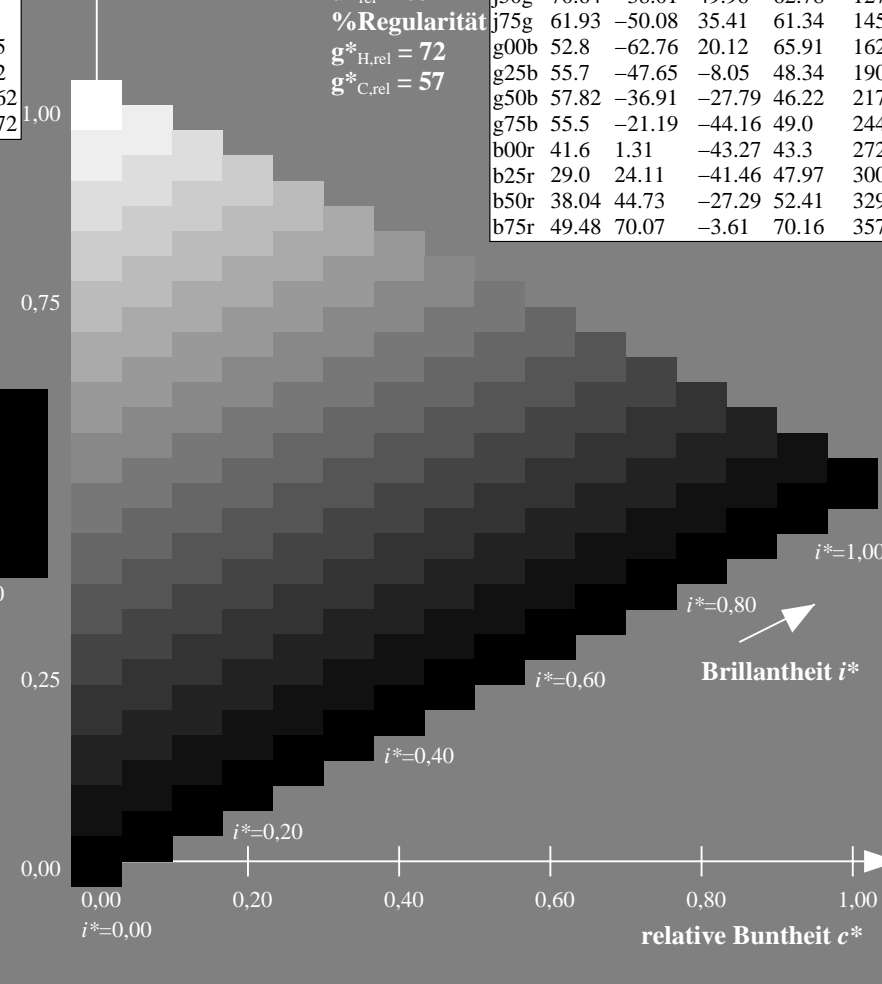
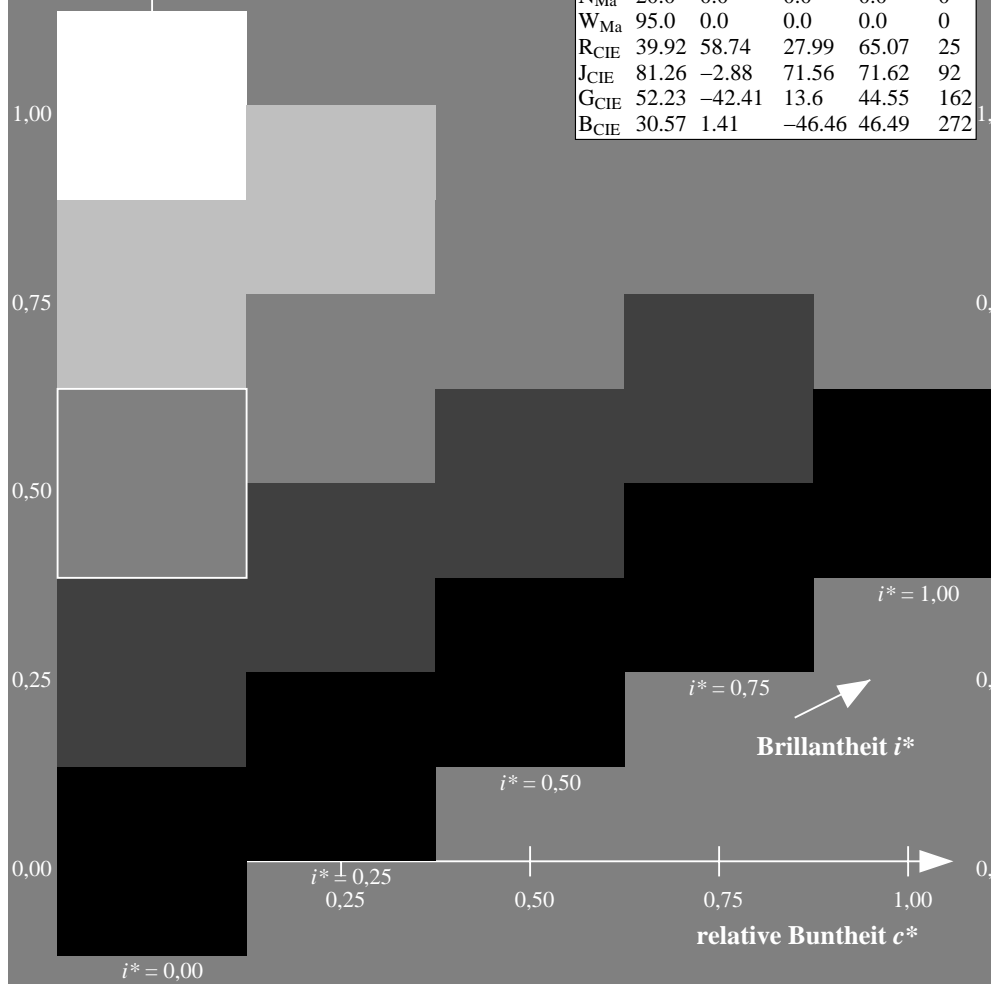
$u^*_{rel} = 83$

%Regularität

$g^*_{H,rel} = 72$

$g^*_{C,rel} = 57$

ORS20_95a; adaptierte CIELAB-Daten					
	$L^*=L_a^*$	$a_a^*$	$b_a^*$	$C_{ab,a}^*$	$h_{ab,a}^*$
r00j	48.88	63.91	30.45	70.79	25
r25j	55.85	50.36	45.65	67.97	42
r50j	65.45	33.86	56.12	65.54	59
r75j	75.19	17.13	66.73	68.89	76
j00g	87.03	-3.21	79.64	79.7	92
j25g	80.72	-24.03	66.82	71.01	110
j50g	70.64	-38.01	49.96	62.78	127
j75g	61.93	-50.08	35.41	61.34	145
g00b	52.8	-62.76	20.12	65.91	162
g25b	55.7	-47.65	-8.05	48.34	190
g50b	57.82	-36.91	-27.79	46.22	217
g75b	55.5	-21.19	-44.16	49.0	244
b00r	41.6	1.31	-43.27	43.3	272
b25r	29.0	24.11	-41.46	47.97	300
b50r	38.04	44.73	-27.29	52.41	329
b75r	49.48	70.07	-3.61	70.16	357



Ein und Ausgabe: Farbmétrisches Drucker-Reflektiv-System ORS20\_95a für relativen CIELAB-Buntton  $h^* = lab^*h^* = h_{ab}/360 = 110/360 = 0.305$

Daten für jede Farbe:

$lab^*ch^*$  und  $lab^*icu^*$

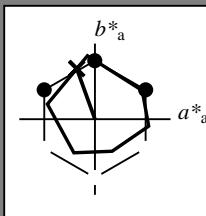
Elementar-Bunttoncontext:

$u^* = j25g$

Kontrastreduzierungsfaktor:

$c_R = 0.96$

Dreiecks-Helligkeit  $i^*$



ORS20_95a; adaptierte CIELAB-Daten					
	$L^*=L^*_a$	$a^*_a$	$b^*_a$	$C^*_{ab,a}$	$h^*_{ab,a}$
O <sub>Ma</sub>	48.75	62.56	37.91	73.15	31
Y <sub>Ma</sub>	90.92	-9.88	83.88	84.46	97
L <sub>Ma</sub>	52.69	-62.9	19.95	66.0	162
C <sub>Ma</sub>	59.61	-27.85	-44.43	52.45	238
V <sub>Ma</sub>	28.39	22.72	-42.42	48.13	298
M <sub>Ma</sub>	49.58	71.08	-9.19	71.67	353
N <sub>Ma</sub>	20.0	0.0	0.0	0.0	0
W <sub>Ma</sub>	95.0	0.0	0.0	0.0	0
R <sub>CIE</sub>	39.92	58.74	27.99	65.07	25
J <sub>CIE</sub>	81.26	-2.88	71.56	71.62	92
G <sub>CIE</sub>	52.23	-42.41	13.6	44.55	162
B <sub>CIE</sub>	30.57	1.41	-46.46	46.49	272

Daten für Maximalfarbe (Ma):

$LAB^*LAB^*_{Ma}$ : 81 -23 67

$LAB^*LCH^*_{Ma}$ : 81 71 110

$lab^*rgb^*_{Ma}$ : 0.75 1.0 0.0

$lab^*olv^*_{Ma}$ : 0.73 1.0 0.0

Dreiecks-Helligkeit  $i^*$

%Umfang

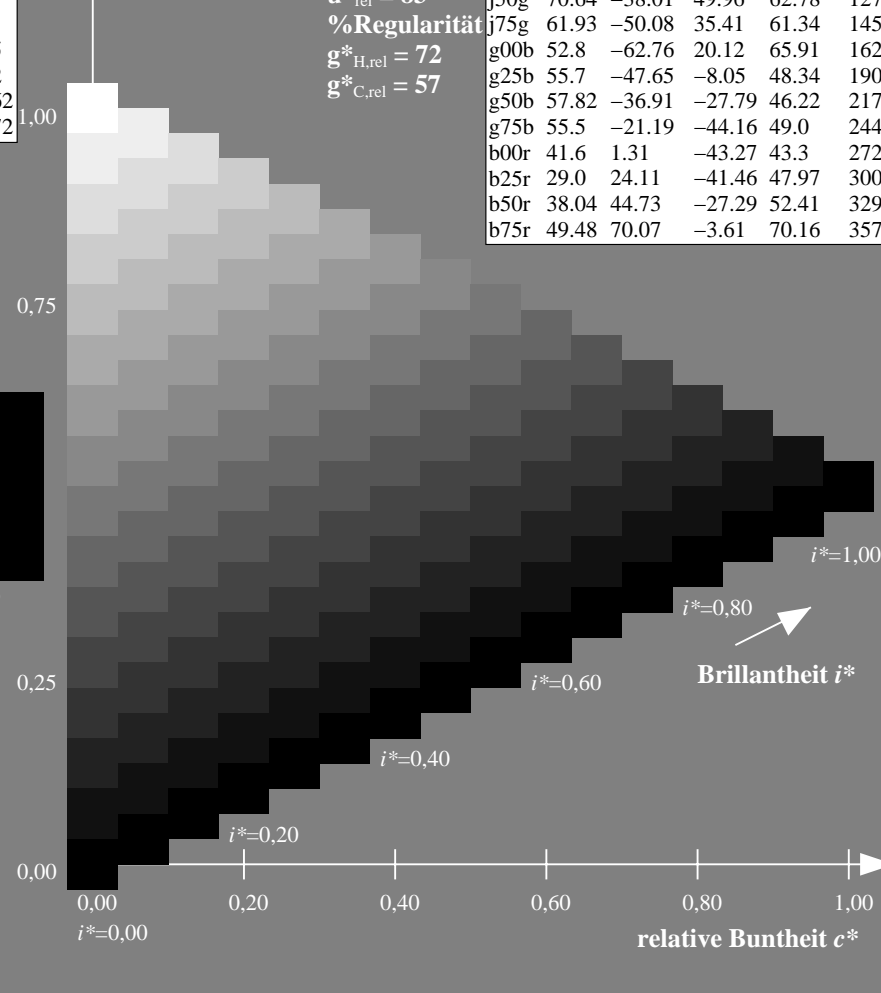
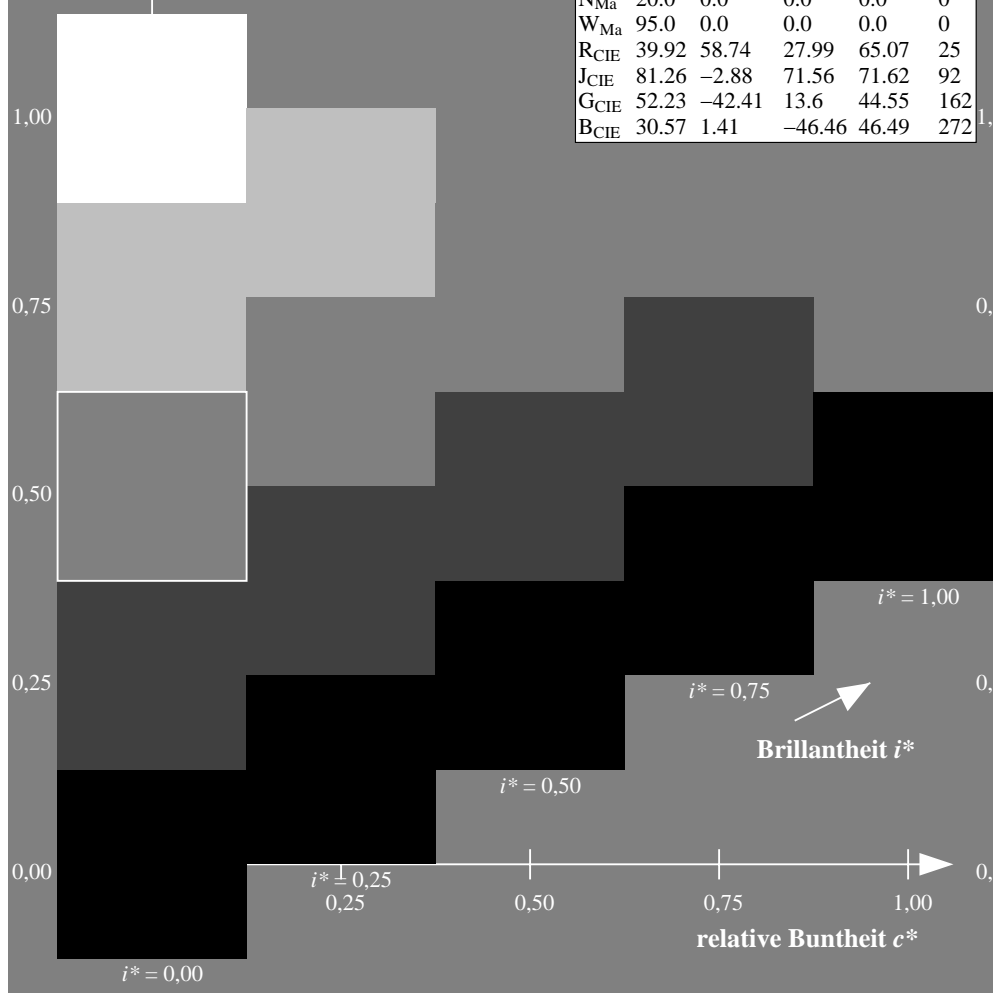
$u^*_{rel} = 83$

%Regularität

$g^*_{H,rel} = 72$

$g^*_{C,rel} = 57$

ORS20_95a; adaptierte CIELAB-Daten					
	$L^*=L^*_a$	$a^*_a$	$b^*_a$	$C^*_{ab,a}$	$h^*_{ab,a}$
r00j	48.88	63.91	30.45	70.79	25
r25j	55.85	50.36	45.65	67.97	42
r50j	65.45	33.86	56.12	65.54	59
r75j	75.19	17.13	66.73	68.89	76
j00g	87.03	-3.21	79.64	79.7	92
j25g	80.72	-24.03	66.82	71.01	110
j50g	70.64	-38.01	49.96	62.78	127
j75g	61.93	-50.08	35.41	61.34	145
g00b	52.8	-62.76	20.12	65.91	162
g25b	55.7	-47.65	-8.05	48.34	190
g50b	57.82	-36.91	-27.79	46.22	217
g75b	55.5	-21.19	-44.16	49.0	244
b00r	41.6	1.31	-43.27	43.3	272
b25r	29.0	24.11	-41.46	47.97	300
b50r	38.04	44.73	-27.29	52.41	329
b75r	49.48	70.07	-3.61	70.16	357



Ein und Ausgabe: Farbmetrisches Drucker-Reflektiv-System ORS20\_95a für relativen CIELAB-Buntton  $h^* = lab^*h^* = h_{ab}/360 = 127/360 = 0.354$

Daten für jede Farbe:

$lab^*ch^*$  und  $lab^*icu^*$

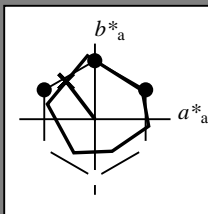
Elementar-Bunttoncontext:

$u^* = j50g$

Kontrastreduzierungsfaktor:

$c_R = 0.96$

Dreiecks-Helligkeit  $t^*$



ORS20\_95a; adaptierte CIELAB-Daten

	$L^* = L^*_a$	$a^*_a$	$b^*_a$	$C^*_{ab,a}$	$h^*_{ab,a}$
O <sub>Ma</sub>	48.75	62.56	37.91	73.15	31
Y <sub>Ma</sub>	90.92	-9.88	83.88	84.46	97
L <sub>Ma</sub>	52.69	-62.9	19.95	66.0	162
C <sub>Ma</sub>	59.61	-27.85	-44.43	52.45	238
V <sub>Ma</sub>	28.39	22.72	-42.42	48.13	298
M <sub>Ma</sub>	49.58	71.08	-9.19	71.67	353
N <sub>Ma</sub>	20.0	0.0	0.0	0.0	0
W <sub>Ma</sub>	95.0	0.0	0.0	0.0	0
R <sub>CIE</sub>	39.92	58.74	27.99	65.07	25
J <sub>CIE</sub>	81.26	-2.88	71.56	71.62	92
G <sub>CIE</sub>	52.23	-42.41	13.6	44.55	162
B <sub>CIE</sub>	30.57	1.41	-46.46	46.49	272

Daten für Maximalfarbe (Ma):

$LAB^*LAB^*_{Ma}$ : 71 -37 50

$LAB^*LCH^*_{Ma}$ : 71 63 127

$lab^*rgb^*_{Ma}$ : 0.5 1.0 0.0

$lab^*olv^*_{Ma}$ : 0.47 1.0 0.0

Dreiecks-Helligkeit  $t^*$

%Umfang

$u^*_{rel} = 83$

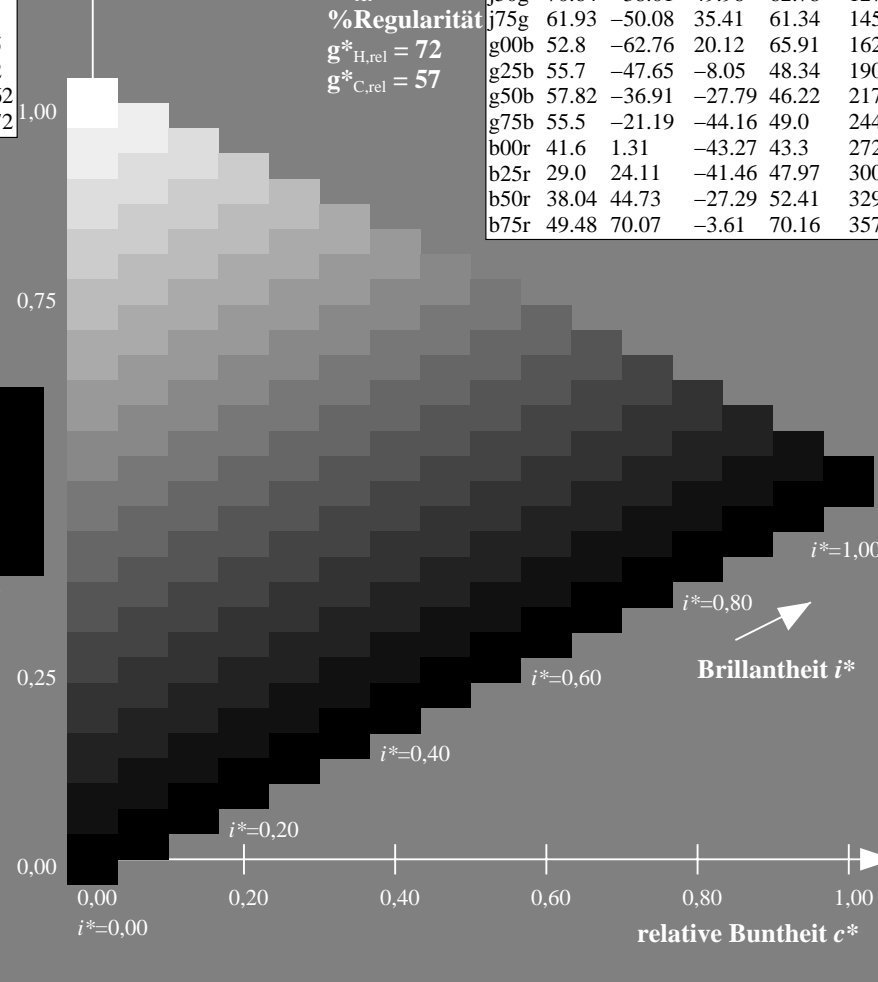
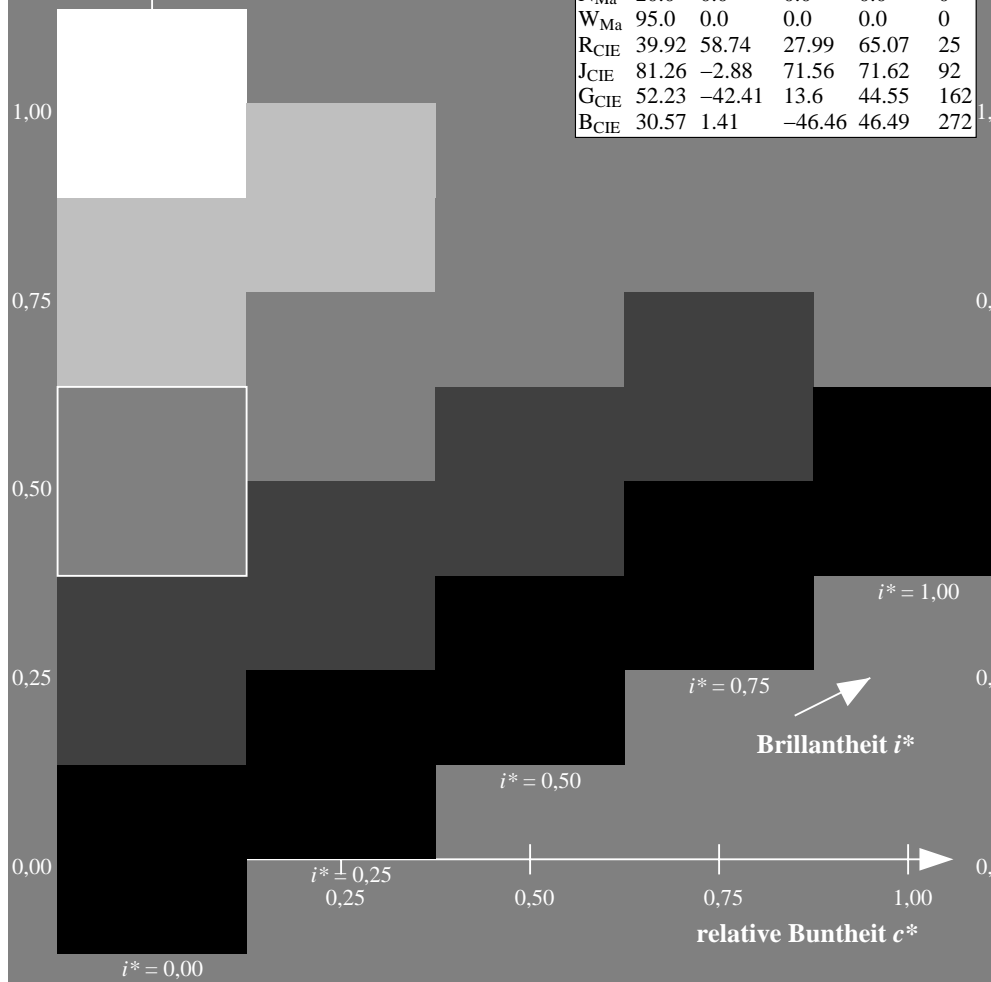
%Regularität

$g^*_{H,rel} = 72$

$g^*_{C,rel} = 57$

ORS20\_95a; adaptierte CIELAB-Daten

	$L^* = L^*_a$	$a^*_a$	$b^*_a$	$C^*_{ab,a}$	$h^*_{ab,a}$
r00j	48.88	63.91	30.45	70.79	25
r25j	55.85	50.36	45.65	67.97	42
r50j	65.45	33.86	56.12	65.54	59
r75j	75.19	17.13	66.73	68.89	76
j00g	87.03	-3.21	79.64	79.7	92
j25g	80.72	-24.03	66.82	71.01	110
j50g	70.64	-38.01	49.96	62.78	127
j75g	61.93	-50.08	35.41	61.34	145
g00b	52.8	-62.76	20.12	65.91	162
g25b	55.7	-47.65	-8.05	48.34	190
g50b	57.82	-36.91	-27.79	46.22	217
g75b	55.5	-21.19	-44.16	49.0	244
b00r	41.6	1.31	-43.27	43.3	272
b25r	29.0	24.11	-41.46	47.97	300
b50r	38.04	44.73	-27.29	52.41	329
b75r	49.48	70.07	-3.61	70.16	357





Ein und Ausgabe: Farbmétrisches Drucker-Reflektiv-System ORS20\_95a für relativen CIELAB-Buntton  $h^* = lab^*h^* = h_{ab}/360 = 145/360 = 0.402$

Daten für jede Farbe:

$lab^*ch^*$  und  $lab^*icu^*$

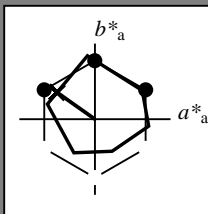
Elementar-Bunttoncontext:

$u^* = j75g$

Kontrastreduzierungsfaktor:

$c_R = 0.96$

Dreiecks-Helligkeit  $i^*$



ORS20\_95a; adaptierte CIELAB-Daten

	$L^* = L^*_a$	$a^*_a$	$b^*_a$	$C^*_{ab,a}$	$h^*_{ab,a}$
O <sub>Ma</sub>	48.75	62.56	37.91	73.15	31
Y <sub>Ma</sub>	90.92	-9.88	83.88	84.46	97
L <sub>Ma</sub>	52.69	-62.9	19.95	66.0	162
C <sub>Ma</sub>	59.61	-27.85	-44.43	52.45	238
V <sub>Ma</sub>	28.39	22.72	-42.42	48.13	298
M <sub>Ma</sub>	49.58	71.08	-9.19	71.67	353
N <sub>Ma</sub>	20.0	0.0	0.0	0.0	0
W <sub>Ma</sub>	95.0	0.0	0.0	0.0	0
R <sub>CIE</sub>	39.92	58.74	27.99	65.07	25
J <sub>CIE</sub>	81.26	-2.88	71.56	71.62	92
G <sub>CIE</sub>	52.23	-42.41	13.6	44.55	162
B <sub>CIE</sub>	30.57	1.41	-46.46	46.49	272

Daten für Maximalfarbe (Ma):

$LAB^*LAB^*_{Ma}$ : 62 -49 35

$LAB^*LCH^*_{Ma}$ : 62 61 145

$lab^*rgb^*_{Ma}$ : 0.25 1.0 0.0

$lab^*olv^*_{Ma}$ : 0.24 1.0 0.0

Dreiecks-Helligkeit  $i^*$

%Umfang

$u^*_{rel} = 83$

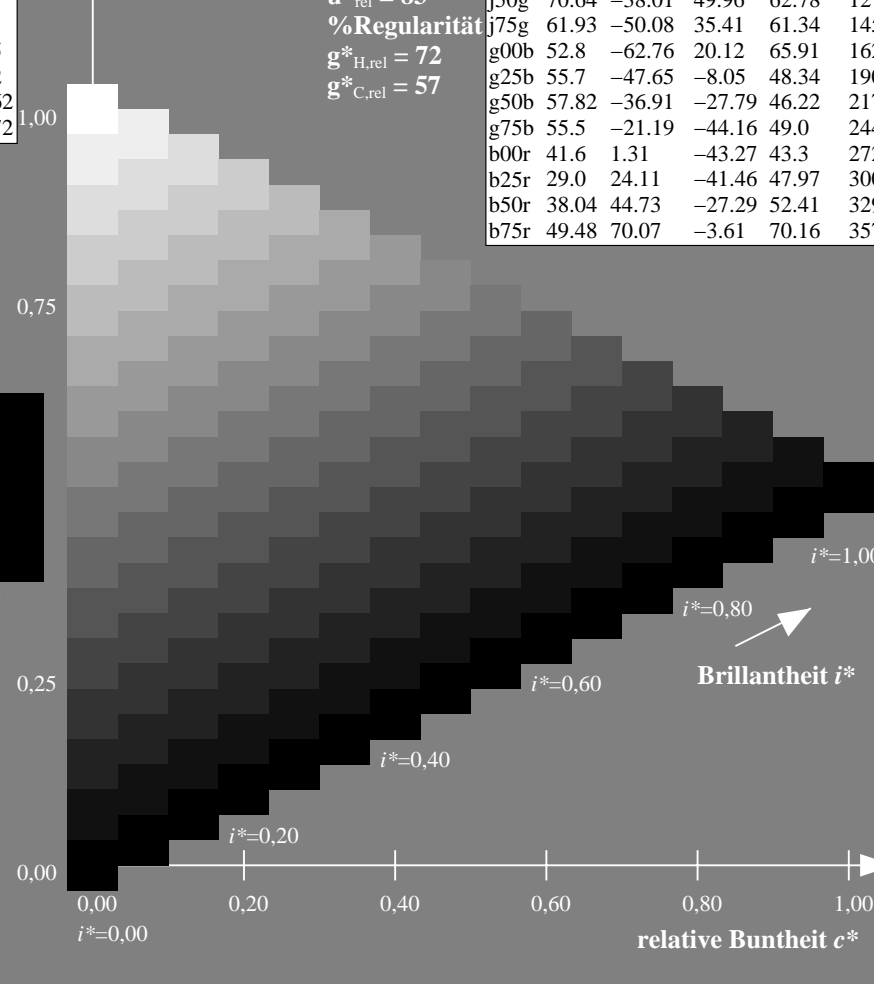
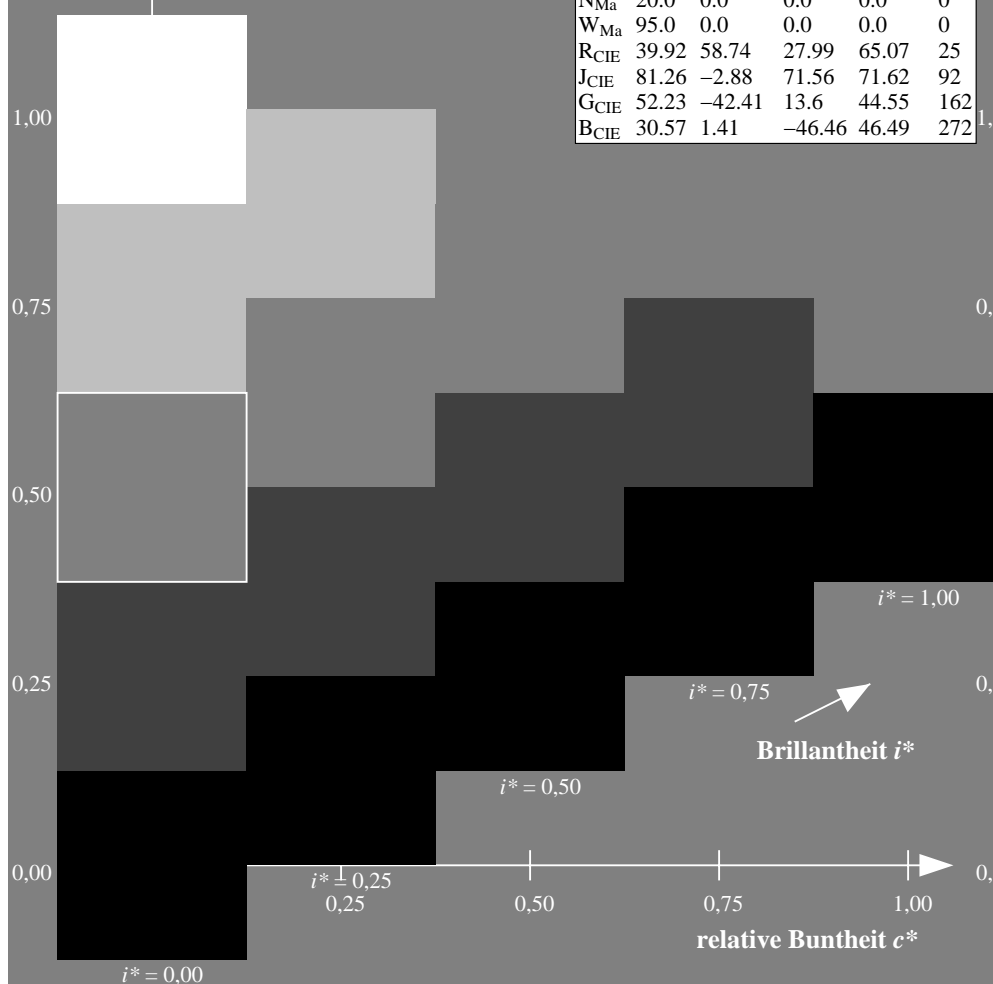
%Regularität

$g^*_{H,rel} = 72$

$g^*_{C,rel} = 57$

ORS20\_95a; adaptierte CIELAB-Daten

	$L^* = L^*_a$	$a^*_a$	$b^*_a$	$C^*_{ab,a}$	$h^*_{ab,a}$
r00j	48.88	63.91	30.45	70.79	25
r25j	55.85	50.36	45.65	67.97	42
r50j	65.45	33.86	56.12	65.54	59
r75j	75.19	17.13	66.73	68.89	76
j00g	87.03	-3.21	79.64	79.7	92
j25g	80.72	-24.03	66.82	71.01	110
j50g	70.64	-38.01	49.96	62.78	127
j75g	61.93	-50.08	35.41	61.34	145
g00b	52.8	-62.76	20.12	65.91	162
g25b	55.7	-47.65	-8.05	48.34	190
g50b	57.82	-36.91	-27.79	46.22	217
g75b	55.5	-21.19	-44.16	49.0	244
b00r	41.6	1.31	-43.27	43.3	272
b25r	29.0	24.11	-41.46	47.97	300
b50r	38.04	44.73	-27.29	52.41	329
b75r	49.48	70.07	-3.61	70.16	357



Ein und Ausgabe: Farbmétrisches Drucker-Reflektiv-System ORS20\_95a für relativen CIELAB-Buntton  $h^* = lab^*h^* = h_{ab}/360 = 162/360 = 0.451$

Daten für jede Farbe:

$lab^*ch^*$  und  $lab^*icu^*$

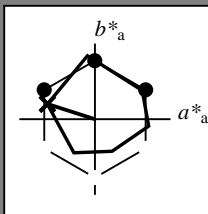
Elementar-Bunttoncontext:

$u^* = g00b$

Kontrastreduzierungsfaktor:

$c_R = 0.96$

Dreiecks-Helligkeit  $t^*$



ORS20\_95a; adaptierte CIELAB-Daten

	$L^*=L_a^*$	$a_a^*$	$b_a^*$	$C_{ab,a}^*$	$h_{ab,a}^*$
O <sub>Ma</sub>	48.75	62.56	37.91	73.15	31
Y <sub>Ma</sub>	90.92	-9.88	83.88	84.46	97
L <sub>Ma</sub>	52.69	-62.9	19.95	66.0	162
C <sub>Ma</sub>	59.61	-27.85	-44.43	52.45	238
V <sub>Ma</sub>	28.39	22.72	-42.42	48.13	298
M <sub>Ma</sub>	49.58	71.08	-9.19	71.67	353
N <sub>Ma</sub>	20.0	0.0	0.0	0.0	0
W <sub>Ma</sub>	95.0	0.0	0.0	0.0	0
R <sub>CIE</sub>	39.92	58.74	27.99	65.07	25
J <sub>CIE</sub>	81.26	-2.88	71.56	71.62	92
G <sub>CIE</sub>	52.23	-42.41	13.6	44.55	162
B <sub>CIE</sub>	30.57	1.41	-46.46	46.49	272

Daten für Maximalfarbe (Ma):

$LAB^*LAB^*Ma$ : 53 -62 20

$LAB^*LCH^*Ma$ : 53 66 162

$lab^*rgb^*Ma$ : 0.0 1.0 0.0

$lab^*olv^*Ma$ : 0.0 1.0 0.0

Dreiecks-Helligkeit  $t^*$

%Umfang

$u^*_{rel} = 83$

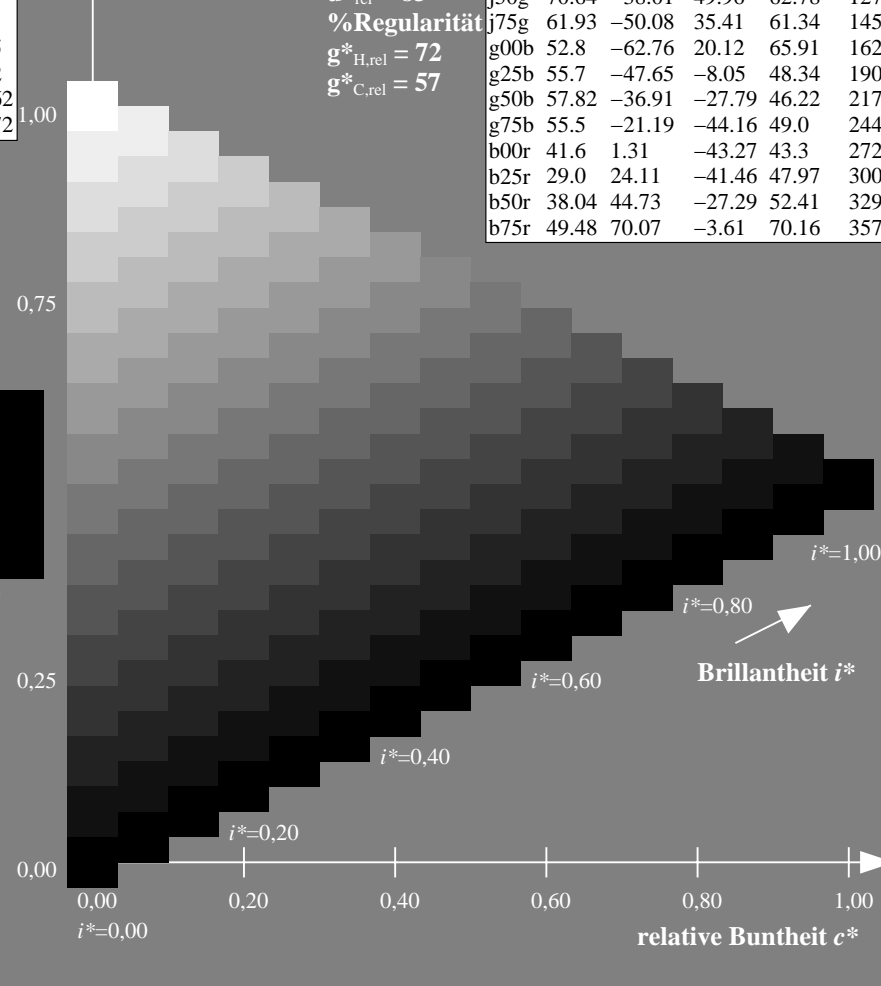
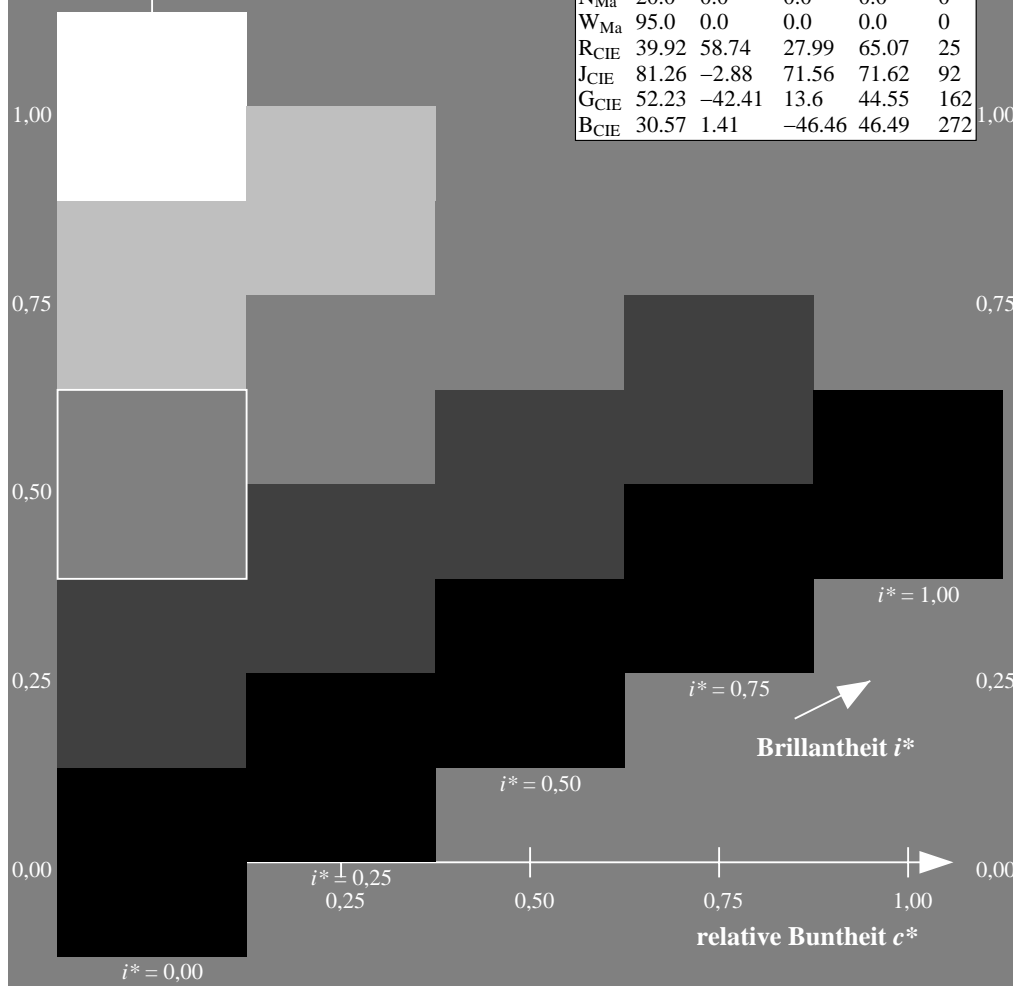
%Regularität

$g^*_{H,rel} = 72$

$g^*_{C,rel} = 57$

ORS20\_95a; adaptierte CIELAB-Daten

	$L^*=L_a^*$	$a_a^*$	$b_a^*$	$C_{ab,a}^*$	$h_{ab,a}^*$
r00j	48.88	63.91	30.45	70.79	25
r25j	55.85	50.36	45.65	67.97	42
r50j	65.45	33.86	56.12	65.54	59
r75j	75.19	17.13	66.73	68.89	76
j00g	87.03	-3.21	79.64	79.7	92
j25g	80.72	-24.03	66.82	71.01	110
j50g	70.64	-38.01	49.96	62.78	127
j75g	61.93	-50.08	35.41	61.34	145
g00b	52.8	-62.76	20.12	65.91	162
g25b	55.7	-47.65	-8.05	48.34	190
g50b	57.82	-36.91	-27.79	46.22	217
g75b	55.5	-21.19	-44.16	49.0	244
b00r	41.6	1.31	-43.27	43.3	272
b25r	29.0	24.11	-41.46	47.97	300
b50r	38.04	44.73	-27.29	52.41	329
b75r	49.48	70.07	-3.61	70.16	357



Ein und Ausgabe: Farbmetrisches Drucker-Reflektiv-System ORS20\_95a für relativen CIELAB-Buntton  $h^* = lab^*h^* = h_{ab}/360 = 190/360 = 0.527$

Daten für jede Farbe:

$lab^*ch^*$  und  $lab^*icu^*$

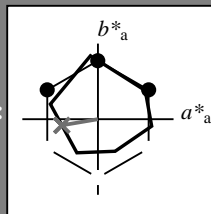
Elementar-Bunttontext:

$u^* = g25b$

Kontrastreduzierungsfaktor:

$c_R = 0.96$

Dreiecks-Helligkeit  $i^*$



ORS20\_95a; adaptierte CIELAB-Daten

	$L^*=L_a^*$	$a_a^*$	$b_a^*$	$C_{ab,a}^*$	$h_{ab,a}^*$
O <sub>Ma</sub>	48.75	62.56	37.91	73.15	31
Y <sub>Ma</sub>	90.92	-9.88	83.88	84.46	97
L <sub>Ma</sub>	52.69	-62.9	19.95	66.0	162
C <sub>Ma</sub>	59.61	-27.85	-44.43	52.45	238
V <sub>Ma</sub>	28.39	22.72	-42.42	48.13	298
M <sub>Ma</sub>	49.58	71.08	-9.19	71.67	353
N <sub>Ma</sub>	20.0	0.0	0.0	0.0	0
W <sub>Ma</sub>	95.0	0.0	0.0	0.0	0
R <sub>CIE</sub>	39.92	58.74	27.99	65.07	25
J <sub>CIE</sub>	81.26	-2.88	71.56	71.62	92
G <sub>CIE</sub>	52.23	-42.41	13.6	44.55	162
B <sub>CIE</sub>	30.57	1.41	-46.46	46.49	272

Daten für Maximalfarbe (Ma):

$LAB^*LAB^*_{Ma}$ : 56 -47 -7

$LAB^*LCH^*_{Ma}$ : 56 48 190

$lab^*rgb^*_{Ma}$ : 0.0 1.0 0.5

$lab^*olv^*_{Ma}$ : 0.0 1.0 0.44

Dreiecks-Helligkeit  $i^*$

%Umfang

$u^*_{rel} = 83$

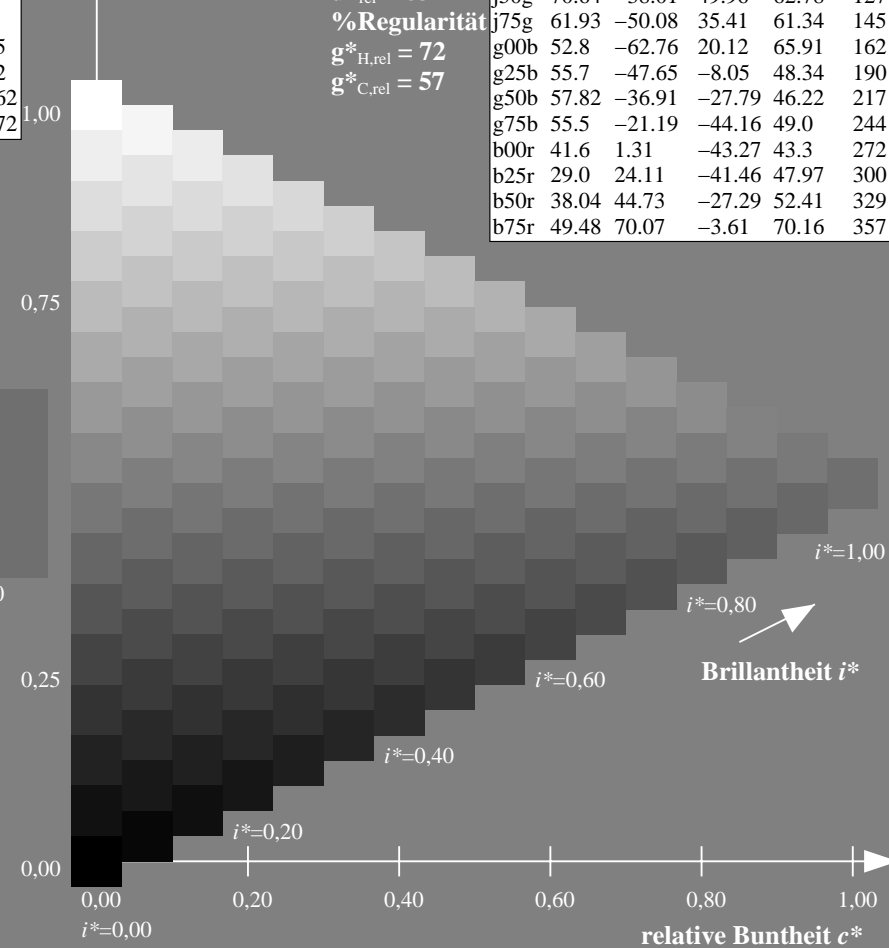
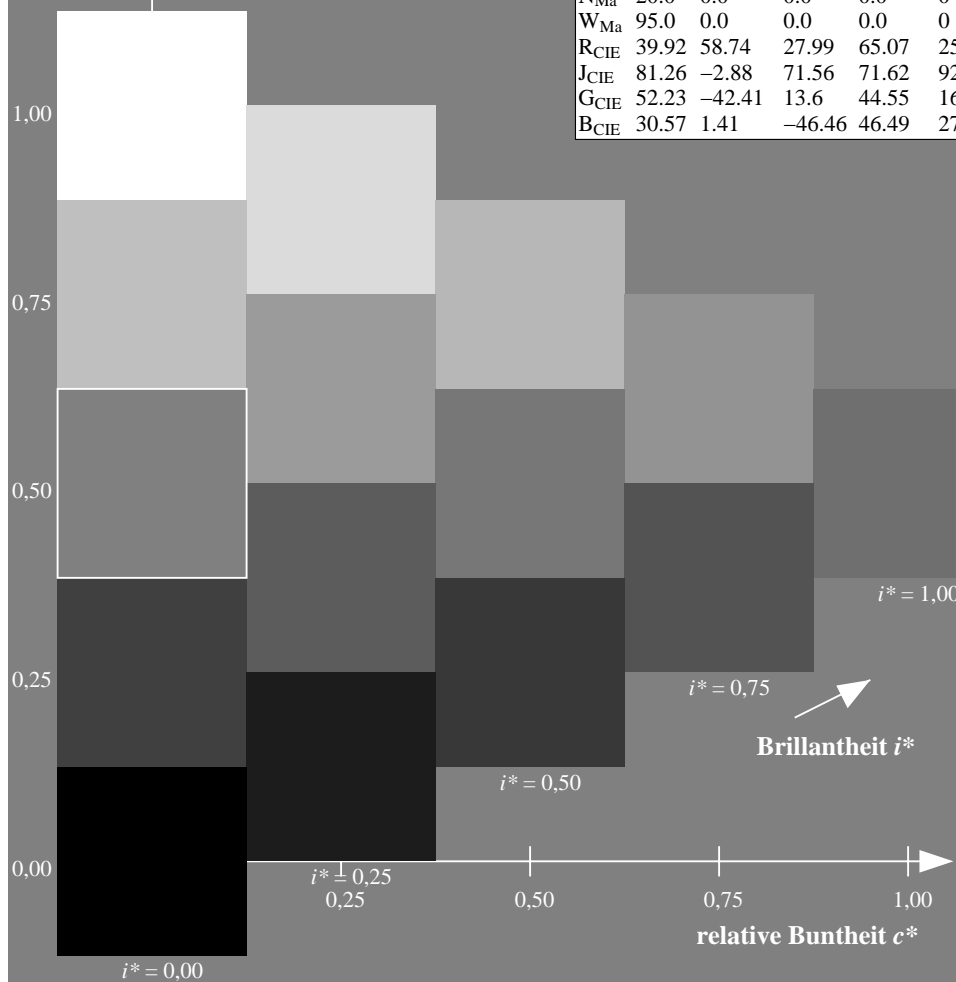
%Regularität

$g^*_{H,rel} = 72$

$g^*_{C,rel} = 57$

ORS20\_95a; adaptierte CIELAB-Daten

	$L^*=L_a^*$	$a_a^*$	$b_a^*$	$C_{ab,a}^*$	$h_{ab,a}^*$
r00j	48.88	63.91	30.45	70.79	25
r25j	55.85	50.36	45.65	67.97	42
r50j	65.45	33.86	56.12	65.54	59
r75j	75.19	17.13	66.73	68.89	76
j00g	87.03	-3.21	79.64	79.7	92
j25g	80.72	-24.03	66.82	71.01	110
j50g	70.64	-38.01	49.96	62.78	127
j75g	61.93	-50.08	35.41	61.34	145
g00b	52.8	-62.76	20.12	65.91	162
g25b	55.7	-47.65	-8.05	48.34	190
g50b	57.82	-36.91	-27.79	46.22	217
g75b	55.5	-21.19	-44.16	49.0	244
b00r	41.6	1.31	-43.27	43.3	272
b25r	29.0	24.11	-41.46	47.97	300
b50r	38.04	44.73	-27.29	52.41	329
b75r	49.48	70.07	-3.61	70.16	357



Ein und Ausgabe: Farbmetrisches Drucker-Reflektiv-System ORS20\_95a für relativen CIELAB-Buntton  $h^* = lab^*h^* = h_{ab}/360 = 217/360 = 0.603$

Daten für jede Farbe:

$lab^*ch^*$  und  $lab^*icu^*$

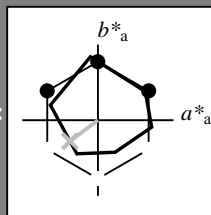
Elementar-Bunttonext:

$u^* = g50b$

Kontrastreduzierungsfaktor:

$c_R = 0.96$

Dreiecks-Helligkeit  $i^*$



ORS20\_95a; adaptierte CIELAB-Daten

	$L^*=L^*_a$	$a^*_a$	$b^*_a$	$C^*_{ab,a}$	$h^*_{ab,a}$
O <sub>Ma</sub>	48.75	62.56	37.91	73.15	31
Y <sub>Ma</sub>	90.92	-9.88	83.88	84.46	97
L <sub>Ma</sub>	52.69	-62.9	19.95	66.0	162
C <sub>Ma</sub>	59.61	-27.85	-44.43	52.45	238
V <sub>Ma</sub>	28.39	22.72	-42.42	48.13	298
M <sub>Ma</sub>	49.58	71.08	-9.19	71.67	353
N <sub>Ma</sub>	20.0	0.0	0.0	0.0	0
W <sub>Ma</sub>	95.0	0.0	0.0	0.0	0
R <sub>CIE</sub>	39.92	58.74	27.99	65.07	25
J <sub>CIE</sub>	81.26	-2.88	71.56	71.62	92
G <sub>CIE</sub>	52.23	-42.41	13.6	44.55	162
B <sub>CIE</sub>	30.57	1.41	-46.46	46.49	272

Daten für Maximalfarbe (Ma):

$LAB^*LAB^*_{Ma}$ : 58 -36 -27

$LAB^*LCH^*_{Ma}$ : 58 46 217

$lab^*rgb^*_{Ma}$ : 0.0 1.0 1.0

$lab^*olv^*_{Ma}$ : 0.0 1.0 0.74

Dreiecks-Helligkeit  $i^*$

%Umfang

$u^*_{rel} = 83$

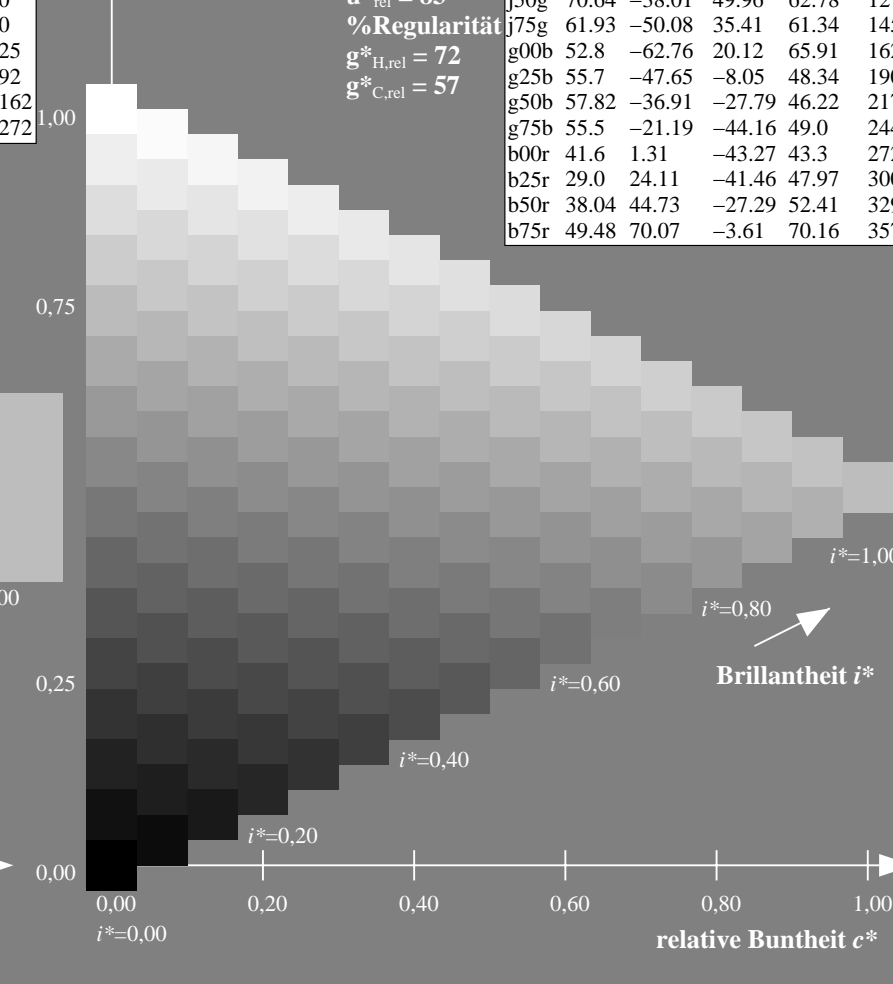
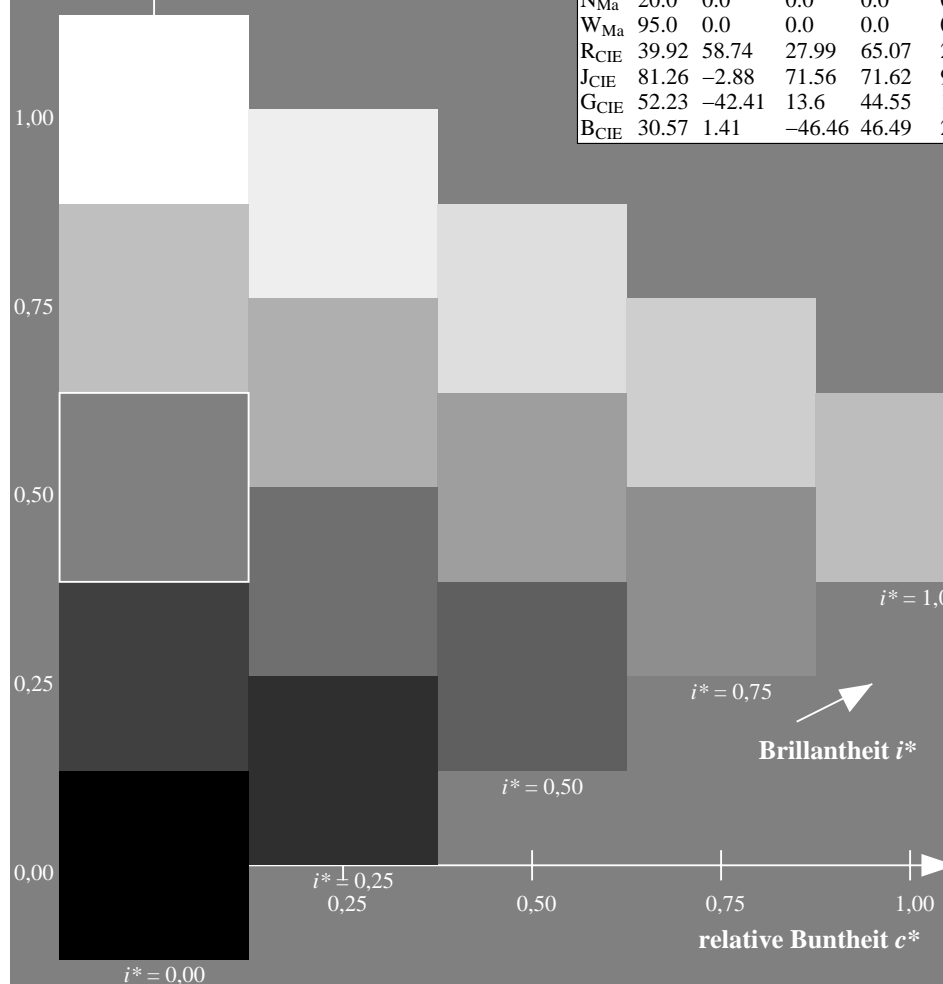
%Regularität

$g^*_{H,rel} = 72$

$g^*_{C,rel} = 57$

ORS20\_95a; adaptierte CIELAB-Daten

	$L^*=L^*_a$	$a^*_a$	$b^*_a$	$C^*_{ab,a}$	$h^*_{ab,a}$
r00j	48.88	63.91	30.45	70.79	25
r25j	55.85	50.36	45.65	67.97	42
r50j	65.45	33.86	56.12	65.54	59
r75j	75.19	17.13	66.73	68.89	76
j00g	87.03	-3.21	79.64	79.7	92
j25g	80.72	-24.03	66.82	71.01	110
j50g	70.64	-38.01	49.96	62.78	127
j75g	61.93	-50.08	35.41	61.34	145
g00b	52.8	-62.76	20.12	65.91	162
g25b	55.7	-47.65	-8.05	48.34	190
g50b	57.82	-36.91	-27.79	46.22	217
g75b	55.5	-21.19	-44.16	49.0	244
b00r	41.6	1.31	-43.27	43.3	272
b25r	29.0	24.11	-41.46	47.97	300
b50r	38.04	44.73	-27.29	52.41	329
b75r	49.48	70.07	-3.61	70.16	357



Ein und Ausgabe: Farbmetrisches Drucker-Reflektiv-System ORS20\_95a für relativen CIELAB-Buntton  $h^* = lab^*h^* = h_{ab}/360 = 244/360 = 0.679$

Daten für jede Farbe:

$lab^*ch^*$  und  $lab^*icu^*$

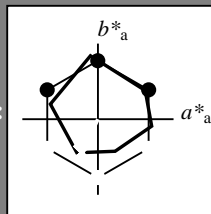
Elementar-Bunttonext:

$u^* = g75b$

Kontrastreduzierungsfaktor:

$c_R = 0.96$

Dreiecks-Helligkeit  $i^*$



ORS20\_95a; adaptierte CIELAB-Daten

	$L^*=L_a^*$	$a_a^*$	$b_a^*$	$C_{ab,a}^*$	$h_{ab,a}^*$
O <sub>Ma</sub>	48.75	62.56	37.91	73.15	31
Y <sub>Ma</sub>	90.92	-9.88	83.88	84.46	97
L <sub>Ma</sub>	52.69	-62.9	19.95	66.0	162
C <sub>Ma</sub>	59.61	-27.85	-44.43	52.45	238
V <sub>Ma</sub>	28.39	22.72	-42.42	48.13	298
M <sub>Ma</sub>	49.58	71.08	-9.19	71.67	353
N <sub>Ma</sub>	20.0	0.0	0.0	0.0	0
W <sub>Ma</sub>	95.0	0.0	0.0	0.0	0
R <sub>CIE</sub>	39.92	58.74	27.99	65.07	25
J <sub>CIE</sub>	81.26	-2.88	71.56	71.62	92
G <sub>CIE</sub>	52.23	-42.41	13.6	44.55	162
B <sub>CIE</sub>	30.57	1.41	-46.46	46.49	272

Daten für Maximalfarbe (Ma):

$LAB^*LAB^*_{Ma}$ : 55 -20 -43

$LAB^*LCH^*_{Ma}$ : 55 49 244

$lab^*rgb^*_{Ma}$ : 0.0 0.5 1.0

$lab^*olv^*_{Ma}$ : 0.0 0.87 1.0

Dreiecks-Helligkeit  $i^*$

%Umfang

$u^*_{rel} = 83$

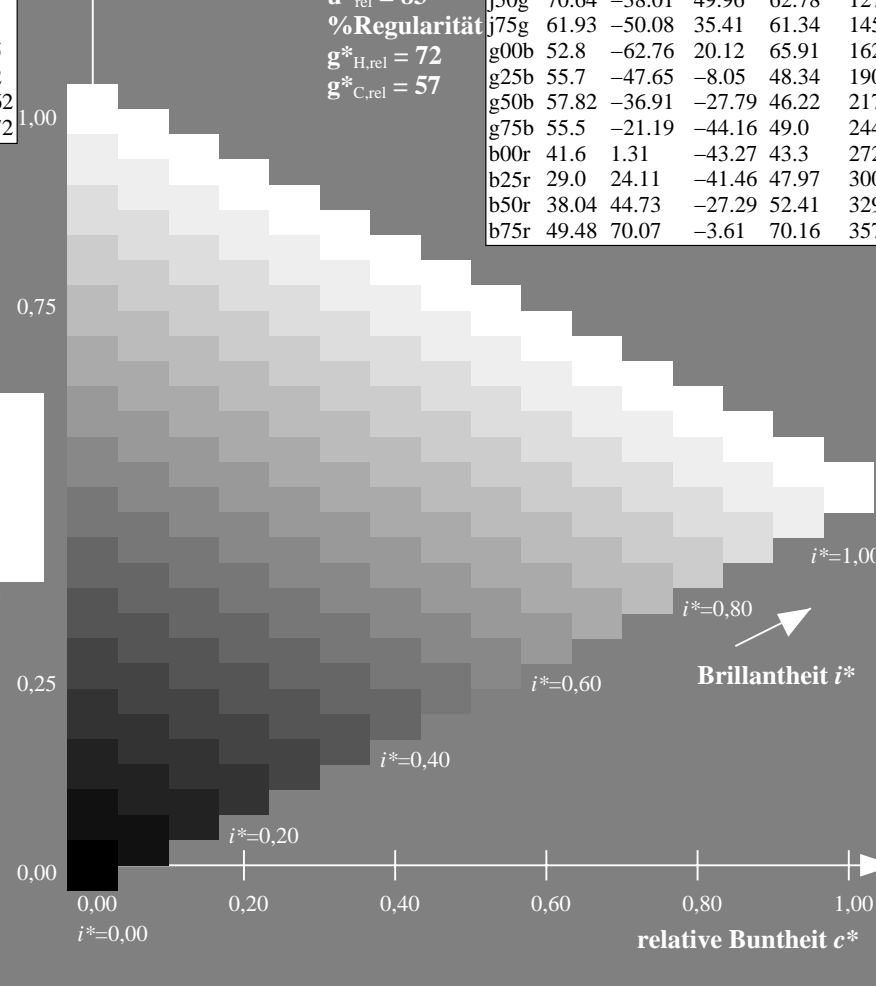
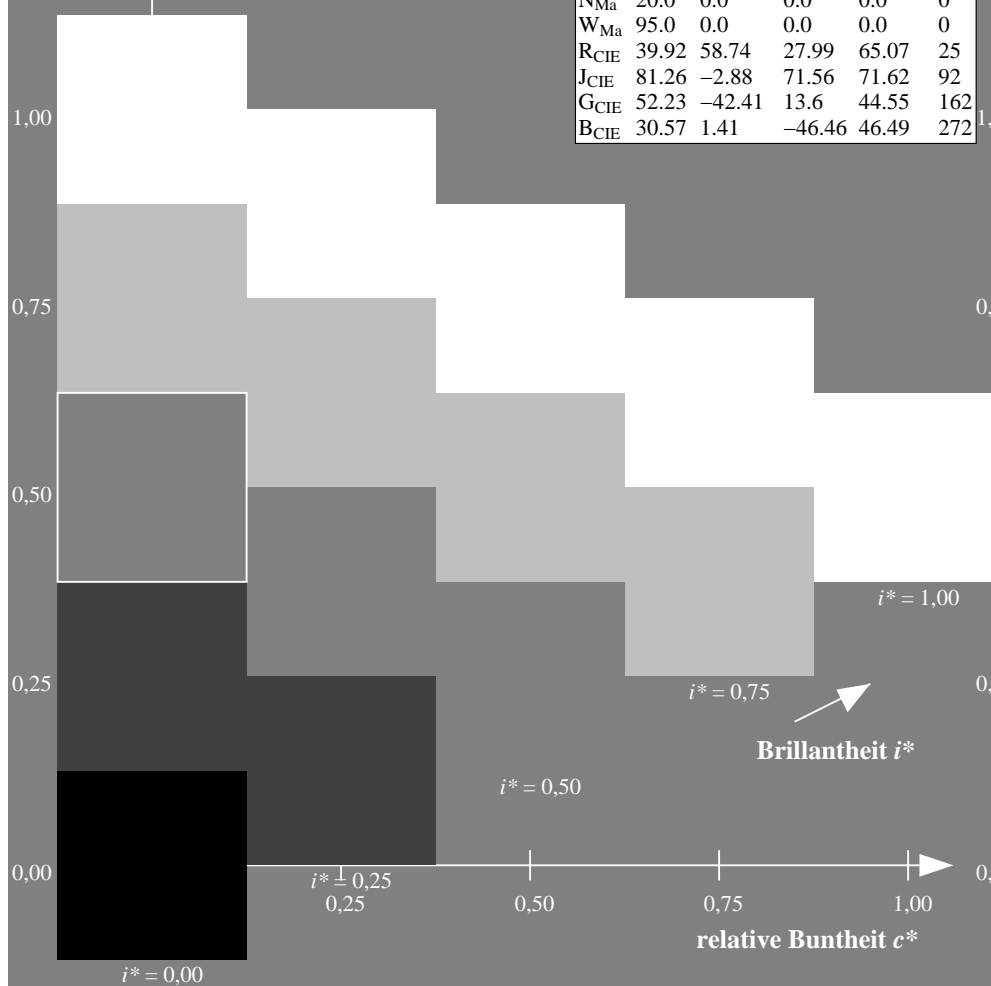
%Regularität

$g^*_{H,rel} = 72$

$g^*_{C,rel} = 57$

ORS20\_95a; adaptierte CIELAB-Daten

	$L^*=L_a^*$	$a_a^*$	$b_a^*$	$C_{ab,a}^*$	$h_{ab,a}^*$
r00j	48.88	63.91	30.45	70.79	25
r25j	55.85	50.36	45.65	67.97	42
r50j	65.45	33.86	56.12	65.54	59
r75j	75.19	17.13	66.73	68.89	76
j00g	87.03	-3.21	79.64	79.7	92
j25g	80.72	-24.03	66.82	71.01	110
j50g	70.64	-38.01	49.96	62.78	127
j75g	61.93	-50.08	35.41	61.34	145
g00b	52.8	-62.76	20.12	65.91	162
g25b	55.7	-47.65	-8.05	48.34	190
g50b	57.82	-36.91	-27.79	46.22	217
g75b	55.5	-21.19	-44.16	49.0	244
b00r	41.6	1.31	-43.27	43.3	272
b25r	29.0	24.11	-41.46	47.97	300
b50r	38.04	44.73	-27.29	52.41	329
b75r	49.48	70.07	-3.61	70.16	357



Ein und Ausgabe: Farbmetrisches Drucker-Reflektiv-System ORS20\_95a für relativen CIELAB-Buntton  $h^* = lab^*h^* = h_{ab}/360 = 272/360 = 0.755$

Daten für jede Farbe:

$lab^*ch^*$  und  $lab^*icu^*$

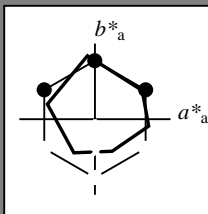
Elementar-Bunttontext:

$u^* = b00r$

Kontrastreduzierungsfaktor:

$c_R = 0.96$

Dreiecks-Helligkeit  $i^*$



ORS20\_95a; adaptierte CIELAB-Daten

	$L^*=L^*_a$	$a^*_a$	$b^*_a$	$C^*_{ab,a}$	$h^*_{ab,a}$
O <sub>Ma</sub>	48.75	62.56	37.91	73.15	31
Y <sub>Ma</sub>	90.92	-9.88	83.88	84.46	97
L <sub>Ma</sub>	52.69	-62.9	19.95	66.0	162
C <sub>Ma</sub>	59.61	-27.85	-44.43	52.45	238
V <sub>Ma</sub>	28.39	22.72	-42.42	48.13	298
M <sub>Ma</sub>	49.58	71.08	-9.19	71.67	353
N <sub>Ma</sub>	20.0	0.0	0.0	0.0	0
W <sub>Ma</sub>	95.0	0.0	0.0	0.0	0
R <sub>CIE</sub>	39.92	58.74	27.99	65.07	25
J <sub>CIE</sub>	81.26	-2.88	71.56	71.62	92
G <sub>CIE</sub>	52.23	-42.41	13.6	44.55	162
B <sub>CIE</sub>	30.57	1.41	-46.46	46.49	272

Daten für Maximalfarbe (Ma):

$LAB^*LAB^*_{Ma}$ : 42 1 -42

$LAB^*LCH^*_{Ma}$ : 42 43 272

$lab^*rgb^*_{Ma}$ : 0.0 0.0 1.0

$lab^*olv^*_{Ma}$ : 0.0 0.42 1.0

Dreiecks-Helligkeit  $i^*$

%Umfang

$u^*_{rel} = 83$

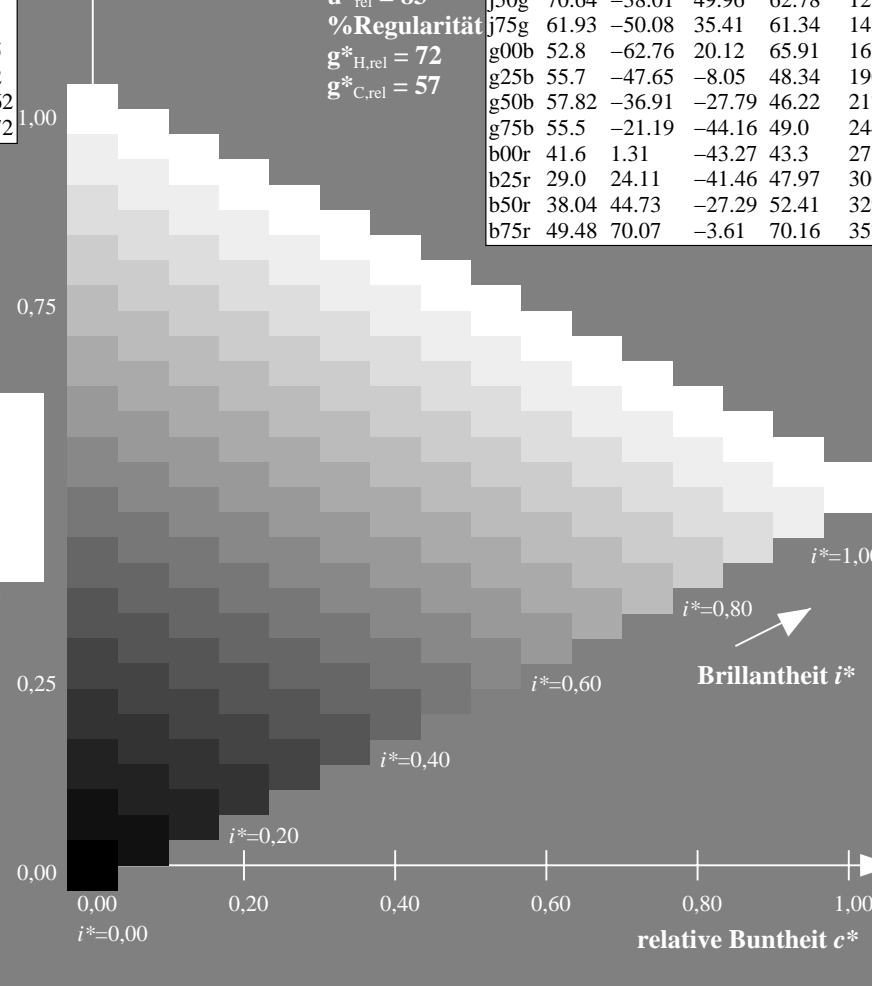
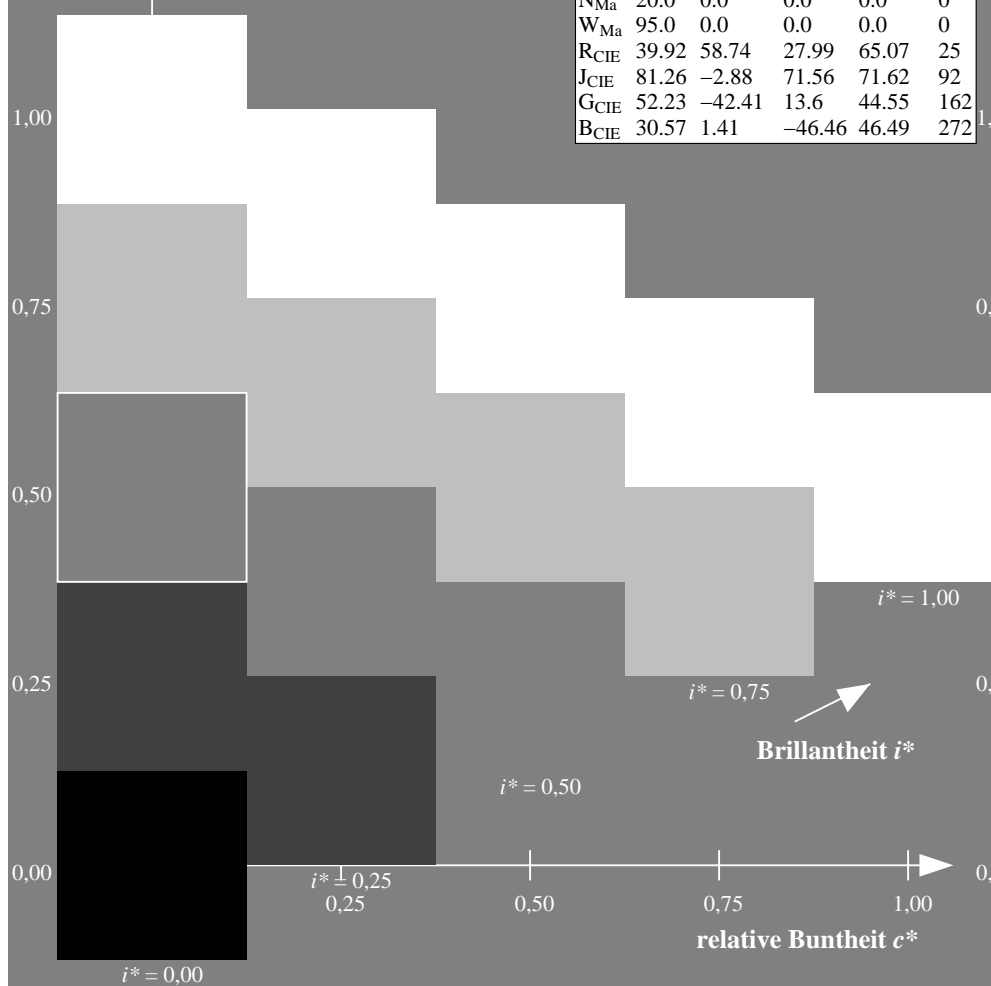
%Regularität

$g^*_{H,rel} = 72$

$g^*_{C,rel} = 57$

ORS20\_95a; adaptierte CIELAB-Daten

	$L^*=L^*_a$	$a^*_a$	$b^*_a$	$C^*_{ab,a}$	$h^*_{ab,a}$
r00j	48.88	63.91	30.45	70.79	25
r25j	55.85	50.36	45.65	67.97	42
r50j	65.45	33.86	56.12	65.54	59
r75j	75.19	17.13	66.73	68.89	76
j00g	87.03	-3.21	79.64	79.7	92
j25g	80.72	-24.03	66.82	71.01	110
j50g	70.64	-38.01	49.96	62.78	127
j75g	61.93	-50.08	35.41	61.34	145
g00b	52.8	-62.76	20.12	65.91	162
g25b	55.7	-47.65	-8.05	48.34	190
g50b	57.82	-36.91	-27.79	46.22	217
g75b	55.5	-21.19	-44.16	49.0	244
b00r	41.6	1.31	-43.27	43.3	272
b25r	29.0	24.11	-41.46	47.97	300
b50r	38.04	44.73	-27.29	52.41	329
b75r	49.48	70.07	-3.61	70.16	357





Ein und Ausgabe: Farbmetrisches Drucker-Reflektiv-System ORS20\_95a für relativen CIELAB-Buntton  $h^* = lab^*h^* = h_{ab}/360 = 300/360 = 0.834$

Daten für jede Farbe:

$lab^*ch^*$  und  $lab^*icu^*$

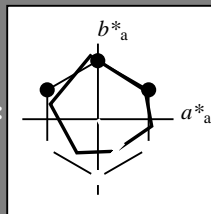
Elementar-Bunttonextext:

$u^* = b25r$

Kontrastreduzierungsfaktor:

$c_R = 0.96$

Dreiecks-Helligkeit  $i^*$



ORS20\_95a; adaptierte CIELAB-Daten

	$L^*=L^*_a$	$a^*_a$	$b^*_a$	$C^*_{ab,a}$	$h^*_{ab,a}$
O <sub>Ma</sub>	48.75	62.56	37.91	73.15	31
Y <sub>Ma</sub>	90.92	-9.88	83.88	84.46	97
L <sub>Ma</sub>	52.69	-62.9	19.95	66.0	162
C <sub>Ma</sub>	59.61	-27.85	-44.43	52.45	238
V <sub>Ma</sub>	28.39	22.72	-42.42	48.13	298
M <sub>Ma</sub>	49.58	71.08	-9.19	71.67	353
N <sub>Ma</sub>	20.0	0.0	0.0	0.0	0
W <sub>Ma</sub>	95.0	0.0	0.0	0.0	0
R <sub>CIE</sub>	39.92	58.74	27.99	65.07	25
J <sub>CIE</sub>	81.26	-2.88	71.56	71.62	92
G <sub>CIE</sub>	52.23	-42.41	13.6	44.55	162
B <sub>CIE</sub>	30.57	1.41	-46.46	46.49	272

Daten für Maximalfarbe (Ma):

$LAB^*LAB^*_{Ma}$ : 29 24 -40

$LAB^*LCH^*_{Ma}$ : 29 48 300

$lab^*rgb^*_{Ma}$ : 0.5 0.0 1.0

$lab^*olv^*_{Ma}$ : 0.03 0.0 1.0

Dreiecks-Helligkeit  $i^*$

%Umfang

$u^*_{rel} = 83$

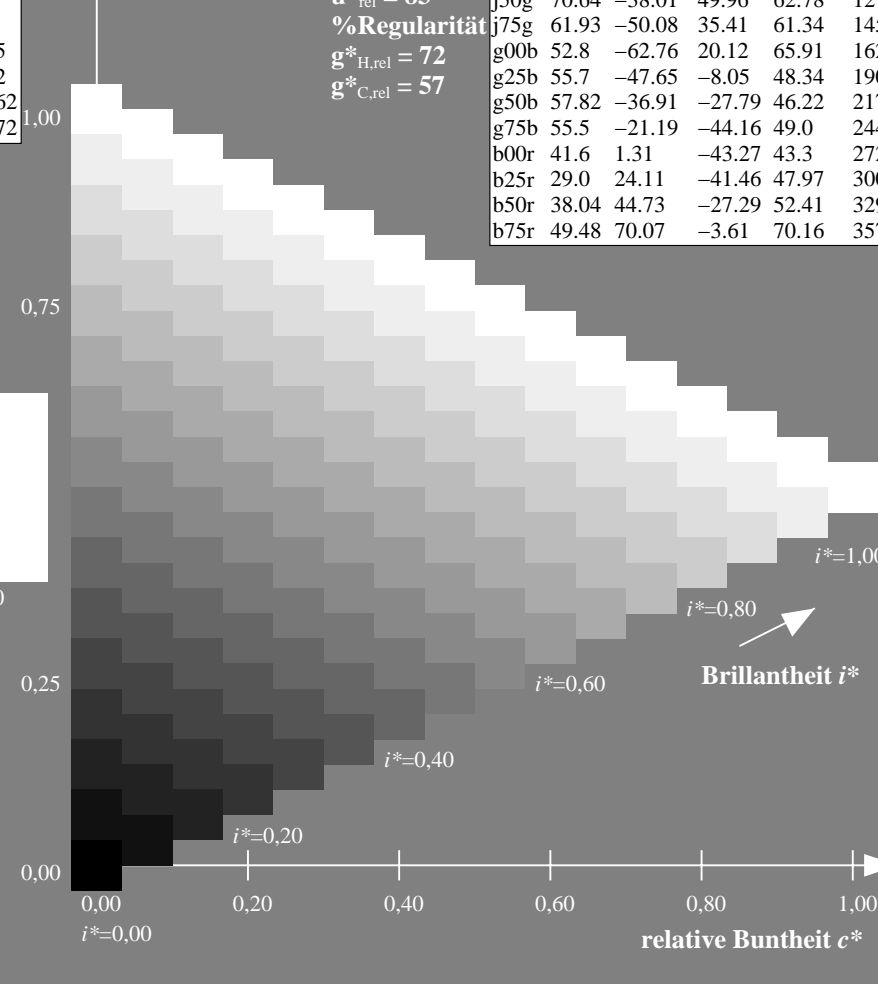
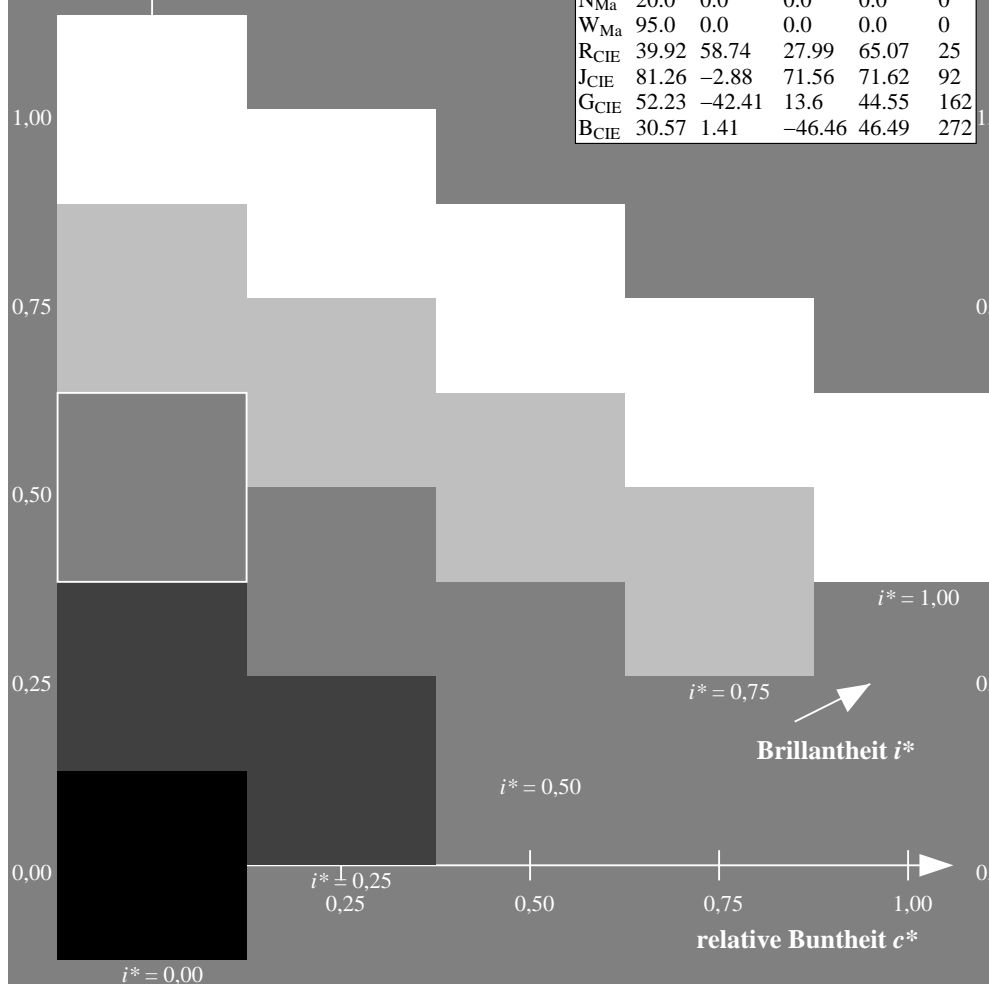
%Regularität

$g^*_{H,rel} = 72$

$g^*_{C,rel} = 57$

ORS20\_95a; adaptierte CIELAB-Daten

	$L^*=L^*_a$	$a^*_a$	$b^*_a$	$C^*_{ab,a}$	$h^*_{ab,a}$
r00j	48.88	63.91	30.45	70.79	25
r25j	55.85	50.36	45.65	67.97	42
r50j	65.45	33.86	56.12	65.54	59
r75j	75.19	17.13	66.73	68.89	76
j00g	87.03	-3.21	79.64	79.7	92
j25g	80.72	-24.03	66.82	71.01	110
j50g	70.64	-38.01	49.96	62.78	127
j75g	61.93	-50.08	35.41	61.34	145
g00b	52.8	-62.76	20.12	65.91	162
g25b	55.7	-47.65	-8.05	48.34	190
g50b	57.82	-36.91	-27.79	46.22	217
g75b	55.5	-21.19	-44.16	49.0	244
b00r	41.6	1.31	-43.27	43.3	272
b25r	29.0	24.11	-41.46	47.97	300
b50r	38.04	44.73	-27.29	52.41	329
b75r	49.48	70.07	-3.61	70.16	357



Ein und Ausgabe: Farbmetrisches Drucker-Reflektiv-System ORS20\_95a für relativen CIELAB-Buntton  $h^* = lab^*h^* = h_{ab}/360 = 329/360 = 0.913$

Daten für jede Farbe:

$lab^*ch^*$  und  $lab^*icu^*$

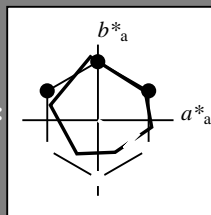
Elementar-Bunttontext:

$u^* = b50r$

Kontrastreduzierungsfaktor:

$c_R = 0.96$

Dreiecks-Helligkeit  $i^*$



ORS20\_95a; adaptierte CIELAB-Daten

	$L^*=L^*_a$	$a^*_a$	$b^*_a$	$C^*_{ab,a}$	$h^*_{ab,a}$
O <sub>Ma</sub>	48.75	62.56	37.91	73.15	31
Y <sub>Ma</sub>	90.92	-9.88	83.88	84.46	97
L <sub>Ma</sub>	52.69	-62.9	19.95	66.0	162
C <sub>Ma</sub>	59.61	-27.85	-44.43	52.45	238
V <sub>Ma</sub>	28.39	22.72	-42.42	48.13	298
M <sub>Ma</sub>	49.58	71.08	-9.19	71.67	353
N <sub>Ma</sub>	20.0	0.0	0.0	0.0	0
W <sub>Ma</sub>	95.0	0.0	0.0	0.0	0
R <sub>CIE</sub>	39.92	58.74	27.99	65.07	25
J <sub>CIE</sub>	81.26	-2.88	71.56	71.62	92
G <sub>CIE</sub>	52.23	-42.41	13.6	44.55	162
B <sub>CIE</sub>	30.57	1.41	-46.46	46.49	272

Daten für Maximalfarbe (Ma):

$LAB^*LAB^*_{Ma}$ : 38 45 -26

$LAB^*LCH^*_{Ma}$ : 38 52 329

$lab^*rgb^*_{Ma}$ : 1.0 0.0 1.0

$lab^*olv^*_{Ma}$ : 0.46 0.0 1.0

Dreiecks-Helligkeit  $i^*$

%Umfang

$u^*_{rel} = 83$

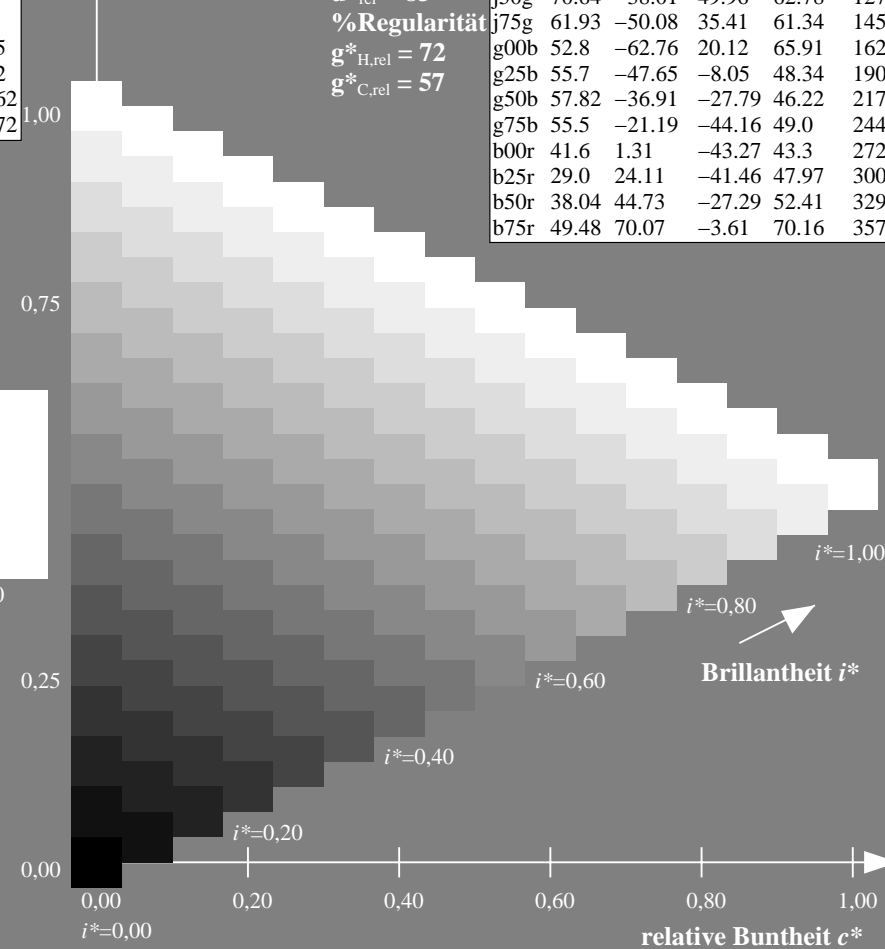
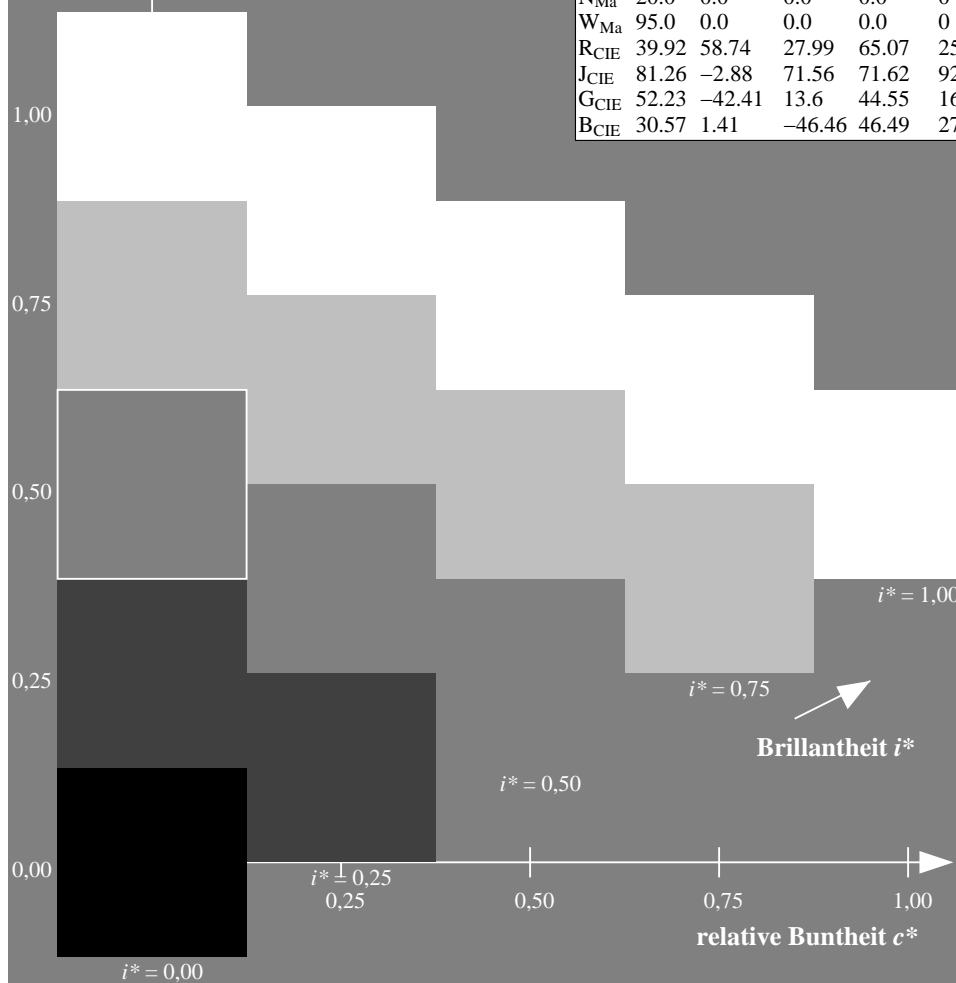
%Regularität

$g^*_{H,rel} = 72$

$g^*_{C,rel} = 57$

ORS20\_95a; adaptierte CIELAB-Daten

	$L^*=L^*_a$	$a^*_a$	$b^*_a$	$C^*_{ab,a}$	$h^*_{ab,a}$
r00j	48.88	63.91	30.45	70.79	25
r25j	55.85	50.36	45.65	67.97	42
r50j	65.45	33.86	56.12	65.54	59
r75j	75.19	17.13	66.73	68.89	76
j00g	87.03	-3.21	79.64	79.7	92
j25g	80.72	-24.03	66.82	71.01	110
j50g	70.64	-38.01	49.96	62.78	127
j75g	61.93	-50.08	35.41	61.34	145
g00b	52.8	-62.76	20.12	65.91	162
g25b	55.7	-47.65	-8.05	48.34	190
g50b	57.82	-36.91	-27.79	46.22	217
g75b	55.5	-21.19	-44.16	49.0	244
b00r	41.6	1.31	-43.27	43.3	272
b25r	29.0	24.11	-41.46	47.97	300
b50r	38.04	44.73	-27.29	52.41	329
b75r	49.48	70.07	-3.61	70.16	357



Ein und Ausgabe: Farbmetrisches Drucker-Reflektiv-System ORS20\_95a für relativen CIELAB-Buntton  $h^* = lab^*h^* = h_{ab}/360 = 357/360 = 0.992$

Daten für jede Farbe:

$lab^*ch^*$  und  $lab^*icu^*$

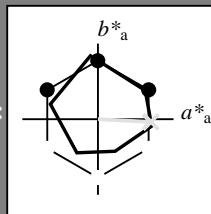
Elementar-Bunttonext:

$u^* = b75r$

Kontrastreduzierungsfaktor:

$c_R = 0.96$

Dreiecks-Helligkeit  $i^*$



ORS20\_95a; adaptierte CIELAB-Daten

	$L^*=L^*_a$	$a^*_a$	$b^*_a$	$C^*_{ab,a}$	$h^*_{ab,a}$
O <sub>Ma</sub>	48.75	62.56	37.91	73.15	31
Y <sub>Ma</sub>	90.92	-9.88	83.88	84.46	97
L <sub>Ma</sub>	52.69	-62.9	19.95	66.0	162
C <sub>Ma</sub>	59.61	-27.85	-44.43	52.45	238
V <sub>Ma</sub>	28.39	22.72	-42.42	48.13	298
M <sub>Ma</sub>	49.58	71.08	-9.19	71.67	353
N <sub>Ma</sub>	20.0	0.0	0.0	0.0	0
W <sub>Ma</sub>	95.0	0.0	0.0	0.0	0
R <sub>CIE</sub>	39.92	58.74	27.99	65.07	25
J <sub>CIE</sub>	81.26	-2.88	71.56	71.62	92
G <sub>CIE</sub>	52.23	-42.41	13.6	44.55	162
B <sub>CIE</sub>	30.57	1.41	-46.46	46.49	272

Daten für Maximalfarbe (Ma):

$LAB^*LAB^*_{Ma}$ : 49 70 -3

$LAB^*LCH^*_{Ma}$ : 49 70 357

$lab^*rgb^*_{Ma}$ : 1.0 0.0 0.5

$lab^*olv^*_{Ma}$ : 1.0 0.0 0.88

Dreiecks-Helligkeit  $i^*$

%Umfang

$u^*_{rel} = 83$

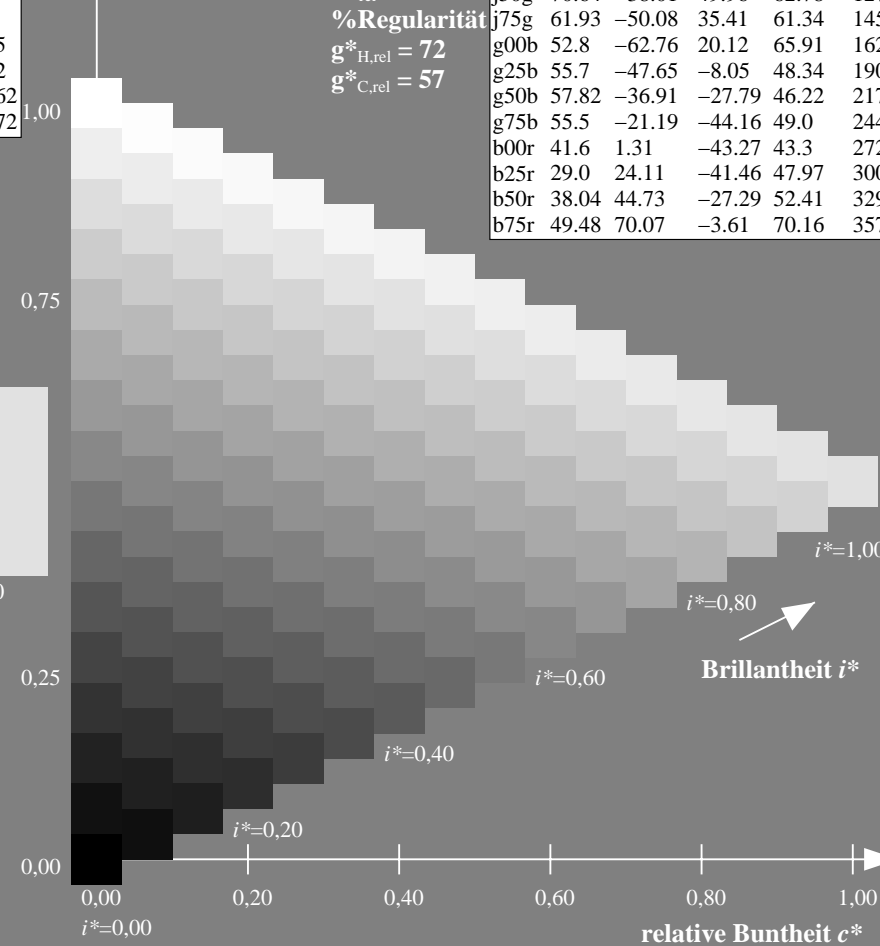
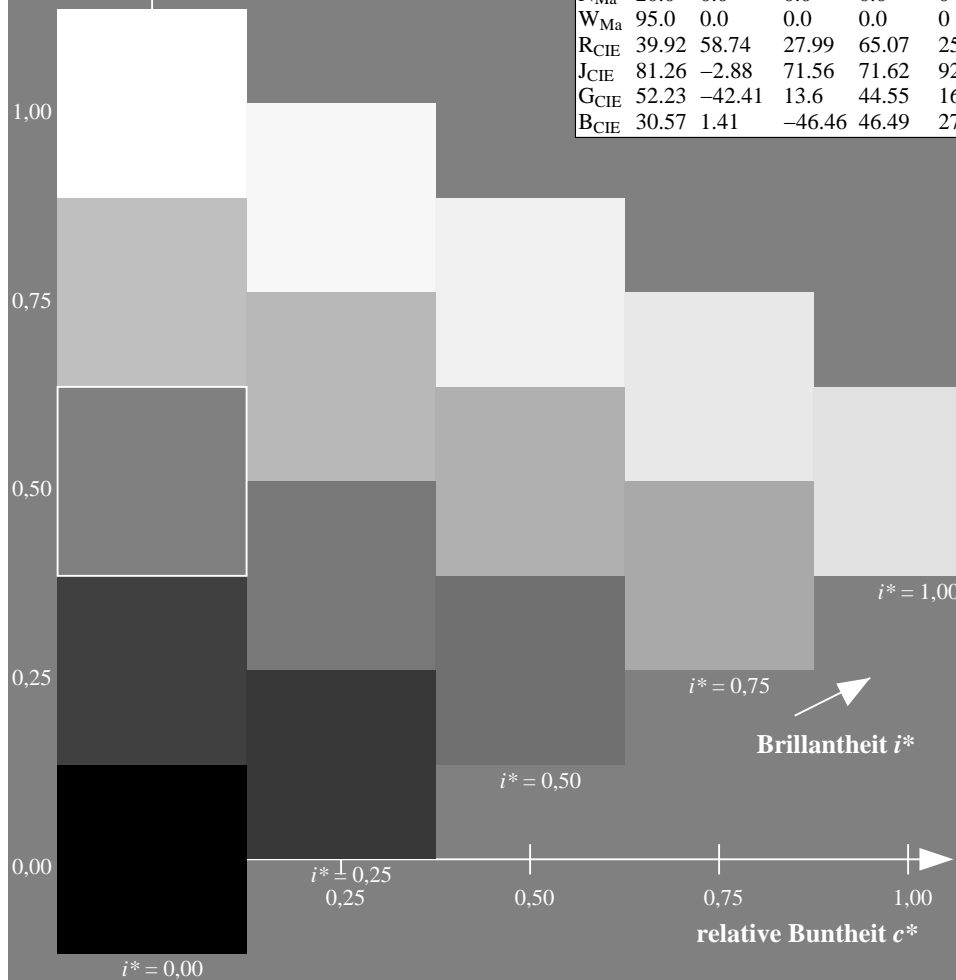
%Regularität

$g^*_{H,rel} = 72$

$g^*_{C,rel} = 57$

ORS20\_95a; adaptierte CIELAB-Daten

	$L^*=L^*_a$	$a^*_a$	$b^*_a$	$C^*_{ab,a}$	$h^*_{ab,a}$
r00j	48.88	63.91	30.45	70.79	25
r25j	55.85	50.36	45.65	67.97	42
r50j	65.45	33.86	56.12	65.54	59
r75j	75.19	17.13	66.73	68.89	76
j00g	87.03	-3.21	79.64	79.7	92
j25g	80.72	-24.03	66.82	71.01	110
j50g	70.64	-38.01	49.96	62.78	127
j75g	61.93	-50.08	35.41	61.34	145
g00b	52.8	-62.76	20.12	65.91	162
g25b	55.7	-47.65	-8.05	48.34	190
g50b	57.82	-36.91	-27.79	46.22	217
g75b	55.5	-21.19	-44.16	49.0	244
b00r	41.6	1.31	-43.27	43.3	272
b25r	29.0	24.11	-41.46	47.97	300
b50r	38.04	44.73	-27.29	52.41	329
b75r	49.48	70.07	-3.61	70.16	357



Siehe ähnliche Dateien: <http://www.ps.bam.de/Dg75/>; [www.ps.bam.de/Dg75/Version2.1.htm](http://www.ps.bam.de/Dg75/Version2.1.htm)  
Technische Information: <http://www.ps.bam.de/Version2.1.htm>, io=1,1, ColSpx=0

	A	B	C	D	E	F	G	H	I	J	K	L	M	N	O	P	Q	R	S	T	U	V	W	X	Y	Z	a	b	c	d	e	f	g	h	i	j	k	l	m	n																																																																																																																																																																																																																																																																																																																																																																																																																																																																																																																																																																																																																																																																																																																																																																																																																																																																																																																																																																																																																																																																																																																																																																																																																																																																																																																																																																																																																			
01																																																																																																																																																																																																																																																																																																																																																																																																																																																																																																																																																																																																																																																																																																																																																																																																																																																																																																																																																																																																																																																																																																																																																																																																																																																																																																																																																																																																																																																											
02																																																																																																																																																																																																																																																																																																																																																																																																																																																																																																																																																																																																																																																																																																																																																																																																																																																																																																																																																																																																																																																																																																																																																																																																																																																																																																																																																																																																																																																											
03																																																																																																																																																																																																																																																																																																																																																																																																																																																																																																																																																																																																																																																																																																																																																																																																																																																																																																																																																																																																																																																																																																																																																																																																																																																																																																																																																																																																																																																											
04																																																																																																																																																																																																																																																																																																																																																																																																																																																																																																																																																																																																																																																																																																																																																																																																																																																																																																																																																																																																																																																																																																																																																																																																																																																																																																																																																																																																																																																											